

Վ. Ն. ԹՈՔՄԱԶՅԱՆ

ՉՐԱՆՅՔՆԵՐԻ

ԵՎ ՉՐՀԵՌ

ԿԱՌՈՒՅՎԱԾՔՆԵՐԻ

ՀԻՊՐԱՎԼԻԿԱԿԱՆ

ՀԱԾՎԱՐԿՆԵՐ

**ԶՐԱՆՑՔՆԵՐԻ  
ԵՎ ԶՐՀԵՌԻ  
ԿԱՌՈՒՑՎԱԾՔՆԵՐԻ  
ՀԻՊՐԱՎԼԻԿԱԿԱՆ  
ՀԱՇՎԱՐԿՆԵՐ**

Թույլատրված է ՀՍՍՀ բարձրագույն և միջնակարգ մասնագիտական կրթության մեթոսության կողմից որպես ուսումնական ձեռնարկ Երևանի պոլիտեխնիկական ինստիտուտի «Հիդրոտեխնիկական շինարարություն» մասնագիտության ուսանողների համար

Գրախոսներ՝ Հայկական գյուղ. ինստ. Տիգրավիճկայի և Իգրատեխն. կառուցվ. ամբիոնի վարիչ, ակիւն. գիտ. թեկնածու, դոցենտ Ա. Մ. Ղազարյան, երՊԻ Իգրատեխն. կառուցվ. ամբիոնի ավագ դասախոս, ՀՍՍՀ վաստակավոր շինարար Լ. Ա. Ճարակյան

Ն Ե Ր Ա Ն Ո Ւ Թ Յ Ո Ւ Ն

Թորմաչյան Վ. Հ.

Թ 844 Ջրանցքների և ջրհեռ կառուցվածքների Տիգրավիճկական հաշվարկները: Ձևեր և պրոցեսներ. ին-սի. «Հիդրոտեխն. շին.» մասնագիտ. ուսանողների համար.— Եր.: Լույս, 1988.— 208 էջ, նկ.

Ձևերով շարադրված են ջրանցքների և ջրհեռ կառուցվածքների Տիգրավիճկական հաշվարկների մեթոդները, Տիգրավիճկական մագիստրոսներ, ինչպես նաև այդ կառուցվածքների Տիգրավիճկական հաշվարկներ էՄ-ների լայն կիրառումով: Ուսումնական ձևերով նախատեսված է ԲՅԻՀ-երի «Հիդրոտեխնիկական շինարարություն» մասնագիտության ուսանողների համար:

Թ 2004030000 (2) 103. 1988  
7021 (01) 1988

ԳՄԴ 38.77973

Ваще Оганесович Токмаджян  
ИДРАВЛИЧЕСКИЕ РАСЧЕТЫ  
И ВОДООТВОДНЫХ СООРУЖЕНИЙ

Учебное пособие для студентов вузов  
по специальности «Гидротехническое строительство»  
(на армянском языке)  
Ереван «Луйс» 1988

© «Լույս» հրատարակչություն, 1988

Հիդրոտեխնիկական կառուցվածքների Տիգրավիճկական ճիշտ հաշվարկ կատարելը կարևոր նշանակություն ունի շափերի բնորոշման, աշխատանքի հուսալիության, որոշ դեպքերում նաև անվտանգության համար: Հաշվարկի ոչ ճիշտ լինելը կարող է հանգեցնել անգամ կառուցվածքի քանդմանը, կործանմանը: Հաշվարկային թողունակությունը չապահովելը կարող է տատանա զատնալ կառուցվածքի թերի օգտագործմանը և նախագծային մեծությունների չապահովմանը:

Պետք է նշել, որ Տիգրավիճկական հաշվարկները չեն վերաբերվում որևէ իրական Տիգրավիճկական երևույթները արտահայտող կառուցվածքին, նրանք վերաբերվում են իրական պատկերը որոշող մոտավորություններով արտահայտվող հաշվարկային սխեմային, այսինքն կազմվում է երևույթի այսպես կոչված մաթեմատիկական մոդելը:

Հաշվարկի մեթոդ առաջարկող ինժեները, ելնելով նախագծման և ինժեներական պրակտիկայում գոյություն ունեցող փորձից և իր փորձից, կրթման բնագոյրեն ընտրում է այն գլխավորը, որը պետք է թողնել հաշվարկային սխեմայում, իսկ մնացածը, երկրորդականը, հետաքրքրող մեծությունների վրա թիշ ազդեցություն ունեցողը, հաշվի չի առնում:

Շատ հաճախ հնարավոր չէ ճիշտ որոշել հաշվի շանված գործոնների ազդեցությունը և նրանցից առաջ հկած սխալը, իսկ բոլոր այդ գործոնները հաշվի առնելու դեպքում միշտ չէ, որ հաջողվում է ստանալ ճիշտ լուծում: Այս դեպքում լավագույն հաշվարկային սխեմայի ընտրությունը դատնում է ինժեներական հաշվարկների փորձի և բանականության հարց:

Հիդրավիճկական հաշվարկների ճշտության որոշման վերջնական լավանիշները բնօրինակում կատարված փորձնական հետազոտությունների արդյունքներն են:

Սակայն վերջիններս կարելի է կատարել միայն կառուցվածքի ստեղծումից հետո, նրա շահագործման ընթացքում: Այդպիսի հետազոտությունները մեծ մասամբ ունեն ընդհանուր գիտական նշանակություն և

ծառայում են տվյալ խմբի հարցերը պարզաբանելուն և սակավ նույն կառուցվածքի համար ճիշտ կամ լավագույն լուծում գտնելուն:

Այս տեսակետից գործին մեծ շահով օգնում է կառուցվածքների հիդրավիկական մոդելավորումը, որը կիրառվում է այն դեպքերում, երբ շատ դժվար է նախապես գնահատել, թե հաշվարկային սխեման ինչքանով ճիշտ և մոտ է արտահայտում իրական կառուցվածքի աշխատանքի պայմանները:

Մոդելը (մանրակերտը) նույնպես կառուցվածք է, և երևույթները այնտեղ պետք է արտահայտվեն նույն դիֆերենցիալ հավասարումներով, ինչ որ բնօրինակում: Սակայն մոդելավորման ոչ համակողմանիությունը և անգամ աղավաղված մասշտաբներով մոդելավորումը չի ազատում. այսպես կոչված, մոդելավորման արդյունքից, մրոշ երևույթներ համարյա չեն ենթարկվում մոդելավորման, օրինակ ակրացիայի, կավիտացիայի երևույթները և այլն:

Հիդրավիկական հաշվարկների կատարելագործումը, նրանց մեջ բարդ մաթեմատիկական ապարատի օգտագործումը, էլեկտրոնային, թվային և համանմանային մեքենաների լայն կիրառումը հնարավորություն են տալիս ճշտել և բարելավել շատ հաշվարկներ, նրանց ազատել շահագանց պարզունակ մոտավոր հաշվարկային սխեմատիզմից, էմպիրիկ, շատ նեղ շրջանակներում կիրառելի, բանաձևերի օգտագործումից և այլն:

Առանձնապես պետք է նշել էլեկտրոնային հաշվիչ մեքենաների կիրառման բարերար ազդեցությունը: Եթե ոչ շատ հեռու անցյալում կոպիտ մոտավորությունների էին դիմում ստացված դիֆերենցիալ հավասարումների ինտեգրման համար, ապա այժմ նրանց թվային ինտեգրումը ցանկացած ճշտությամբ գործնականորեն դժվարություն չի ներկայացնում: Այս պատճառով շատ տեսական բարդ հետազոտություններ հնարավոր է դառնում հասցնել գործնականորեն ճշգրիտ արդյունքների ստացմանը:

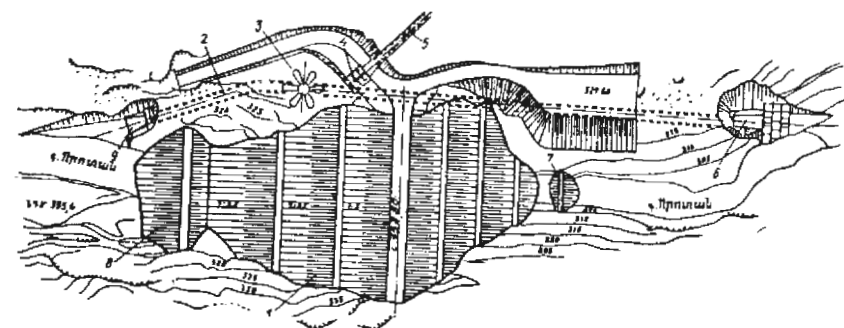
Միկրոհաշվարկիչների լայն տարածումը և բոլորին մատչելի լինելը մեծ մասամբ հնարավոր դարձրին խուսափել օժանդակ աղյուսակների և գրաֆիկների օգտագործումից: Աղյուսակների օգտագործումը հանգեցնում էր միջարկում կատարելու անհրաժեշտությունը, որը հաշվարկի ճշտությունը փոքրացնում էր: Հաճախ ֆունկցիաների թվային արժեքների հաշվելը միկրոհաշվարկիչի օգնությամբ շատ ավելի քիչ աշխատատար է, քան նրանց բնտրումը աղյուսակից կամ գրաֆիկից:

Հիդրոտեխնիկական կառուցվածքներին վերաբերող հիդրավիկական հաշվարկները մինչև այժմ հիմնականում ընթացել են միաշափ շարժման հաշվարկային սխեմայով և պետք է ասել, որ այս ուղղությամբ ձեռք են բերվել զգալի հաջողություններ: Վերջին տարիներին փորձ է արվում

տալ երկշափ և եռաշափ հոսանքների հիդրավիկական հաշվարկներ, և այդ ասպարեզում կան որոշակի հաջողություններ:

Ժամանակակից հիդրոհանգույցը բարդ համալիր է, որտեղ ունենք շարժման տարածական բարդ պատկեր: Հիմնական հոսանքը (դետը, ջրանցքը) բաժանվում է ատանձին ճյուղավորումների, որոնցից ամեն մեկը, ատանձին վերցրած, հիմնականում տարածական է:

Կրա լավագույն օրինակն է նկ. 1-ը, ուր բերված են Սպանդարյանի հիդրոէլեկտրակայանի գլխային հանգույցի հիդրոտեխնիկական կառուցվածքները:



Նկ. 1. Տաթևի հիդրոէլեկտրակայանի գլխային հանգույցի կառուցվածքների հատակագիծը:  
1. հողային պատվար, 2. շինարարական բունել, 3. «մառցաբխակ», 4. ջրընդունիչ, 5. գերեզմացիոն բունել, 6. բունելի կլամաս, 7. ստորին անջրպետ, 8. վերին անջրպետ, 9. բունելի մուտքամաս:

Սույն ձևակերպի նպատակն է շարադրել հիդրոտեխնիկական կառուցվածքներից ջրհեռ և որոշ այլ կառուցվածքների հիդրավիկական հաշվարկի գոյություն ունեցող, ինչպես նաև հեղինակների կողմից մշակված մեթոդները:

Հիդրավիկայի ընդհանուր օրենքներին ու գաղափարներին ծանոթ բնթևըցողին այս աշխատությունը կօգնի ընդլայնելու իր գիտելիքների շրջանակները, կծանոթացնի նոր հաշվարկային մեթոդներին, որոնք վերաբերում են հիդրոտեխնիկական կառուցվածքների հիդրավիկական հաշվարկներին:

Սույն գիրքը ունի բազմակողմանի նշանակություն և նպատակ: Առաջին հերթին այն ուսումնական ձևակերպ է «Հիդրոտեխնիկական շինարարություն» մասնագիտության ուսանողների համար: Այն կարող է օգտակար լինել ինժեներ նախագծողներին և գիտական հետազոտություններով զբաղվող ասպիրանտներին և գիտական աշխատողներին:

Հեղինակն իր այս աշխատության մեջ ամփոփել է վերջին 10—15 տարիների իր հետազոտությունների արդյունքները, մշտապես հիմք ընդունելով այսօրվա հիդրավիկայի առաջավոր սկզբունքները:

Հեղինակը արժարժե է նաև որոշ մտքեր և դադափարներ, որոնք կարող են ուշագրավ լինել վաղվա հիդրավիկայի զարգացման համար:

Հնարավոր է, որ նման լայն ընդգրկում ունեցող դրքում հանդիպեն նաև քիչ հաջողված հատվածներ, դարձվածքներ, որոշ մակերեսորեն գրված բաժիններ, գուցե նաև առանձին վրիպումներ, սակայն մեղ թվում է լուրջ և բարեմիտ ընթերցողը այնտեղ կգտնի էականը և ժամանակակիցը ջրանցքների և ջրհեռ կառուցվածքների հիդրավիկական հետազոտություններում:

Գրքում լուծված են բազմաթիվ թվային օրինակներ, որոնք վերաբերում են Հայաստանի խոշոր հիդրոհանգույցների հիդրոտեխնիկական կառուցվածքների հիդրավիկական հաշվարկներին՝ կատարված հեղինակի կողմից, որոնք գրքում բերված մեթոդներին տալիս են խիստ կիրառական, ինժեներական բնույթ, դարձնելով մտաշելի նախագծողների համար:

Հուսով ենք, որ այս դիրքը որոշ շահով կնպաստի ջրանցքների և ջրհեռ կառուցվածքների հիդրավիկայով դբաղվող մասնագետների գիտելիքների բնդլայնմանը:

## ՀԻՄՆԱԿԱՆ ՆՇԱՆԱԿՈՒՄՆԵՐ

- A — կենդանի կտրվածքի մակերեսը
- a — զանգվածների փոփոխման գործակիցը
- B — ջրանցքներում ջրի լայնությունը ազատ մակերևույթի վրա
- b — ջրանցքի լայնությունը հատակում
- C — Շեղի գործակիցը, ճնշման շեղումը հիդրոստատիկականից, արտահայտված հեղուկի սյան բարձրությամբ
- c — փոքր գրավիտացիոն ալիքի արագությունը
- d — խողովակի տրամագիծը
- E — կտրվածքի լրիվ տեսակարար էներգիան, հաշված կամայական համեմատության հարթությունից
- F — ճնշման ուժը
- F<sub>r</sub> — Ֆրուդի թիվը
- G — ծանրության ուժը
- g — ծանրության ուժի արագացումը
- H — կենդանի կտրվածքի լրիվ էջքը
- He — ջրաթափի ճնշումը
- H<sub>0</sub> — ջրաթափի ճնշումը, հաշվի առած մոտեցման արագության ազդեցությունը
- h — հոսանքի խորությունը
- h<sub>0</sub> — հոսանքի խորությունը հավասարաչափ շարժման դեպքում
- h<sub>գր</sub> — կրիտիկական խորությունը
- h<sub>ս</sub> — սեղմված խորությունը
- h'' — համալուծ խորությունը
- h<sub>ց</sub> — ջրանցքի հատակի երկրաչափական թեքությունը
- h<sub>ք</sub> — սլյեզոմեարական թեքությունը
- i — հիդրավիկական թեքությունը
- K — կենդանի կտրվածքի թողունակությունը
- k — ճնշումների փոփոխության գործակիցը
- L — ջրանցքի առանցքի երկարությունը
- l — փոփոխական երկարությունը

- M — ուժի մոմենտը
- m — հեղուկի վանգվածը, ջրանցքի պատերի շեպուկայան գործակիցը
- m<sub>ջ</sub> — ջրանցքի ելքի գործակիցը
- m<sub>կ</sub> — կողային ջրաթափի ելքի գործակիցը
- n — խորդուրորդության գործակիցը
- P — ճնշումը, ջրաթափի շեմքի բարձրությունը
- Q — ելքը
- Q<sub>0</sub> — սեղանական ելքը, հավասարաչափ շարժման ելքը
- q — տեսակարար ելքը
- R — հիդրավլիկական շառավիղը
- R<sub>0</sub> — ջրանցքի հատակի կորության շառավիղը
- R' — կենդանի կտրվածքի կամայական կետի կորության շառավիղը
- R<sub>c</sub> — Ռեյնոլդսի թիվը
- r — խողովակի շառավիղը, տաշտածե և կողովածե թունելների թաղի շառավիղը
- t — ժամանակը
- u — կենդանի կտրվածքի կամայական կետի արագությունը
- v — հոսանքի միջին արագությունը
- v<sub>ս</sub> — փոփոխվող մասնիկների արագության պրոյեկցիան հիմնական հոսանքի շարժման ուղղության վրա
- W — ծավալը
- x, y, z — կետի կոորդինատները
- X, Y, Z — ծավալային ուժի պրոյեկցիաները վերագրած հեղուկի միավոր զանգվածին
- y — Շեդիի գործակցի ուղղման ցուցիչը ն. ն. Պավլովսկու բանաձևի մեջ
- z — կենդանի կտրվածքի վրա կամայական կետի հեռավորությունը հասակից. նորմալի ուղղությամբ ջրանցքի հասակի օրդինատը, հակադարձ հիդրավլիկական խնդիրներում ազատ մակերևույթի կետի օրդինատը
- Յ — կտրվածքի լրիվ տեսակարար էներգիան, հաշված կտրվածքի ամենացածր կետով անցնող համեմատության հարթությունից
- α — արագությունների անհավասարաչափ բաշխման գործակիցը, սեղանաձև կտրվածքով ջրանցքի պատի թեքության անկյունը, մոդելավորման մասշտաբը
- β — հատակագծում լայնացման անկյունը, տաշտածե և կողովածե կտրվածքներով թունելների լցվածությունը ցույց տվող անկյունը
- Δ — խորդուրորդության ելուստների չափը
- δ — խողովակի պատի հաստությունը
- ε — սեղմման գործակիցը
- ξ — տեղական կորուստների գործակիցը

- () — կլոր կտրվածքով ոչ ճնշումային խողովակների (թունելների) լցման աստիճանը ցույց տվող անկյունը
  - λ — կորուստների գործակիցը (բստ Գարսի-Վեյսբախի բանաձևի)
  - μ — հեղուկի մածուցիկության գինամիկ գործակիցը, հեղուկի արտահոսման ելքի գործակիցը
  - ν — հեղուկի մածուցիկության կինեմատիկ գործակիցը
  - Π(h) — թռիչքի ֆունկցիան
  - ρ — խտությունը
  - σ<sub>ս</sub> — սուղման գործակիցը
  - τ — շոշափող լարումները
  - φ — ջրանցքի հատակի թեքման անկյունը հորիզոնի նկատմամբ, արագության գործակիցը
  - χ — թրջված պարագիծը
- Այստեղ բերված են գրքում օգտագործված ֆիզիկական մեծությունների հիմնական նշանակումները, իսկ մնացած նշանակումները, որոնք հանդիպում են տվյալ գաղափարը զարգացնելիս կամ բանաձևի արտածման ժամանակ, տրվում են տեղում:

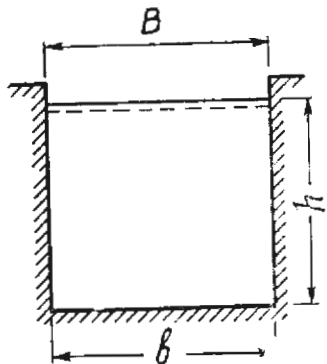
## Առաջին գլուխ

### ՀԻՌՈՏԵԽՆԻԿԱԿԱՆ ԿԱՌՈՒՑՎԱԾՔՆԵՐԻ ՀԻՌԱՎԼԻԿԱԿԱՆ ՀԱՇՎԱՐԿՆԵՐԻ ՀԱՏՈՒԿ ՀԱՐՑԵՐԸ

#### 1.1. Ջրանցքի ԿՏՐՎԱԾՔԻ ՀԻՐԱՎԼԻԿԱԿԱՆ ԲԵՌԻԹԱԳՐՈՎ ՄԵՍՈՒԹՅՈՒՆՆԵՐԸ

Ջրանցքի կտրվածքը բնորոշող հիմնական հիդրավիկական բնութագրող մեծություններն են.

- ա) կենդանի կտրվածքի մակերեսը՝  $A$
- բ) թրջված պարագիծը՝  $\chi$
- գ) հիդրավիկական շտապիրը՝  $R$
- դ) կտրվածքի լայնությունը ազատ մակերևույթի վրա՝  $B$ :



Նկ. 1.1. Ջրանցքի ուղղանկյուն լայնակի կտրվածքը:

Քննարկենք գործնականում հաճախ հանդիպող որոշ կտրվածքների համար այդ մեծությունների կապը և խորության հետ:

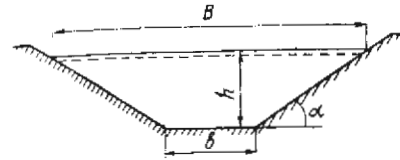
#### 1. Ուղղանկյուն կտրվածք (նկ. 1.1).

$$a) A = bh, \quad (1.1)$$

$$b) \chi = b + 2h. \quad (1.2)$$

$$g) R = \frac{bh}{b + 2h}, \quad (1.3)$$

$$d) B = b, \quad (1.4)$$



Նկ. 1.2. Ջրանցքի սեղանաձև լայնակի կտրվածքը:

#### 2. Սեղանաձև կտրվածք (նկ. 1.2):

Շևայություն գործակիցը՝

$$m = ctg \alpha, \quad (1.5)$$

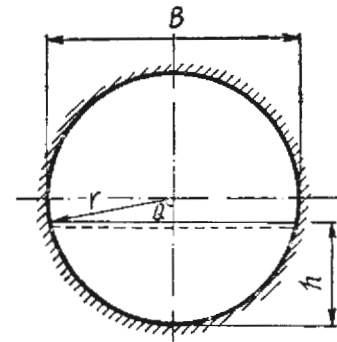
որտեղ  $\alpha$ -ն ջրանցքի շեղանկի կազմած անկյունն է հատակի նկատմամբ:

$$a) A = (b + mh)h, \quad (1.6)$$

$$b) \chi = b + 2h\sqrt{1 + m^2}, \quad (1.7)$$

$$g) R = \frac{(b + mh)h}{b + 2h\sqrt{1 + m^2}}, \quad (1.8)$$

$$d) B = b + 2mh, \quad (1.9)$$



Նկ. 1.3. Ջրանցքի եռանկյունաձև լայնակի կտրվածքը:

#### 3. Եռանկյունաձև կտրվածք (նկ. 1.3).

$$a) A = mh^2, \quad (1.10)$$

$$b) \chi = 2h\sqrt{1 + m^2}, \quad (1.11)$$

$$g) R = \frac{mh}{2\sqrt{1 + m^2}}, \quad (1.12)$$

$$d) B = 2mh, \quad (1.13)$$

#### 4. Երջանաձև կտրվածք (նկ. 1.4):

Հոսանքի խորությունը արտահայտված  $\theta$  անկյան միջոցով կլինի՝

$$h = r(1 - \cos \theta), \quad (1.14)$$

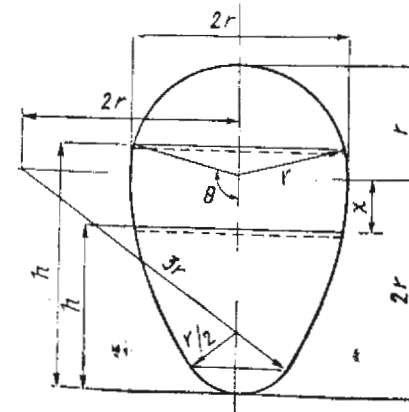
$$a) A = r^2 \left( \theta - \frac{\sin 2\theta}{2} \right), \quad (1.15)$$

$$b) \chi = 2r\theta, \quad (1.16)$$

$$g) R = r \left( 0.5 + \frac{\sin 2\theta}{4\theta} \right), \quad (1.17)$$

$$d) B = 2r \sin \theta, \quad (1.18)$$

#### 5. Չվաճկ կտրվածք (նկ. 1.5):



Նկ. 1.5. Չվաճկ լայնակի կտրվածքը ստանդարտների 3:2 հարաբերության դեպքում:

Առանցքների 3:2 հարաբերության ձվաձև կտրվածքի մակերեսը առանցքային գծից ցածր լցվածության դեպքում որոշվում է հետևյալ բանաձևով.

$$a) A = r^2 \left( 3.023 - 9 \arcsin \frac{x}{3r} \right) + r x \left( 4 - 3 \left( 1 - \left( \frac{x}{2r} \right)^2 \right)^{1/2} \right), \quad (1.19)$$

որտեղ  $x = 2r - h$ -ը հեղուկի ազատ մակերևույթի հեռավորությունն է առանցքային գծից:

Առանցքային գծից բարձր լցվածության դեպքում՝

$$A = 3.023r^2 + r^2 \left( \theta - \frac{\sin 2\theta}{2} \right) - \frac{\pi r^2}{2}, \quad (1.20)$$

Այս դեպքում՝  $\pi \geq \theta \geq \pi/2$ :

Երբ  $\theta = \frac{\pi}{2}$ -ի (ազատ մակերևույթը համընկնում է առանցքային գծին)

կենդանի կտրվածքի մակերեսի բանաձևը ստանում է հետևյալ տեսքը.

$$A = 3.023r^2, \quad (1.21)$$

իսկ  $\theta = \pi$  արժեքի դեպքում (լրիվ լցվածություն)

$$A = 4.594r^2, \quad (1.22)$$

բ) Քրշված պարաբոլը առանցքային գծից ցածր լցվածության դեպքում որոշվում է՝

$$Z = r \left( 4.788 - 6 \arcsin \frac{x}{3r} \right) \quad (1.23)$$

բանաձևով, իսկ առանցքային գծից բարձր լցվածության դեպքում՝

$$Z = 4.788r + 2r\theta - \pi r, \quad (1.24)$$

գ) Հիդրավիկական շտապիղը առանցքային գծից ցածր լցվածության դեպքում որոշվում է

$$R = \frac{r \left( 3.023 - 9 \arcsin \frac{x}{3r} \right) + x \left( 4 - 3 \left( 1 - \left( \frac{x}{3r} \right)^2 \right)^{1/2} \right)}{4.788 - 6 \arcsin \frac{x}{3r}} \quad (1.25)$$

բանաձևով, իսկ առանցքային գծից բարձր լցվածության դեպքում՝

$$R = \frac{3.023r + r \left( \theta - \frac{\sin 2\theta}{2} \right) - \frac{\pi r}{2}}{4.788 + 2\theta - \pi}, \quad (1.26)$$

դ) Լայնությունը ազատ մակերևույթի վրա առանցքային գծից ցածր լցվածության դեպքում կլինի՝

$$B = \frac{3r}{\left( 1 - \frac{x^2}{9r^2} \right)^{1/2}} - r \left( 4 - 3 \left( 1 - \left( \frac{x}{3r} \right)^2 \right)^{1/2} \right) + 3rx \left( 4 + \frac{x}{18r^2} \frac{1}{\left( 1 - \frac{x^2}{9r^2} \right)^{1/2}} \right), \quad (1.27)$$

Առանցքային գծից բարձր լցվածության դեպքում այն որոշվում է (1.18) բանաձևով:

6. Պարաբոլական կտրվածք (նկ. 1.6):

Գիշուկ ջրանցքի ձևը տրված է  $y = \rho x^2$  բանաձևով:  $\rho$ -ն, որի շափողականությունն է  $\rho^{-1}$ , անվանենք պարաբոլական կտրվածքի գործակից:

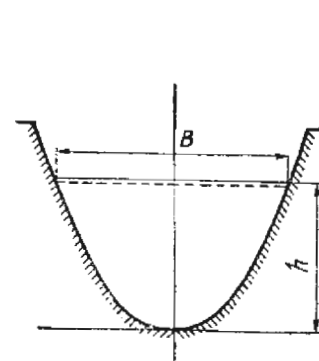
$$a) A = \frac{2}{3} B h = \frac{4}{3} \left( \frac{h^3}{\rho} \right)^{1/2}, \quad (1.28)$$

$$b) Z = \left( \frac{h}{\rho} \right)^{1/2} \left( (1 + 4h\rho)^{1/2} + \frac{1}{2(\rho h)^{1/2}} \ln(2(\rho h)^{1/2} + (1 + 4\rho h)^{1/2}) \right), \quad (1.29)$$

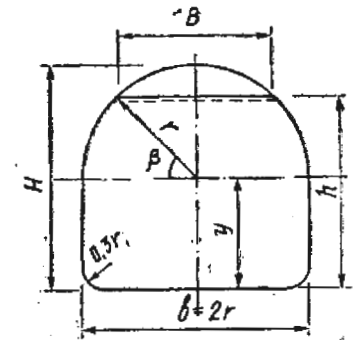
$$g) R = \frac{4h}{3} \left( (1 + 4\rho h)^{1/2} + \frac{1}{2(\rho h)^{1/2}} \ln(2(\rho h)^{1/2} + (1 + 4\rho h)^{1/2}) \right), \quad (1.30)$$

$$d) B = 2 \left( \frac{h}{\rho} \right)^{1/2}. \quad (1.31)$$

7. Տաշտան կտրվածք (նկ. 1.7):



նկ. 1.6. Ջրանցքի պարաբոլական լայնակի կտրվածքը:



նկ. 1.7. Տաշտան լայնակի կտրվածքը:

Այստեղ, առանց շոշափելի սխալի, հասակի անկյունային կորու-  
թյունները կարելի է արհամարհել: Այդ դեպքում կարվածքի հիդրավլի-  
կական բնութագրող մեծությունները որոշվում են պարզ անշոթյունների  
միջոցով:

Առանցքային գծից ներքև ուժի մեջ են (1.1), (1.2), (1.3) և (1.4)  
անշոթյունները, իսկ նրանից վերև՝

$$ա) A=yb+r^2\left(\beta+\frac{\sin 2\beta}{2}\right), \quad (1.32)$$

$$բ) \gamma=b+2y+2r\beta, \quad (1.33)$$

$$գ) R=\frac{yb+r^2\left(\beta+\frac{\sin 2\beta}{2}\right)}{b+2y+2r\beta}, \quad (1.34)$$

$$դ) B=2r\cos\beta, \quad (1.35)$$

$$h=y+r\sin\beta, \quad (1.36)$$

Հասակի անկյունային կորուսյունները հաշվի առնելու դեպքում  
(նկ. 1.7) կենդանի կարվածքի մակերեսից պետք է հանել 0,0386 r<sup>2</sup>, իսկ  
թրջված պարագծից՝ 0,2575 r (երբ r<sub>1</sub>=0,3 r):

Տաշտաձև կարվածքները սովորաբար օգտագործում են անճնշում  
թունելներում: Լցման խորությունը այս դեպքում պետք է լինի 0,85 H,  
մյուս կողմից ջրով շրջված մասը պետք է լինի  $\geq 0,4$  մ-ից: Առավելա-  
գույն էլքը թողարկվում է 0,935 H լցման դեպքում:

Թունելի էլքը կարելի է որոշել հետևյալ բանաձևով՝

$$Q=Q'\frac{\sqrt{i_0}}{n}, \quad (1.37)$$

որտեղ Q'-ը բերված էլքն է, որը Շևշիի դործակիցը Մանգինի բանա-  
ձևով հաշվելու դեպքում կորոշվի

$$Q'=Db^{8/3} \quad (1.38)$$

բանաձևով: D գործակցի և կարվածքի մյուս հիդրավլիկական մեծություն-  
ների հարաբերական արժեքները H=b և H=1,5 b դեպքերում, կախ-  
ված լցվածության աստիճանից, բերված են աղյ. 1.1-ում:

Նշենք, որ աղյուսակ 1.1-ից հարմար է օգտվել տարբեր լցվածու-  
թյան աստիճանների դեպքում հիդրավլիկական մեծությունները որոշե-  
լու համար, սակայն նրանք պիտանի չեն այդ մեծությունների և ջրի  
խորության միջև ֆունկցիոնալ կապ ստեղծելու համար: Վերջին դեպքում  
պետք է օգտվել (1.32)–(1.36) բանաձևերից:

Տաշտաձև թունելի կարվածքների բնութագրերը

| Լցվածու-<br>թյան<br>աստիճանը h/H | Կենդանի<br>կարված-<br>քի<br>մակերեսը A/b <sup>2</sup> | Կենդանի<br>կարվածքի<br>բացված<br>թիվը<br>γ/b | Հիդրավլիկական<br>շտապիցը R/b | Բերված էլքը<br>Q'/b <sup>3/2</sup> | Լցվածության<br>ան-<br>կյունը β° |
|----------------------------------|---|--|------------------------------|------------------------------------|---------------------------------|
| H=b կարվածք                      |   |  |                              |                                    |                                 |
| 1.0                              | 0,8831  | 3,4420                                       | 0,2565                       | 0,3565                             | 90°                             |
| 0,935                            | 0,8613  | 2,9264                                       | 0,2943                       | 0,3811                             | 60°28'                          |
| 0,85                             | 0,8091  | 2,6466                                       | 0,3057                       | 0,3672                             | 44°26'                          |
| 0,8                              | 0,7712  | 2,5147                                       | 0,3067                       | 0,3507                             | 36°52'                          |
| 0,7                              | 0,6848  | 2,2827                                       | 0,3000                       | 0,3068                             | 23°35'                          |
| 0,6                              | 0,5896  | 2,0726                                       | 0,2845                       | 0,2551                             | 11°32'                          |
| 0,5                              | 0,4903  | 1,8712                                       | 0,2621                       | 0,2009                             | 0°                              |
| 0,4                              | 0,3903  | 1,6712                                       | 0,2336                       | 0,1481                             | —                               |
| 0,3                              | 0,2903  | 1,4712                                       | 0,1974                       | 0,0984                             | —                               |
| 0,2                              | 0,1903  | 1,2712                                       | 0,1496                       | 0,0536                             | —                               |
| H=1,5 b կարվածք                  |   |  |                              |                                    |                                 |
| 1.0                              | 1,3830  | 4,4420                                       | 0,3113                       | 0,6352                             | 90°                             |
| 0,935                            | 1,3437  | 3,8069                                       | 0,3530                       | 0,6711                             | 53°36'                          |
| 0,85                             | 1,2508  | 3,4536                                       | 0,3623                       | 0,6355                             | 33°22'                          |
| 0,8                              | 1,1849  | 3,2827                                       | 0,3610                       | 0,6007                             | 23°34'                          |
| 0,7                              | 1,0403  | 2,9714                                       | 0,3501                       | 0,5167                             | 5°44'                           |
| 0,6                              | 0,8903  | 2,6712                                       | 0,3333                       | 0,4280                             | —                               |
| 0,5                              | 0,7403  | 2,3712                                       | 0,3122                       | 0,3407                             | —                               |
| 0,4                              | 0,5903  | 2,0712                                       | 0,2805                       | 0,2529                             | —                               |
| 0,3                              | 0,4403  | 1,7712                                       | 0,2486                       | 0,1708                             | —                               |
| 0,2                              | 0,2903  | 1,4712                                       | 0,1973                       | 0,0984                             | —                               |

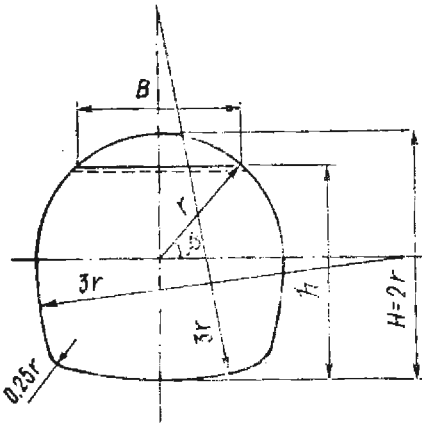
8. Կողովաձև կտրվածք (նկ. 1.8):

Այս կարվածքները նույնպես օգտագործվում են անճնշում թունել-  
ներում:

Առանցքային գծից վերև կարվածքի հիդրավլիկական բնութագրող  
մեծությունները կորոշվեն՝

$$ա) A=r^2\left(\left(\beta+\frac{\sin 2\beta}{2}\right)+4\left(\frac{9\pi}{8}-\frac{3\sqrt{2}}{\sin\psi}\psi+\frac{\psi}{\sin^3\psi}-\frac{\sqrt{2}}{\sin\psi}\sin\left(\frac{\pi}{4}-\psi\right)\right)\right) \quad (1.39)$$

բանաձևով, որտեղ ψ-ն պարամետրն է, որը հիդրավլիկական նպատա-  
կահամար կտրվածքի համար՝  $\psi=\frac{\alpha}{6}$ , Այս դեպքում (1.39)-ի փոխա-  
րեն կունենանք



$$A = r^2 \left( \left( \beta + \frac{\sin 2\beta}{2} \right) + 1.815 \right), \quad (1.40)$$

$$X = r^2 \left( \left( \beta + \frac{4\sqrt{2\beta}}{\sin \psi} \right) + 1.815 \right), \quad (1.41)$$

Նույն ձևով, երբ  $\psi = \frac{\pi}{6}$ , կունենանք՝

$$X = r(2\beta + 3.5), \quad (1.42)$$

7)  $\psi = \frac{\pi}{6}$ -ի դեպքում կունենանք

$$R = r \frac{\left( \beta + \frac{\sin 2\beta}{2} \right) + 2.815}{2\beta + 3.5}, \quad (1.43)$$

$$7) B = 2r \cos \beta, \quad (1.44)$$

$$h = r(1 + \sin \beta), \quad (1.45)$$

Գոյություն ունեն նաև այլ լայնակի կտրվածքներ, որոնք օգտագործվում են հազվադեպ, հետևաբար և նրանց բնութագրող մեծությունները սույն պրքում չեն բերվում:

## 1.2 ԷՆԵՐԳԻԱՅԻ ԿՈՐՈՒՄՏՆԵՐԻ ՈՐՈՇՈՒՄԸ

Հիդրոտեխնիկական կառուցվածքներում, սովորաբար, էներգիայի կորուստները ճնշումային խողովակներում որոշում են Գարսի-Վեյսբախի բանաձևով՝

$$h_g = \lambda \frac{l}{d} \frac{v^2}{2g} \quad (1.46)$$

Ոչ ճնշումային շարժման դեպքում  $d$ -ն պետք է փոխարինել հիդրավիկական շառավղով՝  $d = 4R$ : Սակայն ավելի հարմար է հիդրավիկական կորուստները որոշել Շեզիի բանաձևով՝

$$v = C\sqrt{Ri}, \quad (1.47)$$

որտեղից հաշվի առնելով, որ  $i = h_g/l$ , կստանանք՝

$$h_g = \frac{v^2 l}{C^2 R}, \quad (1.48)$$

Շեզիի  $C$  գործակիցը  $\lambda$ -ի հետ կապվում է  $C = \sqrt{\frac{89}{\lambda}}$  տոնշումբյամբ: Շիման դիմադրության  $\lambda$  գործակիցը (Գարսիի գործակիցը) կախված է մեկնույթի թվից ( $R_e$ ) և հարարերական խորզուբորդությունից ( $\Delta = \Delta/L$ ), որտեղ  $L$ -ը որևէ բնորոշ գծային չափ է և մեծ մասամբ ընդունվում է խողովակի տրամագիծը՝  $L = d$ :  $\Delta$ -ն պատի խորզուբորդությունների ելուստների միջին չափն է: Հաճախ  $\Delta$ -ի փոխարեն օգտագործվում է խորզուբորդությունների համարժեք ելուստի գաղափարը՝  $\Delta_L$ -ը, որտեղ իրական ելուստները բերված են հավասարահասակ ելուստների: Խորզուբորդությունների համարժեք ելուստների չափը կարելի է վերցնել աղյուսակ 1.2-ից:

Աղյուսակ 1.2

Խողովակների և ջրանցքների խորզուբորդությունների համարժեք ելուստները

| Մակերևույթը                                | Մակերևույթի վիճակը   | $\Delta_L$ մմ |
|--|--|---------------|
| Բետոն և երկաթբետոն                         | կալ պայտաններ, իրականացված մետաղյա կաղապարամոծով           | 0,3—1,0       |
| Տորկրևտի կամ ցեմենտի շաղախով սվաղված բետոն | Միջին պայտաններ, իրականացված շարքեցված փայտե կաղապարամոծով | 1,0—4,0       |
|  | Կոպիտ, քայքայված   | 3,0—10,0      |
| Պողպատե երեսապատում                        | Մաքուր ցեմենտով երկաթայնացումով                            | 0,1—0,3       |
|  | Քաշարթված տորկրևտ կամ ծեփարետոն                            | 0,5—2,0       |
| Ամբողջական եռակցված                        | Նույնը առանց քաշարթման                                     | 3—4           |
|  | Կոռոզիայի թույլ հետքերով                                   | 0,05—0,1      |
| Պողպատե խողովակներ                         | Կոռոզիայի ենթարկված  | 0,1—1,5       |
|  | Կալ վիճակում գտնվող եռակցված միացումներ                    | 0,04—0,1      |
| Պողպատե խողովակներ                         | Գործածության մեջ գտնված հավասարչափ կոռոզիայի ենթարկված     | 0,15          |
|  | Զգալի կոռոզիա, թույլ նստվածքներ                            | 0,8—1,5       |
|  | Զգալի նստվածքներ և կոռոզիա                                 | 2,0—4,0       |
|  | Վատ վիճակի մակերևույթ:                                     | 5,0           |

Գոյություն ունեն շիման դիմադրության երեք գոտիներ:

1-ին կամ լամինար շարժման գոտի: Խողովակներում հեղուկի իդոթերմ շարժման դեպքում  $\lambda$ -ն որոշվում է  $\lambda = 64/R_e$  բանաձևով, բայց իրականում ավելի մոտ արժեքներ են ստացվում, ինչը պայմանավորված է  $\lambda = 75/R_e$  բանաձևով:

2-րդ կամ հիդրավիկական որոշկ պատերի գտի: Այստեղ  $\lambda$ -ն կախված է միայն  $Re$ -ից (կախված չէ  $\Delta$ -ից): Այս գոտու գործնական սահմանները հանդիսանում են  $2320 < Re < 10/\Delta$ :

Գիմադրության այս գոտում  $\lambda$ -ն որոշելու համար Բլազիուսը առաջարկել է

$$\lambda = \frac{0,316}{Re^{0,25}} \quad (1.49)$$

բանաձևը, իսկ Ա. Ֆ. Շեվկևիցովը՝

$$\lambda = \frac{0,25}{Re^{0,226}} \quad (1.50)$$

բանաձևը:

Մինչև շփման դիմադրության 3-րդ գոտին կա, այսպես կոչված, անցումային մաս: Անցումային մասի գործնական սահմաններն են  $10/\Delta < Re < 560/\Delta$ , որի համար կարելի է օգտագործել Քուլբրուկ-Ուայտի՝

$$\frac{1}{\sqrt{\lambda}} = 2,1 \left( \frac{2,5}{Re \sqrt{\Delta}} + \frac{\Delta}{3,7} \right) \quad (1.51)$$

և Ա. Գ. Այաշուլի՝

$$\lambda = 0,11 \left( \frac{\Delta}{Re} + \frac{68}{Re} \right)^{0,25} \quad (1.52)$$

բանաձևերը:

3-րդ կամ Բառակուսիական դիմադրությունների գոտի: Ինչպես ընդհանուր թվի մեծ արժեքների դեպքում (գործնականորեն  $Re > 560/\Delta$ )  $\lambda$ -ն կախված է դասնում միայն  $\Delta$ -ից, հետևաբար ունենք հիդրավիկական կորուստների բառակուսիական կախում արագությունից:

Այս գոտու համար ընդունելի է Պրանալ-Նիկուրաձևի բանաձևը՝

$$\lambda = \frac{1}{(2,1 \lg 3,7/\Delta)^2} \quad (1.53)$$

Բևտոնային հունների համար Ա. Պ. Փեգզյան ստացել է

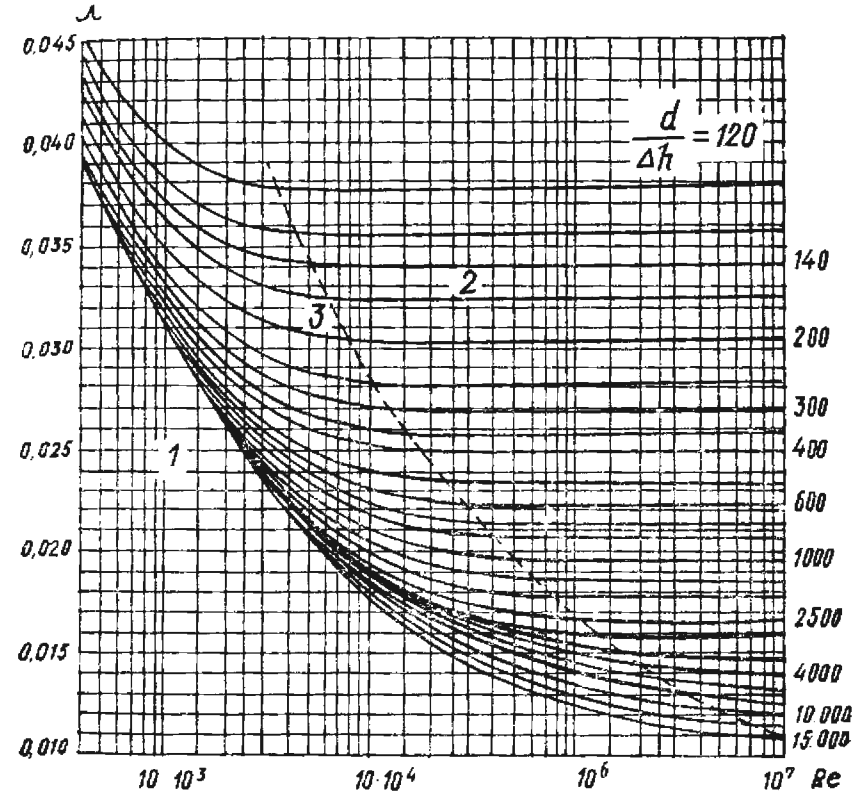
$$\lambda = \frac{1}{\left( 2,1 \lg \frac{2,88}{\Delta} \right)^2} \quad (1.54)$$

առնչությունը:

Ա. Ֆ. Շեվկևիցովը ջրմուղի խողովակների համար առաջարկում է հետևյալ կառուցվածքի բանաձև՝

$$\lambda = \frac{A}{d^x}, \quad (1.55)$$

որտեղ  $A$ -ի և  $x$ -ի արժեքներն են.



Նկ. 1.9.  $\lambda$ -գործակցի կապը  $\Delta$ -ից և  $Re$ -ից ըստ Գ. Ա. Մուրինի:

պողպատի նոր խողովակներ՝  $A=0,0121$ ,  $x=0,226$ ,

թուջե նոր խողովակներ՝  $A=0,0143$ ,  $x=0,284$ ,

օգտագործման մեջ եղած թուջե և պողպատե խողովակներ՝  $A=0,021$ ,  $x=0,3$ :

Այս բանաձևի մեջ  $d$ -ն պետք է տեղադրել մետրերով:

Պողպատե խողովակների համար, ըստ Գ. Ա. Մուրինի,  $\lambda$ -ի արժեքները կարելի է ստանալ նկ. 1.9-ում տրված գրաֆիկից:

Ինչպես նշեցինք վերևում, Շեվկևի գործակցի կարելի է որոշել  $\lambda$ -ի միջոցով, սակայն, ելնելով այն բանից, որ  $\lambda$ -ի բանաձևերը էմպիրիկ են, ունեն կիրառման նեղ շրջանակներ և մեծ մասամբ վերաբերում են խողովակներին, ապա խորհուրդ չի տրվում  $C$ -ն որոշել  $\lambda$ -ի միջոցով:

կայն տարածում ունի C-ի որոշման ցուցիչային բանաձևը՝

$$C = \frac{1}{n} R^y \quad (1.53)$$

Մանինգը ընդունում է  $y=1/6$ , որը կիրառելի է R-ի փոքր արժեքների համար միայն:

Ն. Ն. Պավլովսկին  $y$ -ի համար առաջարկում է հետևյալ բանաձևը՝

$$y = 2.5\sqrt{\bar{n}} - 0.13 - 0.75\sqrt{R}(\sqrt{\bar{n}} - 0.1), \quad (1.57)$$

որի կրճատ տեսքն է

$$y = a\sqrt{\bar{n}} \quad \begin{aligned} a &= 1.5, \text{ երբ } 0.1 \leq R < 1.0 \text{ մ,} \\ a &= 1.3, \text{ երբ } 1.0 \leq R < 3.0 \text{ մ:} \end{aligned}$$

Այս բանաձևերի մեջ մանող խորզուբորդությունների գործակցի՝  $\pi$ -ի, համար տրվում են 1.3 աղյուսակում բերված արժեքները:

Գրականության մեջ (1.2) ջրանցքների խորզուբորդության գործակցիցները որոշելու շատ մանրամասն տվյալներ են բերվում:

Հետազոտությունները ցույց են տվել, որ գործնականում կարելի է օգտվել նաև Ն. Ն. Պավլովսկու կրճատ բանաձևով և Մանինգի բանաձևով: Այս դեպքում պատրաստի աղյուսակից օգտվելու փոխարեն  $y$ -ի արժեքները հարմար է հաշվել բանաձևով, հաշվիչի միջոցով:

Նշենք, որ  $\bar{\Delta}$ -ն և  $\pi$ -ը միմյանց համարժեք չեն:  $\bar{\Delta}$ -ն արտահայտում է հարաբերական խորզուբորդությունը, իսկ  $\pi$ -ը՝ բացարձակը և տրվում է պատի վիճակից ելնելով: Իրենց իմաստով համարժեք են  $\Delta$ -ն և  $\pi$ -ը: C-ն ընդհանրապես իմաստ ունի միայն քառակուսիական գոտու համար, քանի որ հաստատուն  $\Delta$ -ին կհամապատասխանի նույն  $\lambda$ -ն:

Աղյուսակ 1.3

Խորզուբորդության  $\pi$  գործակցի արժեքները

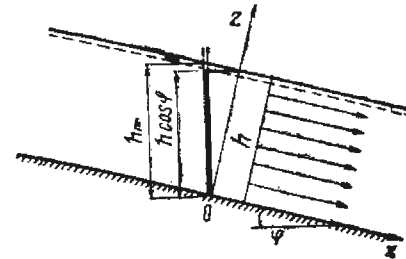
| Մակերևույթի վիճակը                                   | $\pi$ -ի արժեքը |        |           |
|--|-----------------|--------|-----------|
|  | ամենափոքրը      | միջինը | ամենամեծը |
| Հարթ բևտոն առանց կլուտոնների և փոսերի                | 0,013           | 0,014  | 0,015     |
| Մենհարթ բևտոն կաղապարամածի հետքերով                  | 0,015           | 0,016  | 0,018     |
| Ինտոնն և երկաթբետոնե սվաղած կամ հարթեցված երևույթում | —               | 0,011  | —         |
| Մաքուր ցեմենտով անթերի սվաղած                        | 0,011           | 0,012  | 0,013     |
| Տորկրետային մակերևույթ, քսահարթված                   | 0,016           | 0,018  | —         |
| Տորկրետային մակերևույթ, առանց քսահարթման             | —               | 0,019  | 0,021     |

1 Чоу В. Т. Гидравлика открытых каналов. М.: Стройиздат, 1969, 464 с.

2 Слисский С. М. Гидравлические расчеты высоконапорных гидротехнических сооружений. М.: Энергия, 1979, 336 с.

կարելի է կապ ստեղծել  $\Delta$ -ի և  $\pi$ -ի միջև ըստ (1.56)-ի, հիմք ընդունելով  $\lambda$ -ի (1.53) կամ (1.54) բանաձևերը:

### 1.3 ՃՆՇՄԱՆ ԲԱՇԽՈՒՄԸ ԶՐԱՆՑՔԻ ԿՆՆԴԱՆԻ ԿՏՐՎԱՍԹՈՒՄ



Նկ. 1.10. Ճնշման բաշխումը մեծ թեքության ջրանցքում:

Քննարկենք ճնշման բաշխումը ուղիղ թեքության ջրանցքում, ընդունելով ջրի շարժումը զուգահեռաշիթ: Հարմար է  $x$ -երի առանցքը համընկնեցնել շարժման ուղղության հետ (Նկ. 1.10):

Իդեալական հեղուկի շարժման դիֆերենցիալ հավասարումներն են՝

$$\begin{aligned} X - \frac{1}{\rho} \frac{\partial p}{\partial x} &= \frac{\partial u_x}{\partial t} + u_x \frac{\partial u_x}{\partial x} + u_y \frac{\partial u_x}{\partial y} + u_z \frac{\partial u_x}{\partial z}, \\ Y - \frac{1}{\rho} \frac{\partial p}{\partial y} &= \frac{\partial u_y}{\partial t} + u_x \frac{\partial u_y}{\partial x} + u_y \frac{\partial u_y}{\partial y} + u_z \frac{\partial u_y}{\partial z}, \\ Z - \frac{1}{\rho} \frac{\partial p}{\partial z} &= \frac{\partial u_z}{\partial t} + u_x \frac{\partial u_z}{\partial x} + u_y \frac{\partial u_z}{\partial y} + u_z \frac{\partial u_z}{\partial z}, \end{aligned} \quad (1.58)$$

$$\text{Ատացիոնար շարժման համար ունենք՝} \quad \frac{\partial u_x}{\partial t} = \frac{\partial u_y}{\partial t} = \frac{\partial u_z}{\partial t} = 0:$$

Քաղի աչդ մեր հաշվարկային սխեմայում՝

$$u_x = u, \quad u_y = u_z = 0, \quad \frac{\partial u_y}{\partial y} = \frac{\partial u_z}{\partial z} = 0:$$

Հեղուկի եռաչափ շարժման անխզելիության դիֆերենցիալ հավասարումից ունենք՝

$$\operatorname{div} u = \frac{\partial u_x}{\partial x} + \frac{\partial u_y}{\partial y} + \frac{\partial u_z}{\partial z} = 0, \quad \text{հետևաբար} \quad \frac{\partial u_x}{\partial x} = 0:$$

Այսպիսով, զուգահեռաշիթ շարժման դեպքում հեղուկի շարժման դիֆերենցիալ հավասարումները հանգեցնում են հեղուկի հավասարակշռության դիֆերենցիալ հավասարումների՝

$$X - \frac{1}{\rho} \frac{\partial p}{\partial x} = 0, \quad (1.59)$$

$$Y - \frac{1}{\rho} \frac{\partial p}{\partial y} = 0,$$

$$Z - \frac{1}{\rho} \frac{\partial p}{\partial z} = 0,$$

Եթե հեղուկը գտնվում է ծանրության ուժի դաշտում, ծավալային ուժի պրոյեկցիաները միավոր զանգվածով հեղուկի համար կլինեն՝

$$X = g \sin \varphi, \quad (1.60)$$

$$Y = 0,$$

$$Z = -g \cos \varphi:$$

Տեղագրելով (1.59)-ի մեջ (1.60)-ի արժեքները և ինտեգրելով, կստանանք՝

$$p = x \rho g \sin \varphi - z \rho g \cos \varphi + C,$$

Ինտեգրման  $C$  հաստատունը որոշվում է հետևյալ սահմանային պայմանից  $x=0$ ,  $z=h$ ,  $p=p_{\text{սթ}}$  (կտրվածքը անցնում է կորագիծա-տային սկզբնակետով)

$$C = p_{\text{սթ}} + \rho g h \cos \varphi,$$

կամ ճնշման բաշխման օրենքը  $x=0$  կենդանի կտրվածքում կլինի՝

$$p = p_{\text{սթ}} + \rho g (h - z) \cos \varphi. \quad (1.61)$$

Հատակի վրա ( $z=0$ ) ավելցուկային ճնշումը կլինի՝

$$\frac{p}{\rho g} = h \cos \varphi, \quad (1.62)$$

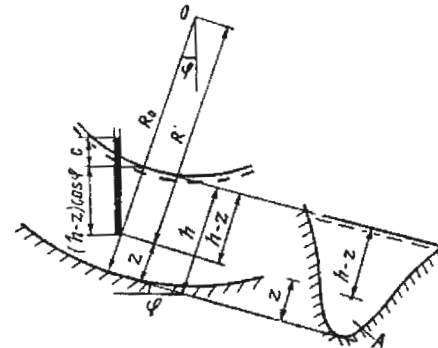
կամ հաշվի առնելով, որ  $h = h_{\text{ու}} \cos \varphi$  ( $h_{\text{ու}}$  - խորությունն է ըստ ուղղածիզի)՝

$$\frac{p}{\rho g} = h_{\text{ու}} \cos^2 \varphi:$$

Հիդրավիկական հաշվարկներում սովորաբար հատակի ճնշումը ընդունվում է  $p/\rho g = h_{\text{ու}}$ , այսինքն հեղուկի խորությունը ջրանցքում ընդունվում է ըստ ուղղածիզի: Հարկ է նշել, որ այդպիսի ընդունելու-թյունը կարելի է թույլ առաջ միայն փոքր թեքությունների դեպքում:

Թույլատրելի սխալը ընդունելով 1 %-ի սահմաններում, կստանանք  $\varphi \leq 5,74^\circ$ ,  $i_0 = \sin \varphi \leq 0,095$ :

Քանի որ մենք գործ կունենանք ոչ միայն փոքր, այլև մեծ թեքու-թյունների հետ, ապա ճնշման փոփոխման օրինաչափությունը պետք է ընդունել (1.61), իսկ ջրանցքի հատակի վրա ճնշումը կորոշվի (1.62)



Նկ. 1.11. Ճնշման բաշխումը գոգավոր կոր հատակով ջրանցքում:

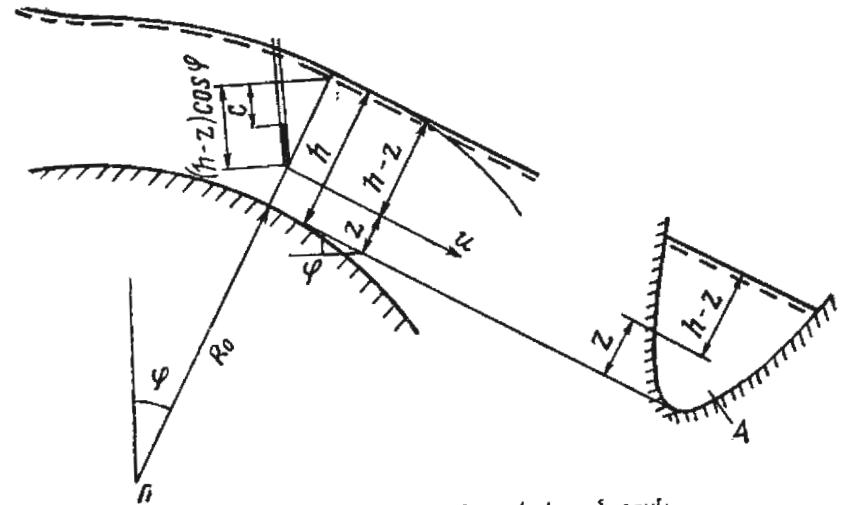
րանցքներում:

Վ. Տ. Չոուն՝ առաջարկում է ճնշման շեղումը հիդրոստատիկականից հոսանքի կամայական կետում որոշել

$$C = \frac{h-z}{g} \frac{u^2}{|r|} \quad (1.63)$$

բանաձևով, որտեղ  $R^1$ -ը կտրվածքի կամայական կետում կորություն շառավիղն է:

Այնուհետև Չոուն առաջարկում է գործնական նպատակներով հո-սանքի կամայական կետում արագությունը ( $u$ ) փոխարինել կտրվածքի միջին արագությամբ ( $v$ ):



Նկ. 1.12. Ճնշման բաշխումը ուռուցիկ կոր հատակով ջրանցքում:

1Чоу В. Т., Гидравлика открытых каналов. М., Стройиздат, 1969, 464 с.

C-ի որոշումը ըստ (1.63)-ի հանգեցնում է հետևյալ սխալների.

1. Հատակում  $u=0$  և բանաձևով ստացվում է, որ  $C=0$ , մինչդեռ իրականում  $C \neq 0$ :

2. Բանաձևը ստանալիս ընդունվում է, որ հատակից  $z$  հեռավորության վրա գտնվող տարրի զանգվածը հավասար է իրենից վերև գտնվող հեղուկի սյան զանգվածին:

3. Ա փոփոխական արագությունը առանց հիմնավորելու փոխարինված է  $v$  միջին արագությամբ:

Սակայն, հաշվի առնելով այն հանգամանքը, որ հոսանքի խորությունը կորուստի շառավիղի նկատմամբ փոքր է, (1.63) բանաձևով որոշված C-ի արժեքները գործնականորեն մոտ են ճիշտ լուծումներով ստացված արդյունքներին:

Մեր հետազոտությունները ցույց են տվել, որ երբ  $h/R_0 \leq 0,5$  (ինչպիսին հիմնականում հանդիպում են հիդրոտեխնիկական կառուցվածքներում), այս (1.63) բանաձևով որոշված ճնշման շեղումը չի հանգեցնում զգալի սխալների ոչ միայն ջրանցքի հատակի վրա ճնշումը որոշելիս, այլև ջրանցքի կտրվածքի լրիվ էջը որոշելիս և ազատ մակերևույթի կորը կառուցելիս:

Քննարկենք կոր հատակով ջրանցքի հիդրավլիկական հաշվարկի երկու դեպք.

1)  $h/R_0$  հարաբերությունները մեծ են և չի կարելի առաջնորդվել (1.63) բանաձևով:

2)  $h/R_0$  հարաբերությունները փոքր են և հաշվարկի հիմքում կարելի է դնել (1.63) բանաձևը:

Նախքան այս դեպքերի համար հիդրավլիկական հաշվարկի մեթոդները տալը, զրադվենք շրջանային պրոֆիլով ջրանցքներում  $h/R_0$  հարաբերության մեծ արժեքների դեպքում ճնշման որոշմամբ:

### 1.1 ՃՆՇՄԱՆ ԲԱՇԽՈՒՄԸ ՇՐՋԱՆԱՅԻՆ ՊՐՈՖԻԼՈՎ ԶՐԱՆՑՔՆԵՐՈՒՄ

Շրջանային կոր հատակով ջրանցքներում ճնշման բաշխման օրինաչափությունը ստանալու համար լրացուցիչ ընդունվում են հետևյալ պայմանները.

ա) կենտրոնախույս ուժերը որոշելիս ընդունվում է, որ բոլոր հոսքի գծերը համակենտրոն շրջանագծեր են և կենդանի կտրվածքները հարթ են:

բ) Ըստ շարժման ուղղության կորուստի կենտրոնը տեղը չի փոխում:

Հոսանքի կամայական կետում կորուստի կենտրոնից  $R_0+t$  հեռավորության վրա շառավիղի նորմալի ուղղությամբ անջատենք  $dA_r$  հիմքով

և իր քարձրությունը  $dt$  տարրական ծավալ (նկ. 1.13), որի զանգվածը կլինի՝  $dm = \rho dA_r dt$ : Նրա վրա կազդեն ծանրության ուժը՝  $g dm$  և կենտրոնախույս ուժը՝  $dm \frac{u^2}{R_0+t}$ ,

այս ուժերը պրոյեկտելով շառավիղի ուղղության վրա, կստանանք՝

$$dF = \rho g dA_r dt \cos \varphi \pm \rho dA_r dt \frac{u^2}{R_0+t}, \quad (1.64)$$

Այստեղ և հետագայում վերին նշանը համապատասխանում է գոգավոր, իսկ ներքինը՝ ուռուցիկ պրոֆիլներին:

Ինտեգրելով (1.64)-ը  $z$ -ից մինչև  $h$  արժեքը և բաժանելով  $dA_r$  մակերեսի վրա, կստանանք ավելցուկային ճնշման մեծությունը կտրվածքի կամայական կետում:

$$p = \rho g (h-z) \cos \varphi \pm \rho \int_z^h \frac{u^2}{R_0+t} dt, \quad (1.65)$$

Ճնշումը ջրանցքի հատակի վրա ( $z=0$ ) արտահայտված հեղուկի սյան բարձրությամբ, կլինի

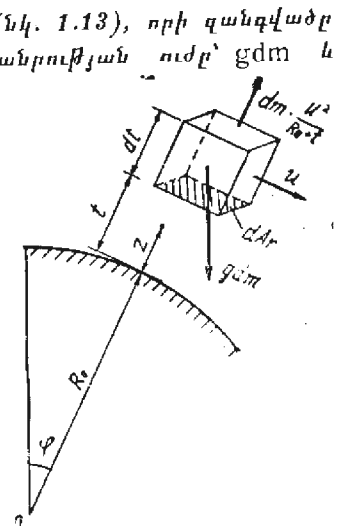
$$\frac{p}{\rho g} = h \cos \varphi \pm \frac{1}{g} \int_0^h \frac{u^2}{R_0+t} dt, \quad (1.66)$$

Ընդհանուր դեպքում (1.66)-ը կարելի է անալիտիկորեն կամ թվային ինտեգրել, ունենալով արագության բաշխման օրինաչափությունը կենդանի կտրվածքի վրա: (1.66)-ի վերջին անգամը կարելի է ներկայացնել հետևյալ տեսքով.

$$C = \frac{v^2}{g} \Phi_1(h/R_0), \quad (1.67)$$

որտեղ՝

$$\Phi_1(h/R_0) = \frac{\int_0^h \frac{u^2}{R_0+t} dt}{v^2} \quad (1.68)$$



Նկ. 1.13. Կոր պրոֆիլով ջրանցքի կամայական կետում ճնշման որոշման հաշվարկային սխեման:

Այսպիսով, շրանցքի հատակի վրա ճնշման որոշումը հանգում է  $\Phi_1(h/R_0)$ -ի որոշմանը, որը ընդհանուր դեպքում հնարավոր չէ:

Հնարավորություն չունենալով որոշել C-ի ճիշտ արժեքը ըստ (1.67)-ի, նրա մեծության մասին գաղափար կազմելու համար քննարկենք մի քանի մատչելի մասնավոր դեպքեր և նրանք իրար հետ համեմատելով, գնահատենք C-ի որոշման մեջ թույլ տված սխալի գոնե մոտավոր շափր:

Քննարկենք հետևյալ մասնավոր դեպքերը.

1-ին դեպք՝  $u=v$ : Նշենք, որ արագությունների հաստատուն լինելը վերաբերում է տվյալ կենդանի կտրվածքին, իսկ ըստ ճանապարհի միջին արագությունը փոխվում է  $u=v=Q/A$  օրինաչափությամբ: Ինտեգրելով (1.68)-ը, կստանանք՝

$$\Phi_1(h/R_0) = \ln(1 + h/R_0), \quad (1.69)$$

2-րդ դեպք՝  $u=\omega(R_0+t)$ , որտեղ  $\omega = \text{const}$  կենդանի կտրվածքի բոլոր կետերի պտտման անկյունային արագությունն է ընդհանուր կոորդինատային կենտրոնի նկատմամբ (ինչպես պինդ մարմնի պտույտ): Այս դեպքում՝

$$\Phi_1(h/R_0) = \frac{h/R_0 + h^2/2R_0^2}{(1 + h/R_0)^2}, \quad (1.70)$$

Քանի որ ըստ շառավղի արագությունը փոխվում է գծային օրենքով, կտրվածքի մեջտեղում ( $z=h/2$ ) արագությունը հավասար կլինի կտրվածքի միջին արագությանը:

3-րդ դեպք՝  $u(R_0+t) = \text{const}$ : Արագությունների այսպիսի էպլուրը բնորոշ է պտտենցիալային շարժմանը: Այս դեպքում կստանանք՝

$$\Phi_1(h/R_0) = \frac{h/R_0 + h^2/2R_0^2}{(\ln^2(1 + h/R_0))(R_0/h + 1)}, \quad (1.71)$$

Արագությունը հավասար կլինի միջինին  $z$  հեռավորության վրա, որը կորոշվի հետևյալ կերպ՝

$$\frac{z}{R_0} = \frac{h/R_0}{\ln(1 + h/R_0)}, \quad (1.72)$$

4-րդ դեպք՝  $u = \frac{2v}{h}t$ : Արագությունների էպլուրը եռանկյուն է, զրոյական արագությունը շրանցքի հատակում է.

$$\Phi_1(h/R_0) = 2 - 4\frac{R_0}{h} + 4\left(\frac{R_0}{h}\right)^2 \ln(1 + h/R_0), \quad (1.73)$$

Արագությունը հավասար է միջինին, երբ  $z=h/2$ :

5-րդ դեպք՝  $u = \frac{2v}{h}(h-t)$ : Արագությունների էպլուրը եռանկյուն է զրոյական արժեքով ազատ մակերևույթի վրա:

$$\Phi_1(h/R_0) = 4\left(\left(\frac{R_0}{h} + 1\right)^2 \ln\left(1 + \frac{h}{R_0}\right) - 4R_0/h - 6\right), \quad (1.74)$$

Արագությունը հավասար է միջինին, երբ  $z=h/2$ :

Արագությունների բաշխման օրինաչափության ազդեցությունը շրանցքի հատակում ճնշման արժեքի վրա պարզելու համար մտցնենք երկու ցուցանիշ՝  $k_0=C_1/C$  և  $k_1=C_1/C_1$ : Մրանցից  $k_0$ -ն արտահայտում է ճնշման շեղումների հարաբերությունը հիդրոստատիկականից ըստ տվյալ դեպքի և ըստ Վ. Տ. Չոուի, իսկ  $k_1$ -ը՝ ըստ տվյալ դեպքի էպլուրի և առաջին դեպքի:

Աղյուսակ 1.4-ում տրված է  $\Phi_1(h/R_0)$ -ի արժեքները, կախված  $h/R_0$  հարաբերությունից, քննարկված 5 դեպքերի համար:

Վերլուծությունը հնարավորություն է ապահովում հետևյալ եզրակացությունների.

1.  $h/R_0$ -ի փոքր արժեքների ( $h/R_0 < 0,5$ ) դեպքում կենդանի կտրվածքի միջինացված ճնշումը և հատակի վրա ճնշումը քիչ են կախված

Աղյուսակ 1.4.

$\Phi_1(h/R_0)$ ,  $k_0$ ,  $k_1$  արժեքները, կախված,  $h/R_0$  հարաբերությունից

| դեպք            | $h/R_0=0,0$ | 0,2    | 0,4    | 0,6    | 0,8     | 1,0    |
|-----------------|-------------|--------|--------|--------|---------|--------|
| $\Phi_1(h/R_0)$ | 0,0         | 0,2    | 0,4    | 0,6    | 0,8     | 1,0    |
| 0 $K_0$         | 1,0         | 1,0    | 1,0    | 1,0    | 1,0     | 1,0    |
| $K_1$           | 1,0         | 1,097  | 1,1887 | 1,27   | 1,361   | 1,442  |
| 1 $\gg$         | 0,0         | 0,1823 | 0,3365 | 0,470  | 0,5878  | 0,6931 |
|                 | 1,0         | 0,911  | 0,8412 | 0,783  | 0,730   | 0,6930 |
|                 | 1,0         | 1,0    | 1,0    | 1,0    | 1,0     | 1,0    |
| 2 $\gg$         | 0,0         | 0,1589 | 0,2841 | 0,4143 | 0,5669  | 0,750  |
|                 | 1,0         | 0,8715 | 0,8442 | 0,8816 | 0,9644  | 1,082  |
|                 | 1,0         | 0,7945 | 0,7102 | 0,6905 | 0,7086  | 0,75   |
| 3 $\gg$         | 0,0         | 0,1834 | 0,3461 | 0,4965 | 0,6404  | 0,7805 |
|                 | 1,0         | 1,008  | 1,0285 | 1,0565 | 1,08939 | 1,1261 |
|                 | 1,0         | 0,917  | 0,8652 | 0,8275 | 0,8003  | 0,7805 |
| 4 $\gg$         | 1,0         | 0,2321 | 0,4118 | 0,5556 | 0,6737  | 0,7726 |
|                 | 1,0         | 1,2735 | 1,2238 | 1,1821 | 1,1461  | 1,1147 |
|                 | 1,0         | 1,1605 | 1,0295 | 0,9260 | 0,8421  | 0,7726 |
| 5 $\gg$         | 1,0         | 0,2543 | 0,4871 | 0,7023 | 0,9027  | 1,0903 |
|                 | 1,0         | 1,3950 | 1,4477 | 1,4943 | 1,5356  | 1,5731 |
|                 | 1,0         | 1,2715 | 1,2178 | 1,1705 | 1,1284  | 1,0903 |

արագությունների բաշխման օրինաչափությունից, և գործնական խնդիրներում ճնշումները կարելի է որոշել ըստ Վ. Տ. Չոուի կամ ըստ հավասարաչափ էպլուրի բանաձևերի:

2.  $h/R_0$ -ի մեծ արժեքների դեպքում ( $h/R_0 > 0,5$ ) ճնշման բաշխումը հոսանքում և հատակի վրա պետք է որոշել ըստ արագությունների բաշխման տվյալ օրինաչափության:

### 1.5 ԿՏՐՎԱՍՔԻ ՏԵՍԱԿԱՐԱՐ ԷՆԵՐԳԻԱՆ

Կենդանի կտրվածքի լրիվ տեսակարար էներգիան իրենից ներկայացնում է միավոր կշռով հեղուկի էներգիան, հաշված կամայական համեմատություն հարթության նկատմամբ:

Շրջանային կորի պրոֆիլով հատակ ունեցող ջրանցքներում կտրվածքի լրիվ տեսակարար էներգիան (կամ լրիվ էջքը), հաշվի առած ճնշման շեղումը հիդրոստատիկականից ըստ (1.66) ընդհանուր բանաձևի, կարտահայտվի

$$H = z_c + h \cos \varphi + \frac{\alpha v^2}{2g} \pm \frac{I(l)}{gQ} \quad (1.75)$$

բանաձևով, որտեղ

$$I(l) = \int_A \left( \int_z^h \frac{u^2}{R_0 + t} dt \right) u ds. \quad (1.76)$$

$ds$ -ը կտրվածքի կամայական կետում տարրական մակերեսն է, որի սահմանը կենդանի կտրվածքի  $A$  մակերեսն է:  $u$  փոփոխական արագությունը կետի կոորդինատների ֆունկցիա է:

Քանի որ  $u$  փոփոխականը ընդհանուր դեպքում հայտնի չի լինում, ապա (1.76)-ը անհնար է հաշվել:

Ուղղանկյուն հուններում քննարկենք հարթ խնդիր, այսինքն  $u$ -ն փոխվում է միայն ըստ  $z$ -ի: Արտահայտելով  $ds = b dz$ -ով, (1.76)-ի փոխարեն կստանանք՝

$$I(l) = \int_0^h \left( \int_z^h \frac{u^2}{R_0 + t} dt \right) u b dz, \quad (1.77)$$

Այստեղ  $u$  արագությունը և ջրանցքի  $b$  լայնությունը դիտվում են որպես  $l$  բարձրության (որը սահմանում դառնում է  $z$ ) և  $l$  ճանապարհի ֆունկցիաներ  $u = u(t, l)$ : Սահմանում  $u = u(z, l)$ ,  $b = b(z, b)$ :

Կտրվածքի լրիվ էջքը ներկայացնենք հետևյալ տեսքով՝

$$H = z_c + h \cos \varphi + \frac{v^2}{2g} (\alpha \pm \Phi_2(l, R_0)), \quad (1.78)$$

որտեղ՝

$$\Phi_2(h/R_0) = \frac{2I(l)}{Q v^2}, \quad (1.79)$$

Անալիտիկորեն (1.78) լրիվ էջքը կարելի է որոշել միայն  $u$ ,  $b$  ֆունկցիաների առկայության դեպքում:

Նշենք, որ  $b = b(z, l)$  օրենքը հեշտությամբ կարելի է ստանալ (անալիտիկորեն կամ գրաֆիկորեն), ունենալով հունի ձևը: Ինչ վերաբերում է արագությունների փոփոխման օրինաչափության ստացմանը ոչ միայն տարածական, այլ հարթ խնդրում, ապա հիդրոմեխանիկայի ժամանակակից մակարդակով այն հնարավոր չէ: Եթե արագությունների փոփոխման օրինաչափությունը տրված է գրաֆիկի ձևով (արագությունների էպլուրը), ապա լրիվ էջքի որոշումը հանգում է (1.78)-ի թվային ինտեգրմանը, որը կլինի շնչյալ շափազանց աշխատատար, սակայն իրագործելի:

Եթե ընդհանուր դեպքում լրիվ էջքի որոշումը այսպիսի դժվարությունների հետ է կապված, ապա մասնավոր դեպքում, երբ արագության բաշխումը տրված է անալիտիկորեն, այն ոչ մի դժվարություն չի ներկայացնում:

Քննարկենք մի քանի մասնավոր դեպքեր:

1-ին դեպք՝  $u = v = \frac{Q}{A}$ :

Այս դեպքում ստացվում է՝

$$\Phi_2(h/R_0) = \left( 1 - \frac{b_0}{h} \ln \left( 1 + \frac{h}{R_0} \right) \right), \quad (1.80)$$

2-րդ դեպք՝  $u = \omega(R_0 + t)$ :

$$\Phi_2(h/R_0) = \frac{1}{R_0/h + 0,5}, \quad (1.81)$$

Նման ձևով ստացվում են նաև  $\Phi_2(h/R_0)$ -ի արժեքները մնացած դեպքերի համար, որոնք տեղի սղության պատճառով այստեղ չեն բերվում:

Կատարված վերլուծությունը ցույց է տալիս, որ գործնական խնդիրներում  $h/R_0$  հարաբերության ոչ մեծ արժեքների համար կարելի է առաջնորդվել արագությունների հավասարաչափ բաշխման (1.80) օրինաչափությամբ կամ հաշվարկը կատարել ճնշման բաշխման (1.63) բանաձևով, մտցնելով ճնշման ուղղորդ գործակից:

Վերջին մեթոդը հիդրավիկական հաշվարկի տեսակետից ամենահարմարն է և քիչ աշխատատար, բացի այդ գործնականորեն տալիս է միանգամայն ընդունելի արդյունքներ: Ելնելով այս հանգամանքից, մեր հետագա հաշվարկներում առաջնորդվել ենք ճնշման շեղման որոշման (1.63) առնչությունից:

Որոշենք կամայական կտրվածքի լրիվ տեսակարար էներգիան:

$$H = z_c + h \cos \varphi + \frac{zv''}{2g} \pm \frac{1}{Av} \int_A \frac{u^3(h-z)}{gR^1} dS, \quad (1.82)$$

Այստեղ վերջին անդամը հաշվի է առնում ճնշման շեղումը հիդրոստատիկականից, միջինացված ամբողջ կենդանի կտրվածքի վրա:

Մեր հետազոտությունները ցույց են տվել, որ գործնական խնդիրներում առանց մեծ սխալ թույլ տալու կարելի է (1.82)-ի վերջին անդամը արտահայտել վերջավոր տեսքով՝

$$\frac{1}{Av} \int_A \frac{u^3(h-z)}{gR^1} dS = k \frac{h}{R_0} \frac{v^2}{2g} \quad (1.83)$$

որտեղ՝

$$k = \frac{2}{Av^3} \frac{R_0}{h} \int_A \frac{u^3(h-z)}{R^1} dS; \quad (1.84)$$

k-ն կանվանենք ճնշման ուղղորդ:

Կտրվածքի միջին տեսակարար էներգիան ըստ (1.82) և (1.83)-ի կարտահայտվի՝

$$H = z_c + h \cos \varphi + \frac{v^2}{2g} \left( z \pm k \frac{h}{R_0} \right) \quad (1.85)$$

Ճնշման ուղղորդի ճիշտ գնահատման աստիճանից է կախված կտրվածքի լրիվ էջքի որոշման ճշտությունը:

Ճնշման ուղղորդի գնահատման համար նախ քննարկենք ուղղանկյուն հուններում հարթ խնդրի մի քանի պարզ դեպքեր:

1-ին դեպք՝  $u = v = Q/A$  և  $R^1 = R_0$  (բոլոր շիթերի կորույթյան շառավիղները հավասար են հատակի կորույթյան շառավղին): Դժվար չէ նկատել, որ այս դեպքում (1.84)-ից ստացվում է  $k = 1,0$ :

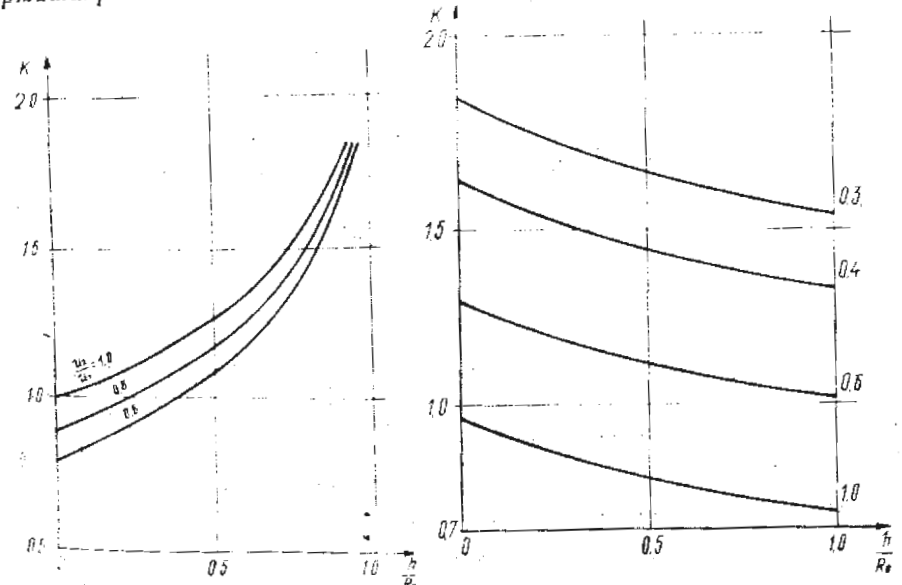
2-րդ դեպք՝  $u = v = Q/A$  և  $R^1 = R_0 + z$

$$k = 2 \frac{R_0}{h} \left( \left( \frac{R_0}{h} \pm 1 \right) \ln \left( 1 \pm \frac{h}{R_0} \right) \pm 1 \right), \quad (1.86)$$

3-րդ դեպք՝ տրագությունների էպյուրը սեղանաձև է, որտեղ  $u_1 = v$  և  $u_2 = v$  հատակի և ազատ մակերևույթի արագություններն են:

$$k = \frac{1}{\left(1 + \frac{u_2}{u_1}\right)^3} \frac{R_0}{h} \left( \left( \frac{R_0}{h} \pm 1 \right) \ln \left( 1 \pm \frac{h}{R_0} \right) \pm 1 + 3 \left( \mp 1 \pm \frac{u_2}{u_1} \right) \left( 0,5 + \frac{R_0}{h} \mp 1 \right) \left( \frac{R_0}{h} \ln \left( 1 \mp \frac{h}{R_0} \right) \pm 1 \right) + 3 \left( 1 - \frac{u_2}{u_1} \right)^2 \left( \left( \frac{R_0}{h} \mp 1 \right) \left( 0,5 \pm \frac{R_0}{h} + \frac{1}{h^2} \ln \left( 1 \pm \frac{h}{R_0} \right) \right) \pm \frac{1}{3} \right) + \left( \mp 1 \pm \frac{u_2}{u_1} \right)^3 \left( 0,25 + \frac{R_0}{h} \pm 1 \right) \left( \frac{R_0^3}{h^3} \ln \left( 1 \mp \frac{h}{R_0} \right) \pm \frac{R_0}{h^2} + \frac{R_0}{2h} \pm \frac{1}{3} \right) \right); \quad (1.87)$$

Նկ. 1.14 և նկ. 1.15-ում բերված են  $k = f(h/R_0)$  գործակցի արժեքները գոգավոր և ուռուցիկ հատակով ջրանցքների համար, արագությունների  $u_2/u_1$  հարաբերության տարբեր արժեքների դեպքում, ըստ (1.87) բանաձևի:



Նկ. 1.14. Գոգավոր հատակ ունեցող ջրանցքում  $k = f(h/R_0)$  կորերը  $u_2/u_1$ -ի տարբեր հարաբերությունների համար:

Նկ. 1.15. Ուռուցիկ հատակ ունեցող ջրանցքում  $k = f(h/R_0)$  կորերը  $u_2/u_1$ -ի տարբեր հարաբերությունների համար:

Կենդանի կարվածքի ամենացածր կետով ( $z_2=0$ ) անցնող հորիզոնական հարթության նկատմամբ լրիվ տեսակարար էներգիան ըստ (1.85)-ի կարտահայտվի

$$\mathcal{E} = h \cos \varphi + \frac{Q^2}{2gA^2} \left( \alpha \pm k \frac{h}{R_0} \right) \quad (1.88)$$

բանաձևով:

Վերլուծելով (1.88) արտահայտությունը, հանգում ենք հետևյալ եզրակացություններին՝

ա) երբ հոսանքի խորությունը ձգտում է զրոյի ( $h \rightarrow 0$ ), (1.88) արտահայտության առաջին անդամը ձգտում է զրոյի, իսկ երկրորդ անդամը՝ անսահմանության, որտեղից և հետևում է, որ կենդանի կարվածքի տեսակարար էներգիան ձգտում է անսահմանության,

բ) երբ հոսանքի խորությունը ձգտում է անսահմանության ( $h \rightarrow \infty$ ), (1.88) արտահայտության առաջին անդամը ձգտում է անսահմանության, իսկ երկրորդը՝ զրոյի, հետևաբար կենդանի կարվածքի տեսակարար էներգիան ձգտում է անսահմանության:

Նկ. 1.16-ում պատկերված է  $\mathcal{E} = f(h)$  ֆունկցիայի կորը, որը ունի երկու ափմտոտ և մեկ մինիմում, երբ  $h = h_{\text{ար}}$ :

Ուղիղը, որին ձգտում է  $\mathcal{E} = f(h)$  ֆունկցիայի կորը,  $h$  առանցքի նկատմամբ կազմում է  $\beta$  անկյուն, որի շափեր որոշվում է

$$\beta = \arctg(\cos \varphi) \quad (1.89)$$

բանաձևով:

Կրիտիկական խորությունը որոշելու համար հաշվենք  $d\mathcal{E}/dh$  ածանցյալը և հավասարեցնենք զրոյի՝

$$\frac{d\mathcal{E}}{dh} = \cos \varphi - \frac{Q}{gA} \left( \left( \alpha \pm k \frac{h}{R_0} \right) \frac{\partial A}{\partial h} \mp \frac{kA}{2R_0} \right) = 0, \quad (1.90)$$

որտեղ  $\partial A / \partial h = \beta$ :

Կրիտիկական խորությունը փնտրվում է որպես

$$\frac{Q^2}{g} = \frac{A^3 \cos \varphi}{\left( \alpha \pm k \frac{h}{R_0} \right) \frac{\partial A}{\partial h} \mp \frac{kA}{2R_0}} \quad (1.91)$$

հավասարման արմատ:

Հաստատուն թեքություն ունեցող ջրանցքներում (1.88) և (1.91) բանաձևերը կտանան հետևյալ տեսքը՝

$$\mathcal{E} = h \cos \varphi + \frac{\alpha Q^2}{2gA^2}, \quad (1.92)$$

$$\frac{\alpha Q^2}{g} = \frac{A^3 \cos \varphi}{B}, \quad (1.93)$$

ներկայացնենք (1.91) հավասարումը հետևյալ տեսքով՝

$$\frac{Q \left( \left( \alpha \pm k \frac{h}{R_0} \right) B \mp \frac{kA}{2R_0} \right)}{g \cos \varphi A^3} = 1 \quad (1.94)$$

(1.94) հավասարման ձախ մասը ունի նույն իմաստը, ինչ որ Ֆրուդի թիվը հաստատուն և փոքր թեքություն ունեցող ջրանցքներին կենդանի կարվածքի համար: Նշանակենք այն՝

$$F_r^0 = \frac{Q \left( \left( \alpha \pm k \frac{h}{R_0} \right) B \mp \frac{kA}{2R_0} \right)}{g \cos \varphi A^3} \quad (1.95)$$

$F_r^0 > 1$  դեպքում առաջանում է բուռն շարժում, իսկ  $F_r^0 < 1$  դեպքում՝ հանդարտ շարժում:

Կրիտիկական վիճակ առաջանում է, երբ  $F_r^0 = 1$ :

## 1.6 ԿԱՎԻՏԱՑԻԱՅԻ ԵՐԵՎՈՒՅԹԸ

Հիդրոսեկանկական կառուցվածքներում ջրի հոսանքը որոշ հատվածներում կարող է գտնվել ցածր ճնշման գոտիներում: Եթե հոսանքի որևէ կետում բացարձակ ճնշումը փոքր լինի հազեցած գոլորշիների ճնշումից, կառուցանա սառը եռման պրոցես, կանջատվեն գոլորշով և հեղուկից անջատված օդով լցված պղպջակներ: Հոսանքի անընդհատությունը խախտվում է, համասեռ հեղուկը վեր է ածվում հեղուկով և գազով լցված բշտիկների խառնուրդի: Ընկնելով մեծ ճնշման գոտիներ, բշտիկները շատ արագ պայթում են, նրանց մեջ եղած գոլորշին խառնում է, իսկ օդը՝ լուծվում ջրի մեջ:

Երևույթների այս համալիրը կոչվում է կավիտացիա:

Կավիտացիան այնքան բուռն է կատարվում, որ ուղեկցվում է խիստ արտահայտված բաբախումներով և ճնշման մեծ փոփոխություններով:

Բշտիկի փակվելը նման է փոքր պայթյունի, երբ նրան շրջապատող ջրի մասնիկները մեծ արագությամբ ներխուժում են բշտիկի նախկինում զբաղեցրած, իսկ այժմ աղատված ծավալը: Արդյունքում ստացվում է լոկալ հիդրավլիկական հարվածի երևույթ, որի ալիքը տարածվում է, հեղուկի և կառուցվածքի մեջ, առաջացնելով պլաստիկ և առաձգական դեֆորմացիաներ:

Կավիտացիան ուղեկցվում է աղմուկով, բաբախումներով, էներգիայի ղզալի լրացուցիչ կորուստներով և կառուցվածքի մակերևույթի քայքայումով (կավիտացիոն էրոզիա):

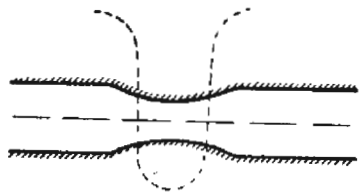
Պատի կոշտ մասնիկների առանձին ելուստները իրենց վրա են վերցնում բշտիկների պայթյունից առաջացած հարվածի ուժերը: Հարվածի ուժերից առաջանում են մեծ հաճախականությամբ փոփոխվող լարումներ, որոնք հանգեցնում են նյութի հոգնածությանը և քայքայմանը: Աստիճանաբար կավիտացիայի օջախներում առաջանում են խոռոչներ, որոնք միանալով, քայքայում են կառուցվածքի պատը:

Հարկ է նշել, որ կավիտացիան ուղեկցվում է նաև էլեկտրական և էլեկտրաքիմիական ակտիվ պրոցեսներով, սակայն նրանցից առաջացած քայքայման ինտենսիվությունը անհամեմատ փոքր է մեխանիկական քայքայման ինտենսիվությունից:

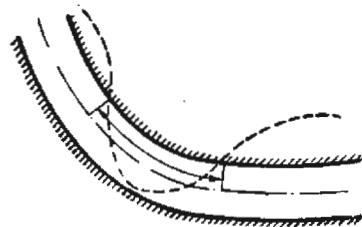
Տարբեր պատճառներից կարող է ճնշումը կառուցվածքի որևէ մասում փոքրանալ մինչև այն սահմանը, երբ սկսվում է կավիտացիայի պրոցեսը: Այդ պատճառներից են՝

1. Կառուցվածքի որևէ մասում կենդանի կտրվածքը խիստ փոքրանում է, մեծանում է արագությունը, իսկ ճնշումը փոքրանում է (նկ. 1.17, կենագծերով ցույց է տրված ճնշման փոփոխումը):

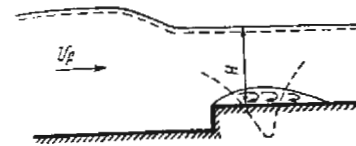
2. Կոր հատվածներում (ինչպես ճնշումային, այնպես էլ ոչ ճնշումային) առաջանում են կենտրոնախույս ուժեր, որոնք փոքրացնում են ճնշումը ուռուցիկ հատակի վրա: Նկ. 1.18-ում ցույց է տրված ճնշման բաշխումը կառուցվածքի կոր հատվածում:



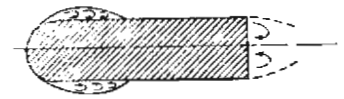
Նկ. 1.17. Ճնշման փոփոխումը կենդանի կտրվածքի նեղացման մասում:



Նկ. 1.18. Ճնշման բաշխումը հոսանքի կոր հատվածում:



Նկ. 1.19. Նյութի շրջահոսումը:



Նկ. 1.20. Ճնշման բաշխումը բավարար սահուն գծագրության ունեցող մարմնի շրջահոսման մասում:

3. Երբ հոսանքը շրջահոսում է ոչ բավարար սահուն ձև ունեցող մարմիններ, առաջանում են հոսանքի խզում և տուրբուլենտ բաբախումներ (նկ. 1.19, նկ. 1.20):

Կավիտացիայի առաջացման շափանիչ է տվյալ տեղում բացարձակ ճնշումը: Եթե այն փոքր է կավիտացիայի կրիտիկական ճնշումից, կավիտացիա կառաջանա:

Կրիտիկական ճնշմանը համապատասխանող վակուումը, արտահայտված ջրի սյան բարձրությամբ, կորոշվի՝

$$h_{k, \text{մ}} = 10,33 - \frac{\nabla}{900} - \frac{P_{\text{է}}}{\rho g} \quad (1.96)$$

րանաձևով, որտեղ 10,33 մ-ը նորմալ մթնոլորտային ճնշումն է, արտահայտված ջրի սյան բարձրությամբ,  $\nabla$ -ն տեղի նիշն է,  $P_{\text{է}}$ -ն ջրի հագեցած գոլորշիների ճնշումն է, արտահայտված ջրի սյան բարձրությամբ, կախված ջերմաստիճանից (աղյ. 1.5):

Աղյուսակ 1.5

Ջրի հագեցած գոլորշիների ճնշումը կախված ջերմաստիճանից

| t°C                           | 0    | 10   | 20   | 40   | 60   | 80   | 100   |
|-------------------------------|------|------|------|------|------|------|-------|
| $\frac{P_{\text{ն}}}{\rho g}$ | 0,06 | 0,12 | 0,24 | 0,75 | 2,03 | 4,83 | 10,33 |

Կավիտացիայի առաջացման պատճառներից է նաև խորզուրորդությունների, ցցվածքների և այլ տեղական անհարթությունների մոտ ճնշման իջեցումը:

Մյուս պատճառը, որից կարող է կավիտացիա առաջանալ, ճնշման և արագության բարախումն է, որը առաջանում է ոչ միայն տուրբուլենտությունից, այլև այլ պատճառներից: Պետք է նշել, որ ըստ ժամանակի միջինացրած մեծությունների միջով հաշվարկ կատարելիս, կարող է ճնշման փոքրացումը շտամի կավիտացիա առաջացնելու համար պահանջվող կրիտիկական ճնշմանը, իսկ բարախումների ժամանակ հասնի այդ արժեքին: Այս դեպքում կավիտացիան նույնպես բարախում է, այսինքն մերթ ի հայտ է գալիս, մերթ վերանում է:

Նախագծման ժամանակ կավիտացիոն էրոզիայի առաջացման հնարավորությունը անտեսելու հետևանքով տեղի են ունեցել ջրհեռ կառուցվածքների բազմաթիվ վթարներ:

Կավիտացիոն էրոզիայի երևույթը ի հայտ է գալիս բովանդակներ արագ՝ բետոնե կոնստրուկցիաներում մի քանի օրվա (երբեմն մի քանի ժամվա) ընթացքում, իսկ մետաղյա կոնստրուկցիաներում՝ մի քանի ամսվա ընթացքում:

Կավիտացիան բնութագրելու համար ընդունվում է կավիտացիայի թիվ հասկացությունը՝

$$k = \frac{2g \left( H_p - \frac{p_{c,0}}{\rho g} \right)}{v_p^2} \quad (1.97)$$

որտեղ  $H_p$ -ն և  $v_p$ -ն, համապատասխանաբար, բնութագրող բացարձակ ճնշումը (ըստ ջրի սյան բարձրության) և արագությունն են շրջահոսվող տարրի մոտակայքում, միջինացված ըստ ժամանակի:

Եթե, օրինակ, հոսանքը շրջահոսում է հունի հատակի անհարթությունը (նկ. 1.19), ապա

$$H_p = H_{p,0} + H \quad (1.98)$$

որտեղ  $H$ -ը ջրի խորությունն է անհարթության վրա, իսկ  $v_p$  արագությունը կարելի է ընդունել անհարթությունից առաջ հոսքի միջին արագությունը հավասար:

Կավիտացիայի զարգացման աստիճանը որոշելու համար օգտվում են

$$\beta = \frac{k}{k_0} \quad (1.99)$$

գործակցից, որտեղ  $k$ -ն և  $k_0$ -ն կավիտացիայի թվերն են սովորապես պայմաններում և կավիտացիայի առաջացման սկզբում (կավիտացիայի կրիտիկական թիվ):

Ըստ զարգացման աստիճանի չոլոթյուն ունի կավիտացիայի երեք փուլ՝

- 1) կավիտացիայի առաջացման սկզբնական փուլ,
- 2) զարգացող կավիտացիայի փուլ,
- 3) գերկավիտացիայի փուլ:

Հարկ է նշել, որ որոշ դեպքերում կավիտացիոն էրոզիան իր առավելագույն չափերին է հասնում զառացող կավիտացիայի փուլում, իսկ գերկավիտացիայի փուլում այն կարող է զգալիորեն քիչ լինել:

Նշենք, որ կավիտացիոն էրոզիայի ինտենսիվությունը խիստ կերպով կախված է հոսանքի շարժման արագությունից:

Հարց է առաջանում, ինչպե՞ս պաշտպանել ջրհեռ կառուցվածքները կավիտացիոն էրոզիայից: Հիմնականում այդ պայքարը տարվում է շրջաուղղություններով:

1. Կառուցվածքը նախագծվում է այնպես, որպեսզի կավիտացիայի երևույթը կամ լրիվ բացակայի, կամ առաջանա միայն նրա նախնական փուլը: Այդ դեպքում

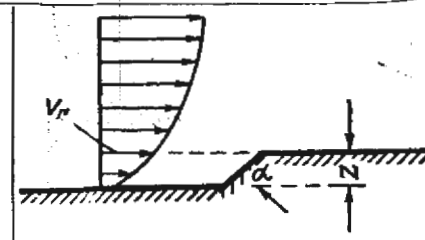
$$k \geq k_0 \quad (1.100)$$

$k_0$ -ի արժեքները որոշվում են գործնական եղանակով, կառուցվածքի տարբեր տարրերի համար առանձին:

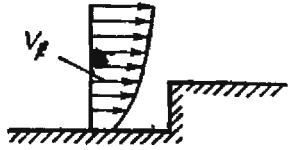
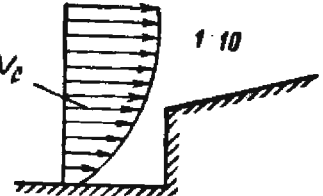
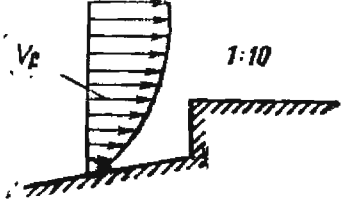
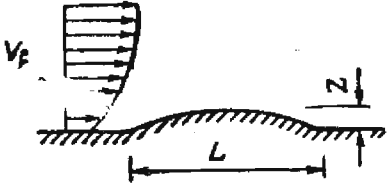
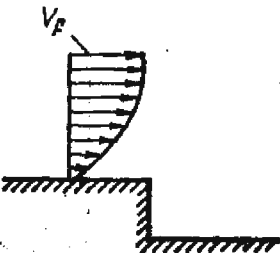
$k_0$ -ի արժեքները հունի հատակի տարբեր անհարթությունների համար բերված են աղյ. 1.6-ում:

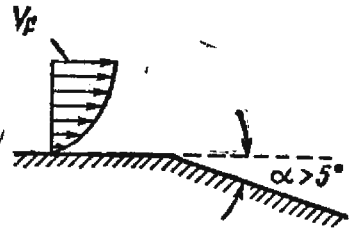
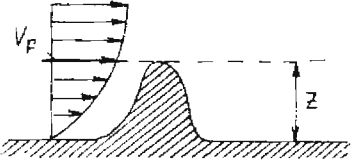
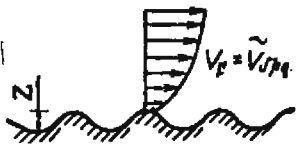
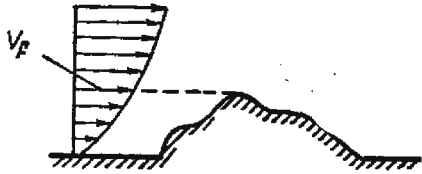
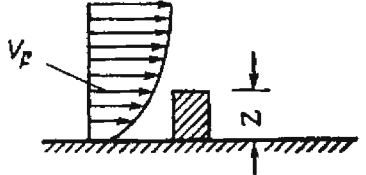
Աղյուսակ 1.6

**Կավիտացիայի կրիտիկական  $k_0$  թվի արժեքները տարբեր անհարթությունների համար**

| Անհարթության տիպը   | Անհարթության սխեման բնութագրող արագության էրժեքը | $k_0$              |
|---|--|--------------------|
| 1   | 2  | 3                  |
|  |  | $0,466 \sqrt{a^3}$ |

Նշում հատակի վրա (կարող է առաջանալ երեսուցամյան կցվածքի տեղում, ինչպես նաև բետոնի կազապարամածի տեղափոխման հետևանքով)

| 1  | 2   | 3   |
|--|---|---|
| Ուղղաձիգ ելուստ  |    | 2,1   |
| Ուղիղ երկրաչափական թեքությունը ելուստ  |    | 2,3   |
| Հակադարձ երկրաչափական թեքությունը ելուստ   |    | 2,0   |
| Սահուն ելուստ հարթ հատակի վրա (կարող է առաջանալ բնտոնի սողօրից և հոսկերցման կարերից) |   | $2e^{\frac{L}{7Z}}$<br>(երբ $\frac{L}{Z} \leq 14$ ) |
| Իջվածք ըստ շարժման ուղղության  |  | $\leq 1,0$  |

| 1  | 2   | 3       |
|--|---|---------|
| Հատակի կոտրվածք  |    | 1,05    |
| Միայնակ սուր ցցվածքով ելուստ   |    | 2,0-3,5 |
| Հավասարաչափ խորրուստ բորբոսություն:  |    | 1,0     |
| Առանձին անհարթություններ (զուրս ցցված բարի կտորներ, ամրաններ և այլն) ա) սահուն եզրագծով: |    | 2,0     |
| բ) ոչ սահուն եզրագծով:   |  | 3,5     |

կավիտացիայի կրիտիկական թվի արժեքները կառուցվածքի այլ տարրերի համար բերված են հատուկ գրականության մեջ<sup>1</sup>:

Ուղղորդ գործակցի արժեքները կախված ակոսի հետին պատի շեղումից

|               |      |      |      |      |
|---------------|------|------|------|------|
| $\frac{d}{w}$ | 0    | 0,04 | 0,08 | 0,12 |
| $K_d$         | 0,55 | 0,75 | 0,9  | 1,0  |

2. Կավիտացիա շառաչացնող կոնստրուկցիաների օգտագործումը, որոնց փորձը դեռևս փոքր է: Այդպիսի կոնստրուկցիաների նախագրծման ժամանակ պետք է լինել բավականին զգույշ:

3. Վակուումի սեղամասը արհեստականորեն մատակարարվում է օդ կամ ջուր:

Հիդրոնախագիծ ինստիտուտի կողմից նախագծվել և ներդրվել է շրջեռ կառուցվածք (Նուրեկի ՀԷԿ-ում), որտեղ վակուումային գոտիները խողովակների միջոցով մատակարարվում են օդով:

4. Օգտագործվում են կավիտացիոն էրոզիայի նկատմամբ կանգուն նյութեր:

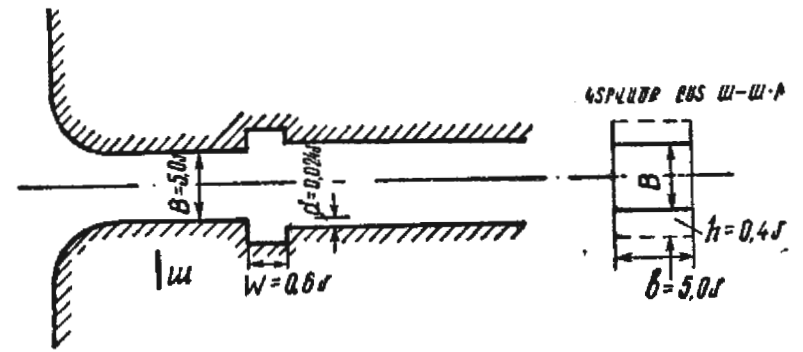
Ելուստների շրջահոսումների դեպքում խիստ բարեբար ազդեցություն է ունենում ելուստների երեսպատումը պղնձով կամ պոլիմերային նյութերով:

Հաճախ կավիտացիայի օջախ կարող են հանդիսանալ հարթ փականների (վահանների) ուղղորդ ակոսները, որոնց համար կավիտացիայի թիվը որոշվում է ըստ (1.97) բանաձևի, իսկ կավիտացիայի կրիտիկական թիվը որոշվում է ըստ

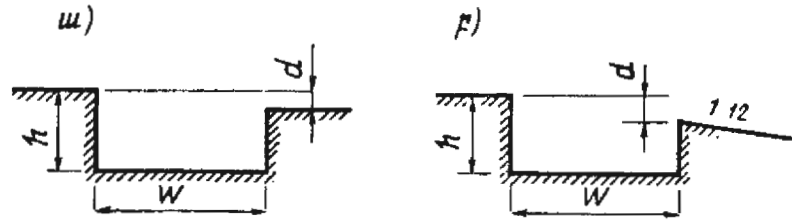
$$k_{cr} = a \left( 1 + 0,65 \left( \frac{w}{h} - 1 \right) \right) k_1 \quad (1.101)$$

բանաձևի, որտեղ  $w$ -ն և  $h$ -ը ակոսի լայնությունն ու խորությունն են,  $a=1,2$  ուղղանկյան ձև ունեցող ակոսների համար (նկ. 1.21 ա) և  $a=0,3$  ակոսից հետո 1:12 թեքության դեպքում (նկ. 1.21 բ), իսկ  $K_d$  ուղղորդ գործակիցը հաշվի է առնում ակոսի հետին պատի շեղումը առաջինից և ընդունվում է ըստ աղյ. 1.7-ի:

Օրինակ 1.1: Ստուգել խորջային ջրընդունիչի հարթ փականի ակոսներում կավիտացիայի առաջացման հնարավորությունը, եթե ջրի շարժման միջին արագությունը՝  $v=18$  մ/վ, ճնշումը առաստաղի վրա՝  $\frac{p_{=v}}{\rho g} = 5,0$  մ: Ջրի ջերմաստիճանն է  $t=10^\circ \text{C}$ , տեղի նիշը՝  $\nabla = 1200$  մ: Ակոսների շափերը բերված են նկ. 1.22-ում:



Նկ. 1.22. Օրինակ 1.1-ի ակոսների սխեման և շափերը:



Նկ. 1.21. Հարթ փականների ակոսների տեսակները:

Հ ու ճ ու մ: Ըստ (1.97) բանաձևի կավիտացիայի թիվը կլինի՝

$$k = \frac{2g \left( H_p - \frac{p_{=v}}{\rho g} \right)}{v_p^2} = \frac{19,62(14 - 0,12)}{18^2} = 0,84$$

որտեղ

$$H_p = H_{\rho p} + \frac{p_{=v}}{\rho g} = 10,33 - \frac{\nabla}{900} + \frac{p_{=v}}{\rho g} = 10,33 - \frac{1200}{900} + 5 = 14,0 \text{ մ,}$$

$$\frac{p_{=v}}{\rho g} = 0,12 \text{ մ ըստ աղյ. 1.5-ի (t=10^\circ \text{C}):}$$

<sup>1</sup> Рекомендации по учету кавитации при проектировании водосбросных гидротехнических сооружений (П.38—75) Л. Энергия, 1976, 128с.

Ուղղանկյան  $\Delta$ և ունեցող առանց հետին թեք պատի ակոսի համար  $a=1,2$  և ընդունելով  $\frac{d}{w} = \frac{0,024}{0,6} = 0,04$ , առջ. 1.7-ից  $k_a=0,75$  և ըստ (1.101) բանաձևի կավիտացիայի թիվը կստանանք՝

$$k_{kr} = 1,2 \left( 1 + 0,65 \left( \frac{0,6}{0,4} - 1 \right) \right) \cdot 0,75 = 1,18;$$

Այսպիսով, քանի որ  $k=0,84 < k_{kr} = 1,18$ , ակոսներում կառաջանա կավիտացիա:

Փոխելով ակոսի  $\Delta$ ևը, հետին պատին տալով 1:12 թեքություն (նկ. 1.22 բ), կունենանք  $a=0,3$  և

$$k_{kr} = 0,3 \left( 1 + 0,15 \left( \frac{0,3}{0,4} - 1 \right) \right) \cdot 0,75 = 0,32;$$

Քանի որ  $k=0,84 > k_{kr} = 0,32$ , այս դեպքում կավիտացիա չի առաջանա:

Հիդրոտեխնիկական կառույցների կավիտացիայի հաշվարկների մեթոդները դեռ շատ թերի են և կարիք ունեն ինչպես բարելավման, այնպես և կոնկրետացման:

### 1.7 ԱՆՐԱՅԻԱՅԻ ԵՐԵՎՈՒՅԹԸ

Չրի հոսանքի մեջ տարբեր պատճառներով կարող է թափանցել օդ: Այս երևույթը կոչվում է անբացյալ:

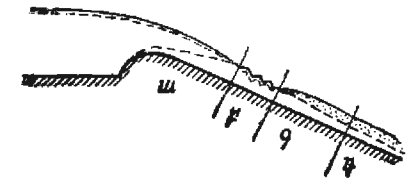
Քննարկենք անբացիայի առաջացման պատճառները:

ա) Սահուն փոփոխվող հոսանքներում ջրի շարժումը ընթանում է սուրբուրդի նման գրգռանքի առկայությամբ, որոնք քայքայում են ազատ մակերևույթը և ստեղծում օդի թափանցման հնարավորություն (ինքնաանբացիա): Այս դեպքում ավելի մեծ ինտենսիվության անբացիա նկատվում է բուն հոսանքներում:

բ) Հոսանքի արագ, ոչ սահուն փոփոխությունները, ինչպիսին են հիդրավիկական թռիչքը, ջրապտույտները, հոսանքի հոծության խզումը և այլ տեղական երևույթները: Այս դեպքում օդի թափանցումը կատարվում է ավելի մեծ բաժիններով և անբացիան կարող է տեղի ունենալ շատ փոքր հատվածում, որից հետո կատարվում է ապաանբացիա:

գ) Ազատ թափվող շիթը, խլելով օդի մեծ քանակություն, քայքայում է այն և առաջացնում շիթի հոծության խզում: Որպես կանոն շիթի թափվելուց հետո կատարվում է հոսանքի արագ ապաանբացիա:

Սահուն փոփոխվող անբացված հոսանքները կարելի է բաժանել մի քանի հատվածների (նկ. 1.23):



Նկ. 1.23. Անբացված հոսանքի սխեման:

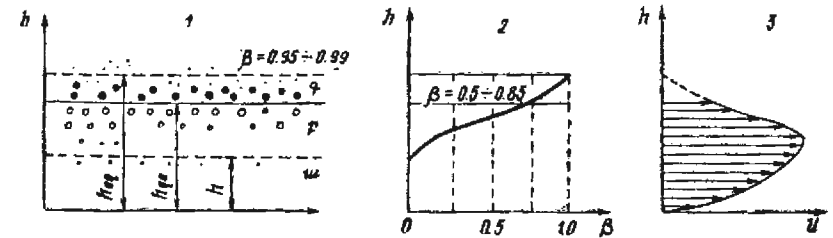
ա) Ակղբնական հատված: Այստեղ հոսանքը գրգռված է, հատակում առաջանում է սուրբուրդի նման շերտ, որը տարածվում է ըստ խորության և հատվածի վերջում դուրս է գալիս ազատ մակերևույթ: Այս հատվածի երկարությունը կախված է հոսանքի կինետիկության աստիճանից և խորությունից:

բ) Ալիքների առաջացման հատված: Այստեղ ազատ մակերևույթի վրա առաջանում են փոքր բորձրության ալիքներ, որոնց շնորհիվ ազատ մակերևույթը խախտվում և քայքայվում է:

գ) Անբացված հոսանքի անհավասարաչափ շարժման հատված: Օդը թափանցում է հոսանքի մեջ, և ըստ ճանապարհի նրա օդահագեցվածությունը մեծանում է:

դ) Անբացված հոսանքի հավասարաչափ հատված: Օդի պարունակությունը և հոսանքի ցուցանիշները ըստ ճանապարհի մնում են հաստատուն:

Ըստ խորության անբացված հոսանքը բաժանվում է հետևյալ գոտիների (նկ. 1.24).



Նկ. 1.24. 1. Անբացված հոսանքի գոտիները. 2. օդի բաշխման օրինաչափությունը ըստ խորության, 3. տրագույթյան բաշխումը ըստ խորության:

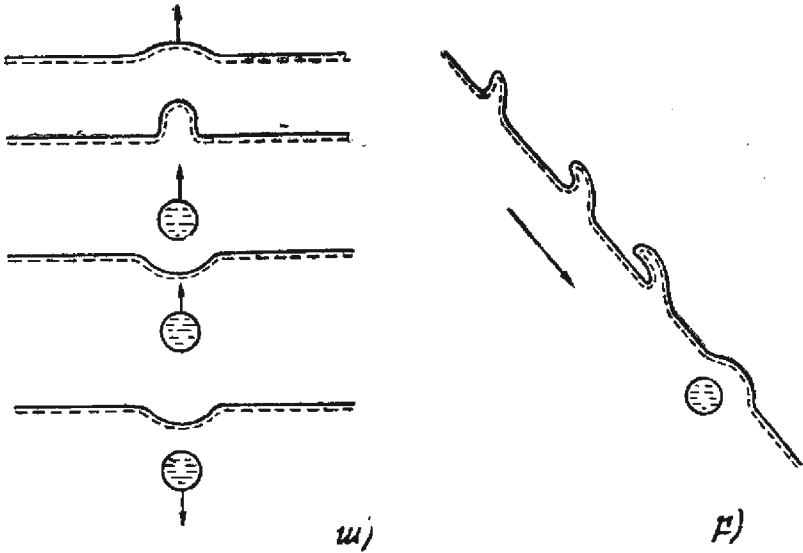
ա) մաքուր ջրի գոտի (կարող է այն բացակայել):

բ) ջրաօդային խառնուրդի գոտի, որտեղ ջրի հետ խառնված են օդային բշտիկներ,

գ) օդաջրային խառնուրդի գոտի, այստեղ օդի մեջ կան ջրային կաթիլներ: Բ և գ գոտիների բաժանման մակերևույթը բնորոշվում է օդահագեցվածության կորի շրջման կետով, որին համապատասխանում է  $\beta=0,5-0,85$  օդահագեցվածություն:

Հոսանքին ուղղահայաց տուրբուլենտ բաբախումների շնորհիվ կատարվում է առանձին կաթիլների արտանետում (նկ. 1.25), որի շնորհիվ էլ ստեղծվում է օդաչրային զոսի:

Աերացված հոսանքի մակերևույթը ունի խիստ անոորշ, չկարգավորված տեսք:



Նկ. 1.25. Ջրի կաթիլների արտանետման սխեման. ա—օդի ճզմումով, բ—ալիքների փշրվելով:

Աերացված հոսանքը կոչվում է հավասարաչափ, եթե նրա բնութագրերը ըստ երկարության չեն փոխվում: Այս դեպքում հոսանքի մեջ թափանցող օդի և հոսանքից անջատվող օդի քանակների միջև հաստատվում է դինամիկական հավասարակշռություն:

Հիդրավլիկական տեսակետից խիստ կարևոր է պարզաբանել՝ հոսանքը անբացված է, թե ոչ: Հավասարաչափ շարժման դեպքում հոսանքի մեջ անբացիա առաջանալու պայմանը որոշելու համար կարելի է օգտվել Ք. Գ. Վանիչ-Սյանոսենցկու բանաձևից.

$$\frac{F_T}{\sqrt{1-\beta_0^2}} \geq 44 \left(1 + \frac{0.0023}{R^2}\right) \left(1 + \frac{87}{C}\right)^{-2}, \quad (1.102)$$

որտեղ  $F_T = v^2/gR$ :

Աերացված հոսանքում օդի և մաքուր ջրի ելքերի հարաբերությունը կոչվում է հոսանքի միջին օդահագեցվածություն՝

$$\beta_{\text{միջ}} = \frac{Q_{\text{օդ}}}{Q_2} \quad (1.103)$$

Հոսանքի միջին օդահագեցվածության որոշումը բերվում է հետևյալ ինտեգրալին՝

$$\beta_{\text{միջ}} = \frac{1}{H_z} \int_{h_0}^{h_w} \beta_h dh \quad (1.104)$$

որտեղ  $h_0$ -ն այն խորությունն է, որտեղ  $\beta \leq 5\%$ -ից,  $h_w$ -ն այն խորությունն է, որտեղ  $\beta = 95\%$ ,  $H_z$ -ն մաքուր ջրի համարժեք հոսանքի խորությունն է,  $\beta_h$ -ն հոսանքի օդահագեցվածությունն է  $h$  խորության վրա (նկ. 1.26):

Որպես մաքուր ջրի համարժեք հոսանք բնորոշվում է այնպիսի ոչ անբացված հոսանքը, որտեղ ջրի զանգվածը հավասար է անբացված հոսանքում ջրի զանգվածին:

Երբ մաքուր ջրի համարժեք հոսանքի մակերևույթը մոտավորապես հանդիսանում է սիմետրիայի առանցք, ապա հոսանքի միջին օդահագեցվածությունը կարելի է որոշել

$$\beta_{\text{միջ}} = \frac{(h_w - H_z)}{H_z} \quad (1.105)$$

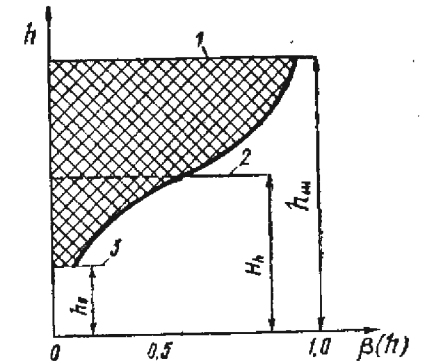
բանաձևով: Մնացած դեպքերում հարկավոր է օգտվել (1.104) ինտեգրալից, որը կարելի է ներկայացնել հետևյալ տեսքով՝

$$\beta_{\text{միջ}} = \frac{1 + (H_z - h)/(h_w - H_z) \left(\frac{h_w}{H_z} - 1\right)}{2} \quad (1.106)$$

Հոսանքի օդահագեցվածության փոփոխման օրենքը ըստ  $h$  խորության որոշվում է հետևյալ բանաձևով՝

1. երբ  $h < H_z$ ,

$$\beta = \frac{1}{2} \left( 1 - \operatorname{erf} 1.2 \frac{1 - h/H_z}{1 - h_0/H_z} \right) \quad (1.107)$$



Նկ. 1.26. Հոսանքի օդահագեցվածությունը բնութագրող սխեմա.

1. անբացված հոսանքի վերին սահմանը, 2. մաքուր ջրի համարժեք հոսանքի խորության մակերևույթը, 3. հավասարաչափ շարժվող մաքուր ջրի մակերևույթը:

2. Երբ  $h > H_2$ ,

$$\beta = \frac{1}{2} \left( 1 + \operatorname{erf} 1.0 \frac{h/H_2 - 1}{h_w/H_2 - 1} \right) \quad (1.108)$$

որտեղ  $\operatorname{erf} x$ -ը սխալի ինտեգրալն է, որի արժեքները կարելի է վերացնել մաթեմատիկայի տեղեկագրերում գետեղված աղյուսակներից:

Անհրաժեշտ է հոսանքում հիդրավլիկական մեծությունները որոշելիս խառնուրդի խտությունը ընդունվում է հաստատուն:

Անհավասարակափ շարժման ժամանակ հոսանքի օդահագեցվածությունը կարելի է որոշել

$$\beta = 1.75 \frac{h \cdot l}{H_2 l_{gr}} \operatorname{tg} \varphi \quad (1.109)$$

որտեղ  $l_{gr}$ -այն ճանապարհն է, որից հետո հոսանքի անհավասարակափ շարժման է:  $l_{gr}$ -ը որոշվում է մաքուր ջրի անհավասարակափ շարժման հավասարումից և համապատասխանում է այն խորությունը, որը որոշված է (1.102) բանաձևով:

Այն կտրվածքը, որտեղից հոսանքը դառնում է անհրաժեշտ, կարելի է որոշել ըստ միջին արագությունների մեծության, որը ըստ Ք. Գ. Վոյնիչ-Սյանոսկեցկու ունի հետևյալ տեսքը

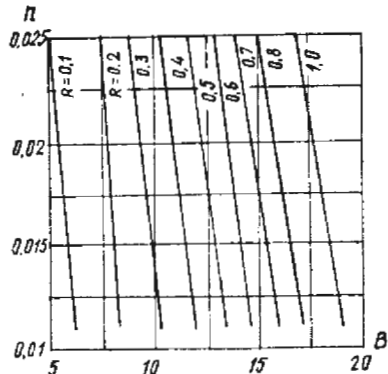
$$v_w = 6.63 \sqrt{g R \cos \varphi} \left( \sqrt{1 + \frac{150 \cdot \sigma}{\rho g R^2}} \right) \left( 1 + \frac{2.76 \sqrt{g}}{C} \right)^{-1} \quad (1.110)$$

որտեղ  $\sigma = 0.726$  նմ/վ<sup>2</sup>,  $\rho = 1000$  կգ/մ<sup>3</sup>: Տեղադրելով  $\sigma$ -ի և  $\rho$ -ի արժեքները և  $C$ -ն որոշելով ըստ Մանինգի՝  $C = \frac{1}{n} R^{1/6}$ , կստանանք՝

$$V_w = B \sqrt{\cos \varphi} \quad (1.111)$$

Ըստ  $R$ -ի և  $n$ -ի արժեքների  $B$  գործակիցը հեշտությամբ որոշվում է նկ. 1.27-ում բերված գրաֆիկի օգնությամբ:

Հաշվարկը կատարվում է նախ մաքուր ջրի համար, և որոշվում են  $h$ -ի փոփոխման սահմանները: Տալով  $h$ -ին արժեքներ, կառուցվում են  $v_w = f_1(h)$  և  $v = f_2(h)$  կորերը: Եթե այդ կորերը շեն հատվում,



Նկ. 1.27. 1.111 բանաձևի մեջ մտնող Ե գործակից կախումը  $n$ -ից և  $R$ -ից:

ապա ուսումնասիրվող հատվածում անհրաժեշտ չի առաջանում:

Կորերի հատման տեղը տալիս է  $\beta$ -ի այն արժեքը, որից սկսվում է անհրաժեշտ: Մնացած մասի հաշվարկը կատարելիս պետք է անհրաժեշտ հաշվի առնել (այդպիսի հաշվարկ կատարված է 4.2-ում):

Արագահոսներում անհավասարակափ շարժում ստացվում է շատ կարճ տեղամասերում: Անհրաժեշտ առաջացման դեպքում շատ արագ հաստատվում է հավասարակափ շարժում:

Անհրաժեշտ հոսանքի հավասարակափ շարժման դեպքում ջրի ելքը կորոշվի

$$Q = (1 - \beta_0) A C \sqrt{R i_0} \quad (1.112)$$

բանաձևով, որտեղ  $\beta_0$ -ն հավասարակափ շարժման դեպքում միջին օդահագեցվածությունն է և որոշվում է ըստ  $k_w$  գործակցի արժեքի նկ. 1.28-ում բերված գրաֆիկի օգնությամբ:  $k_w$  գործակիցը որոշվում է

$$k_w = \frac{2.23 W_s \cos \varphi}{\sqrt{g R i_0}} \quad (1.113)$$

բանաձևով, որտեղ  $W_s = 0.24$  մ/վ օդի բշտիկների 1.5–8 մմ խորությունների դեպքում:

Անհավասարակափ շարժման դեպքում անհրաժեշտ հոսանքի միջին օդահագեցվածությունը կլինի՝

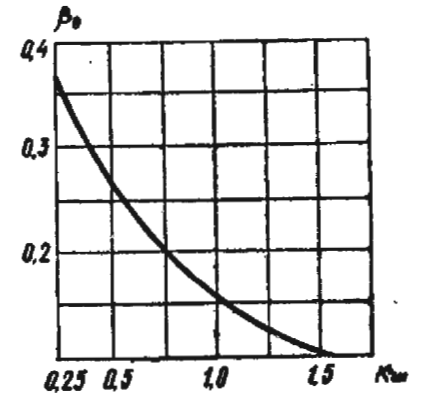
$$\beta_{st} = \beta_0 \frac{h_w - h}{h_w - h_0} \quad (1.114)$$

Անհավասարակափ շարժման դեպքում  $K_0$  թողունակությունը որոշվում է

$$K_0 = \frac{1 - 0.65 \beta_0}{1 - \beta} \frac{Q}{\sqrt{i_0}} = \psi_1(h) \quad (1.115)$$

և Շեզիի բանաձևով՝

$$K_0 = A C \sqrt{R i_0} = \psi_2(h) \quad (1.116)$$



Նկ. 1.28.  $\beta_0$ -օդահագեցվածության կախումը  $k_w$ -գործակցից:

Այս երկու կորերի հատման կետին համապատասխանում են  $h$ -ի և  $K_0$ -ի արժեքները տեղադրելով հոսանքի ջրաօդային շերտի համար Անբաղադար հոսանքի լրիվ խորությունը որոշվում է որպես օդային շերտի և օդաջրակաթիլային շերտի խորությունների գումար: Վերջինիս խորությունը որոշվում է

$$h_{\text{II}} = \frac{4,5(1+\beta) \left( 0,3\sqrt{h} + \frac{v}{\sqrt{MC}} \right)^2}{\sqrt{1-i_0}} \quad (1.117)$$

բանաձևով, որտեղ  $M=0,7C+6$ , երբ  $C < 60 \text{ մ}^{0,5}/\text{վ}$ ,  
 $M=48$ , , երբ  $C \geq 60 \text{ մ}^{0,5}/\text{վ}$

Ջրանցքի պատերի բարձրությունը արվում է 0,3 մ պաշարով:

## Երկրորդ գլուխ

### ՀԵՂՈՒԿԻ ՀԱՎԱՍԱՐԱԶԱՓ ՇԱՐԺՈՒՄԸ ՋՐԱՆՑՔՆԵՐՈՒՄ

#### 2.1. ԸՆԿՂԱՆՈՒՐ ՏԵՂԵԿՈՒԹՅՈՒՆՆԵՐ ԶՐԱՆՑՔՆԵՐԻ ՎԵՐԱԲԵՐՅԱԼ

Ջրանցքը արհեստական ջրատար է, որը ծառայում է ջուրը ինքնահոսով տեղափոխելու կամ արհեստական տեղափոխման ջրային ուղի է նավերի, ձկների, փայտանյութի և այլնի համար:

Ջրանցքները ծառայում են էներգետիկայի, ոռոգման, ջրամատակարարման, կեղտաջրերի հեռացման, ճահճակալված հողերի շրջանման համար և այլն:

Ջրանցքների կտրվածքի ձևը և չափերը կախված են նրա նշանակությունից, թողարկվող ջրի ելքից, երկրաշափական թեքությունից, գրունտների ամրությունից, աշխատանքի կատարման պայմաններից, երեսապատման նյութից և այլն:

Թույլ գրունտներում ջրանցքները արվում են սեղանաձև (նավարկելի մեծ ջրանցքներում՝ բազմանկյան ձևի), իսկ ժայռային գրունտներում՝ ուղղանկյանաձև: Ջրանցքի շեփերի թեքությունը կախված է գրունտի տեսակից: Թույլ գրունտների դեպքում շեփային թեքությունը արվում է փոքր, իսկ ամուր գրունտների դեպքում՝ մեծ:

Ջրանցքները հաճախ կառուցում են հավաքովի երկաթբետոնե սալերից կամ ամբողջական Փոքր չափերի ջրանցքների համար օգտագործում են կիսաշրջանային և պարաբոլիկ կտրվածքով սեկցիաներից հավաքված ջրանցքներ:

Ջրանցքի երեսապատումը փոքրացնում է պատերի խորզուրոգությունը և կրճատում ջրի կորուստը ջրանցքի պատերի միջոցով, որը տեղի է ունենում ծծանցման հետևանքով: Ջրի ծծանցումը փոքրացնելու համար կատարվում է նաև ջրանցքի պատերի հագեցում ջրանթա-

փանցելի նյութերով, գրունտի մեխանիկական խտացում, սինթետիկ թաղանթների օգտագործում և այլն:

Ջրանցքը երեսապատվում է բետոնով, ասֆալտբետոնով, ասֆալտի բարակ սալերով, սալահատակման և այլ ձևերով: Երեսապատումը գրունտի և ջրի ճնշումը իր վրա չի կարող վերցնել: Անհրաժեշտության դեպքում ջրանցքի մի պատը, իսկ երբեմն էլ ջրանցքն ամբողջովին արվում է հեծապատի ձևով:

Ջրանցքներ կառուցվել են նեղոսի հովտում դեռ 4400 տարի մ.թ.ա., իսկ Չինաստանում՝ մոտ 3000 տարի մ.թ.ա: Ուրարտուի և Խորեզմի հին պետություններում ոռոգման ջրանցքներ կառուցվել են 600—800 տարի մ.թ.ա.:

Ռուսաստանում ջրանցքների շինարարությունը մեծ թափ է ստացել Պետրոս Առաջինի ժամանակ, որի օրոք կառուցվել է Իվանովյան ջրանցքը, որը միացնում է Օկա գետը Գոնի վերին հոսանքների հետ:

Մեծ Հոկտեմբերի հաղթանակից անմիջապես հետո սկսում են կառուցել ԳՕԷԼԻՌ պլանի հետ կապված մի շարք ջրանցքներ: 30-ական թվականներին կառուցվում են Սպիտակ ծով—Բալթիկ ծով և Մոսկվայի անվան ջրանցքները, իսկ Հայրենական մեծ պատերազմից հետո՝ Վոլգա-Գոնի, Կարա-Կումի, Հարավ Գոլոդնի Ստեպի, Հյուսիսային Դրիմի ջրանցքները և այլն:

Ամենամեծ չափեր ունեն նավարկելի ջրանցքները, որոնցից կարելի է հիշատակել Սուեզի ջրանցքը, որի լայնությունն է 120—150 մ, իսկ խորությունը՝ 12—13 մ:

Նավարկելի ջրանցքների լավագույն օրինակներ են Սուեզի, Պանամայի, Վ. Ի. Լենինի անվան Վոլգա-Գոնի, Մոսկվայի անվան ջրանցքները և այլն:

Եթե նավարկելի ջրանցքները միացնում են բնական կամ արհեստական ջրամբարներ, որոնք գտնվում են տարբեր մակարդակների վրա, ապա նրանք իրար միանում են շլուղների միջոցով:

Սահանքներ ունեցող գետերի կողքին հաճախ կառուցում են գետին զուգահեռ նավարկելի ջրանցքներ (շրջանցող ջրանցքներ), որոնցից են Օնեգայի և Մերձ-Կազոգայի ջրանցքները:

Նավարկելի ջրանցքներին են պատկանում նաև մոտեցնող ջրանցքները, որոնք ծառայում են նավահանգիստների, շլուղների մատուցանելուն մոտենալու և հեռանալու համար:

Նավարկելի ջրանցքները կարող են շատ երկար լինել: Օրինակ՝ Նյու Յորքը Ֆլորիդա թերակղզուն միացնող ջրանցքի երկարությունն է 1800 կմ, իսկ Սպիտակ և Բալթիկ ծովերը միացնող ջրանցքինը՝ 227 կմ: Դնեպրովյան-Բուգյան ջրանցքի երկարությունը 196 կմ է, Սուեզինը՝ 81,6 կմ, Պանամայինը՝ 171 կմ:

էնէրգետիկ ջրանցքները ծառայում են գետի ջուրը հիդրոէլեկտրա-  
կայանի ճնշումային ավազան (դերիվացիոն ջրանցք) տեղափոխելու  
կամ ՀէԿ-ի տուրբիններից անցնող ջուրը հեռացնելու համար:

Գերիվացիոն ջրանցքների կիրառման լավ օրինակ է Սեան-Հրազդան  
ՀէԿ-երի կասկազը:

Ոռոգման (իրիգացիոն) ջրանցքները ծառայում են հողերը ոռո-  
գելու համար: Ոռոգման ջրանցքների համակարգը կազմված է մայր,  
բաժանարար, ոռոգման և հեռացնող ջրանցքներից:

Մայր ջրանցքը կարող է շատ մեծ երկարություն և շափեր ունե-  
նալ: Օրինակ՝ Կարա-Կումի առաջին հերթի մայր ջրանցքի երկարությունը  
800 կմ-ից ավելի է, Հյուսիս-Ղրիմյան ջրանցքինը՝ 400 կմ-ից ավելի,  
իսկ Ֆերգանայի մեծ ջրանցքի երկարությունը մոտ 300 կմ է:

Զրարբիացման ջրանցքները ծառայում են ցամաք, անջրդի հո-  
ղերի ջրարբիացման համար, մեծ մասամբ անասնապահությունը զար-  
գացնելու նպատակով:

Ցամաքեցնող ջրանցքները հավաքում են ճահճակալված կամ ար-  
հեստականորեն լվացվող հողերից շորացվող կամ դրենաժային ցանցի  
ջրերը և ինքնահոսով կամ պոմպերի միջոցով հասցնում հավաքող  
ջրանցքներին: Ցամաքեցնող ջրանցքներից կարելի է հիշատակել Արա-  
րատյան դաշտավայրի աղակալված և սողայակալված հողերի մշակ-  
ման համալիրը:

Զրամատակարարման ջրանցքները ծառայում են ջուրը ջրադրյուրից  
սպառողին հասցնելու համար: Զրամատակարարման ջրանցքներից կա-  
րելի է նշել Իրախ-Կարազանդա ջրանցքը, որի երկարությունը անցնում  
է 460 կմ-ից, իսկ թողունակությունը՝ 75 մ<sup>3</sup>/վ-ից: Սանիտարական և  
շահագործման պայմանների սեւակետից ջրամատակարարման ջրանցք-  
ները կառուցվում են փակ:

Կոյուղու ջրանցքները ծառայում են կեղատված ջրերը հեռաց-  
նելու և մաքրման կայաններ հասցնելու համար:

Անտառանյութ հեռացնող ջրանցքները ծառայում են փայտանյութի  
յաստերի թողարկման և այն մթերման մասից մինչև սղոցարանները  
հասցնելու համար: Այդպիսի ջրանցքներ կառուցում են նաև հիդրոհան-  
գույցների համալիրներում անտառանյութը վերին բլեֆից ներքևի բլեֆ  
անցկացնելու համար:

Ձկնուղիները ծառայում են առանձին մեկուսացված ջրամբարների  
միացման համար, որը հնարավորություն է տալիս ձկներին անցնելու  
այս կամ այն ջրամբարը, ինչպես նաև մի բլեֆից մյուսը:

Հաճախ ջրանցքները ունենում են մի քանի նշանակություն: Օրինակ,  
Մոսկվայի անվան ջրանցքը ծառայում է նավագնացության, ջրամատա-  
կարարման, ջրարբիացման համար և այլն:

Սովետական Հայաստանի սահմաններում դեռ այսօր էլ գործում են  
Հոկտեմբերյանի, Աշտարակի և այլ ջրանցքներ, որոնք կառուցվել են  
մեր թվարկությանից առաջ 7—8-րդ դարերում: Եղվարդի, Ակների և այլ  
ջրանցքները կառուցվել են վաղ միջնադարում:

Ոռոգման ջրանցքների շինարարությունը Հայաստանում մեծ թափ  
է ստացել սովետական կարգեր հաստատվելուց հետո: Կառուցվել է  
Շիրակի վ. Ի. Լենինի անվան ջրանցքը, որը շահագործման է հանձնվել  
1925 թ. հունիսի 21-ին: Զրանցքի բացման արարողությունը վերածվեց  
համաժողովրդական տոնի, որին մասնակցում էր աշխարհահռչակ գիտ-  
նական և ճանապարհորդ Ֆրիտյոֆ Նանսենը:

Հետագայում կառուցվեցին Արզնիի, Շամիրամի, Ներքին Զանգվի,  
Թալինի, Կոտայքի, Նորքի, Կարճևանի և այլ ջրանցքներ:

## 2.2. ԶՐԻ ՀԱՎԱՍԱՐԱՇԱՓ ՇԱՐԺՈՒՄԸ ԲԱՑ ՀՈՒՆԵՐՈՒՄ

Հեղուկի շարժումը կոչվում է հավասարաչափ, եթե շարժումը բնո-  
րոշող հիդրավիկական մեծությունները (կտրվածքի շափերը, ձևը, միջին  
արագությունը) ըստ ճանապարհի մնում են հաստատուն:

Ճնշումային համակարգերում հավասարաչափ շարժման լավագույն  
օրինակ է շարժումը խողովակներում:

Բաց հուններում հավասարաչափ շարժում գործնականորեն կարող  
է ստացվել միայն պրիզմատիկ երկար ջրանցքներում: Պրիզմատիկ են  
կոչվում այն հունները, որտեղ լայնակի կտրվածքի ցանկացած ձևի դեպ-  
քում ծնիչները մնում են իրար զուգահեռ: Պրիզմատիկ հուններում կեն-  
դանի կտրվածքները ստացվում են հարթ, իսկ ջրի շարժման հավասա-  
րաչափ լինելու պայմանը բավարարվում է, եթե ջրի խորությունը ըստ  
ճանապարհի չի փոփոխվում:

Ոչ պրիզմատիկ հուններում հավասարաչափ շարժում հնարավոր չէ:  
Այս դեպքում կենդանի կտրվածքները կոր մակերևույթներ են: Հիդրավ-  
իկական հաշվարկները հեշտացնելու նպատակով հաճախ իրական կեն-  
դանի կտրվածքի մակերեսը փոխարինում են շարժման առանցքին  
ուղղահայաց պրոյեկցիայի մակերեսով, որը և ընդունվում է որպես հաշ-  
վարկային:

Զրանցքների զլխամասերում և վերջնամասերում ջրի շարժումը  
խիստ անհավասարաչափ է:

Զրանցքները սովորաբար կառուցում են փոքր թեթույթյուններով  
(չհաշված արագահոսները): Այս հանգամանքը հնարավոր է դարձնում  
ընդունել  $i_0 = \sin \varphi_0 = \text{tg} \varphi_0$  և ջրի խորությունը որոշել ըստ ուղղահայացի:  
Պետք է նշել, որ անհրաժեշտության դեպքում ոչ մի դժվարություն

չի ներկայացնում ջրի խորությունը և կենդանի կտրվածքի մնացած մեծությունները որոշելու րատ ջրանցքի հատակի նորմալի ուղղությամբ տարված կտրվածքի:

Ջրանցքի հիդրավիկական հաշվարկի հիմքում ընկած է Շեզիի բանաձևը՝

$$Q = AC\sqrt{Ri} \quad (2.1)$$

Հավասարաչափ շարժման ժամանակ հիդրավիկական և պլեզոմետրական (ազատ մակերևույթի) թեքությունները հավասար են հունի երկրաչափական թեքությանը: Սա ապացուցելու համար բավական է գրել Բեռնուլիի հավասարումը երկու կամայական կտրվածքների համար (նկ. 2.1)

$$z_1 + \frac{p_1}{\rho g} + \frac{\alpha_1 v_1^2}{2g} = z_2 + \frac{p_2}{\rho g} + \frac{\alpha_2 v_2^2}{2g} + h_r \quad (2.2)$$

Քանի որ  $p_1 = p_2 = P_{atm}$ , իսկ  $v_1 = v_2$ , շարժման հավասարաչափ լինելու պատճառով, կստանանք՝

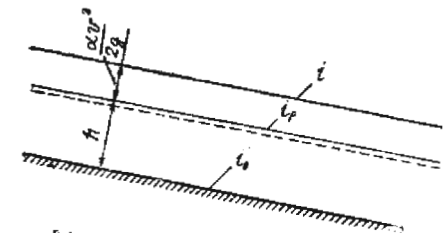
$$z_1 - z_2 = h_r \quad (2.3)$$

որը կարելի է մեկնարանել այսպես՝ հեղուկի հավասարաչափ շարժման դեպքում հունի երկրաչափական անկումը հավասար է էներգիայի կորուստին:

Բաժանելով (2.3)-ի աջ և ձախ մասերը  $L$  ճանապարհի վրա, կըստանանք՝  $i_0 = i$ , և քանի որ  $h_1 = h_2$  ապա՝

$$i = i_0 = i_p \quad (2.4)$$

Այսպիսով, ջրանցքների հիդրավիկական հաշվարկ կատարելիս կարելի է հունի հիդրավիկական թեքության փոխարեն օգտվել երկրաչափական թեքությունից (միայն հավասարաչափ շարժման դեպքում, նկ. 2.2):



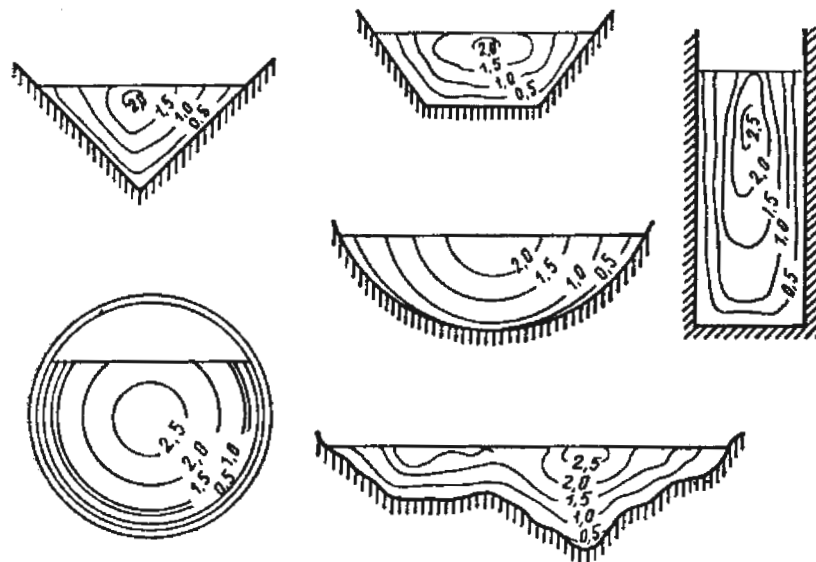
Նկ. 2.2. Հավասարաչափ շարժման դեպքում էներգիայի պլեզոմետրական և երկրաչափական բարձրությունների (հատակի) գծերը:

### 2.3. ԱՐԱԳՈՒԹՅՈՒՆՆԵՐԻ ԲԱՇԽՈՒՄԸ ԿԵՆԴԱՆԻ ԿՏՐՎԱԾՔՈՒՄ

Կենդանի կտրվածքում արագությունների բաշխումը խիստ անհավասարաչափ է առաջին հերթին պատերի և ազատ օդի հետ հեղուկի շփման պատճառով:

Վ. Տ. Չոուն՝ բերում է արագությունների բաշխումը տարբեր ձևի կենդանի կտրվածքների համար:

Նկ. 2.3-ում բերված են արագությունների բաշխման տեսքերը տարբեր կենդանի կտրվածքների համար:



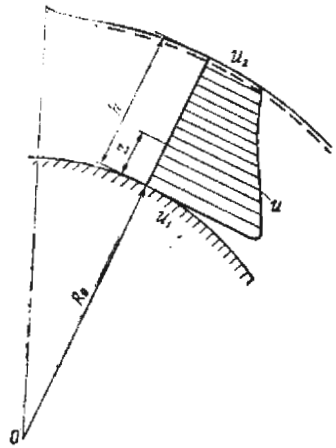
Նկ. 2.3. Արագությունների բաշխումը տարբեր ձևի կենդանի կտրվածքներում ըստ Վ. Տ. Չոուի:

Արագությունների բաշխման ընույթը կախված է կտրվածքի ձևից, պատերի անհարթությունից և այլ պատճառներից: Հարկ է նշել, որ հատակագծում և պրոֆիլում կորացումների առկայությունը խիստ կերպով փոխում է արագությունների բաշխման օրինաչափությունը:

Ուղղագծային հատակ ունեցող ջրանցքներում, ըստ ուղղաձիգի, առավելագույն արագությունը գտնվում է մակերևույթին շատ մոտ (որոշ հեղինակների կարծիքով՝ անմիջապես մակերևույթի վրա):

Օդը և քամին շատ քիչ են ազդում արագությունների բաշխման վրա:

1 Чоу В. Т., Гидравлика открытых каналов М., Стройиздат, 1969, 464 с.



Նկ. 2.4. Ուռուցիկ կոր հատակ ունեցող ջրանցքում արագությունների բաշխումը:

Ըստ Քեուլթների ուռուցիկ կոր հատակ ունեցող ջրանցքներում արագության մաքսիմումը դիտվում է հատակին շատ մոտ (ի արբերություն ուղղագծային հատակ ունեցող ջրանցքների, նկ. 2.4): Սակայն գոյություն ունեցող տեսական և փորձական հետազոտությունները խիստ թերի են և թույլ չեն տալիս ստանալու արագությունների բաշխման օրինաչափությունը:

Ըստ Վ. Տ. Չուուի հանդարտ շարժումը բավականին մոտ է պոտենցիալային շարժմանը և  $uT = \text{const}$  կապը մոտավորապես բավարարվում է, ուստի և մոտենալով կորուսված կենտրոնին արագությունը խիստ աճում է:

Կատարված հետազոտությունները ցույց են տվել, որ նույնիսկ ուղղագծային հատակով ուղղանկյուն կտրվածքի ջրանցքներում գոյություն ունի եռաչափ պտուտակային շարժում: Ուղղագծային հատակով ջրանցքներում պտուտակային շարժման ազդեցությունը գործնական խնդիրներում կարելի է անտեսել: Հատակագծում կամ պրոֆիլում կորություն ունեցող ջրանցքներում պտուտակային շարժումները դառնում են պարուրային և խիստ կերպով ազդում շարժման պատկերի և էներգիայի կորուստների վրա: Այս տեսակետից շատ կարևոր է հոսանքի հանդարտ կամ բուռն լինելը: Հանդարտ հոսանքներում կարևոր է պարուրային հոսանքների առաջացումը, որը ազդում է հիմնականում հիդրավիկական կորուստների վրա: Բուռն հոսանքներում կարևոր են լայնակի ալիքների առաջացումը, որոնք ազդում են մակերևույթի վրա:

### 2.4. ԶՐԱՆՑՔՆԵՐԻ ՀԱՇՎԱՐԿԻ ՀԻՄՆԱԿԱՆ ԴԵՊՔԵՐԸ

Զրանցքների հիդրավիկական հաշվարկը հանգեցնում է հետևյալ դեպքերին.

1. Տրված են ջրանցքի չափերը ( $b, h, m$ ), երկրաչափական թեքությունը ( $i_0$ ) և երեսապատման նյութը ( $n$ ): Պետք է որոշել թողարկվող հլքի մեծությունը:

Այս դեպքը հաճախ անվանում են հիդրոմետրական դեպք, քանի որ չափելով այս մեծությունները, կարելի է որոշել հլքը:

Խնդիրը լուծվում է Շեզիի բանաձևի օգնությամբ՝

$$Q = AC\sqrt{Ri_0}$$

Նախապես ելնելով ջրանցքի ձևից, ըստ առաջին գլխում բերված բանաձևերի որոշվում է  $A$ -ն,  $\chi$ -ն,  $R$ -ը,  $C$ -ն (օրինակ՝ ըստ Ն. Ն. Պավլովսկու բանաձևի): Տեղադրելով այս արժեքները Շեզիի բանաձևի մեջ, որոշվում է  $Q$ -ն:

2. Տրված են թողարկվող հլքը, ջրանցքի չափերը և երեսապատման նյութը: Պետք է որոշել ջրանցքի երկրաչափական թեքությունը:

Խնդիրը լուծվում է նման է 1-ին դեպքին: Նույն ձևով որոշվում է  $A$ -ն,  $\chi$ -ն,  $R$ -ը,  $C$ -ն և տեղադրելով Շեզիի բանաձևի մեջ ստանում են պահանջվող երկրաչափական թեքությունը՝

$$i_0 = \frac{Q^2}{A^2 C^2 R}$$

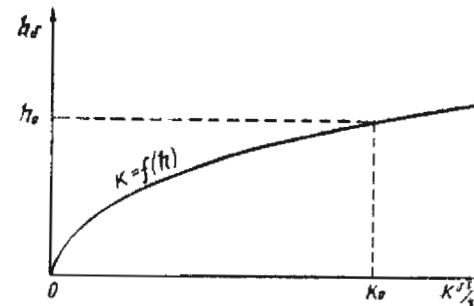
3. Տրված են թողարկվող հլքը, երկրաչափական թեքությունը, երեսապատման նյութը, ջրանցքի հատակի լայնությունը ( $b$ ) և շեկուսված գործակիցը ( $m$ ): Պահանջվում է որոշել նորմալ խորությունը ( $h_0$ ):

Խնդիրը լուծվում է փնտրման մեթոդով: Նախ որոշվում է նորմալ թողունակությունը՝

$$K_0 = \frac{Q}{\sqrt{i_0}}$$

Այնուհետև հաշվարկը կատարվում է աղյուսակի ձևով՝

| $b$ մ | $A$ մ <sup>2</sup> | $\chi$ մ | $R$ մ | $C$ մ <sup>3/2</sup> , 5/4 | $K = AC\sqrt{R}$ |
|-------|--------------------|----------|-------|----------------------------|------------------|
|       |                    |          |       |                            |                  |



Նկ. 2.5.  $K = \bar{i}(h)$  կորը և  $h_0$ -ի որոշումը ըստ  $K_0$ -ի արժեքի:

Տալով  $h$ -ին կամայական արժեքներ, որոշում են  $A$ -ն,  $\chi$ -ն,  $R$ -ը,  $C$ -ն և  $K$ -ն, մինչև որ ստացվի  $K = K_0$ , որին կհամապատասխանի  $h = h_0$ : Հաշվարկը հեշտացնելու նպատակով մոտ արժեքների միջև կատարվում է միջարկում կամ  $h_0$ -ի արժեքը որոշվում է  $K = \bar{i}(h)$  կորից, որը կառուցվում է ըստ աղյուսակի տվյալների (նկ. 2.5):

4. Տրված են թողարկվող ելքը, երկրաչափական թեքությունը, երեսապատման նյութը, ջրանցքի շափերը, բացի հատակի լայնությունից: Պահանջվում է որոշել հատակի լայնությունը:

Խնդիրը լուծվում է 3-րդ դեպքի նման, միայն լուծումը կատարվում է  $b$ -ի նկատմամբ:

5. Տրված են թողարկվող ելքը, երկրաչափական թեքությունը, երեսապատման նյութը, շեպության գործակիցը և  $\beta = b/h$  հարաբերությունը: Պահանջվում է որոշել նորմալ խորությունը և հատակի լայնությունը: Խնդիրը լուծվում է 3-րդ դեպքի նման, աղյուսակի մեջ ավելացնելով  $b$ -ն, որը ըստ ընդունված  $h$ -ի կորոշվի  $b = \beta h$  կապով:

## 2.5. ՀԻՌԱՎԼԻԿԱԿԱՆ ՆՊԱՏԱԿԱՀԱՐՄԱՐ ԿՏՐՎԱԾՔ

Միևնույն երկրաչափական թեքության, կենդանի կտրվածքի մակերեսի և տվյալ երեսապատման նյութի (խորդուբորդության գործակցի) դեպքում ջրանցքը կթողարկի ամենամեծ ելքը, երբ նրա հիդրավիկական շառավիղը ամենամեծն է, իսկ հիդրավիկական շառավիղը կլինի ամենամեծը, եթե թրջված պարագիծը լինի ամենափոքրը: Այդպիսի կտրվածքը կկոչվի հիդրավիկական նպատակահարմար կտրվածք:

Հիդրավիկական շառավիղը կարելի է մեծացնել ջրանցքի շափերի և ձևի փոփոխման միջոցով:

Այսպիսով, հիդրավիկական նպատակահարմար կտրվածք է կոչվում այնպիսի կտրվածքը, որը միևնույն կենդանի կտրվածքի մակերեսի դեպքում ունի ամենամեծ թողունակությունը:

Հեշտ է նկատել, որ փակ կտրվածքներից հիդրավիկական նպատակահարմար կտրվածք կլինի շրջանային կտրվածքը, իսկ բացերից (ոչ ճնշումային շարժում) կիսաշրջանային կտրվածքը: Ելնելով սրանից, փոքր շափեր ունեցող հավաքովի ջրանցքները հաճախ պատրաստում են կիսաշրջանային կտրվածքի կամ նրան շատ մոտ պարաբոլական կտրվածքի: Գրունտի մեջ փորված մեծ շափեր ունեցող ջրանցքը կիսաշրջանային անելը շատ դժվար է, քանի որ երեսապատման փոխարեն պետք է կառուցել հենապատեր, բացի այդ, կիսաշրջանային կտրվածքը պատրաստումը շատ ավելի բարդ ու աշխատատար է, քան հարթ շեպերով ջրանցքների պատրաստումը:

Սեղանաձև կտրվածքներից ամենափոքր թրջված պարագիծ ունի կանոնավոր վեցանկյան կեսը, որը ունի  $\alpha = 60^\circ$  շեպության անկյուն: Սակայն վերջինս չի կարելի իրականացնել թույլ գրունտներում, որտեղ  $\alpha$  անկյունը զգալիորեն պետք է փոքր անել:

Քննարկենք այն հարցը, թե տրված շեպության գործակցի սեղանաձև

կտրվածքներից որը կլինի հիդրավիկական նպատակահարմար կտրվածքը:

Սեղանաձև կտրվածքի ջրանցքի թրջված պարագիծը, կախված  $b$ -ից և  $h$ -ից, կլինի՝

$$x = b + 2h\sqrt{1+m^2},$$

$b$  փոփոխականը արտահայտենք կենդանի կտրվածքի մակերեսի միջոցով՝

$$b = \frac{A}{h} - mh,$$

Տեղադրելով  $x$ -ի բանաձևի մեջ կստանանք՝

$$\chi = \frac{A}{h} - mh + 2h\sqrt{1+m^2}, \quad (2.5)$$

Այսպիսով, թրջված պարագիծը դարձավ միայն  $h$ -ի ֆունկցիա, որի միևնույն գտնելու համար պետք է ածանցել և հավասարեցնել գրոյի:

$$\frac{dx}{dh} = -\frac{A}{h^2} - m + 2\sqrt{1+m^2} = 0,$$

Տեղադրելով  $A = (b + mh)h$ , կստանանք՝

$$-\frac{b}{h} - 2m + 2\sqrt{1+m^2} = 0,$$

կամ

$$\beta = \frac{b}{h} = 2(\sqrt{1+m^2} - m), \quad (2.6)$$

Այսպիսով, հիդրավիկական նպատակահարմար կտրվածքի դեպքում  $\beta = b/h$  հարաբերությունը պետք է որոշվի (2.6) բանաձևից: Հետագա հիդրավիկական հաշվարկը կարելի է կատարել ջրանցքի հաշվարկի 5-րդ դեպքի նման, սակայն հաշվարկը կարելի է զգալիորեն հեշտացնել, կատարելով ձևափոխություններ:

Հիդրավիկական նպատակահարմար կտրվածքի հիդրավիկական շառավիղը կլինի՝

$$R = \frac{A}{x} = \frac{bh + mh^2}{b + 2h\sqrt{1+m^2}} = h \frac{b/h + m}{b/h + 2\sqrt{1+m^2}} = h \frac{2\sqrt{1+m^2} - m}{4\sqrt{1+m^2} - 2m} = \frac{h}{2},$$

Ջրանցքի թողունակության բանաձևը նույնպես կարելի է պարզեցնել՝

$$K = AC\sqrt{R} = (b + mh) hC \sqrt{\frac{h}{2}} = \left(\frac{b}{h} + m\right) \frac{Ch^{2.5}}{\sqrt{2}} =$$

$$= \frac{2\sqrt{1+m^2} - m}{\sqrt{2}} Ch^{2.5},$$

$$\text{նշանակելով } a = \frac{2\sqrt{1+m^2} - m}{\sqrt{2}} \quad (2.7)$$

կատանանք՝

$$K = aCh^{2.5}, \quad (2.8)$$

Հաշվարկի համար տրված են  $Q$ ,  $m$ ,  $n$ ,  $\beta_0$ , պետք է որոշել  $h_0$ -ն և  $b_0$ -ն՝ Հաշվարկի հերթականությունը հետևյալն է. նախ որոշվում է նորմալ թողունակությունը՝

$$K_0 = \frac{Q}{V_{i_0}}$$

որոշվում են  $\beta$  և  $\alpha$  հաստատունները (2.6) և (2.7) բանաձևերով:  $h_0$ -ն որոշվում է փնտրման եղանակով աղյուսակի միջոցով:

| $h$ մ | $R = \frac{h}{2}$ մ | $C$ մ <sup>0.5</sup> վ | $K = aC h^{2.5}$ մ <sup>3</sup> վ |
|-------|---------------------|------------------------|-----------------------------------|
|       |                     |                        |                                   |

Միջարկում կատարելով կամ  $K = f(h)$  կորից  $h_0$ -ն որոշելուց հետո որոշվում է  $b$  լայնությունը՝  $b_0 = \beta h_0$ :

### 2.6. ԹՈՒՅԼԱՏՐԵԼԻ ԱՐԱԳՈՒԹՅՈՒՆՆԵՐԸ ԶՐԱՆՅՔՆԵՐՈՒՄ

Արագությունները ջրանցքներում պետք է բավարարեն

$$v_{\min} < v < v_{\max} \quad (2.9)$$

պայմանին, որտեղ  $v_{\min}$ -ը թույլատրելի նվազագույն արագությունն է (երբեմն անվանում են հունի շտղմակալման արագություն),  $v_{\max}$ -ը թույլատրելի առավելագույն արագությունն է (երբեմն անվանում են հունի անողողելիության արագություն):

$v > v_{\min}$  պայմանը բավարարելու անհրաժեշտություն առաջանում է, երբ ջրանցք մտնող ջուրը պարունակում է կախված մասնիկներ:

Չշտղմակալման միջին արագությունը կարելի է որոշել

$$v_{\min} = e\sqrt{R} \quad (2.10)$$

բանաձևի օգնությամբ, որտեղ  $e$  գործակցի արժեքը, կախված բերվածքի կախված մասնիկների  $d_{\text{միջ}}$  միջին տրամագծից (մմ), կարելի է ընտրել 2.1. աղյուսակից:

$e$  գործակցի արժեքները  $n = 0,0225$  խորությունը գործակցի ունեցող հունների համար

| $d_{\text{միջ}}$ մմ | $e$ մ <sup>0.5</sup> վ | $d_{\text{միջ}}$ մմ | $e$ մ <sup>0.5</sup> վ | $d_{\text{միջ}}$ մմ | $e$ մ <sup>0.5</sup> վ |
|---------------------|------------------------|---------------------|------------------------|---------------------|------------------------|
| 0,1                 | 0,22                   | 0,6                 | 0,82                   | 1,5                 | 1,03                   |
| 0,2                 | 0,45                   | 0,8                 | 0,90                   | 2,0                 | 1,10                   |
| 0,4                 | 0,67                   | 1,0                 | 0,95                   | 3,3                 | 1,11                   |

Ոռոգման ջրանցքների հիդրավիկական հաշվարկի ժամանակ կարելի է օգտվել նաև  $U$ . Ն. Արելյանցի բանաձևից՝

$$v_{\min} = \sqrt[3]{\frac{\rho_{\text{միջ}} W_{\text{միջ}} R}{10,4}} \quad (2.11)$$

որտեղ  $\rho_{\text{միջ}}$ -ը հոսքի միջին պլտությունն է (կգ/մ<sup>3</sup>),  $W_{\text{միջ}}$ -ը՝ բերվածքի միջին հիդրավիկական խոշորությունը (մմ/վ):

Հունի անողողելիության արագությունը բավականին անորոշ է և խաբուսիկ: Ընդհանուր առմամբ հին ջրանցքների անողողելիության արագությունները ավելի մեծ են, քան նորերինը, որը բացատրվում է կոլոիդ նյութերի նստվածքներով: Այլ նմանատիպ պայմանների դեպքում խորը ջրանցքների անողողելիության արագությունները ավելի մեծ են, քան փոքր խորություն ունեցող ջրանցքներինը:

Հատակագծում ուղիղ (առանց ոլորապտույտների) հունների անողողելիության արագությունների մոտավոր արժեքները բերված են աղյ. 2.2-ում:

Հունի անողողելիության արագությունների արժեքները

| Գրունտի տեսակը        | $v_{\max}$ մ/վ |
|-----------------------|----------------|
| Չկապակցված գրունտներ՝ |                |
| փոշի, տիղմ            | 0,015—0,20     |
| ավազ                  | 0,2 —0,60      |
| գետակոպիճ             | 0,60—1,20      |
| կապակցված գրունտներ՝  |                |
| կավաավազ, ավազակավ    | 0,7 —1,0       |
| կավ                   | 1,0 —1,8       |
| ժայռային գրունտներ՝   |                |
| նստվածքային ապարներ   | 2,5 —4,5       |
| բյուրեղային ապարներ   | 20,0—25,0      |
| Ամրացումներ՝          |                |
| միաշերտ սալիկ         | 3,0 —3,5       |
| երկշերտ սալիկ         | 3,5 —4,5       |
| բետոնային երեսապատում | 5,0 —10,0      |

Քիչ ուղորապտույտաներով ջրանցքներում հունի անողողելիության արածեքները պետք է փոքրացնել 5 %-ով, միջին ուղորապտույտաներով ջրանցքներում՝ 13 %-ով, իսկ շատ ուղորապտույտաներով ջրանցքներում՝ 22 %-ով:

**Երրորդ գլուխ**

**Հեղուկի ԱՆՀԱՎԱՍԱՐԱՉԱՓ ԿԱՅՈՒՆԱՅԱԾ ՇԱՐԺՈՒՄԸ ԸՍՏ ԵՐԿԱՐՈՒԹՅԱՆ ՓՈՓՈԽԱԿԱՆ ԲՆՈՒԹԱԳՐՈՂ ՄԵԾՈՒԹՅՈՒՆՆԵՐ ՈՒՆԵՅՈՂ ԲԱՅ ԶՐԱՆՅՔՆԵՐՈՒՄ**

**2.7. ԽՈՏԱԿԱՎԱԿԱԾ ԶՐԱՆՅՔՆԵՐԻ ՀԻԳՐԱՎԻԿԱԿԱՆ ՀԱՇՎԱՐԿԸ**

Ոռոգման հողային ջրանցքներում խոտային ծածկույթի առկայությունը հաճախ համարվում է ցանկալի և օգտակար: Խոտը ամրացնում է հողային ջրանցքի հատակը և պակասեցնում նրա ողողելիությունը:

Խոտակալված ջրանցքների հիդրավիկական հաշվարկը կատարվում է ըստ Շեգիի (2.1.) բանաձևի, որտեղ խորդուրորդության  $n$  գործակիցը վերանվանվում է արգելակման գործակից: Փորձնական հետազոտությունները ցույց են տվել, որ արգելակման  $n$  գործակիցը ֆունկցիոնալ կապի մեջ է գտնվում  $\sqrt{R}$  արտադրյալից:

Տարրեր բուսականության համար  $n = f(\sqrt{R})$  փորձնական կորերը բերված են Վ. Տ. Չոուի կողմից<sup>1</sup>:

Խոտակալված ջրանցքների համար թույլատրելի առավելագույն արագությունների արժեքները, կախված բուսականության տիպից, բերված են աղյուսակ 2.3-ում:

Աղյուսակ 2.3.

**Առավելագույն թույլատրելի արագությունների արժեքները խոտակալված ջրանցքների համար**

| Բուսականության տիպը | Հունի երկրաչափական թեթևությունը % | Առավելագույն թույլատրելի արագությունը՝ $v_{max}$ , մ/վ ըստ գրունանների ողողելիության |      |
|---------------------|-----------------------------------|--|------|
|                     |                                   | շատ  | քիչ  |
| 1                   | 2                                 | 3  | 4    |
| Բերմուղյան խոտ      | 0,5                               | 2,44   | 1,83 |
|                     | 5-10                              | 2,13   | 1,52 |
|                     | >10                               | 1,83   | 1,22 |
| Խոտերի խառնուրդ     | 0-5                               | 1,52   | 1,22 |
|                     | 5-10                              | 1,22   | 0,91 |
| Միամյա բույսեր      | 0-5                               | 1,07   | 0,76 |

**3.1. Հեղուկի ՇԱՐԺՄԱՆ ՀԻՄՆԱԿԱՆ ԳԻՅԵՐԵՆՅՅԱԼ ՀԱՎԱՍԱՐՈՒՄԸ ԵՎ ՆՐԱ ՎԵՐԼՈՒԹՅՈՒՆՆԵՐ**

Հեղուկի շարժումը կոչվում է անհավասարաչափ, եթե ըստ շարժման ուղղության կենդանի կտրվածքը բնութագրող մեծությունները, արագությունը կամ ելքը փոփոխվում են:

Սահուն փոփոխվող է կոչվում այն շարժումը, երբ հեղուկի կենդանի կտրվածքի խորության և միջին արագության փոփոխությունը կատարվում է ոչ մեծ սահմաններում: Մշակված են շափանիշներ, թև երբ կարելի է շարժումը ընդունել սահուն փոփոխվող:

Հեղուկների անհավասարաչափ շարժման գոյություն ունեցող անստեղծությունում ընդունված է այն ընդունելությունը, որ ցանկացած կենդանի կտրվածքում ճնշման բաշխումը կատարվում է հիդրոստատիկ օրենքով: Դրանից կարելի է հրաժարվել, հաշվի առնելով կենտրոնախույս ուժերի ազդեցությունը, որոնք առաջանում են հոսքի գծերի կորությունից: Հարկ է նշել, որ այդ ուժերի ազդեցությունը ճիշտ որոշելու վերաբերյալ կատարվող  $h'$  տեսական,  $h'$  փորձնական հետազոտությունները դեռևս չեն ավարտված:

Պրոֆիլում կոր հատակով ջրանցքների կամայական կենդանի կտրվածքի լրիվ էջքը ըստ (1.85) բանաձևի կորոշվի՝

$$H = z_c + h \cos \varphi + \frac{Q^2}{2gA^2} \left( \alpha \pm k \frac{h}{R_0} \right)$$

Այն ածանցելով ըստ ճանապարհի կստանանք՝

$$\frac{dH}{dl} = \frac{dz_c}{dl} + \frac{d}{dl} (h \cos \varphi) + \frac{d}{dl} \left( \frac{Q^2}{2gA^2} \left( \alpha \pm k \frac{h}{R_0} \right) \right) \quad (3.1)$$

Այստեղ և հետագայում վերին նշանը վերաբերում է գոգավոր, իսկ ստորինը՝ ուռուցիկ կորերին:

Որոշենք (3.1) արտահայտության առանձին անդամները: Լրիվ էջքի ածանցյալը ըստ ճանապարհի արտահայտում է էներգիայի կորուստները շփման ուժերից և ելքի փոփոխությունից:

<sup>1</sup> Чоу В. Т., Гидравлика открытых каналов. М., Стройиздат, 1969, 464 с.

$$\frac{dH}{dl} = -i - \frac{\alpha Q^2}{gA^2} (1-a) \frac{dQ}{dl}, \quad (3.2)$$

որտեղ  $i$ -ն հիդրավիկական թեքությունն է, իսկ  $a$ -ն՝ զանգվածների փոփոխման գործակիցը: Բաց շրանցքներում հիդրավիկական թեքության որոշելը նպատակահարմար է կատարել Շեզիի բանաձևով՝

$$i = \frac{Q^2}{A^2 C^2 R}$$

Պետք է նշել, որ երբ հաշվարկը կատարվում է էշՄ-ի օգնությամբ, այս բանաձևը գործնականորեն տալիս է բարձր ճշտության արժեքներ, որը հետևում է ինտեգրման բալիսի փոքրացման:

$\frac{dz_z}{dl}$ -ը արտահայտում է հատակի երկրաչափական թեքությունը՝

$$\frac{dz_z}{dl} = i_0 = -\sin\varphi, \quad (3.3)$$

$\frac{d}{dl}(h \cos\varphi)$  անդամը արտահայտվում է

$$\frac{d}{dl}(h \cos\varphi) = \cos\varphi \frac{dh}{dl} - h \sin\varphi \frac{d\varphi}{dl}, \quad (3.4)$$

իսկ

$$\begin{aligned} \frac{d}{dl} \left( \frac{Q^2}{2gA^2} \left( \alpha \pm k \frac{h}{R_0} \right) \right) &= \left( \alpha \pm k \frac{h}{R_0} \right) \frac{Q}{gA^2} \frac{dQ}{dl} - \\ &- \left( \alpha \pm k \frac{h}{R_0} \right) \frac{Q^2}{gA^2} \frac{dA}{dl} \pm \frac{Q^2}{2gA^2} \frac{k}{R_0} \frac{dh}{dl} \end{aligned} \quad (3.5)$$

որտեղ

$$\frac{dA}{dl} = \frac{\partial A}{\partial l} + \frac{\partial A}{\partial h} \frac{dh}{dl}, \quad (3.6)$$

ձեռնման  $k$  գործակիցը մեր հաշվարկներում տվյալ հատվածի համար ընդունվում է հաստատուն: Ուղղանկյուն կտրվածքով շրանցքների համար այն որոշվում է բոլորովին հատվածի ամենամեծ  $h/R_0$  հարաբերության (1.87) բանաձևով կամ (նկ. 1.14 և նկ. 1.15) գրաֆիկներից: Սեղանաձև կտրվածքի շրանցքներում  $k_0$ -ն որոշվում է

$$k_0 = \sigma k \quad (3.7)$$

բանաձևով, որտեղ  $\sigma$  գործակիցի արժեքը տատանվում է  $1,0 > \sigma > 2/3$

միջակայքում: Նրա արժեքը կախված է շեպուսթյան գործակցի արժեքից: գործնական հաշվարկներում կարելի է ընդունել  $\sigma = 0,8 - 0,9$ : Սակայն այս հարցը վերջնականապես պարզաբանված չէ և պահանջում է հետազոտություններ:

Հաշվի առնելով կատարված ձևափոխությունները, կստանանք հետևյալ անհավասարաչափ շարժման հիմնական դիֆերենցիալ հավասարումը.

$$\frac{dh}{dl} = \frac{\left(1 + h \frac{d\varphi}{dl}\right) \sin\varphi - \frac{Q^2}{A^2 C^2 R} + \frac{Q^2}{gA^2} \left(\alpha \pm k \frac{h}{R_0}\right) \frac{\partial A}{\partial l} - \frac{Q}{g} \left(\alpha \pm k \frac{h}{R_0}\right) \frac{dQ}{dl}}{\cos\varphi - \frac{Q^2}{gA^2} \left( \left(\alpha \pm k \frac{h}{R_0}\right) \frac{\partial A}{\partial l} \mp \frac{kA}{2R_0} \right)}, \quad (3.8)$$

Այստեղ անկախ փոփոխական է ճանապարհը՝  $l$ , իսկ  $\varphi$  անկյունը կապված է նրա հետ  $\varphi = \varphi(l)$  կապով:

Փնարվող ֆունկցիան  $h$  խորությունն է հատակի նորմալի ուղղությամբ:

Ստացված (3.8) դիֆերենցիալ հավասարման անդամներն ունեն հետևյալ իմաստները:

Համարիչի առաջին անդամը ներկայացնում է հատակի թեքության ազդեցությունը փոփոխական թեքության դեպքում: Շրջանային կտր ներկայացնող պրոֆիլի դեպքում  $l = R_0\varphi$  և  $dl = R_0 d\varphi$ , իսկ  $d\varphi/dl = 1/R_0$ :

Համարիչի երկրորդ անդամը հաշվի է առնում էներգիայի կորուստները (այն հիդրավիկական կամ շփման թեքությունն է): Տվյալ դեպքում այս անդամը որոշվում է Շեզիի բանաձևով: Շեզիի գործակիցը հարմար է որոշել Ն. Ն. Պավլովսկու  $C = \frac{1}{n} R^x$  ցուցչային բանաձևով

կամ Մաննինգի  $C = \frac{1}{n} R^{1/6}$  բանաձևով:  $y$  ցուցիչը կարելի է որոշել Ն. Ն. Պավլովսկու (1.48) լրիվ բանաձևով կամ  $y = (1,3 - 1,5) \sqrt{n}$  կրճատ բանաձևով: Մեր հետազոտությունները ցույց են տվել, որ կրճատ բանաձևից օգտվելիս կարելի է ստանալ գործնական խնդիրների համար միանգամայն ընդունելի արդյունքներ:

Համարիչի երրորդ անդամը հաշվի է առնում հունի ոչ պրիզմատիկությունը: Պրիզմատիկ հունի դեպքում  $\partial A / \partial l = 0$ , և այս անդամը վերանում է:

Համարիչի չորրորդ անդամը հաշվի է առնում ելքի փոփոխությունը: Հաստատուն ելքի դեպքում  $dQ/dl = 0$ , և այս անդամը վերանում է:

(3.8) հավասարման հայտարարը հաշվի է առնում հոսանքի կինետիկության աստիճանը: Այս մասին ավելի մանրամասն տրված է (1.5)-ում:

Ստացված դիֆերենցիալ հավասարումը կարելի է համարել հիմնական, քանի որ գրականության մեջ հանդիպող հավասարումները նրա մասնավոր դեպքերն են:

Քննարկվող հաշվարկային սխեմայում հաշվի է առնվում, որ՝

1. Ըստ երկարության փոփոխական է հեղուկի զանգվածը (ևլքը):

2. Զրանցքի հատակի թեքությունը փոփոխվում է պրոֆիլում: Մեծ հետաքրքրություն է ներկայացնում նաև հատակի թեքության փոփոխությունը հորիզոնական կտրվածքում: Այդ դեպքում հաշվարկը պետք է կատարել երկշափ կամ եռաշափ հոսանքների համար:

3. Զրանցքի հատակի լայնությունը կարող է փոփոխվել ինչպես գծային, այնպես էլ կամայական օրենքով:

4. Սեղանաձև կտրվածքի ջրանցքի շեկության գործակիցը կարող է փոփոխվել անցումային հատվածներում:

5. Փոփոխական կարող է լինել ջրանցքի լայնակի կտրվածքի ձևը, որը տեղի ունի, օրինակ, ոչ ճնշումային թունելի անցումային հատվածներում, որտեղ թունելի բարձրությունը փոփոխական է:

6. Հատակի և պատերի խորզուրորդությունը դործնականում սահուն չի փոփոխվում: Զրանցքի առանձին հատվածներ կարող են ունենալ տարբեր խորզուրորդության գործակիցներ:

Երկրաչափական թեքությունը ընդունվում է՝  $\alpha_0 = \sin \alpha \neq \operatorname{tg} \alpha$ , իսկ  $\cos \alpha \neq 1$ :

Ճնշումը կենդանի կտրվածքում փոփոխվում է ոչ հիդրոստատիկ օրենքով, այլ կենտրոնախույս ուժերի ազդեցությունը հաշվի առնված:

(3.8) հավասարումը արտածելիս կատարվել են հետևյալ լրացուցիչ ընդունելություններ՝

1. Հոսանքի խորությունը որոշվում է ըստ հատակի նորմալի:

2. Կենդանի կտրվածքները ոչ պրիզմատիկ հուններում ընդունվում են ուղղահայաց հոսանքի հիմնական շարժման առանցքին:

3. Լայնակի կտրվածքների վրա ազատ մակերևույթը ընդունվում է որպես հորիզոնական գիծ:

4. Հատակագծում գծային լայնացող հոսանքների համար հոսքի գծերը ընդունվում են ըստ շառավիղի ուղղության, իսկ կենդանի կտրվածքները՝ գլանային:

5. Հոսանքը անբացված է:

6. Բուռն շարժումը ենթարկվում է այն օրենքներին, որոնք ստացվում են (3.8) դիֆերենցիալ հավասարման լուծումից, այսինքն այն կարելի է համարել միաշափ, առանց շեղ թռիչքի առաջացման: Պետք է

լ նշել, որ (5) և (6) կետերը յուրաքանչյուր խնդրի դեպքում պետք է լինթարկվեն մանրակրկիտ ուսումնասիրության:

Առանձնապես ղգույշ պետք է լինել արագահոսներում անցումային հատվածների հաշվարկի ժամանակ:

Բուռն հոսանքները ունեն այն առանձնահատկությունը, որ որևէ կտրվածքում առաջացող գրգռները կարող են տարածվել շարժման ուղղությամբ դեպի ներքև մեծ տարածությունների վրա և որոշ դեպքերում կարող են ուժեղանալ:

Բ. Տ. Եմցևը առաջարկում է բուռն շարժման ժամանակ օգտվել միաշափ շարժման հավասարումներից, երբ կենդանի կտրվածքի ազատ մակերևույթի շեղումը ըստ լայնության չի գերազանցում 10 %-ից:

Այս հարցի մանրամասն վերլուծությունը կատարվում է սույն գրքի 5-րդ գլխում:

Առաջիմ խիստ վատ է ուսումնասիրված զանգվածների փոփոխման գործակցի որոշման հարցը: Հարցն այն է, որ տարբեր հիդրոտեխնիկական կառուցվածքներում այն պետք է որոշել յուրովի: Այդ գործակիցը արասայտվում է

$$a = \frac{V_s}{V} \quad (3.9)$$

բանաձևով, որտեղ  $V_s$ -ը փոփոխվող մասնիկների արագության պրոյեկցիան է հիմնական հոսանքի շարժման ուղղությամբ, իսկ  $V$ -ն հիմնական հոսքի միջին արագությունն է:

Ձանգվածների փոփոխման գործակիցը ընդհանուր առմամբ համարվում է փոփոխական մեծություն և ֆունկցիոնալ կապի մեջ է գրտնրվում լ ճանապարհից: Հաշվարկների ժամանակ շատ հարմար է (3.9) բանաձևում հոսքի միջին արագությունը փոխարինել ելքի միջոցով՝

$$a = \frac{V_s A}{Q} \quad (3.10)$$

Ձանգվածների փոփոխման գործակցի որոշումը հիմնականում կապված է փոփոխվող մասնիկների արագության պրոյեկցիայի ( $V_s$ -ի) որոշման դժվարության հետ:

Սույն գրքի հաջորդ գլուխներում քննարկվելու է զանգվածների փոփոխման գործակցի որոշման հարցը որոշ կոնկրետ հիդրոտեխնիկական կառուցվածքներում:

Գործնական հետաքրքրություն են ներկայացնում ոչ միայն (3.8) դիֆերենցիալ հավասարումը, այլև նրա մասնավոր դեպքերը:

**3.2. ԷՀՄ-ի ԿԻՐԱՌՈՒՄՈՎ ՀԵՂՈՒԿԻ ՇԱՐՃՄԱՆ ԳՆՑԵՐԵՆՑՅԱԿ  
ՀԱՎԱՍԱՐՄԱՆ ԻՆՏԵԳՐՄԱՆ ՄԻ ՔԱՆԻ ՀԱՐՑԵՐԻ ՄԱՍԻՆ**

Անհավասարաշափ շարժման (3.8) դիֆերենցիալ հավասարումը ընդհանուր դեպքում և նույնիսկ ավելի պարզ մասնավոր դեպքերում անալիտիկորեն չի ինտեգրվում: Անալիտիկորեն ինտեգրման գոյություն ունեցող մոտավոր մեթոդները պարունակում են խիստ կոպիտ ընդունելություններ, շատ աշխատատար են, ունեն փոքր ճշտություն: Բացի այդ նրանք համակողմանի չեն, այսինքն վերաբերում են միայն հաստատուն էյքով և թևությունք պրիզմատիկ հուններին:

Ինչ վերաբերում է ավելի բարդ դեպքերում (ոչ պրիզմատիկ հուններ, փոփոխական էլք և այլն) մոտավոր ինտեգրման մեթոդներին, ապա նրանք կամ շատ բարդ են և ունեն փոքր ճշտություն կամ անհասանելի են ինժեներ-նախագծողների համար:

ԷՀՄ-երի կիրառումը միանգամից վերացնում է այդ բոլոր թերությունները: Շարժման դիֆերենցիալ հավասարումների ինտեգրումը ամենաբարդ դեպքերի համար, ինտեգրման ցանկացած ճշտությամբ, ոչ մի դժվարություն չի ներկայացնում:

Մոտավոր ինտեգրման և էՀՄ-ի օգնությամբ հաշվարկների աշխատատարությունները տարբերվում են ամբողջ կարգերով:

ԷՀՄ-ի ծրագրերի կազմումը և հաշվարկի տեխնիկան հասկանալի են ամեն մի ինժեների համար, որը ունի հաշվիչ տեխնիկայի օգագործման թեկուզ շատ համեստ գիտելիքներ և փորձ:

Մաթեմատիկական տեսակետից այս հավասարումները այնքան պարզ են (լրիվ դիֆերենցիալով առաջին կարգի մեկ հավասարում), որ հնարավոր են դարձնում նրանց ինտեգրումը փոքր հիշողության էՀՄ-ով («Նաիրի», «Իսկրա» տիպի և այլն):

Մրագրավորման համար կարելի է ընտրել ցանկացած լեզու: Ինտեգրումը հարմար է իրականացնել Ռունգե-Կուտտի մեթոդով (րկ) կամ նույնն է ըստ Ֆորթրանի (RKGS): Կարելի է օգտվել ուրիշ ցանկացած մեթոդից:

Մեր կատարած հաշվարկներում նախապատվությունը տվել ենք ինքնաձրագրավորման լեզվին (ԱՊ) «Նաիրի 3—2» էՀՄ-երի օգտագործումով:

Մրագրավորման ֆորթրան լեզվի օգտագործման դեպքում, երբ հաշվարկը կատարվում է մինի էՀՄ «Իսկրա-1256»-ի վրա, մեքենայի մեջ պետք է մտցնել Ռունգե-Կուտտի ծրագիրը, իսկ EC-1020 էՀՄ-ի մեջ այն կա: Ինտեգրման քայլը (ճշտությունը) պետք է ընտրել խնդրի պայմաններից և ազատ մակերևույթի կորի բնույթից ելնելով: Ինտե-

գրման քայլը մենք ընտրում ենք տպելու քայլից 20-ից 100 անգամ փոքր: Սակայն չհիմնավորված փոքր քայլի ընտրությունը կարող է խիստ դանդաղեցնել հաշվարկը:

Ինտեգրման լավագույն քայլի ընտրման համար մենք ընազգորեն ընտրում ենք նրա նախնական արժեքը, ապա հաշվարկի արդյունքների մեջ մտցնում նրա սահմանային պայմանի արժեքները: Եթե այդ արժեքները համընկնում են, ապա ինտեգրման քայլը բավարար է: Եթե տպելու ժամանակը շատ երկար է ստացվում, ինտեգրման քայլը մեծացվում է, մինչև նրա լավագույն արժեքի գտնելը:

Եթե ազատ մակերևույթի կորը սկսվում է կրիտիկական խորությունից (որտեղ  $dh/dl = \infty$ ), ապա բնականաբար դա ընդունելի չէ մեքենայի համար: Այդպիսի դեպքերում կարելի է վարվել հետևյալ կերպ.

ա)  $h_{կր}$ -ի արժեքը փոխարինվում է նրան շատ մոտ արժեքով (մեծ կամ փոքր, կախված կորի բնույթից) և այդ արժեքից ինտեգրումը կատարվում է փոքր քայլով: Որոշ շափով հեռանալով այդ գոտուց, ինտեգրումը շարունակվում է սովորական քայլով:

բ) Ինտեգրում է  $dl/dh$  հավասարումը (ոչ թե  $dh/dl$ -ը) այն պայմանով, որ այդ կետում սկզբնական դիֆերենցիալ հավասարման համարիչը զրո չէ (օրինակ՝ արագահոսի սկզբնական կտրվածքում): Ինտեգրումը կատարվում է  $h$ -ի և  $l$ -ի տեղերը փոխելով: Որոշ շափով հեռանալով կրիտիկական խորության գոտուց, ինտեգրումը կարելի է շարունակել սովորական կոորդինատներով՝  $h$  և  $l$ :

Պրիզմատիկ հուններում, երբ ինտեգրումը կատարվում է հեղուկի շարժման հակառակ ուղղությամբ, շարժման դիֆերենցիալ հավասարումը նշանը փոխում է կամ ինտեգրման քայլին տրվում է բացասական նշան:

Նեղացող ջրանցքում հաշվարկի սկզբնակետը տեղափոխվում է շարժման հակառակ կողմը: Եթե դրական ուղղությունը համարենք այժմ շարժման հակառակ ուղղությունը, ապա (3.8) հավասարման համարիչի առաջին, երկրորդ և չորրորդ անգամները նշանը կփոխեն:

ԷՀՄ-ի օգնությամբ հաշվարկը կատարելիս հարմար է ծրագիրն այնպես կազմել, որ բացի ազատ մակերևույթի կորի կոորդինատներից որոշվեն օժանդակ ֆունկցիաների արժեքները (հոսանքի  $h$  խորությունը և  $l$  երկարությունը, եթե նրանք չեն մտնում հաշվարկի մեջ, ճնշումը ջրանցքի հատակի կամ առաստաղի վրա, լարի երկարությունը և այլն):

Որոշ դեպքերում հարմար է ընտրել մասշտաբներ և ստանալ ազատ մակերևույթի և օժանդակ կորերի գրաֆիկները:

**3.3. ՊԻՉՄԱՏԻԿ ԶՐԱՆՑՔՆԵՐՈՒՄ ԱԶԱՏ ՄԱԿԵՐԵՎՈՒՅՑԻ ԿՈՐԵՐԻ ԿԱՌՈՒՅՈՒՄԸ ՀԱՍՏԱՏՈՒՆ ԵՎ ԹԵՔՈՒԹՅԱՆ ԴԵՊՔՈՒՄ**

Քննարկենք փոփոխական բնութագրող հիդրավիկական մեծություններով ջրանցքում հեղուկի շարժման մասնավոր դեպքերը, որոնք վերաբերում են հաստատուն թեքության և ելքով ջրանցքներին:

Առանձին մասնավոր դեպքերը քննարկենք, սկսելով ամենապարզից, անցնելով ավելի բարդերի: Որպես թվային օրինակներ բերենք այն օրինակները, որոնք մեր կողմից կատարվել են կոնկրետ կառուցվածքների հիդրավիկական հաշվարկներում:

Նախ ստանանք (3.8) բնդհանուր հավասարման մասնավոր դեպքերը, այդ հավասարման մեջ տեղադրելով՝

1. Ելքի հաստատուն լինելու պայմանը՝  $\partial Q/\partial l = 0$ ;
2. Զրանցքի թեքության հաստատուն լինելու պայմանը՝  $\frac{dh}{dl} = 0$ ;
3. Փոքր թեքության ջրանցքներում՝  $i_0 = \sin\varphi = \operatorname{tg}\varphi$ ,  $\cos\varphi \approx 1$ ;  
Մեծ թեքությունների դեպքում՝  $i_0 = \sin\varphi$ , իսկ  $\cos\varphi \neq 1$ ;
4. Զրանցքը պրիզմատիկ է՝  $\partial A/\partial l = 0$ ;  
Այսպիսով, (3.8)-ից կստանանք՝

$$\frac{dh}{dl} = \frac{i_0 - \frac{Q^2}{A^2 C^2 R}}{1 - \frac{\alpha Q^2}{g A^3} \cdot \frac{\partial A}{\partial h}}, \quad (3.11)$$

Քննարկենք (3.11) հավասարման ինտեգրման մի քանի դեպքեր:

1. Փոքր թեքության, հաստատուն լայնության, ուղղանկյուն կտրվածքի ջրանցք:

Զրանցքի կտրվածքի ուղղանկյուն լինելու պայմաններից կունենանք՝

$$A = bh, \quad \chi = b + 2h, \quad \partial A/\partial h = b, \quad \text{բացի այդ ունենք } R = A/\chi, \quad C = \frac{1}{n} R^{2/3},$$

$q = Q/b$ : Տեղադրելով (3.11) հավասարման մեջ այս պայմանները, կստանանք՝

$$\frac{dh}{dl} = \frac{i_0 - \frac{q^2 n^2}{h^3} (1/h + 2/b)^{1+2\gamma}}{1 - \frac{\alpha q^2}{gh^3}}, \quad (3.12)$$

Ստացված դիֆերենցիալ հավասարման մեջ հաստատուն մեծություններն են  $i_0$ ,  $q^2 n^2$ ,  $\alpha q^2/g$ ,  $2/b$ ,  $1 + 2\gamma$ :

Որպես սահմանային պայման կարելի է օգտագործել ջրանցքի սկզբում կամ վերջում եղած խորությունը, որը որոշվում է նախորդ (կամ հաջորդ) հատվածի հիդրավիկական հաշվարկից:

**Օրինակ 3.1:** Զորը արտահոսում է վահանի տակից (նկ. 3.1), որի բացվածքն է՝  $a = 0,6$  մ, ճնշումը՝  $H = 3,0$  մ, ջրանցքի լայնությունը՝  $b = 16,0$  մ, թեքությունը՝  $i_0 = 0,008$ , խորությունը թեքության գործակիցը՝  $n = 0,017$ :

Պահանջվում է էՆՄ-ի կիրառումով կառուցել ազատ մակերևույթի կորը:

Լուծում: Զրանցքում սկզբնական խորությունը կլինի վահանի տակից դուրս եկող ջրի սեղմված խորությունը, որը հավասար է.

$$h_0 = \varepsilon a = 0,62 \cdot 0,6 = 0,372 \text{ մ},$$

որտեղ  $\varepsilon = f\left(\frac{a}{H}\right)$  որոշվում է գրականության մեջ բերվող աղյուսակներից<sup>1</sup>: Տեսակարար ելքը որոշենք Ա. Ազրոսկինի մեթոդով.

$$q = \varphi H_0^{3/2} \Phi(\tau_0) = 0,95 \cdot 3^{3/2} \cdot 0,514 = 2,54 \text{ մ}^2/\text{վ. մ},$$

$$\begin{aligned} \text{որտեղ } \Phi(\tau_0) &= 0,514 \text{ և որոշվում է աղյ. 24-ից}^1 \text{ ըստ } \tau_0 = \frac{h_0}{H} = \\ &= \frac{0,372}{3} = 0,124 \text{ արժեքի:} \end{aligned}$$

Որոշենք կրիտիկական թեքությունը.

$$i_{kr} = \frac{g \chi_{kr}}{\alpha C_{kr}^2 b} = \frac{9,81 \cdot 17,8}{1,1 \cdot 53,46^2 \cdot 16} = 0,00311 < i_0 = 0,008,$$

որտեղ կրիտիկական խորությունը և նրան համապատասխանող մեծությունները կլինեն՝

$$h_{kr} = \sqrt[3]{\frac{\alpha q^3}{g}} = \sqrt[3]{\frac{1,1}{9,81} \cdot 2,54^3} = 0,896 \text{ մ},$$

$$A_{kr} = 16 \cdot 0,896 = 14,338 \text{ մ}^2, \quad \chi_{kr} = 16 + 2 \cdot 0,896 = 17,8 \text{ մ},$$

$$R_{kr} = \frac{14,338}{17,8} = 0,807 \text{ մ}, \quad C_{kr} = 56,4 \frac{\text{մ}^{0,5}}{\text{վ}}$$

Քանի որ  $i_0 > i_{kr}$ , ազատ մակերևույթի կորը կլինի նորմալ խորությանը ասիմտոտիկ մոտեցող  $C_2$  տիպի:

Որոշենք (3.12)-ի հաստատուն մեծությունները.

<sup>1</sup> Վ. Է. Քոբաչյան, Բ. Ե. Տոդյան, Հիդրավիկայի խնդրագիրք, «Լույս» 1982, էջ 184:

$$q^2 n^2 = 2,54^2 \cdot 0,017^2 = 0,001864 \frac{\text{մ}^2}{\text{վ}^2}$$

$$\frac{\alpha q^2}{g} = \frac{1,1 \cdot 2,54^2}{9,81} = 0,7234 \text{ մ}$$

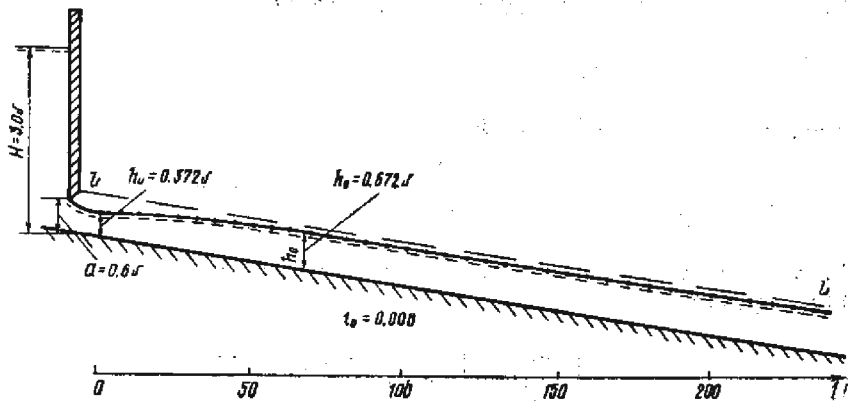
$$\frac{2}{b} = \frac{2}{16} = 0,25 \text{ մ}^{-1}$$

Պալլիովսկու բանաձևի  $y$  ցուցիչը որոշենք կրճատ բանաձևով՝

$$y = 1,5\sqrt{\bar{n}}, \quad 2y = 3\sqrt{0,017} = 0,391$$

էշՄ-ի ինտեգրման քայլը ընդունենք 0,01 մ,  $l$ -ի արժեքները որոշելու քայլը՝ 5,0 մ: Ինտեգրման սահմանները կլինեն սեղմված խորությունից մինչև գործնականում նորմալ խորությունը:

Աղյուսակ 3.1-ում տրված են ազատ մակերևույթի կորի կոորդինատները, իսկ նկ. 3.1-ում տրված է ազատ մակերևույթի կորը:



Նկ. 3.1. Օրինակ 3.1-ի ազատ մակերևույթի կորը:

Աղյուսակ 3.1.

3.1 օրինակի ազատ մակերևույթի կորի կոորդինատները

| $l$ մ | 0     | 50   | 100  | 150  | 200  | 250  |
|-------|-------|------|------|------|------|------|
| $h$ մ | 0,372 | 0,53 | 0,62 | 0,66 | 0,67 | 0,67 |

2. Փոքր թեքություն, հատակում հաստատուն լայնություն ունեցող սեղանաձև կտրվածք, հաստատուն շեղանկի գործակից ունեցող ջրանցք:

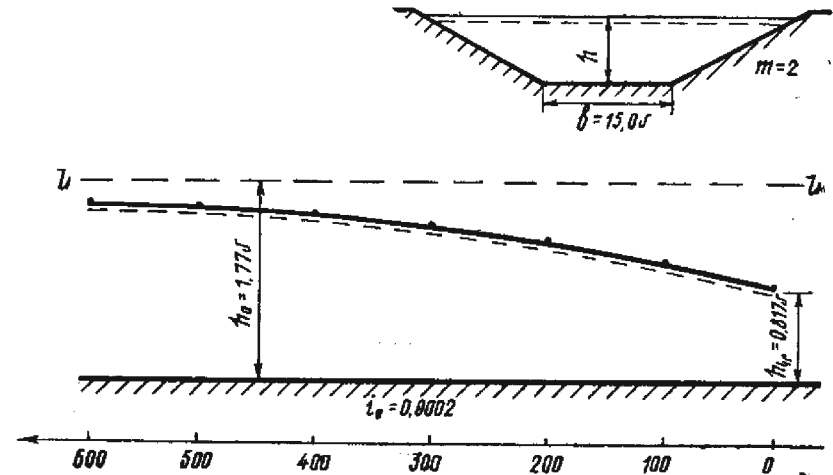
Տեղագրելով (3.20) հավասարման մեջ  $A = (b + mh)h$ ,

$$\chi = b + 2h\sqrt{1 + m^2}, \quad \frac{\partial A}{\partial h} = B = b + 2mh \text{ կասանանք՝}$$

$$\frac{dh}{dl} = \frac{i_0 \frac{Q^2 n^2}{((b + mh)h)^2} \left( \frac{b + 2h\sqrt{1 + m^2}}{(b + mh)h} \right)^{1+2y}}{1 - \frac{\alpha Q^2}{g} \cdot \frac{b + 2mh}{((b + mh)h)^3}}, \quad (3.13)$$

Տրված սահմանային պայմանների համար ինտեգրելով (3.13)-ը կասանանք ազատ մակերևույթի կորի կոորդինատները:

**Օրինակ 3.2:** Կառուցել ազատ մակերևույթի կորը սեղանաձև կտրվածք ունեցող  $Q = 35 \text{ մ}^3/\text{վ}$  ելք և  $\delta_0 = 0,0002$  հունի երկրաչափական թեքություն,  $b = 15,0 \text{ մ}$  հաստատուն հատակի լայնություն,  $L = 600 \text{ մ}$  երկարություն,  $m = 2,0$  շեղանկի թեքության գործակից,  $n = 0,017$  խորությունը գործակից ունեցող ջրանցքում, որը վերջանում է անկումով:



Նկ. 3.2. Օրինակ 3.2-ի ազատ մակերևույթի կորը:

Լ ու ծ ու մ: Ջրանցքի վերջում կառուցանա կրիտիկական խորություն, որը կորոշվի փնտրման մեթոդով

$$\frac{\alpha Q^2}{g} = \frac{A^2}{B}$$

հավասարումից, որտեղ  $\frac{\alpha Q^2}{g} = \frac{1,1 \cdot 35^2}{981} = 137,36 \text{ մ}^2,$

$$A = (b + mh)h = (15 + 2h)h, \quad B = b + 2mh = 15 + 4h$$

Տալով  $h$ -ին կամայական արժեքներ, որոշվում է  $h_{\text{ոպ}} = 0,817 \text{ մ}$ : (3.13) Հավասարման հաստատուն մեծությունները կլինեն

$$Q^2 n^2 = 35^2 \cdot 0,017^2 = 0,354, \quad \frac{\alpha Q^2}{g} = 137,36 \text{ մ}^2$$

Տեղադրելով (3.13)-ի մեջ  $h$  էջ  $U$ -ի օգնությամբ ինտեգրելով ջրի շարժման հակառակ ուղղությամբ (որի համար հավասարման նշանը փոխվում է)  $l = 0$ -ից մինչև  $l = 600 \text{ մ}$  արժեքների համար կստանանք ազատ մակերևույթի կորի կոորդինատները

Աղյուսակ 3.2.

3.2 օրինակի ազատ մակերևույթի կորի կոորդինատները

| l մ | 0     | 100   | 200   | 300   | 400   | 500   | 600   |
|-----|-------|-------|-------|-------|-------|-------|-------|
| h մ | 0,817 | 1,130 | 1,249 | 1,336 | 1,406 | 1,465 | 1,517 |

Նկ. 3.2-ում ցույց է տրված ազատ մակերևույթի կորը:

3. Հատակում հաստատուն լայնություն ունեցող, սեղանաձև կտրրվածք, ըստ ճանապարհի փոփոխական շեղումների գործակից ունեցող փոքր թեքության ջրանցք:

Ջրանցքի այսպիսի հատվածներ հանդիպում են անցումային մասերում, երբ սեղանաձև կտրվածքը դառնում է ուղղանկյուն կամ մեծ շեղումների գործակիցը անցնում է փոքր շեղումների գործակիցի և այլն:

Եթե ջրանցքի սկզբում և վերջում շեղումների գործակիցներն են  $m_1$  և  $m_2$  և ըստ ճանապարհի այն փոխվում է գծային որենքով, ապա որեէ կամայական կտրվածքում շեղումների գործակիցը կլինի՝

$$m = m_1 - \frac{m_1 - m_2}{L} l = m_1 - al, \quad (3.14)$$

որտեղ

$$a = (m_1 - m_2) / L$$

Ստացված (3.13) հավասարման մեջ  $m$ -ը փոխարինելով (3.14) արտահայտությամբ և կատարելով ձևափոխություններ, կստանանք հավասարային դիֆերենցիալ հավասարում հետևյալ տեսքով՝

$$\frac{dh}{dl} = \frac{i_0 \frac{Q^2 n^2}{((b + m_1 h - al)h)^2} \cdot \left( \frac{b + 2h\sqrt{1 + (m_1 - al)^2}}{(b + m_1 h - al)h} \right)^{1+2y}}{1 - \frac{\alpha Q^2}{g} \cdot \frac{(b + 2m_1 h) - 2al}{((b + m_1 h - al)h)^3}}, \quad (3.15)$$

**Օրինակ 3.3:** Հատակում  $b = 5,0 \text{ մ}$  հաստատուն լայնություն ունեցող ջրանցքը, որի թեքությունն է  $i_0 = \sin \varphi = 0,0995$  ( $\text{tg} \varphi = 0,1$ ,  $\cos \varphi = 0,995$ )  $L = 2,42 \text{ մ}$  հատվածում ունի  $0,3$ -ից մինչև  $0,2315$  գծային օրենքով փոփոխվող շեղումների գործակից:

Ջրանցքի ելքն է՝  $Q = 264 \text{ մ}^3/\text{վ}$ , ջրի խորությունը այս հատվածի վերջում՝  $h_2 = 6,149 \text{ մ}$ , խորությունների գործակիցը՝  $n = 0,016$ : Այս տվյալները վերաբերում են Գեղի գետի վրա կառուցվող ջրամբարի ջրթող կառուցվածքներին:

Պահանջվում է որոշել ջրի խորությունը այս հատվածի սկզբում, (ուսումնասիրվող հատվածի կարճ լինելու պատճառով ազատ մակերևույթի կորի կոորդինատները միջանկյալ կտրվածքներում չեն որոշվում):

Լուծում: Սկզբից որեէ  $l$  հեռավորության վրա շեղումների թեքության գործակիցը կլինի

$$m = m_1 - \frac{m_1 - m_2}{L} l = m_1 - al = 0,3 - \frac{0,3 - 0,2315}{2,42} l = 0,3 - 0,0283l, \quad (a = 0,0283)$$

Հիդրավիլիկական մեծությունները կլինեն՝

$$A = (b + mh)h = (b + m_1 h - al)h = (5 + 0,3h - 0,0283lh)h,$$

$$\lambda = b + 2h\sqrt{1 + (m_1 - al)^2} = 5 + 2h\sqrt{1 + (0,3 - 0,0283l)^2},$$

$$\frac{\partial A}{\partial l} = -ah^2 = -0,0283h^2, \quad \frac{\partial A}{\partial h} = b + 2m_1 h - 2al =$$

$$= 5 + 0,6h - 0,0566lh, \quad 2y = 3 \cdot \sqrt{n} = 3 \cdot \sqrt{0,016} = 0,379:$$

Խնդրի տվյալները և այս հիդրավիլիկական մեծությունները տեղադրելով (3.15)-ի մեջ, կստանանք ջրի շարժման դիֆերենցիալ հավասարումը տվյալ խնդրի համար գրված գործակիցներով, որը էջ  $U$ -ի օգնությամբ ինտեգրելով շարժման հակառակ ուղղությամբ՝  $l_2 = 2,64 \text{ մ}$ ,  $h_2 = 6,149 \text{ մ}$

եզրային պայմաններից մինչև  $l_1=0$  հեռավորությունը, կատանանք սկզբում ջրի խորությունը՝  $h_1=6,55$  մ:

4. Տաշտածե կտրվածքի հաստատուն բարձրության և լայնության ոչ ճնշումային թունել (նկ. 3.3):

Երբ ջրի հորիզոնը գտնվում է կոր թաղից ներքև ( $h < y$ ), կտրվածքը կլինի ուղղանկյուն և հաշվարկը կատարվում է ինչպես ուղղանկյուն ջրանցքում (տես 1-ին դեպք):

Երբ ջրի հորիզոնը գտնվում է  $h > y$  մասում հաշվարկը կատարելու համար մտցնենք նոր փոփոխական՝  $\beta$  (նկ. 3.4): Հիդրավիկական մեծությունները արտահայտված  $\beta$  անկյան միջոցով ըստ (1.32—1.36)-ի կլինեն՝

$$\begin{aligned} h &= y + r \sin \beta, \\ A &= by + r \left( \beta + \frac{\sin 2\beta}{2} \right), \\ Z &= b + 2y + 2r\beta, \\ \frac{\partial A}{\partial h} &= \beta = 2r \cos \beta; \quad \frac{\partial A}{\partial l} = 0, \\ \frac{dh}{dl} &= \frac{dh}{d\beta} \frac{d\beta}{dl} = r \cos \beta \cdot \frac{d\beta}{dl}, \end{aligned} \quad (3.16)$$

Տեղադրելով այս մեծությունները և որոշ ձևափոխություններից հետո կատանանք՝

$$\frac{d\beta}{dl} = \frac{\sin \varphi_0 \frac{Q^2 n^2}{\left( by + r^2 \left( \beta + \frac{\sin 2\beta}{2} \right) \right)^2} \cdot \left( \frac{b + 2y + 2r\beta}{by + r^2 \left( \beta + \frac{\sin 2\beta}{2} \right)} \right)^{1+2\gamma}}{r \cos \varphi_0 \cos^3 \beta - \frac{2Q^2}{g} \frac{2r^2 \cos^2 \beta}{\left( by + r^2 \left( \beta + \frac{\sin 2\beta}{2} \right) \right)^3}} \quad (3.17)$$

Սահմանային պայմանները պետք է տալ ըստ  $l$ -ի և  $\beta$ -ի:

Սկզբնական կտրվածքում ունեցած  $h_1$  խորության միջոցով որոշվում է  $\beta_1$ -ը:

$$\beta_1 = \arcsin \left( \frac{h_1 - y}{r} \right),$$

որի արժեքը և կհանդիսանա սահմանային պայման տվյալ  $l$ -ի արժեքի համար:

**Օրինակ 3.4:** Որոշել ազատ մակերևույթի կորի կոորդինատները հետևյալ տվյալների դեպքում՝  $Q=264$  մ<sup>3</sup>/վ,  $\varphi_0=35^\circ$ ,  $b=5,0$  մ,  $y=1,5$  մ,  $r=2,5$  մ,  $h_1=2,901$  մ,  $L=66,52$  մ,  $\alpha=1,1$ ,  $n=0,016$ : Այս տվյալները վերաբերում են Գեղի գետի վրա կառուցվող ջրամբարի ջրթող կառուցվածքի հեռացնող թունելին: Թունելի սկզբում  $\beta$ -ի արժեքը կլինի՝

$$\beta_1 = \arcsin \left( \frac{2,901 - 1,5}{2,5} \right) = 0,595,$$

էձՄ-ի օգնությամբ ինտեգրելով (3.17)-ը տրված  $l_1$  և  $\beta_1$  սահմանային պայմանի համար, ստանում ենք ազատ մակերևույթի կորի կոորդինատները (աղյ. 3.3): Խորությունները տրված են հատակի նորմալի ուղղությամբ:

Աղյուսակ 3.3

3.4 օրինակի ազատ մակերևույթի կորի կոորդինատները

| $l$ մ   | 0     | 10    | 20    | 30    | 40    | 50    | 60    | 66,52 |
|---------|-------|-------|-------|-------|-------|-------|-------|-------|
| $\beta$ | 0,595 | 0,423 | 0,323 | 0,253 | 0,201 | 0,160 | 0,127 | 0,108 |
| $h$ մ   | 2,901 | 2,531 | 2,295 | 2,126 | 1,999 | 1,899 | 1,816 | 1,771 |

Նկ. 3.3-ում տրված է ազատ մակերևույթի կորը:

5. Տաշտածե կտրվածքի հաստատուն լայնության և փոփոխական բարձրության ոչ ճնշումային թունել:

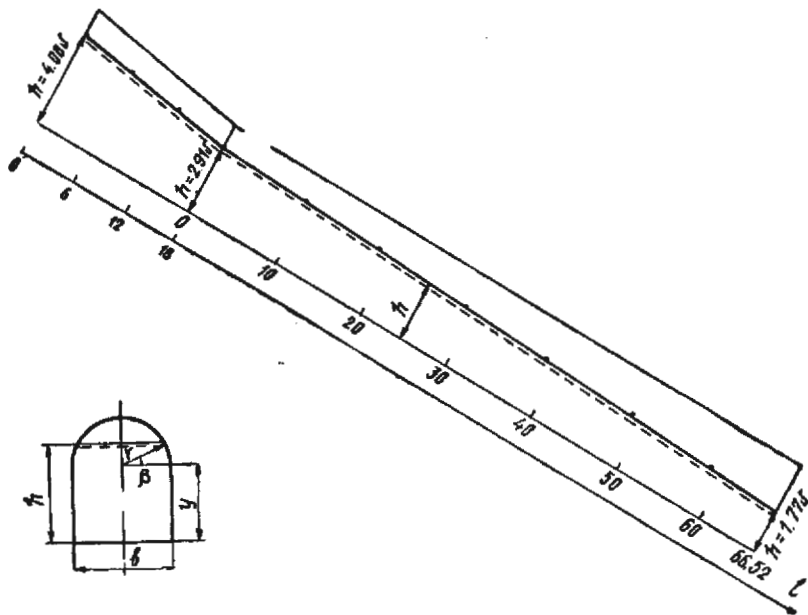
Հեռացնող թունելների սկզբնական հատվածներում, որտեղ ջրի խորությունը արագ փոքրանում է, թունելը հարմար է նախապես փոփոխական բարձրությամբ, թողնելով թաղի բարձրությունը և շտապվողը նույնը, փոխելով միայն ուղղաձիգ պատերի բարձրությունը (նկ. 3.3):

Կամայական կտրվածքում ուղղաձիգ պատերի բարձրությունը կլինի՝

$$y = y_1 - \frac{y_1 - y_2}{L} l = y_1 - \alpha l$$

Հիդրավիկական մեծությունները, արտահայտված  $\beta$  անկյա փոփոխականի միջոցով, կատանան հետևյալ տեսքը

$$h = y_1 - \alpha l + r \sin \beta,$$



Նկ. 3.3. Օրինակ 3.4-ի և 3.5-ի ազատ մակերևույթի կորերը:

$$A = by_1 - bal + r^2 \left( \beta + \frac{\sin 2\beta}{2} \right),$$

$$X = b + 2y_1 - 2al + 2r\beta,$$

$$\frac{\partial A}{\partial h} = r \cos \beta, \quad (3.18)$$

Տեղադրելով (3.18)-ը (3.11)-ի մեջ, կստանանք

$$\frac{d\beta}{dl} = \frac{\sin \varphi_0 \frac{Q^2 n^2 (b + 2y_1 - 2al + 2r\beta)^{1+2/\alpha}}{\left( by_1 - bal + r^2 \left( \beta + \frac{\sin 2\beta}{2} \right) \right)^{3+2/\alpha}}}{r \cos \varphi_0 \frac{\alpha Q^2}{g} \cdot \frac{2r^2 \cos^2 \beta}{\left( by_1 - bal + r^2 \left( \beta + \frac{\sin 2\beta}{2} \right) \right)^3}} \quad (3.19)$$

**Օրինակ 3.5:** Որոշել ազատ մակերևույթի կորի կոորդինատները փոփոխական բարձրության ոչ ճնշումային թունելում հետևյալ տվյալների դեպքում՝  $Q = 264 \text{ մ}^3/\text{վ}$ ,  $b = 5,0 \text{ մ}$ ,  $r = 2,5 \text{ մ}$ ,  $y_1 = 2,5 \text{ մ}$ ,  $y_2 = 1,5 \text{ մ}$ ,  $\alpha = 1,1$ ,  $\varphi_0 = 35^\circ (0,61086)$ ,  $\sin \varphi_0 = 0,5736$ ,  $\cos \varphi_0 = 0,8191$ ,  $2y = 0,379$ ,  $n = 0,016$ ,  $h_1 = 4,08 \text{ մ}$ ,  $L = 18,0 \text{ մ}$ :

Այս տվյալները վերաբերում են նախորդ օրինակի կառուցվածքի սկզբնական հատվածին (նկ. 3.3):

Հ ա լ թ ու մ: Հատվածի սկզբում  $\beta_1$  անկյունը կլինի

$$\beta_1 = \arcsin \left( \frac{4,08 - 2,5}{2,5} \right) = 0,685:$$

Տեղադրելով թվային արժեքները (3.19) հավասարման մեջ և  $l = 0$ ,  $\beta = 0,685$  սկզբնական պայմանների համար էՆՄ-ի օգնությամբ ինտեգրելով (3.19) հավասարումը, կստանանք ազատ մակերևույթի կորի կոորդինատները (աղյ. 3.4):

Աղյուսակ 3.4

3.5 օրինակի ազատ մակերևույթի կորի կոորդինատները

| l, մ    | 0     | 3,0   | 6,0   | 9,0   | 12,0  | 15,0  | 18,0  |
|---------|-------|-------|-------|-------|-------|-------|-------|
| $\beta$ | 0,684 | 0,593 | 0,552 | 0,540 | 0,546 | 0,565 | 0,595 |
| h, մ    | 4,082 | 3,730 | 3,479 | 3,286 | 3,131 | 3,004 | 2,901 |

Այս հատվածի վերջին խորությունը կհանդիսանա որպես սկզբնական խորություն նախորդ օրինակում բերված թունելի հաշվարկի համար:

Նկ. 3.3-ում տրված է ազատ մակերևույթի կորը:

### 3.4 ՈՉ ՊԻԵՉՄԱՏԻԿ ԶՐԱՆՑՔՆԵՐՈՒՄ ԱՋԱՏ ՄԱԿԵՐԵՎՎՈՒՅԹԻ ԿՈՐԵՐԻ ԿԱՌՈՒՑՑՈՒՄԸ ՀԱՍՏԱՏՈՒՆ ԵՎ ՔԻՄԻԿԱԿԱՆ ԳԵՊԳՈՒՄ

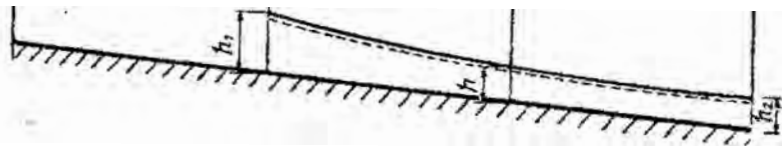
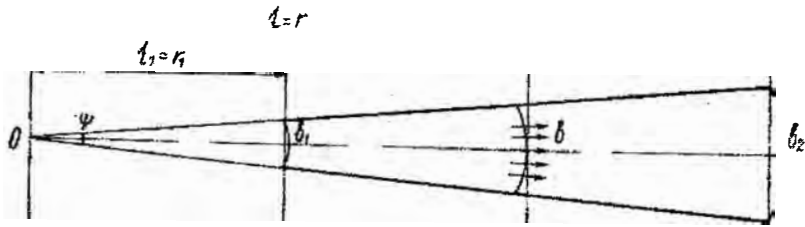
Հիմնականում կանգ առնենք այն դեպքերի վրա, երբ ջրանցքի լայնությունը ըստ ճանապարհի փոխվում է գծային օրենքով:

Ընդհանուր դիֆերենցիալ հավասարման (3.8) մեջ պետք է տեղադրել ելքի հաստատուն լինելու պայմանը  $\left( \frac{dQ}{dl} = 0 \right)$  և հատակի թեքության հաստատուն լինելու պայմանը  $\left( \frac{d\varphi}{dl} = 0 \right)$ , որից հետո կստանանք

$$\frac{dh}{dl} = \frac{\sin \varphi_0 - \frac{Q^2}{A^2 C^2 R} + \frac{\alpha Q^2}{g A^3} \cdot \frac{\partial A}{\partial l}}{\cos \varphi_0 - \frac{\alpha Q^2}{g A^3} \frac{\partial A}{\partial h}} \quad (3.20)$$

Քննարկենք այս հավասարման միջոցով ազատ մակերևույթի կորերի կառուցման մի քանի մասնավոր դեպքեր:

1. Ուղղանկյուն կտրվածքի ջրանցք, որի լայնությունը դաս էրկարության փոփոխվում է գծային օրենքով (նկ. 3.4):



Նկ. 3.4 Հատակագծում գծային օրենքով լայնացող ուղղանկյուն կտրվածքի ջրանցքի հաշվարկային սխեման:

Այսպիսի հունում հիդրավիկական ուսումնասիրությունների համար որպես հաշվարկային սխեմա կարելի է ընդունել՝

ա) Հոսքի գծերը հատակագծում ունեն շառավղային ուղղություններ, իսկ կենդանի կտրվածքները ներկայացնում են գլանային մակերևույթներ: Այս դեպքում հարմար է օգտվել գլանային կոորդինատներից՝  $\psi, r, z$ :

Որևէ  $r$  հեռավորության վրա կենդանի կտրվածքի լայնությունը կլինի  $b = \beta r$ , որտեղ  $\psi$ -ն կենտրոնական անկյունն է (նկ. 3.4):

բ) Հեղուկի շարժումը ընդունվում է սահուն փոփոխվող, հարթ կենդանի կտրվածքներով, որի լայնությունը հավասար է  $b = \beta l$ , որտեղ  $\beta$ -ն որոշվում է

$$\beta = 2l g \gamma / 2 \frac{b_2 - b_1}{L} \quad (3.21)$$

բանաձևի օգնությամբ:

Այսպիսով, ա) հաշվարկային սխեման հանգում է բ)-ին, եթե  $\psi$ -ն փոխարինվի  $\beta$ -ով: Նշենք, որ այս երկու սխեմաների միջոցով հաշված լայնությունների տարբերությունը  $\psi = 30^\circ$  անկյան դեպքում կազմում

է 2,5 %: Հաշվի առնելով, որ  $\psi$  անկյունը սովորաբար զգալիորեն փոքր է, ապա հարթ կենդանի կտրվածքների ընդունումը հանգեցնում է զործնականորեն արհամարհելի սխալների:

Կենդանի կտրվածքի հիդրավիկական տարրերը կլինեն՝

$$b = \beta l, \quad A = \beta^2 l^2 / 4, \quad \gamma = \beta l + 2h, \quad q = Q / \beta, \quad C = \frac{1}{n} R^{2/3}, \quad \frac{\partial A}{\partial l} = \beta h,$$

Տեղադրելով (3.20) հավասարման մեջ, փոքր երկրաչափական  $\beta$ -բությունների համար կստանանք՝

$$\frac{d\gamma}{d\beta} = \frac{i_0 - \frac{q^2 n^2}{l^2 h^3} (1/k + 2/\beta l)^{1+2\gamma} + \frac{q^2}{g l^3 h^3}}{1 - \frac{\alpha q^2}{g l^3 h^3}}, \quad (3.22)$$

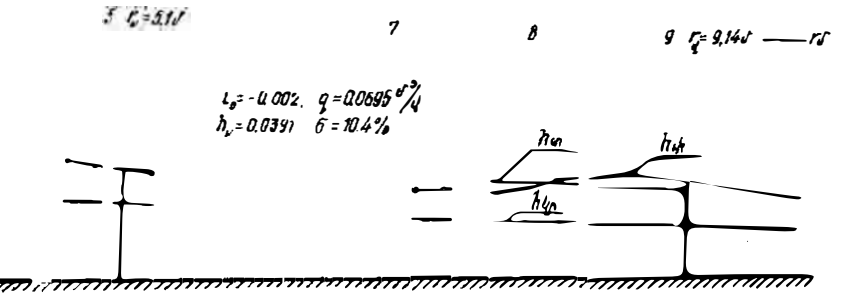
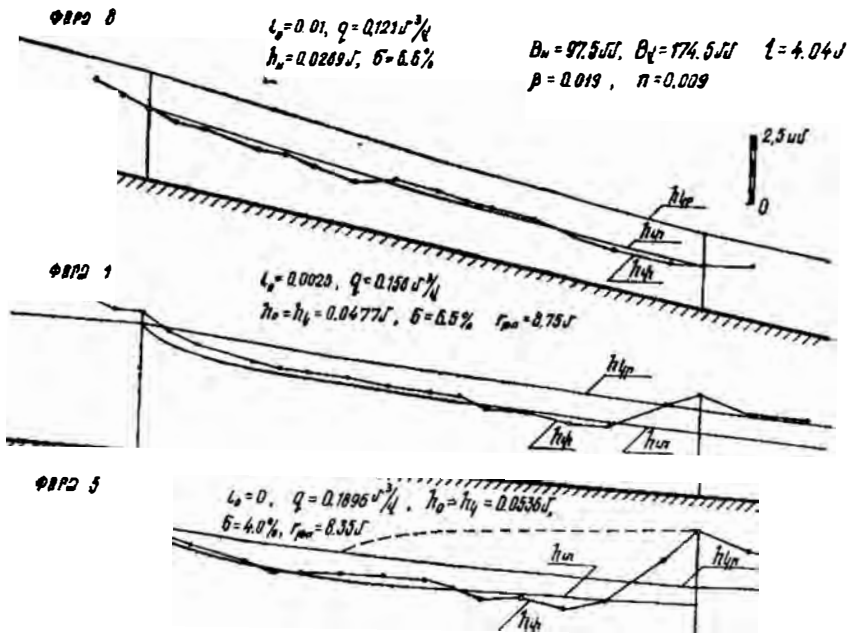
Նեղացող ջրանցքների համար «0» բևեռը տեղափոխվում է հակառակ կողմը: Ճանապարհի դրական աճը ընդունելով «0» բևեռից շարժման հակառակ ուղղությամբ, (3.32) հավասարման համարիչի առաջին և երկրորդ անդամները կփոխեն իրենց նշանները:

Մեր կողմից լաբորատոր պայմաններում կատարված են փորձնական հետազոտություններ և այդ փորձերի տվյալներով կառուցված են ազատ մակերևույթի կորերը, որոնք էլ համեմատված են տեսականորեն ստացված արդյունքների հետ:

Ն. Ն. Պավլովսկու բանաձևի մեջ մտնող  $\gamma$  ցուցիչը որոշվում է կրճատ բանաձևով, խորոշրոշրոշրության գործակիցը ընդունելով՝  $n = 0,009$  (երբ  $\gamma$ -ը որոշվել է լրիվ բանաձևով, խորությունների շեղումը չի անցել 1—2 %-ից):

Նկ. 3.5-ում ցույց են տրված տեսական հաշվարկների և փորձերի արդյունքների մի քանի դեպքեր: Տեսական և փորձնական խորությունների միջին քառակուսիական շեղումը համեմատված միջին խորություն հետ տատանվում է  $\sigma = 4,0—12,0$  %-ի սահմաններում:

Փորձերը կատարված են երկու փորձասարքերի վրա: Առաջինը ներկայացնում է հաստատուն թիքության լավ քանակությամբ տախտակներից պատրաստված, գծային օրենքով նեղացող ուղղանկյուն կտրվածքով ջրանցք: Այս փորձասարքի վրա կատարված են տարբեր ելքերի և թիքությունների համար 13 փորձ: Չափված են ազատ մակերևույթի կորի կոորդինատները: Տրված են նաև կրիտիկական և փորձնական խորությունների կորերը: 1 և 5 փորձերում սկզբնական կտրվածքում ունենք կրիտիկական խորություն, որը և օգտագործվում է որպես սահմանային պայման:



Նկ. 3.5 Ազատ մակերևույթի կորը և փորձերի արդյունքները գծային օրենքով լայնացող և նեղացող ջրանցքում:

$h_0$ —կրիտիկական,  $h_m$ —տեսական,  $h^p$ —փորձական,  $h^p$ —իդեալական հեղուկի տեսական կորերը:

Երկրորդ փորձասարքը հորիզոնական հատակով նեղացող (կամ լայնացող) ջրանցք է  $L = 1,9$  մ երկարությամբ,  $b_1 = 0,97$  մ,  $b_2 = 0,3$  մ լայնություններով: Կենտրոնական անկյունը բավականին մեծ է  $\psi = 0,334$ , որի պատճառով նպասակահարմար է հոսանքը դիտել շառավղային հոսքի գծերով և գլանական կենդանի կտրվածքներով: Պատերից հոսանքի կտրվելը կանխելու համար լայնացման սկզբում արված է սահուն մոտեցում: Այս սերիայով կատարված է 8 փորձ, որոնց մշակումը

ջրայց սվեց, որ տեսական և փորձական սվեյաների շեղումը կազմում է  $\sigma = 1,4 - 4,1\%$ : Քանի որ շափված խորութունները գտնվել են մի քանի սանտիմետրերի սահմաններում (մեծ հարաբերական սխալները վերաբերում են փոքր խորութուններին), ապա պետք է ենթադրել, որ բնական պայմաններում, այսինքն ավելի մեծ խորութունների դեպքում, հարաբերական սխալը ավելի փոքր կլինի:

**Օրինակ 3.6:** Որոշել ազատ մակերևույթի կորի կոորդինատները գծային օրենքով լայնացող ուղղանկյուն կտրվածքով ջրանցքում հետևյալ սվեյաների դեպքում՝  $Q = 132,4$  մ<sup>3</sup>/վ,  $i_0 = -0,002$ ,  $b_1 = 9,75$  մ,  $b_2 = 17,45$  մ,  $L = 404$  մ,  $h_1 = 3,91$  մ,  $n = 0,017$ :

Նաշվենք կենտրոնական անկյան  $\beta$  գործակիցը

$$\beta = 2 \operatorname{tg} \psi / 2 = \frac{17,45 - 9,75}{404} = 0,019059$$

Տեսակարար ելքը կլինի՝

$$q = \frac{132,4}{\beta} = \frac{132,4}{0,01909} = 6946,8 \text{ մ}^3/\text{վ}$$

Սկզբնական և վերջնական կտրվածքների հեռավորությունը «0» բևեռից կլինի՝

$$l_1 = \frac{b_1}{\beta} = \frac{9,76}{0,019059} = 516,0 \text{ մ}$$

$$l_2 = 516,0 + 404 = 920 \text{ մ}$$

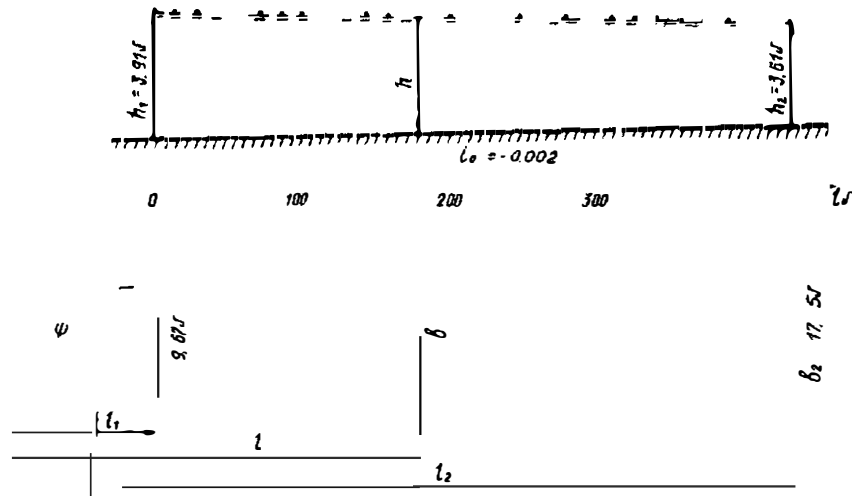
Հաստատուն գործակիցները կլինեն՝

$$\frac{\alpha q^2}{g} = \frac{1,1 \cdot 6950^2}{9,81} = 5411273 \text{ մ}^5$$

$$q^2 n^2 = 6946,8^2 \cdot 0,017^2 = 13946,57 \text{ մ}^6/\text{վ}^2$$

$$\frac{2}{\beta} = \frac{2}{0,019059} = 104,937 \quad 2y = 3 \cdot \sqrt{0,017} = 0,339$$

Տեղադրելով այս գործակիցները (3.22) հավասարման մեջ և  $l_1 = 512,0$  մ,  $h_1 = 3,91$  մ սահմանային պայմանների համար ինտեգրելով այն, կստանանք ազատ մակերևույթի կորի կոորդինատները (աղյ. 3.5):



Նկ. 3.6 Օրինակ 3.6-ի ազատ մակերևույթի կորը:

Աղյուսակ 3.5

3.6 օրինակի ազատ մակերևույթի կորի կոորդինատները

|             |      |      |      |      |      |      |
|-------------|------|------|------|------|------|------|
| $l$ մ       | 516  | 560  | 660  | 760  | 860  | 920  |
| $(l-l_1)$ մ | 0    | 38.0 | 138  | 248  | 348  | 404  |
| $h$ մ       | 3.91 | 3.86 | 3.70 | 3.50 | 3.28 | 3.15 |

Նկ. 3.6-ում տրված է ազատ մակերևույթի կորը:

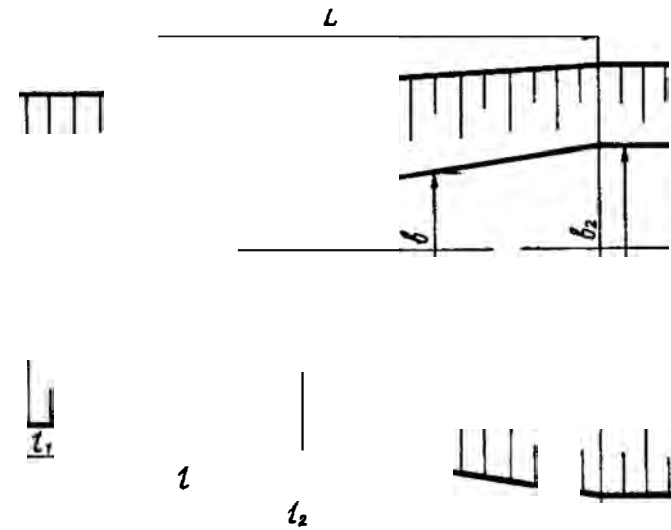
2. Սեղանաձև կտրվածքի հաստատուն շեպուժյան գործակից ունեցող ջրանցք, որի լայնությունը հաստակում փոփոխվում է գծային օրենքով (Նկ. 3.7):

Կամայական կտրվածքում հիդրավիկական տարրերը կլինեն՝

$$b = \beta l, \quad A = (\beta l + mh)h, \quad q = \frac{Q}{\beta}$$

$$\chi = \beta l + 2h\sqrt{1+m^2}, \quad \frac{\partial A}{\partial l} = \beta h,$$

$$\frac{\partial A}{\partial h} = B = \beta l + 2mh,$$



Նկ. 3.7. Սեղանաձև կտրվածքի հաստակագծում գծային օրենքով փոփոխվող լայնությամբ ջրանցքի սխեման:

Տեղադրելով (3.20) հավասարման մեջ, կստանանք՝

$$\frac{dh}{dl} = \frac{\sin\varphi - \frac{q^2 n^2}{\left(\left(l + \frac{m}{\beta}h\right)h\right)^2} \left(\frac{l + \frac{2h}{\beta}\sqrt{1+m^2}}{\left(l + \frac{m}{\beta}h\right)h}\right)^{1+2\gamma} + \frac{\alpha q^2 h}{g\left(\left(l + \frac{m}{\beta}h\right)h\right)^3}}{\cos\varphi - \frac{\alpha q^2}{g} \cdot \frac{l + 2\frac{mh}{\beta}}{\left(\left(l + \frac{m}{\beta}h\right)h\right)^3}} \quad (3.23)$$

$\Phi_0$ -ի փոքր արժեքների համար  $i_0 = \sin\varphi$ ,  $\cos\varphi \approx 1$ :

**Օրինակ 3.7:** Հաստատուն շեպուժյան գործակից ունեցող, գծային օրենքով լայնացող ջրանցքում որոշել ազատ մակերևույթի կորի կոորդինատները հետևյալ տվյալների դեպքում՝  $Q = 60$  մ<sup>3</sup>/վ,  $b_1 = 5,0$  մ,  $b_2 = 6,5$  մ,  $m = 1,0$  մ,  $i_0 = 0,0021$ ,  $n = 0,017$ ,  $h_1 = 2,0$  մ,  $L = 50,0$  մ:

Լ ու ծ ու մ: Ընդունում ենք  $\sin\varphi = 0,0021$ ,  $\cos\varphi \approx 1,0$ :

$\beta$  գործակիցը կլինի՝

$$\beta = 2 \operatorname{tg} \psi / 2 = \frac{b_2 - b_1}{L} = \frac{6,5 - 5,0}{50} = 0,03:$$

(3.22) հավասարման մնացած հաստատունները կլինեն

$$q = \frac{Q}{\beta} = \frac{60}{0.03} = 2000 \text{ Մ}^3/\text{վ}, \frac{\alpha q^2}{g} = \frac{1.1 \cdot 2000^2}{9.81} = 44852.9 \text{ Մ}^6/\text{վ}^2$$

$$q^2 n^2 = 2000^2 \cdot 0.017^2 = 56.0, 2y = 3\sqrt{0.017} = 0.391,$$

$$\frac{2}{\beta} = \frac{2}{0.03} = 66.67, \frac{2}{\beta} \sqrt{1+m^2} = \frac{2\sqrt{1+1.6^2}}{0.03} = 125.78,$$

$$\frac{b_1}{\beta} = \frac{5}{0.03} = 66.7 = +L = 166.7 + 50 = 216.7 \text{ մ},$$

Տեղադրելով այս արժեքները (3.22)-ի մեջ և ինտեգրելով էջՄ-ի օգնությամբ  $l_1 = 166.7$  մ մինչև  $l_2 = 216.7$  մ, կստանանք ազատ մակերևույթի կորի կոորդինատները (աղյ. 3.6):

3.7 օրինակի ազատ մակերևույթի կորի կոորդինատները

|             |     |     |      |     |     |
|-------------|-----|-----|------|-----|-----|
| $(l-l_1)$ մ | 0   | 20  | 30   | 40  |     |
| $h$ մ       | 2.0 | .80 | 1.74 | .70 | .66 |

### 3.5. ՊՐՈՑԵԼՈՒՄ ԿՈՐ ՀԱՏԱԿՈՎ ԵՎ ՀԱՍՏԱՏՈՒՆ ԵՎՔՈՎ ՋՐԱՆՑՔՆԵՐԻ ՀԱՇՎԱՐԿ

Ջրթող կառուցվածքներում սահուն լծորդում ստանալու համար հաճախ նախագծվում են ուռուցիկ կամ գոգավոր կոր հատակով անցումային տեղամասեր: Այդ հատվածները հիմնականում արվում են շրջանային կորերի ձևով, բավական մեծ կորոթված շառավիղներով:

Նախագծման փորձը ցույց է տվել, որ ջրանցքի կոր հատակով հատվածներում ելքը սովորաբար լինում է հաստատուն:

Կոր հատակով ջրանցքի հիդրավիկական հտշվարկը հանգում է ազատ մակերևույթի կորի կոորդինատների որոշմանը և հատակում ջրի ճնշման էպյուրի կառուցելուն:

Հեղուկի շարժման դիֆերենցիալ հավասարումը հաստատուն ելքի դեպքում ( $dQ/dl=0$ ) կոր հատակով ջրանցքներում ըստ (3.8)-ի կլինի՝

$$\frac{dh}{dl} = \frac{\left( +h \frac{d\varphi}{dl} \right) \cdot n\varphi - \frac{Q^2}{A C^2 R} + \frac{Q^2}{gA} \left( \alpha \pm k \frac{h}{R_0} \right) \frac{\partial A}{\partial l}}{\cos\varphi - \frac{Q^2}{gA^3} \left( \left( \alpha \pm k \frac{h}{R_0} \right) \frac{\partial A}{\partial h} + \frac{k \cdot 1}{2R_0} \right)}$$

Երբ ջրանցքի հատակը ներկայացնում է շրջանային կոր, ապա  $dl = R_0 d\varphi$ : Տեղադրելով այն (3.24)-ի մեջ որպես անկախ փոփոխական, կունենանք ֆանկցիոնը:

Սահմանային պայմանները կլինեն հատուկ կետի կոորդինատները, որոնք են՝  $\varphi_{\text{տ}}$  անկյունը և  $h_{\text{տ}}$  խորութիւնը:

Հատուկ կետի տեղը որոշող  $\varphi_{\text{տ}}$  և  $h_{\text{տ}}$  մեծությունների արժեքները որոշվում են  $F_1=0$  և  $F_2=0$  հավասարումների համակարգից, որտեղ  $F_1$ -ը և  $F_2$ -ը (3.24) դիֆերենցիալ հավասարման համարիչը և հայտարարը ներկայացնող ֆունկցիաներն են:

Եթե հատուկ կետը գտնվում է դիտարկվող հատվածի սահմաններից դուրս, ապա (3.24) դիֆերենցիալ հավասարման սահմանային պայմանները թելադրվում են տվյալ հատվածին նախորդող (երբեմն հաջորդող) տեղամասերի հիդրավիկական պայմաններից:

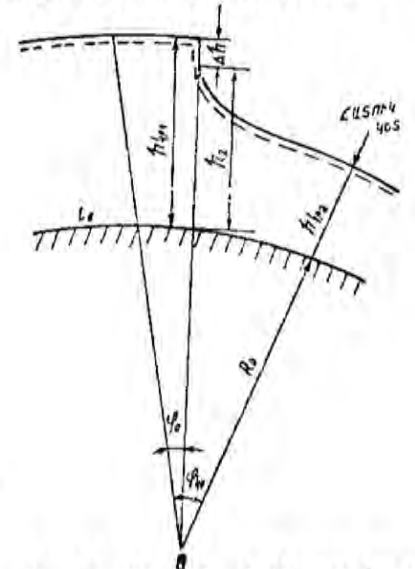
Մեծ հեռաբրքություն է ներկայացնում ազատ մակերևույթի տեսական խզումը ուղիղ տեղամասից կոր տեղամասին անցնելիս (նկ. 3.8):

Ուղիղ թեքության հատվածներում կենտրոնախույս ուժեր չկան և կրիտիկական խորութիւնը կորոշվի

$$\frac{\alpha Q^2}{g \cos^3 \varphi} = \frac{A'}{B} \quad (3.25)$$

հավասարումից: Կոր տեղամասում առաջ գործելիս հոսանքի վրա մի անգամից սկսում են ազդել կենտրոնախույս ուժերը, որի հետևանքով շարժման օրենքը փոխվում է: Կոր տեղամասում գտնվող հատուկ կետից (3.24) դիֆերենցիալ հավասարումը դեպի հեռ ինտեգրելով, կորի մուտքի մասում կստանանք խորության  $\Delta h$  խզումը (նկ. 3.8):

Իհարկե, իրականում ազատ մակերևույթի խզում չկա: Դա բացատրվում է նրանով, որ ուղիղ թեքու-



Նկ. 3.8. Ուղիղ հատվածից կոր հատվածի անցնելիս առաջացող խզումը բացատրող սխեմա:

թյան տեղամասի վերջում արդեն առաջանում են ազատ մակերևույթի նկատելի կորացումներ (որի հետևանքով էլ կենտրոնախույս ուժեր), և շարժումը դադարում է լինել սահուն փոփոխվող:

Ազատ մակերևույթի խզումը մոդել է, որը հնարավորություն է տալիս կատարելու վերը նշված անցումային տեղամասի հիդրավլիկական հաշվարկը:

Մեծ հետաքրքրություն է ներկայացնում նաև այն դեպքը, երբ հատուկ կետը կարծես թե կորչում է ( $\varphi_{\text{կր}}$ -ն ստացվում է բացասական կամ փոքր  $\varphi_1$  անկյունից, իսկ ուղիղ մասի թեթուքյունը փոքր է կրիտիկականից  $i_0 < i_{\text{կր}}$ ): նշված դեպքում որպես սահմանային կտրվածք պետք է ընդունել անցումային կտրվածքը իր երկու կրիտիկական խորություններով (դեպի վերև ինտեգրելիս կրիտիկական խորությունը կորոշվի (3.25) հավասարումից, իսկ դեպի ներքև ինտեգրելիս՝  $F_2=0$  հավասարումից,  $\varphi_{\text{կր}}$ -ի փոխարեն տեղադրելով անցումային կտրվածքի համապատասխան  $\varphi_1$  անկյան արժեքը):

Քննարկենք (3.24) հավասարման մասնավոր դեպքերը ներկայացնող խնդիրներ:

1. Պրիզմատիկ ուղղանկյուն կտրվածքով շրջանային կոր հատակով ջրանցք: Հստ տվյալ պայմանների ունենք՝  $A=bh$ ,  $\chi=b+2h$ ,  $\frac{\partial A}{\partial l}=0$

$$\frac{\partial A}{\partial h} = b, \quad q = \frac{Q}{b}, \quad R = \frac{h}{1+2h/b}, \quad C = \frac{1}{n} R^{2/3}$$

(3.24) դիֆերենցիալ հավասարումը կստանա հետևյալ տեսքը՝

$$\frac{dh}{d\varphi} = \frac{(R_0+h)\sin\varphi - \frac{q^2 n^2 R_0}{h^2} \left( \frac{1}{h} + \frac{2}{b} \right)^{1+2/3}}{\cos\varphi - \frac{2q^2}{gh^3} \left( 1 \pm \frac{kh}{2R_0} \right)}, \quad (3.26)$$

Հնթերցողի համար ոչ մի դժվարություն չի ներկայացնում ստանալ նման հավասարում սեղանաձև կտրվածքի համար:

**Օրինակ 3.8:** Կառուցել ազատ մակերևույթի կորը և ճնշման էպյուրը հատակում շրջանային կոր հատակ ունեցող ուղղանկյուն կտրվածքի պրիզմատիկ ջրանցքում հետևյալ տվյալների դեպքում:  
 $Q=100 \text{ մ}^3/\text{վ}$ ,  $\varphi=35^\circ$ ,  $R_0=12,5 \text{ մ}$ ,  $b=4,0 \text{ մ}$ : Այս տվյալները վերաբերում են Արծվանիկ գետի վրա կառուցվող թափոնամբարի ջրհեռ կառուցվածքներին:

Լուծում: (3.26) հավասարման սահմանային պայմաններ են հատուկ կետի կոորդինատները, որոնք կլինեն  $F_1=0$  և  $F_2=0$  համակարգի արմատները, որտեղ  $F_1$ -ը և  $F_2$ -ը (3.26) հավասարման համարիչը և

ճայտարարը ներկայացնող ֆունկցիաներ են: Այդ արմատները կլինեն.

$$\varphi_{1r}=0,00615, \quad h_{1r}=3,8.6 \text{ մ}:$$

(3.26) հավասարումը էՉՄ-ի օգնությամբ ինտեգրելով նշված սահմանային պայմանների համար, շարժման ուղղությամբ դեպի առաջ,  $\varphi_1=0,00615$ -ից մինչև  $\varphi_2=0,611(35^\circ)$ , կստանանք ազատ մակերևույթի կոորդինատները:

Ջրանցքի հատակում ավելցուկային ճնշումը կորոշվի ըստ (1.67-1.69) բանաձևերի, ընդունելով արագությունների բաշխումը կենդանի կտրվածքում հավասարաչափ:

$$\frac{p}{\rho g} = h \cos\varphi - \frac{q^2}{gh^2} \ln(1+h/R_0)$$

Աղյուսակ 3.7-ում տրված են ազատ մակերևույթի կորի և հատակում ճնշման էպյուրի կոորդինատները:

Աղյուսակ 3.7

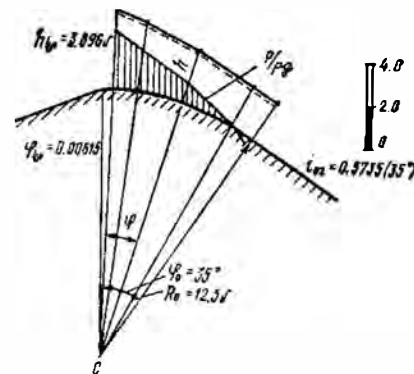
3.8 օրինակի ազատ մակերևույթի կորի և հատակում ճնշման էպյուրի կոորդինատները:

| $\varphi$    | 0,00615 | 0,121 | 0,321 | 0,521 | 0,611 |
|--------------|---------|-------|-------|-------|-------|
| $h$ մ        | 3,896   | 3,44  | 2,83  | 2,39  | 2,23  |
| $p/\rho g$ մ | 2,76    | 2,11  | 1,06  | 0,12  | -0,28 |

Ինչպես երևում է աղյ. (3.7)-ից, կոր տեղամասի վերջում առաջանում է 0,28 մ վակուում: նկ. 3.9-ում տրված է ազատ մակերևույթի կորը և ճնշման էպյուրը ջրանցքի հատակի վրա:

2. Շրջանային կոր հատակով ոչ պրիզմատիկ ուղղանկյուն կտրվածքի ջրանցք:

Քննարկենք այն դեպքը, երբ հատակի լայնությունը ըստ ճանապարհի փոփոխվում է գծային օրենքով  $b=\beta l$ , որտեղ  $\beta$ -ն փրժավածքում անկյունային գործակիցն է (նկ. 3.10):



նկ. 3.9. Օրինակ 3.8-ի ազատ մակերևույթի կորը և ճնշման էպյուրը:

$$\beta = 2tg\psi/2 = \frac{b_2 - b_1}{L}$$

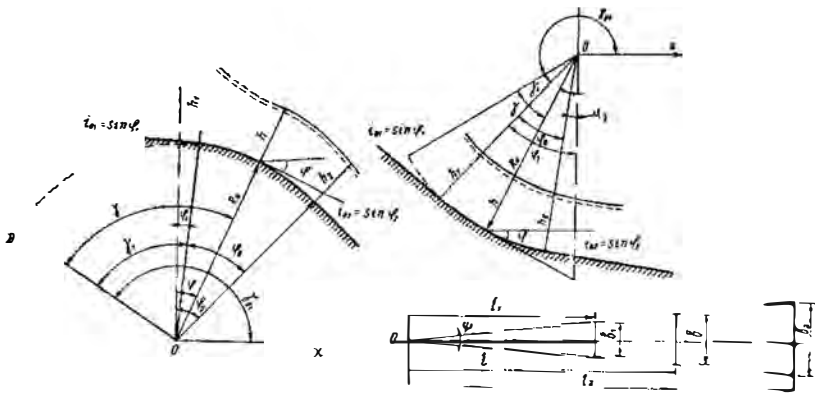
Անդրադիմադրված շարժման դիֆերենցիալ հավասարումը ստանալու համար օգտվենք հետևյալ հաշվարկային սխեմայից: Մտովի շարունակենք ջրանցքի հատակի կողային գծերը կոր հատակի շրջանագծի ուղղությամբ մինչև իրար հետ հասավելը:

Ստացված կետը ընդունենք որպես հաշվարկի սկզբնակետ (բևեռ):

Մտցնենք նոր փոփոխական անկյուն  $\gamma$ , որը  $\varphi$  անկյան հետ կապված է հետևյալ առնչություններով (նկ. 3.10).

$$\begin{aligned} \sin\gamma &= \pm \cos(\gamma_{01} \mp \gamma), \\ \cos\varphi &= \pm \sin(\gamma_{01} \mp \gamma), \end{aligned} \quad (3.27)$$

որտեղ  $\gamma_{01}$ -ը սկզբնակետի կտրվածքի (OD) կազմած անկյունն է հորիզոնական առանցքի դրական ուղղության հետ, որը որոշվում է հետևյալ կերպ՝



Նկ. 3.10. Ուղղաձիգ և գոգավոր շրջանային պրոֆիլներ ունեցող կորերի հաշվարկային սխեմաները:

$$\begin{aligned} \gamma_{01} &= \pi/2 - \varphi_1 - \gamma_1 && \text{ուռուցիկ կորերի համար,} \\ \gamma_{01} &= \frac{3}{2}\pi - \varphi_1 - \gamma_1 && \text{գոգավոր կորերի համար:} \end{aligned}$$

(3.27)-ում վերևի նշանը վերաբերում է ուռուցիկ, իսկ ներքևինը՝ գոգավոր կորերին:

Կամայական կտրվածքում հիդրավիկական տարրերը կլինեն՝

$$l = R_0\gamma, \quad dl = R_0d\gamma,$$

$$b = \beta R_0\gamma, \quad A = \beta R_0\gamma h,$$

$$\chi = \beta R_0\gamma + 2h, \quad R = A/\chi,$$

$$C = \frac{1}{R} \gamma^y \frac{\partial A}{\partial h} = b,$$

$$\frac{\partial A}{\partial l} = \frac{\partial A}{\partial \gamma} \frac{d\gamma}{dl} = \beta h,$$

Տեղադրելով այս արժեքները (3.24) հավասարման մեջ կստանանք՝

$$\begin{aligned} dh &= \frac{\pm (R_0 + h) \cos(\gamma_{01} \pm \gamma) \frac{q^2 n^2}{\gamma^2 R_0 h^2} (1/h + 2/\beta R_0 \gamma)^{1+2y} + \frac{\alpha q^2}{R_0 \gamma^2 h^2} \left( \alpha \pm \frac{kh}{R_0} \right)}{\pm \sin(\gamma_{01} \mp \gamma) - \frac{q^2}{2R_0} \left( \alpha \pm \frac{kh}{2R_0} \right)} \\ d\gamma & \end{aligned} \quad (3.28)$$

Այստեղ նույնպես վերևի նշանը վերաբերում է ուռուցիկ, իսկ ներքևինը՝ գոգավոր կորերին:

Եթե հատուկ կետը ստացվի կորի սահմաններում, ապա նրա կորդինատները ( $\gamma_{կոր}$  և  $h_{կոր}$ ) կհանդիսանան սահմանային պայման: Հակառակ դեպքում սահմանային պայման կարող է հանդիսանալ կորի սկզբի կամ վերջի խորությունը, որը որոշվում է այդ կորին նախորդող կամ հաջորդող տեղամասերի հիդրավիկական հաշվարկից:

**Օրինակ 3.9:** Ուղղանկյուն կտրվածք ունեցող արագահոսի վերջում կա շրջանային կոր հատակով, ըստ ճանապարհի գծային օրենքով լայնացող մի հատված:

Պահանջվում է կառուցել ազատ մակերևույթի կորը և ճնշման էպյուրը ջրանցքի հատակի վրա հետևյալ տվյալների դեպքում՝

$Q = 112,0$  մ<sup>3</sup>/վ,  $h_1 = 0,85$  մ,  $\varphi_1 = 0,4556$  ( $26^\circ 06' 34''$ ),  $\varphi_2 = 0$ ,  $R_0 = 40$  մ,  $n = 0,017$ ,  $\alpha = 1,1$ ,  $b_1 = 6,0$  մ,  $b_2 = 8,04$  մ:

Լ ու ծ ու մ: Որոշում ենք  $\beta$  անկյունային գործակիցը

$$\beta = 2tg\psi/2 = \frac{b_2 - b_1}{R_0\varphi} = \frac{8,04 - 6,0}{40 \cdot 0,4556} = 0,112,$$

որտեղ  $R_0\varphi$ -ն հաշվարկային հատվածի երկարությունն է  $\gamma_1$  և  $\gamma_2$  անկյունները կլինեն՝

$$\gamma_1 = \frac{b_1}{R_0\beta} = \frac{6,0}{40 \cdot 0,112} = 1,339,$$

$$\gamma_2 = \gamma_1 + \varphi_0 = 1.339 + 0.4556 = 1.7965,$$

$\gamma_{01}$  անկյունը կորոշվի՝

$$\gamma_{01} = \frac{3}{2} \pi - \varphi_1 - \gamma_2 = \frac{3}{2} \pi - 0.4556 - 1.339 = 2.918,$$

Տեսակարար ելքը կլինի՝

$$q = \frac{4r,8}{0,122} = 417,86 \text{ մ}^2/վ:$$

Տեղադրելով (3.28)-ի մեջ օրինակի թվային տվյալները և էՉՄ-ի օգնությամբ ինտեգրելով  $\gamma_1 = 1,339$ ,  $h_1 = 0,85$  մ սահմանային պայմաններին մինչև  $\gamma_2 = 1,795$ , կատանանք ազատ մակերևույթի կորի կոորդինատները:

Ճնշումը հատակի վրա, հաշվի առած կենտրոնախույս ուժերի ազդեցությունը, ըստ (1.67—1.69)-ի կորոշվի՝

$$\frac{p}{\rho g} = -h \sin(\gamma_{01} + \gamma) + \frac{q^2}{g \cdot 0,2^2 \cdot h^2} \ln(1 + h/R_0),$$

կամ

$$\frac{p}{\rho g} = h \cdot \ln(2,918 + \gamma) + \frac{11,12}{\gamma^2 h^2} \ln(1 + h/40),$$

Աղյ. 3.8-ում տրված են ազատ մակերևույթի կորի և ճնշման էպյուրի կոորդինատները:

Աղյուցակ 3.8

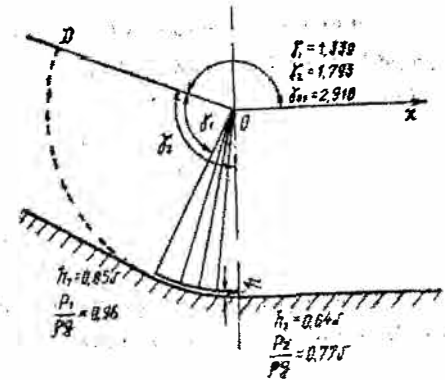
3.9 օրինակի ազատ մակերևույթի կորի և ճնշման էպյուրի կոորդինատները:

|                      |       |       |       |       |       |
|----------------------|-------|-------|-------|-------|-------|
| $\gamma$             | 1,339 | 1,450 | 1,550 | 1,650 | 1,795 |
| $h$ մ                | 0,85  | 0,78  | 0,72  | 0,68  | 0,64  |
| $\frac{p}{\rho g}$ մ | 0,98  | 0,90  | 0,86  | 0,82  | 0,77  |

Նկ. 3.11-ում տրված է օրինակ 3.9-ի ազատ մակերևույթի կորը:

### 3.6. Հեղուկի Անշաղկապման ԳուրծոՒՄԸ ՈՉ ՃՆՇՈՒՄԱՅԻՆ ԽՈՂՈՎԱԿՆԵՐՈՒՄ

Հեղուկի շարժումը ոչ ճնշումային խողովակներում հիմնականում տեղի է ունենում հաստատուն ելքի պայմաններում, որի դեպքում հեղուկի շարժման (3.8) դիֆերենցիալ հավասարումը ընդունում է հետևյալ տեսքը



Նկ. 3.11. Օրինակ 3.9-ի ազատ մակերևույթի կորը:

$$\frac{dh}{dl} = \frac{\left(1 + h \frac{d\varphi}{dl}\right) \sin\varphi - \frac{Q^2}{A^2 C^2 R} + \frac{Q^2 (\alpha \pm kh/R_0) \frac{\partial A}{\partial l}}{g A^3}}{\cos\varphi - \frac{Q^2}{g A^2} \left( \left(\alpha \pm k \frac{h}{R_0}\right) \frac{\partial A}{\partial h} + \frac{k A}{2 R_0} \right)} \quad (3.29)$$

Կլոր կորվածքով խողովակների համար հիդրավիկական և երկրաչափական տարրերը որոշվում են ըստ (1.14—1.18) անշաղկապման կորի:

$$h = r(1 - \cos\theta), \quad A = r^2 \left( \theta - \frac{\sin 2\theta}{2} \right),$$

$$R = r \left( \frac{1}{2} - \frac{\sin 2\theta}{4\theta} \right), \quad \frac{\partial A}{\partial h} = 2r \sin\theta,$$

Ջրհեռ կառուցվածքների անցումային գոտիներում ոչ ճնշումային խողովակները (թունելները) գործնականում նախադրվում են պրիզմատիկ ( $r = \text{const}$ ), որի համար  $\partial A / \partial l = 0$ , իսկ

$$\frac{dh}{dl} = r \sin\theta \frac{d\theta}{dl} \quad (3.30)$$

Շարժման դիֆերենցիալ հավասարումը ընդունում է հետևյալ տեսքը՝

$$\frac{d\theta}{dl} = \frac{Q^2 n^2 \left( \frac{1}{2} - \frac{\sin 2\theta}{4\theta} \right)^{1+2\gamma}}{\left( 1 + (1 - \cos\theta) \frac{d\varphi}{dl} \right) \sin\varphi - \frac{Q^2 n^2 \left( \frac{1}{2} - \frac{\sin 2\theta}{4\theta} \right)^{1+2\gamma}}{r^{5+2\gamma} \left( \theta - \frac{\sin 2\theta}{2} \right)^2}}{r \sin\theta \left( \cos\varphi - \frac{Q^2}{g r^5} \left( \theta - \frac{\sin 2\theta}{2} \right)^2 \left( 2r \sin\theta \left( \alpha \pm k \frac{h}{R_0} \right) + \frac{k r^2}{2 R_0} \left( \theta - \frac{\sin 2\theta}{2} \right) \right)} \quad (3.31)$$

Հաստատուն փոքր թեքության հատակով հունների համար հեղուկի շարժման (3.8) դիֆերենցիալ հավասարումը ընդունում է հետևյալ տեսքը՝

$$\frac{dh}{dl} = \frac{i_0 - \frac{Q^2}{A^2 C^2 R} + \frac{\alpha Q^2}{g A^3} \cdot \frac{\partial A}{\partial l}}{1 - \frac{\alpha Q^2}{g A^3} \frac{\partial A}{\partial h}} \quad (3.32)$$

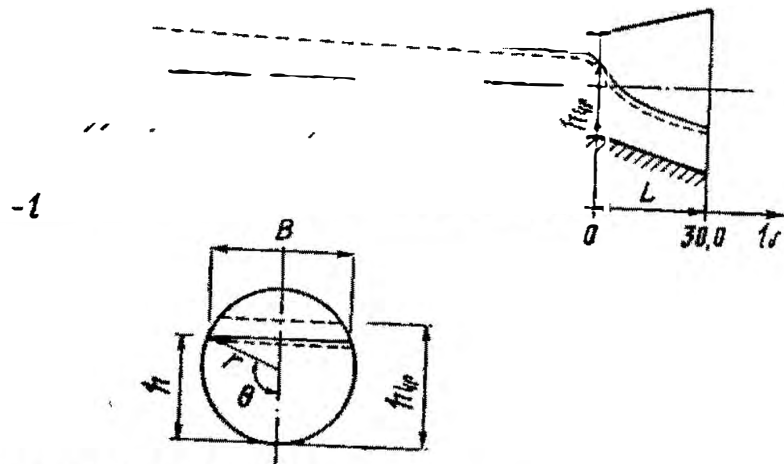
Ոչ պրիզմատիկ տեղամասերում շարժման դիֆերենցիալ հավասարումը ստանալու համար թունելի ր շառավիղը հարմար է ներկայացնել

$$r = r_0 + \beta l$$

տեսքով, որտեղ

$$\beta = \operatorname{tg} \psi / 2 = \frac{r_2 - r_1}{L}$$

$\psi$ -ն կոնայնություն անկյունն է (նկ. 3.12):



Նկ. 3.12. Օրինակ 3.10-ի ազատ մակերևութի կորը:

Այդ դեպքում հիդրավիկական և երկրաչափական տարրերը ընդունում են հետևյալ տեսքը՝

$$h = (r_0 + \beta l)(1 - \cos \theta) \quad A = (r_0 + \beta l)^2 \left( \theta - \frac{\sin 2\theta}{2} \right),$$

$$\frac{\partial A}{\partial h} = 2(r_0 + \beta l) \sin \theta \quad R = (r_0 + \beta l) \left( \frac{1}{2} - \frac{\sin 2\theta}{4\theta} \right),$$

$$\frac{\partial A}{\partial l} = 2\beta(r_0 + \beta l) \left( \theta - \frac{\sin 2\theta}{2} \right), \quad (3.34)$$

ներկայացնենք  $\partial h / \partial l$  լրիվ դիֆերենցիալը՝

$$\frac{dh}{dl} = \frac{\partial h}{\partial l} + \frac{\partial h}{\partial \theta} \frac{d\theta}{dl} \quad (3.35)$$

Քանի որ  $h = (r_0 + \beta l)(1 - \cos \theta)$ , ապա (3.33) առնչությունը կասանոր հետևյալ տեսքը

$$\frac{dh}{dl} = \beta(1 - \cos \theta) + (r_0 + \beta l) \sin \theta \frac{d\theta}{dl}$$

Ոչ պրիզմատիկ կլոր կտրվածքով թունելներում հեղուկի շարժման դիֆերենցիալ հավասարումը կլինի՝

$$\frac{d\theta}{dl} = \frac{\beta(\cos \theta - 1) + \frac{Q^2 n^2 \left( 1 - \frac{2\beta}{gn^2} (r_0 + \beta l)^2 \left( \frac{1}{2} - \frac{\sin 2\theta}{4\theta} \right)^{1+2\gamma} \right)}{(r_0 + \beta l)^{5+2\gamma} \left( \theta - \frac{\sin 2\theta}{2} \right)^2 \left( \frac{1}{2} - \frac{\sin 2\theta}{4\theta} \right)^{1+2\gamma}}}{(r_0 + \beta l) \sin \theta \left( 1 - \frac{2\alpha Q^2}{g (r_0 + \beta l) \left( \theta - \frac{\sin 2\theta}{2} \right)} \right)} \quad (3.37)$$

Պրիզմատիկ տեղամասերում  $\beta = 0$ ,  $r = r_0 = \text{const}$  և (3.37) դիֆերենցիալ հավասարումը ընդունում է հետևյալ տեսքը՝

$$\frac{d\theta}{dl} = \frac{i_0 - \frac{Q^2 n^2}{r^{5+2} \left( \theta - \frac{\sin 2\theta}{2} \right)^2 \left( \frac{1}{2} - \frac{\sin 2\theta}{4\theta} \right)^{1+2\gamma}}}{r \sin \theta \left( 1 - 2 \frac{\alpha Q^2}{g r^5 \left( \theta - \frac{\sin 2\theta}{2} \right)^3} \right)}, \quad (3.38)$$

Կատարելով մի շարք պարզ մաթեմատիկական ձևափոխություններ, կասանանք կրիտիկական խորությանը համապատասխանող  $\theta_{\text{կր}}$  անկյան որոշման բանաձևը

$$\frac{r^5 \left( \theta_{\text{կր}} - \frac{\sin 2\theta_{\text{կր}}}{2} \right)^3}{2 \sin \theta_{\text{կր}}} \quad (3.39)$$

Մեծ հեռաքրքրություն է ներկայացնում մասամբ ճնշումային, մասամբ ոչ ճնշումային թունկների (խողովակների) հիդրավլիկական հաշվարկը: Ունենալով եզրային պայմանը թունկի վերջում և ինտեգրելով (3.38) դիֆերենցիալ հավասարումը շարժման հակառակ ուղղությամբ մինչև  $\theta = \pi$  արժեքը, կստանանք այն կարվածքի ակղը, որտեղից շարժումը ճնշումայինից փոխվում է ոչ ճնշումայինի:

Ֆրոնտի թիվը այդ կարվածքի համար հավասար է զրոյի, քանի որ

$$F_1 = \frac{\alpha Q^2}{g} \frac{B}{A^3} \text{ և } B = 0:$$

**Օրինակ 3.10:** Կլոր կարվածքով հիդրոտեխնիկական թունկը վերջանում է գծայնորեն լայնացող տեղամասով: Պետք է կառուցել ազատ մակերևույթի կորը և որոշել այն կարվածքի տեղը, որտեղից շարժումը ճնշումայինից փոխարինվում է ոչ ճնշումայինի, հետևյալ տվյալների համար.

$$Q = 179 \text{ մ}^3/\text{վ}, \quad i_0 = 0.0005, \quad r_1 = 3.1 \text{ մ}, \quad r_2 = 5.7 \text{ մ}, \quad n = 0.017$$

$$y = 1/6, \quad L = 30 \text{ մ}:$$

Հ ու լ ը ու մ: Որոշում ենք  $\beta$  գործակիցը՝

$$\beta = \frac{r_2 - r_1}{L} = \frac{5.7 - 3.1}{30} = 0.0875,$$

Քանի որ լայնացող մասի հատակի թեթուցությունը մեծ է կրիտիկականից, ապա պրիզմատիկ հավածի վերջում կառաջանա կրիտիկական խորություն, որին համապատասխանող  $h_{կր} = 5.0 \text{ մ}$  և  $\theta_{կր} = 2.23$  կհանդիսանան ավյալ խնդրի եզրային պայմանները:

Լայնացող տեղամասի համար (3.37) դիֆերենցիալ հավասարման ինտեգրումը կատարվում է ըստ շարժման ուղղության: Պրիզմատիկ տեղամասում (3.38) դիֆերենցիալ հավասարման ինտեգրումը կատարվում է շարժման հակառակ ուղղությամբ: Հաշվարկներից պարզվում է, որ  $h \approx 2r_1 = 6.2 \text{ մ}$  խորության (ճնշումայինից ոչ ճնշումային շարժման անցման կարվածքի) հոսանքը անցնում է պրիզմատիկ տեղամասի

Ա ղ յ ո ս ս ա կ 3.9

3.10 օրինակի ազատ մակերևույթի կորի կոորդինատները

|      |      |      |      |      |      |      |     |      |      |      |
|------|------|------|------|------|------|------|-----|------|------|------|
| l, մ | -120 | -100 | -80  | -60  | -40  | -20  | 0   | 10   | 20   | 30   |
| h, մ | 6.2  | 6.11 | 5.99 | 5.85 | 5.69 | 5.49 | 5.0 | 3.28 | 3.78 | 2.47 |

վերջից (որը ընդունված է որպես հաշվարկի սկիզբ) 120 մ հեռավորության վրա: Ա ղ յ . 3.9-ում տրված են ազատ մակերևույթի կորի կոորդինատները թունկի պրիզմատիկ և լայնացող հատվածներում:

Ն ղ . 3.12-ում տրված է ազատ մակերևույթի կորը:

### 3.7. ԶՐԱՆՑՔՆԵՐԻ ՀԱՇՎԱՐԿԸ ԸՍՏ ՏՐՎԱԾ ԱԶԱՏ ՄԱԿԵՐԵՎՈՒՅՑԻ ԿՈՐԻ

Տրված ազատ մակերևույթի կորի դեպքում ջրանցքի հաշվարկի դիֆերենցիալ հավասարումը ստանալու համար կատարենք հետևյալ ընդունելություններ.

1) Կենդանի կտրվածքի վրա ճնշումը բաշխվում է ըստ հիդրոստատիկ օրենքի:

2) Շարժումը սահուն փոփոխվող է:

Գրենք դիֆերենցիալ տեսքով Բենոուլիի հավասարումը ոչ ճնշումային հոսանքի համար

$$\frac{d}{dl} \left( z + \frac{\alpha v^2}{2g} \right) = I \quad (3.40)$$

որտեղ  $z$ -ը ազատ մակերևույթի օրդինատն է:

Փոփոխական ելքի դեպքում  $I$ -ն որոշվում է հետևյալ կերպ՝

$$I = \frac{Q^2}{A^2 C^2 R} + \frac{\alpha Q}{g A^2} (1-a) \frac{dQ}{dl}, \quad (3.41)$$

Կատարելով որոշ պարզ ձևափոխություններ, կստանանք

$$\frac{dA}{dl} = \frac{g A^4}{\alpha Q^2} \cdot \frac{dz}{dl} + \frac{g A}{\alpha C^2 R} + \frac{A}{Q} (2-a) \frac{dQ}{dl}, \quad (3.42)$$

Ինժեներական պրակտիկայում կարող են հանդիպել հետևյալ երկու դեպքերը.

1) Տրված են հունի երկրաչափական բնութագրերը հատակագծում, պետք է որոշել հունի հատակի տեսքը:

2) Տրված է խորությունների փոփոխական օրենքը, պետք է որոշել հունի երկրաչափական բնութագրերը հատակագծում:

Ստանանք հաշվարկային դիֆերենցիալ հավասարումներ այդ երկու դեպքերի համար:

1) Ներկայացնելով  $dA/dl$  լրիվ դիֆերենցիալը

$$\frac{dA}{dl} = \frac{\partial A}{\partial l} + \frac{\partial A}{\partial h} \frac{dh}{dl}$$

բանաձևով, (3.42) հավասարումը կստանա հետևյալ տեսքը՝

$$\frac{dh}{dl} = \left( \frac{\partial A}{\partial h} \right)^{-1} \left( \frac{g A^4}{\alpha Q^2} \frac{dz}{dl} + \frac{g A}{\alpha C^2 R} \frac{\partial A}{\partial l} + (2-a) \frac{1}{Q} \frac{dQ}{dl} \right), \quad (3.43)$$

2) ներկայացնելով  $dA/dl$  իրիվ դիֆերենցիալը

$$\frac{dA}{dl} = \frac{\partial A}{\partial l} + \frac{\partial A}{\partial b} \frac{db}{dl}$$

քանաձևով, (3.42) հավասարումը կստանա հետևյալ տեսքը՝

$$\frac{db}{dl} = \left( \frac{\partial A}{\partial b} \right)^{-1} \left( \frac{gA^3}{\alpha Q^2} \cdot \frac{dz}{dl} + \frac{gA}{\alpha C^2 R} - \frac{\partial A}{\partial l} + (2-a) \frac{A}{Q} \frac{dQ}{dl} \right), \quad (3.44)$$

Սեղանաձև կտրվածքով հունների համար.

$$m = ctg \tau, \quad A = (b + mh)h, \quad R = \frac{(b + mh)h}{b + 2h\sqrt{1 + m^2}}$$

$$C = \frac{1}{n} R^y, \quad \frac{\partial A}{\partial b} = h, \quad \frac{\partial A}{\partial h} = b + 2mh,$$

Շարժման (3.43) և (3.44) դիֆերենցիալ հավասարումները կստանան հետևյալ տեսքերը՝

$$\frac{dh}{dl} = -(b + 2mh)^{-1} \left[ \frac{\partial A}{\partial l} + \frac{gh^3(b + mh)^3}{\alpha Q^2(b + 2mh)} \frac{dz}{dl} + \frac{gn^2}{\alpha} \cdot \frac{(b + 2h\sqrt{1 + m^2})^{1+y}}{h^{2y}(b + mh)^{2y}(b + 2mh)} + (2-a) \frac{h(b + mh)}{Q(b + 2mh)} \frac{dQ}{dl} \right], \quad (3.45)$$

$$\frac{db}{dl} = -\frac{1}{h} \cdot \frac{\partial A}{\partial l} + \frac{gh^2(b + mh)^3}{\alpha Q^2} \cdot \frac{dz}{dl} + \frac{gn^2}{\alpha} \cdot \frac{(b/h + 2\sqrt{1 + m^2})^{1+2y}}{(b + mh)^{2y}} + (2-a) \frac{b + mh}{Q} \cdot \frac{dQ}{dl} \quad (3.46)$$

Հաստատուն ելքով ուղղանկյուն կտրվածքի ջրանցքների համար (3.45) և (3.46) դիֆերենցիալ հավասարումները բավականին պարզեցվում են՝

$$\frac{dh}{dl} = -\frac{1}{b} \frac{\partial A}{\partial l} + \frac{gA^3 b^2}{\alpha Q^2} \frac{dz}{dl} + \frac{gn^2(b + 2h)^{1+2y}}{\alpha h^{2y} b^{1+2y}} \quad (3.47)$$

$$\frac{db}{dl} = -\frac{1}{h} \frac{\partial A}{\partial l} + \frac{gh^3 b^3}{\alpha Q^2} \cdot \frac{dz}{dl} + \frac{gn^2(b + 2h)^{1+2y}}{\alpha h^{1+2y} b^{2y}} \quad (3.48)$$

**Օրինակ 3.11:** Որոշել դժային օրենքով լայնացող ուղղանկյուն կտրվածքով ջրանցքի հատակի պրոֆիլը, եթե տրված է, որ ազատ մակերևույթի կորը փոփոխվում է  $Z = z_1 - \eta l$  դժային օրենքով: Տրված են նաև

$$b = b_1 + \beta l, \quad \eta = tg \theta = 0.002, \quad \beta = tg \psi / 2 = 0.01,$$

$$n = 0.017, \quad b_1 = 6.0 \text{ մ}, \quad h_1 = 4.0 \text{ մ}, \quad z_1 = 0, \quad Q_0 = 50.0 \text{ մ}^3/\text{վ},$$

և ուժ ու մ: Օգտվում ենք հեղուկի շարժման (3.47) դիֆերենցիալ հավասարումից:

Ըստ տրված պայմանների ունենք՝

$$\frac{\partial A}{\partial l} = \frac{\partial}{\partial l} (h(b_1 + \beta l)) = \beta h = 0.01 h$$

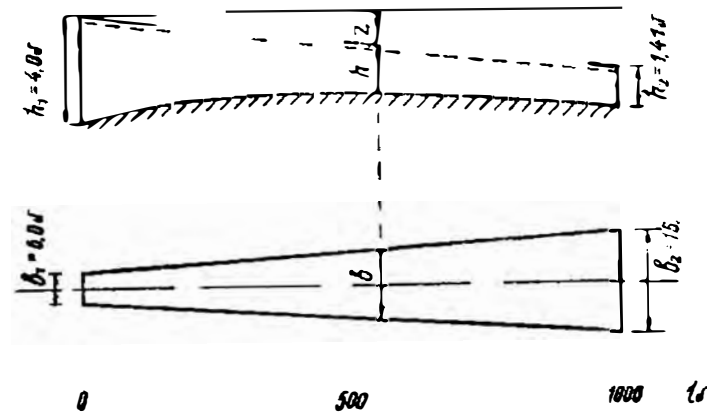
$$\frac{dz}{dl} = \frac{d}{dl} (z_1 - \eta l) = -\eta = -0.002:$$

Տեղադրելով հիդրավլիկական և երկրաշափական պարամետրերի արժեքները (3.47) դիֆերենցիալ հավասարման մեջ, կստանանք՝

$$\frac{dh}{dl} = \frac{\beta h}{b_1 + \beta l} - \frac{gh^3 \eta (b_1 + \beta l)}{\alpha Q^2} + \frac{gn^2}{\alpha h} (1/h + 2/b)^{1+2y},$$

էձՄ-ի օգնությամբ ինտեգրելով  $l_1 = 0$ ,  $b_1 = 6.0$  մ,  $h_1 = 4.0$  մ սահմանային պայմաններից մինչև  $l_2 = 500$  մ սահմանը, կստանանք ջրանցքի հատակի կորոգինատները:

Աղ. 3.10-ում տրված են հաշվարկի արդյունքները, իսկ նկ. 3.13-ում տրված են ջրանցքի հատակի պրոֆիլը և ազատ մակերևույթի կորը:



Նկ. 3.13. Օրինակ 3.11-ի հատակի պրոֆիլը և ազատ մակերևույթի կորը:

8.11 օրինակի ճիգրավիկական հաշվարկի արդյունքները:

|      |     |      |      |      |      |      |      |      |      |      |      |
|------|-----|------|------|------|------|------|------|------|------|------|------|
| l, m | 0   | 50   | 100  | 150  | 200  | 250  | 300  | 350  | 400  | 450  | 500  |
| b, m | 6,0 | 6,5  | 7,0  | 7,5  | 8,0  | 8,5  | 9,0  | 9,5  | 10,0 | 10,5 | 11,0 |
| z, m | 0   | 0,1  | 0,2  | 0,3  | 0,4  | 0,5  | 0,6  | 0,7  | 0,8  | 0,9  | 1,0  |
| h, m | 4,0 | 3,26 | 2,76 | 2,40 | 2,14 | 1,94 | 1,78 | 1,66 | 1,56 | 1,48 | 1,41 |

3.8. ԱՁԱՏ ՄԱԿԵՐԿՆԵՎՈՒՅՑԻ ԿՈՐԵՐԻ ՀՆԱՐԱՎՈՐ ՁԵՎԵՐԸ ՈՉ ՊՐԻՉՄԱՏԻԿ ՀՈՒՆԵՐՈՒՄ

Պրիզմատիկ հուններում ազատ մակերևույթի կորերի հնարավոր ձևերը բերված են ճիգրավիկայի բոլոր գրքերում և այստեղ շարադրել գրանք լիմաստ չունի:

Ոչ պրիզմատիկ հուններում ազատ մակերևույթի կորերի հնարավոր ձևերը առաջին անգամ հեռագրոտել են Վ. Մ. Հովսեփյանը և Վ. Բ. Գուլյանը:

Վ. Մ. Հովսեփյանը հեռագրոտել է այն դեպքը, երբ կենդանի կարբիդածքի մակերեսը ըստ ճանապարհի փոփոխվում է գծային օրենքով:

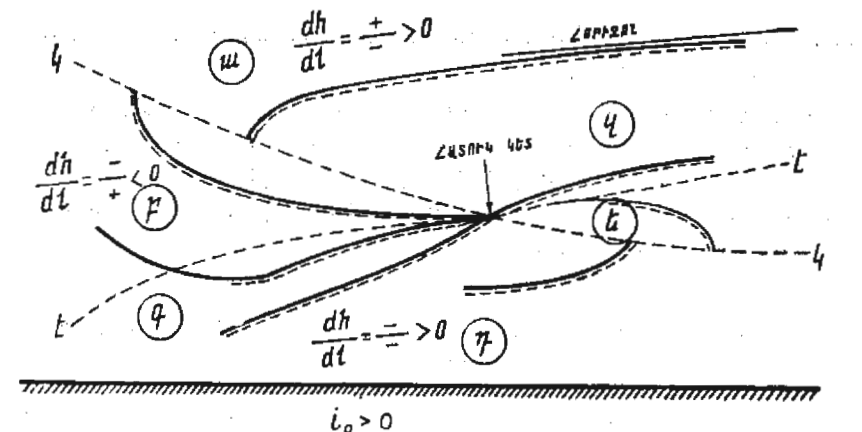
Ոչ պրիզմատիկ հուններում կրիտիկական խորությունների գիծը կներկայացնի կոր գիծ: Բացի այդ մտցվում է էքստրեմալ խորությունների գծի գաղափարը: էքստրեմալ խորություն կոչվում է այն խորությունը, որի դեպքում շարժման դիֆերենցիալ հավասարման համարիչը դառնում է զրո: Այսպիսով, կրիտիկական և էքստրեմալ խորությունների գծերը ներկայացնում են  $F_1=0$  և  $F_2=0$  հավասարումների գրաֆիկները, որտեղ  $F_1$ -ը և  $F_2$ -ը հեղուկի շարժման դիֆերենցիալ հավասարման համարիչը և հայտարարը ներկայացնող ֆունկցիաներն են:

Ազատ մակերևույթի կորերի հնարավոր ձևերը պարզելու համար նախ պետք է կառուցել կրիտիկական խորությունների (կ-կ) և էքստրեմալ խորությունների (է-է) գծերը (նկ. 3.14):

Այս գծերը հատվում են Օ կետում, որը կլինի հատուկ կետ և որի մասին խոսվեց 3.5-ում:

Այս գծերը ամբողջ տարածությունը բաժանում են վեց տիրույթների (դաշտերի)՝ ա, բ, գ, դ, ե, զ:

Ելնելով այն օրինաչափություններից, որոնք ստացվել են դիֆերենցիալ հավասարման մանրամասն վերլուծությունից, ամեն մի



Նկ. 3.14. Ազատ մակերևույթի կորերի հնարավոր ձևերը ոչ պրիզմատիկ հուններում:

տիրույթում կարելի է պարզել ածանցյալի նշանը և ազատ մակերևույթի կորի ձևը:

1. Կրիտիկականից ներքև եղած տիրույթներում  $dh/dl$  կատարակի հայտարարը բացասական է, իսկ վերև եղած տիրույթներում՝ դրական:
2. էքստրեմալ խորությունների գծից վերև  $dh/dl$  հավասարման համարիչը դրական է, իսկ ներքև՝ բացասական:
3. Կրիտիկական խորությունների գծին ազատ մակերևույթը մոտենում է հասակի նորմալի ուղղությամբ, էքստրեմալ խորությունների գծին՝ հատակին զուգահեռ և ասիմպտոտիկ:

էՂՄ-երի կիրառումը հնարավորություն է տալիս ամենաընդհանուր դեպքում կառուցել կրիտիկական և էքստրեմալ խորությունների գծերը. ինչպես նաև ազատ մակերևույթի կորերի բոլոր հնարավոր ձևերը տվյալ պայմանների համար:

Մեր կողմից առաջարկվել է մտցնել նաև մի երրորդ խորությունների կոր՝  $F_3=0$ , որտեղ ազատ մակերևույթը դառնում է հորիզոնական: Այս խորությանը նույնպես ազատ մակերևույթը կմոտենա ասիմպտոտիկ:

Ազատ մակերևույթի կորի հնարավոր ձևը գիտենալը հնարավորություն է տալիս խուսափել նրա սխալ կառուցումից, այսինքն դուրս գալ այն գոտու սահմաններից, որի մեջ կարող է գտնվել ազատ մակերևույթի կորը: Վերջինս կարող է պատահել հատկապես մոտավոր մեթոդներից օգտվելիս, երբ կորի խորությանը տրվում են արժեքներ և որոշվում են համապատասխան հեռավորությունները: Այս դեպքում ազատ մակերևույթի կորի հնարավոր ձևը չգիտենալը կարող է հանգեցնել

նրան, որ ի-ին տրվի կորի սահմաններից դուրս արժեք և կառուցվի այդ կորին շագտկանող հատված:

Մեր կարծիքով էՆՄ-ի օգնությամբ ազատ մակերևույթի կորը կառուցելիս նրա հնարավոր ձևը սկզբից պարզելը պարտադիր չէ: Ճանապարհի և խորության փոփոխման տվյալ տիրույթում այն կառուցելուց հետո պետք է կատարել վերլուծություն, թե արդյոք ստացված կորը չի հակասում նրա հնարավոր ձևին:

### 3.9. ՀԱՏԱԿԱԳՄՈՒՄ ԿՈՐԱԳԻՄ ՀԱՏՎԱԾՆԵՐ ՈՒՆԵՑՈՂ ԶՐԱՆՑՔՆԵՐԻ (ՎԻՐԱԺՆԵՐԻ) ՀԱՇՎԱՐԿԸ

Զրանցքները նախագծելիս նրա որոշ հատվածները հաճախ հատակագծում արվում են կորագիծ:

Կորության մասում առաջացած կենտրոնախույս ուժերը և ալիքները փոխում են շարժման պատկերը, որոնք ավելի ցայտուն կերպով արտահայտվում են բուռն հոսանքների դեպքում (արագահոսներում):

Ըթե ջրանցքի հատակը լայնակի կտրվածքում արվի հորիզոնական, ապա արտաքին պատի մոտ ջրի խորությունը կմեծանա, իսկ ներքինը մոտ կփոքրանա, հետևաբար ջրանցքի կտրվածքը կօգտագործվի ոչ ռացիոնալ:

Լայնակի կտրվածքում հունի հատակը կորագիծ կամ թեք անելու դեպքում կարելի է հասնել խորության ավելի հավասարաչափ բաշխմանը և կտրվածքի ավելի ռացիոնալ օգտագործմանը: Այս դեպքում կոր հատվածը կոչվում է վիրած: Վիրածները կարող են լինել միակի և կրկնակի կորության:

Քննարկենք միակի կորության վիրածների հիդրավիկական հաշվարկի տարբեր մասնավոր դեպքերը:

1. Ուղղանկյուն կտրվածքի թեք հատակով վիրած: Դիցուք հորիզոնական ջրանցքը լայնակի կտրվածքում ունի  $\alpha$  թեքություն ( $k = \text{tg} \alpha$ ):

Հատակի ցանկացած կետի օրդինատը կլինի  $Z_2 = kr$ :

Իդեալական հեղուկի շարժման դիֆերենցիալ հավասարումները գլանական կոորդինատներով ըստ մեր հաշվարկային սխեմայի (նկ. 3.15) կարտահայտվեն հետևյալ համակարգով.

$$\begin{aligned} u_r \frac{\partial u_r}{\partial r} + \frac{u_\theta}{r} \cdot \frac{\partial u_r}{\partial \theta} - \frac{u_\theta^2}{r} &= \rho r - \frac{1}{\rho} \frac{\partial p}{\partial r}, \\ u_r \frac{\partial u_\theta}{\partial r} + \frac{u_\theta}{r} \frac{\partial u_\theta}{\partial \theta} + \frac{u_r u_\theta}{r} &= g r - \frac{1}{\rho r} \frac{\partial p}{\partial \theta}, \\ 0 &= -g z - \frac{1}{\rho} \frac{\partial p}{\partial z}, \end{aligned} \quad (3.49)$$

Հոսանքի անխզիլիության դիֆերենցիալ հավասարումը այս դեպքում կընդունի հետևյալ տեսքը՝

$$\frac{\partial}{\partial r}(ru_r h) + \frac{\partial}{\partial \theta}(u_\theta h) = 0, \quad (3.50)$$

Ընդունելով հոսանքի գծերը շրջանային կորեր և  $u_r = 0$ ,  $g_r = 0$ , (3.49) համակարգը կստանա հետևյալ տեսքը

$$\begin{aligned} \frac{u_\theta^2}{r} - \frac{1}{\rho} \frac{\partial p}{\partial r}, \\ \frac{\partial}{\partial \theta} \left( \frac{u_\theta^2}{2} + \frac{p}{\rho} \right) &= 0, \\ g + \frac{1}{\rho} \frac{\partial p}{\partial z} &= 0, \end{aligned} \quad (3.51)$$

Ինտեգրելով (3.51)-ի 3-րդ հավասարումը, կստանանք

$$p = \rho r \omega + \rho g(z_0 - z), \quad (3.52)$$

որտեղ  $Z_0$ -ն հեղուկի մակերևույթի օրդինատն է: Հոսանքի կամայական կետում ճնշումը կլինի՝

$$p = \rho r \omega + \rho g(z_0 + h - z), \quad (3.53)$$

Ածանցելով (3.53)-ը ըստ  $r$ -ի, կստանանք՝

$$\frac{\partial p}{\partial r} = \rho \omega \left( k + \frac{\partial h}{\partial r} \right),$$

$\partial p / \partial r$ -ի արժեքը տեղադրելով (3.51) համակարգի առաջին հավասարման մեջ կստանանք՝

$$\frac{u_\theta^2}{r} = \rho \omega \left( k + \frac{\partial h}{\partial r} \right),$$

Տվյալ հաստատուն  $\theta$ -ի համար  $\frac{\partial h}{\partial r} = \frac{dh}{dr}$  և

$$dh = \frac{u_\theta^2}{g r} dr - k dr,$$

Կտրվածքի տարբեր ուղղաձիգների համար տեսակարար էներգիաները ընդունելով նույնը (նկ. 3.15), այսինքն

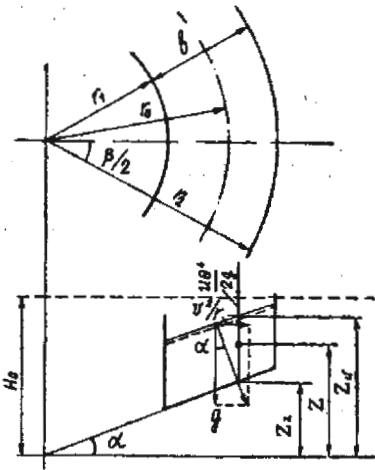
$$H_0 = kr + h + \frac{u_\theta^2}{2g} = \text{const} \quad (3.54)$$

կատանանք՝

$$dh = \frac{2(H_0 - h - kr)dr}{r} - kdr, \quad (3.55)$$

Ելնելով այն ընդունելությունից, որ շրանցքի առանցքի վրա շրի խորությունը հավասար է միջին խորությանը ( $r=r_0$ ,  $h=h_0$ ), կատարելով ձևափոխություններ և լուծելով (3.55) դիֆերենցիալ հավասարումը, կատանանք խորության փոփոխման օրինաչափությունը ըստ շառավղի՝

$$h = h_0 \frac{r_0^2}{r^2} + H_0 \left(1 - \frac{r_0^2}{r^2}\right) - k \frac{r^3 - r_0^3}{r^2}, \quad (3.56)$$



Նկ. 3.15. Հաստատուն թեքության հատակով վիրածի հաշվարկային սխեման:

Հոսանքը ուղղագիծ մասից կորագիծ մաս մտնելիս միանգամից առաջանում են կենտրոնախույս ուժեր, որոնք խանգարում են հոսանքի սահուն լծորդմանը: Այս տեսակետից հարմար է վիրածը այնպես նախագծել, որ հատակագծում կորության շառավիղը  $r_0 = \infty$  արժեքից (ուղիղ մաս) փոքրանա մինչև  $r_{\text{min}}$  արժեքը, ապա նորից մեծանա մինչև  $r_0 = \infty$  արժեքը:

Ստացված (3.56) բանաձևը ոչ մեծ սխալով կարելի է օգտագործել նաև փոփոխական շառավիղ ունեցող սահուն կորերի համար:

Հատակի թեքության  $\alpha$  անկյունը կարելի է որոշել

$$k = \text{tg} \alpha = \frac{v_0^2}{g r_0}, \quad (3.57)$$

կապից (նկ. 3.15):

**Օրինակ 3.12:** Կատարել ուղղանկյուն կտրվածքի հատակի հաստատուն թեքության վիրածի հիդրավիդրական հաշվարկը հետևյալ տվյալների դեպքում՝  $r_0 = 9,0$  մ,  $b = 1,2$  մ,  $v_0 = 5,2$  մ/վ,  $h_0 = 0,8$  մ:

Լուծում: (3.57) բանաձևից նախ որոշվում է հատակի թեքության գործակիցը

$$k = \text{tg} \alpha = \frac{v_0^2}{g r_0} = \frac{5,2^2}{9,81 \cdot 9} = 0,3066,$$

Ըստ (3.54)-ի լրիվ էջը ( $H_0$ ) կլինի՝

$$H_0 = k r_0 + h_0 + \frac{\alpha v_0^3}{2g} = 0,3066 \cdot 9,0 + 0,8 + \frac{1,1 \cdot 5,2^3}{2 \cdot 9,81} = 5,075 \text{ մ},$$

h-ի կապը r-ից ըստ (3.56) բանաձևի կարտահայտվի՝

$$h = h_0 \left(\frac{r_0}{r}\right)^2 + H_0 \left(1 - \frac{r_0^2}{r^2}\right) - k \frac{r^3 - r_0^3}{r^2} = 0,3 \left(\frac{9}{r}\right)^2 + 5,075 \left(1 - \frac{9}{r^2}\right) - 0,3066 \frac{r^3 - 9^3}{r^2},$$

Ընթացիկ r հեռավորության վրա գտնվող ուղղածիգի միջին արագությունը հաստատուն  $H_0$  էջի պայմանից կարտահայտվի

$$v_{\text{ուղ}} = \frac{1}{\sqrt{\alpha}} \sqrt{2g(H_0 - h - kr)} = \frac{1}{\sqrt{1,1}} \sqrt{2 \cdot 9,81(5,075 - h - 0,3066r)}$$

բանաձևով:

r-ի համար վերցնենք 5 բնորոշ արժեքներ՝

$$r_1 = r_0 - \frac{b}{2} = 9 - \frac{1,2}{2} = 8,4 \text{ մ},$$

$$r_2 = r_0 - \frac{b}{4} = 9,0 - \frac{1,2}{4} = 8,7 \text{ մ},$$

$$r_3 = r_0 = 9,0 \text{ մ},$$

$$r_4 = r_0 + \frac{b}{4} = 9 + \frac{1,2}{4} = 9,3 \text{ մ},$$

$$r_5 = r_0 + \frac{b}{2} = 9,0 + \frac{1,2}{2} = 9,6 \text{ մ},$$

Ըստ ստացված բանաձևերի որոշված են շրի խորության արժեքները (h) և ուղղածիգների արագությունները ( $v_{\text{ուղ}}$ ):

Հաշվարկի արդյունքները բերված են նկ. 3.16-ում և աղյ. 3.11-ում:

Աղյուցակ 3.11

3.12 օրինակի ճաշարկի արդյունքները

| r մ       | 8,4    | 8,7    | 9,0  | 9,3    | 9,6    |
|-----------|--------|--------|------|--------|--------|
| h մ       | 0,7597 | 0,7856 | 0,80 | 0,8042 | 0,7996 |
| v ուղ մ/վ | 5,57   | 5,38   | 5,2  | 5,03   | 4,87   |

2. Ուղղանկյուն կտրվածքի հաստատուն խորության վիճակում: Որպեսզի ջրի խորությունը լայնակի կտրվածքում ստացվի հաստատուն, պետք է ջրանցքի հատակը անել կոր: Հատակի անկյան  $k$  գործակիցը կլինի

$$k = \frac{dh_z}{dr}$$

Տեղադրելով (3.55) հավասարման մեջ  $dh_z = kdr$ , կստանանք

$$\frac{dh}{dr} = \frac{2 \left( H_0 - h - \frac{dz_z}{dr} r \right)}{r} - \frac{dz_z}{dr} \quad (3.58)$$

$h = \text{const}$  պայմանի դեպքում  $dh/dr = 0$ , հետևաբար

$$\frac{dh_z}{dr} = \frac{2(H_0 - h)}{3r}$$

Ինտեգրելուց հետո կստանանք՝

$$\frac{z_z}{H_0 - h} = \frac{2}{3} \ln r + \ln c \quad (3.59)$$

Ինտեգրման  $c$  հաստատունը կարելի է որոշել հետևյալ սահմանային պայմանից  $r = r_0, z_z = z_0$ , որտեղից

$$(z_z - z_0) = \frac{2}{3} (H_0 - h) \ln r / r_0$$

Հարմար է ընդունել  $z_0 = 0$ : Հատակի օրդինատները այս դեպքում որոշվում են հետևյալ հավասարումով՝

$$z_z = \frac{2}{3} (H_0 - h) \ln r / r_0 \quad (3.60)$$

որտեղ

$$H_0 = h_0 + \frac{av_0^2}{2g} \quad (3.61)$$

**Օրինակ 3.18:** Կատարել ուղղանկյուն կտրվածքի հաստատուն խորության վիճակի հաշվարկը 3.12 օրինակի տվյալներով:

Լ ու ծ ու մ: Կրիվ էջքը  $z_z = 0$  դեպքում կլինի

$$H_0 = h + \frac{av_0^2}{2g} = 0.8 + \frac{1.1 \cdot 5.2^2}{2 \cdot 9.81} = 2.316 \text{ մ:}$$

Տեղադրելով (3.60)-ի մեջ խնդրի տվյալները, կստանանք՝

$$z_z = \frac{2}{3} (2.316 - 0.8) \ln r / 9 = 1.01 \ln r / 9,$$

Աղյուսակ 3.12-ում բերված են  $z_z$ -ի արժեքները  $r$ -ի բնորոշ արժեքների համար:

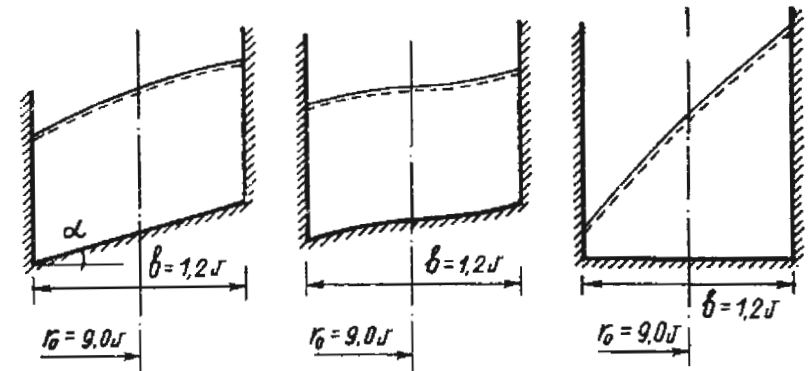
Աղյուսակ 3.12

Ցրինակի հաշվարկի արդյունքները

| $r$ մ   | 8,4    | 8,7    | 9,0  | 9,3   | 9,6   |
|---------|--------|--------|------|-------|-------|
| $z_z$ մ | -0,069 | -0,034 | 0,00 | 0,033 | 0,065 |

Նկ. 3.16-ում տրված է ջրի խորության բաշխումը լայնակի կտրվածքում:

3. Հորիզոնական հատակով ուղղանկյուն լայնակի կտրվածքով վիճակ:



Նկ. 3.16. Օրինակներ 3.12, 3.13 և 3.14-ի վիճակների լայնակի կտրվածքները. ա—հատակի հաստատուն թեքության վիճակ, բ—հաստատուն խորության վիճակ, գ—հորիզոնական հատակով վիճակ:

Վիճակի հաշվարկի այս դեպքում պետք է օգտվել (3.55) հավասարումից, ընդունելով  $k = 0$  ( $z_z = \text{const}$ ), որի դեպքում կստանանք՝

$$\frac{dh}{dr} = \frac{2(H_0 - h)}{r},$$

որը ինտեգրելով, կունենանք՝

$$-\ln(H_0 - h) = 2 \ln r + \ln c,$$

Ինտեգրման  $c$  հաստատունը դարձյալ որոշվում է  $r=r_0$ ,  $h=h_0$  պայմանից, որի տեղադրումից հետո կունենանք

$$\frac{H_0-h}{H_0-h_0} = \left(\frac{r_0}{r}\right)^2, \quad (3.62)$$

Տալով  $r$ -ին արժեքներ (3.62)-ից, որոշվում են համապատասխան  $h$ -երը:

**Օրինակ 3.14:** Կատարել ուղղանկյուն կտրվածքի հորիզոնական հատակով վերածի հաշվարկը 3.12 օրինակի ավյալներով:

Լուծում: Տեղադրելով (3.62)-ի մեջ  $H_0$ -ի,  $r_0$ -ի և  $h_0$ -ի արժեքները կստանանք՝

$$\frac{5,075-h}{5,075-0,5} = \left(\frac{9}{r}\right)^2,$$

կամ

$$h = 5,075 - 4,275 \left(\frac{9}{r}\right)^2,$$

Աղյուսակ 3.13-ում և նկ. 3.16-ում տրված են հաշվարկի արդյունքները:

Աղյուսակ 3.13

3.14 օրինակի հաշվարկի արդյունքները

| $r$ , մ | 8,4   | 8,7   | 9,0   | 9,3   | 9,6   |
|---------|-------|-------|-------|-------|-------|
| $h$ , մ | 0,167 | 0,500 | 0,800 | 1,071 | 1,318 |

4. Կոն մասի լծորդումը ջրանցքի ուղիվ մասի հետ: Ջրանցքի ուղիվ մասից կոն մասին անցնելիս միանգամից առաջանում են կենտրոնախույս ուժեր, որոնք և առաջ են բերում ալիքներ, որոնց շնորհիվ ներքին և արտաքին պատերի միջև եղած  $h_1$  և  $h_2$  խորությունների միջև առաջանում է տարբերություն:

$$h_2 - h_1 = \frac{v^2 b}{r_0 g} \quad (3.63)$$

Հափով:

Ինչքան փոքր է կորուսյան շառավիղը, այնքան մեծ է ալիքի բարձրությունը:

Կոն հատվածը ջրանցքի ուղիվ մասի հետ կարող է լծորդվել տարբեր ձևերով:

Սովորաբար արվում է այնպես, որ ջրանցքի կորուսյան շառավիղը սկզբի և վերջի մասերում լինի  $r_0 = \infty$ , իսկ միջին մասում աստիճանաբար փոքրանալով մինչև որևէ արժեք, մեջտեղի հատվածում մնում է նույնը:

Փոփոխական շառավիղ ունեցող կոն ջրանցքի առանցքը կարելի է կառուցել ըստ

$$y = a_0 \cos \frac{\pi x}{2x_0} \quad (3.64)$$

հավասարման, որտեղ  $a_0$ -ն որոշվում է  $\frac{dh}{dx} = \operatorname{tg} \frac{\beta}{2}$  (նկ. 3.17) պայմանից

$$\frac{dy}{dx} = -a_0 \frac{\pi}{2x_0} \sin \frac{\pi x}{2x_0}, \quad (3.65)$$

Կոն մասի ծայրերում  $x = x_0$ ,  $\sin \frac{\pi}{2} \cdot \frac{x}{x_0} = 1,0$  և  $a_0$ -ն կորոշվի՝

$$a_0 = \frac{2x_0}{\pi} \operatorname{tg} \frac{\alpha}{2} \quad (3.66)$$

Կորուսյան  $r_0$  շառավիղը որոշվում է հետևյալ բանաձևով՝

$$r_0 = \frac{\left(1 + \left(\frac{dy}{dx}\right)^2\right)^{3/2}}{\frac{d^2y}{dx^2}}, \quad (3.67)$$

Տեղադրելով

$$\frac{dy}{dx} = \operatorname{tg} \frac{\alpha}{2} \sin \frac{\pi x}{2x_0}$$

և

$$\frac{d^2y}{dx^2} = \frac{\pi}{2x_0} \operatorname{tg} \frac{\alpha}{2} \cos \frac{\pi x}{2x_0}$$

արժեքները (3.67)-ի մեջ, առանցքի փոփոխական շառավիղը կստանանք հետևյալ տեսքով

$$r_0 = \frac{\left(1 + \left(\operatorname{tg} \frac{\alpha}{2} \sin \frac{\pi x}{2x_0}\right)^2\right)^{3/2}}{\frac{\pi}{2x_0} \operatorname{tg} \frac{\alpha}{2} \cos \frac{\pi x}{2x_0}}, \quad (3.68)$$

Նշենք, որ այստեղ բերված վերածի հիդրավիկական հաշվարկների դեպքերը բավականին մոտավոր են, նրանց մեջ հաշվի չեն առնված էներգիայի կորուստները և կատարված են այլ ընդունելություններ:

Կրկնակի կորուսյուն ունեցող վիրածների հաշվարկը բարդության պատճառով այստեղ չի բերվում:

**Օրինակ 3.15:** Կատարել արագահոսի կոն հատվածի հիդրավիկական հաշվարկը հետևյալ տվյալների դեպքում.  $b=8,0$  մ,  $i_0=0,04$ ,  $Q=100$  մ<sup>3</sup>/վ,  $x_0=40$  մ,  $\beta=90^\circ$ ,  $n=0,014$ :

Հ ու ժ ու մ: Օգտվելով Շեղիի բանաձևից, փնտրման մեթոդով նախ որոշենք արագահոսում նորմալ խորությունը: Նորմալ թողունակությունը կլինի՝

$$K_0 = \frac{Q}{\sqrt{i_0}} = \frac{100}{\sqrt{0.04}} = 500 \text{ մ}^3/\text{վ}:$$

Թողունակությունը կորոշվի հետևյալ կերպ.

$$K = AC\sqrt{R}.$$

$$A = bh, \quad \lambda = b + 2h, \quad R = A/\lambda = 1/(1/h + 2/b)$$

$$C = \frac{1}{n} R^y, \quad y = 1.5\sqrt{n} = 1.5\sqrt{0.014} = 0.177,$$

| h մ  | A մ <sup>2</sup> | X մ   | R մ    | C մ <sup>0,5</sup> /վ | K մ <sup>3</sup> /վ |
|------|------------------|-------|--------|-----------------------|---------------------|
| 1,0  | 8                | 10    | 0,8    | 68,66                 | 491,31              |
| 1,1  | 8,8              | 10,2  | 0,863  | 69,59                 | 568,81              |
| 1,01 | 8,08             | 10,02 | 0,8064 | 68,779                | 498,90              |
| 1,02 | 8,16             | 10,04 | 0,813  | 68,85                 | 506,0               |

Այսպիսով, սմ-ի ճշտությամբ  $h_0 = 1,01$  մ: Կտրվածքի միջին արագությունը կլինի՝

$$v_0 = \frac{Q}{bh_0} = \frac{100}{8 \cdot 1,01} = 12,37 \text{ մ/վ}:$$

Ըստ (3.64)-ի արագահոսի կոր մասի առանցքի հավասարումը կլինի՝

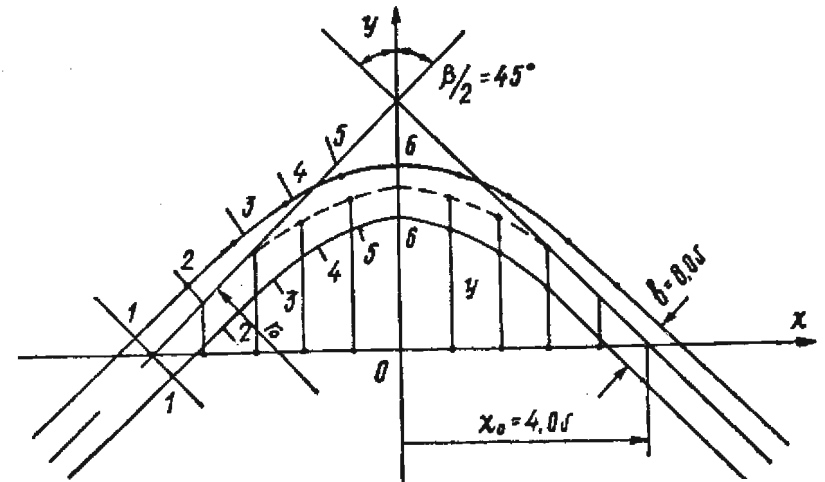
$$y = a \cos \frac{\pi x}{2x_0} = 25,435 \cos(0,0393x),$$

որտեղ

$$a_0 = \frac{2x_0}{\pi} \operatorname{tg} \frac{\alpha}{2} = \frac{2 \cdot 40}{\pi} \operatorname{tg} \left( \frac{90}{2} \right) = 25,48 \text{ մ}:$$

Ըստ (3.68)-ի առանցքի փոփոխական շառավիղը կարտահայտվի՝

$$r_0 = \frac{\left( 1 + \left( \operatorname{tg} \left( \frac{90^\circ}{2} \right) \sin \frac{\pi x}{2 \cdot 40} \right)^2 \right)^{3/2}}{\frac{\pi}{2 \cdot 40} \operatorname{tg} \left( \frac{90^\circ}{2} \right) \cos \frac{\pi x}{2 \cdot 40}} = \frac{(1 + (1 \sin(0,0393x))^2)^{3/2}}{0,0393 \cos(0,0393x)},$$



Նկ. 3.17. Օրինակ 3.15-ի վիրածի հատակագիծը և շափերը:

$x_0$ -ն բաժանելով հինգ հավասար մասերի,  $x$ -ի այդ արժեքների համար կատարված է  $r_0$ -ի և  $y$ -ների որոշումը, որոնք բերված են աղ. 3.14-ում և Նկ. 3.17-ում:

Աղյուսակ 3.14

3.15. օրինակի համար  $r_0$ -ի և  $y$ -ի որոշումը  $x$ -ի 5 բնորոշ արժեքների դեպքում

| x մ     | $\pm 40$<br>(1-1) | $\pm 32$<br>(2-2) | $\pm 24$<br>(3-3) | $\pm 16$<br>(4-4) | $\pm 8$<br>(5-5) | 0<br>(6-6) |
|---------|-------------------|-------------------|-------------------|-------------------|------------------|------------|
| $r_0$ մ | $\infty$          | 216,580           | 92,198            | 49,125            | 30,700           | 25,484     |
| y մ     | 0                 | 7,869             | 14,968            | 20,602            | 24,219           | 25,484     |

Կամայական կտրվածքում ըստ (3.61)-ի լրիվ էջը կլինի՝

$$H_0 = h_0 + \frac{v_0^2}{2g} = 1,01 + \frac{1,1 \cdot 12,37^2}{2 \cdot 9,81} = 9,589 \text{ մ}:$$

Ջրի հաստատուն խորության պայմանից ըստ (3.60) բանաձևի 6 բնորոշ կտրվածքների համար որոշվում են հատակի նիշերը, որոնք բերված են աղ. 3.15-ում: Հատակի նիշերը տրված են պատերի մոտ, կենտրոնում և լայնության քառորդ մասերում:

**8.15. օրինակի հատակի կորոշիմատները վիրածի 6 բնորոշ կտրվածքներում ջրի հաստատուն խորությունը պայմանից**

| 1—1<br>կտրվածք | Γ Մ  | ∞       | ∞       | ∞       | ∞       | ∞       |
|----------------|------|---------|---------|---------|---------|---------|
|                | ՀՀ Մ | 0       | 0       | 0       | 0       | 0       |
| 2—2<br>կտրվածք | Γ Մ  | 212,580 | 214,580 | 216,580 | 218,580 | 220,580 |
|                | ՀՀ Մ | -0,160  | -0,080  | 0       | 0,079   | 0,157   |
| 3—3<br>կտրվածք | Γ Մ  | 88,198  | 90,198  | 92,198  | 94,198  | 96,198  |
|                | ՀՀ Մ | -0,380  | -0,188  | 0       | 0,184   | 0,364   |
| 4—4<br>կտրվածք | Γ Մ  | 45,125  | 47,125  | 49,125  | 51,125  | 53,125  |
|                | ՀՀ Մ | -0,729  | -0,357  | 0       | 0,342   | 0,672   |
| 5—5<br>կտրվածք | Γ Մ  | 26,700  | 28,700  | 30,700  | 32,700  | 34,700  |
|                | ՀՀ Մ | -1,198  | -0,558  | 0       | 0,541   | 1,051   |
| 6—6<br>կտրվածք | Γ Մ  | 21,464  | 23,464  | 25,464  | 27,464  | 29,464  |
|                | ՀՀ Մ | -1,466  | -0,702  | 0       | 0,647   | 1,122   |

**Չորրորդ գլուխ**

**ՋՐՀԵՌ ԿԱՌՈՒՅՎԱԾՔՆԵՐԻ ՀԻՎՐԱՎԻԿԱԿԱՆ ՀԱՇՎԱՐԿՆԵՐԸ**

**4.1. ԸՆԻՀԱՆՈՒՐ ՏԵՂԵԿՈՒԹՅՈՒՆՆԵՐ ՋՐՀԵՌ ԿԱՌՈՒՅՎԱԾՔՆԵՐԻ ՎԵՐԱԲԵՐՅԱԼ**

Ջրհեռ կառուցվածքները ծառայում են ավելորդ ջրերը վերին բյեֆից ստորին բյեֆ բաց թողնելու, ինչպես նաև ջրամբարները դատարկելու, հատակի տիղմը լվանալու համար և այլն:

Ջրհեռ կառուցվածքների արժեքը և շահագործման ծախսերը հիդրոհանգույցի ընդհանուր ծախսերի զգալի մասն են կազմում: Ջրհեռ կառուցվածքների արժեքը կարելի է փոքրացնել, փոքրացնելով թողարկվող ելքերը շնորհիվ ջրամբարի ծավալի և նրա կուսակման հնարավորությունների մեծացման կամ ավելի ուցիտնալ կոնստրուկցիաների օգտագործման:

Բոլոր տեսակի ջրհեռ կառուցվածքները պետք է ապահովեն հաշվարկային ելքերի թողարկումը, թույլ չտալով ջրի թափվելը պատվարի ոչ ջրաթափային մասի վրայով:

Ջրամբարների փոքր ծավալների դեպքում ջրհեռ կառուցվածքները պետք է անպայման լինեն ավտոմատ գործողության: Ավտոմատ գոր-

ծող ջրհեռներ են առանց փականի ջրաթափային ճակատով բաց ջրհեռները, որոնց շուրթի նիշը գտնվում է ջրամբարի նորմալ դիմահարային մակարդակի (ՆԴՄ) վրա, կամ ավտոմատ գործողության փականներով կահավորված ջրհեռները: Այս երկու ջրհեռներն էլ ունեն մեծ թերություններ, նրանցից առաջինները ունեն փոքր տեսակարար ելք (ջրթողի ճակատի միավոր լայնության ելքը), իսկ երկրորդները պահանջում են թանկարժեք սարքեր, մշտական խնամք և վերանորոգում:

Բետոնե պատվարների դեպքում ջրհեռ կառուցվածքները տեղադրում են նրա մարմնի մեջ (խորքային) կամ մարմնի վրա (մտկերևութային):

Խորքային ջրհեռ կառուցվածքները լինում են կարճ անցքերի կամ համեմատաբար երկար խողովակների (թունելների) ձևով: Խողովակային ջրհեռներում ելքը կարգավորվում է սկզբում կամ վերջում դրված հիդրոտեխնիկական փականներով (հարթ, գնդային, ասեղային և այլն):

Մակերևութային ջրհեռները լինում են բետոնե պատվարի վրա արված գործնական պրոֆիտով ջրաթափի ձևով, փականով կամ առանց փականի, սիֆոնային ջրհեռ և այլն:

Քարե և հողե պատվարների դեպքում ջրհեռ կառուցվածքները արվում են պատվարի հիմքում կամ ափի զանգվածում և կոշվում են ափային:

Ափային ջրհեռ կառուցվածքներն են՝

1. Արագահոսներ: Սրանք մեծ թեքության, համեմատաբար փոքր երկարության ջրանցքներ են, կազմված մի քանի հատվածներից:

2. Խրամատային ջրհեռներ: Սրանք բացի խրամատային ջրընդունիչ հատվածից ունեն հեռացնող ջրանցք արագահոսի կամ այլ ձևով:

3. Կողային ջրհեռներ: Ջրի ընդունումը կատարվում է կողային ջրաթափի ձևով, որին հաջորդում է հեռացնող ջրանցքը:

4. Հորանային ջրհեռներ: Սրանք հատակագծում լինում են շրջանային շրջագծով և բազմաթերթ թևերով («մարգարիտակա»): Ջրաթափային մասին հաջորդում է ճնշումային կամ ոչ ճնշումային հեռացնող թունելը: Երբեմն օգտագործում են հորային ջրթողի (կամ «մարգարիտակայի») մի սեկտորը, մեկ կամ մի քանի թևը:

5. Սիֆոնային ջրհեռներ: Սրանք օգտագործում են վերին և ստորին բյեֆների միջև եղած հորիզոնների տարբերությունը, որի շնորհիվ տեսակարար թողունակությունը մեծ է և ջրաթափային ճակատի երկարությունը փոքր: Ավտոմատ գործող ջրթողներից համեմատաբար մեծ տեսակարար ելք և պարզ կոնստրուկցիաներ ունեն սիֆոնային ջրթողները, որոնք շեն պահանջում հատուկ սպասարկող անձնակազմ:

Այս գրքում շարադրված են նշված ջրհեռների հիդրավիկական հաշվարկների մեթոդները, կանգ շանելով նրանց նախագծման այլ հարցերի և զանազան կոնստրուկցիաների նկարագրման վրա:

## 4.2. ԱՐԱԳԱՀՈՍՆԵՐԻ ՀԱՇՎԱՐԿ

Արագահոսը մեծ թեքություն, փոքր երկարության ջրանցք է, որը մտնում է ափային ջրհեռի կառուցվածքների մեջ: Արագահոսը անպայման ունի մոտեցնող շատ կարճ հատված, որը արվում է շատ փոքր թեքությամբ, հորիզոնական կամ հակառակ թեքությամբ, հատակագծում մեծ մասամբ սահուն նեղացող ձևի:

Արագահոսը սովորաբար վերջանում է կամ ուտնյակով, կամ մարիչ կառուցվածքներով, ջրի էներգիան մարելու համար:

Արագահոսը սովորական պրիզմատիկ կամ ոչ պրիզմատիկ ջրանցք է, որի հիդրավիկական հաշվարկը կատարվում է երրորդ գլխում շարադրված մեթոդներով:

Արագահոսներում առաջանում են լրացուցիչ հիդրավիկական երկվոյթներ, որոնց համար պետք է կատարվեն հատուկ հետազոտություններ և հաշվարկներ:

Այդ երկվոյթներն են՝ ա) անրացիայի երկվոյթը, բ) գլորվող ալիքների առաջացման երկվոյթը:

Քննարկենք արագահոսների հաշվարկը անրացիայի և գլորվող ալիքների առաջացման դեպքում:

Արագահոսների հաշվարկը անրացիայի պայմանից: Երկար արագահոսներում ջրի հոսանքի վրա զգալի ազդեցություն է թողնում անրացիայի երկվոյթը: Անրացիայի պատճառով հոսանքի խորությունը զգալիորեն մեծանում է, որը և փոխում է կառուցվածքի շահիերը:

Անրացիայի սկսվելու շահիանիշները քննարկվեցին 1.7-ում:

Արագահոսներում անրացիայի հաշվարկը կատարենք, ելնելով միաշերտ անրացված հոսանքի մոդելից:

Անրացիայի հետևանքով հոսանքի ելքը ըստ ճանապարհի փոխվում է: Այս պատճառով արագահոսներում անրացված հոսանքի շարժումը կարելի է ուսումնասիրել որպես փոփոխական ելքով հոսանք, երբ միացվող հեղուկի խտությունը խիստ կերպով տարբերվում է հիմնական հոսանքի (ջրի) խտությունից: Եթե ընդունենք, որ օդի թափանցման անկյունը  $90^\circ$  է, ապա անրացված հոսանքի շարժման դիֆերենցիալ հավասարումը պրիզմատիկ հոսանքի համար ըստ Ի. Ա. Սնեգիրովի և Հ. Վ. Քոբաշյանի կողմից կատարված ուղղումների, կունենա հետևյալ տեսքը.

$$\frac{dh}{dl} = \frac{\sin\varphi_0 \frac{Q^2}{A^2 C^2 R} - \left( \frac{Q^2}{\rho g A^2} + \frac{h}{\rho} \right) \frac{dP}{dl} - \frac{Q}{g A^3} \left( 2 - \frac{\rho_{\text{ո}}}{\rho} \right) \frac{dQ}{dl}}{\cos\varphi_0 - \frac{Q^2}{g A^3} \frac{\partial A}{\partial h}}, \quad (4.1)$$

որտեղ առանց ինդեքսի անդամները վերաբերում են անրացված հոսանքին:

Անրացված հոսանքի հաշվարկը վերջավոր աճերի միջոցով կատարվում է հետևյալ հերթականությամբ.

1. Արագահոսի համար կատարվում է մաքուր ջրի անհավասարաչափ շարժման հիդրավիկական հաշվարկը և որևէ փոքր քայլով որոշվում իրարից շատ մոտ կտրվածքներում ջրի խորությունները և Ֆրուդի թվերը  $\left( F_r = \frac{v^2}{gh} \right)$ :

2. Որոշվում են նույն կտրվածքների համար օդահագեցվածության գործակիցները ըստ Ն. Բ. Իսաչենկոյի

$$\beta = \left( 0,035 + 0,93 \frac{\Delta}{R} \right) \left( F_r - 45 \left( 1 - 10 \frac{\Delta}{R} \right) \right)^{1/2}, \quad (4.2)$$

կամ Շտրաուբայի և Անդերսոնի կողմից տարբեր թեքության արագահոսներում կատարված փորձերի արդյունքների մշակման միջոցով ստացված (նկ. 4.1)

$$\beta = 0,12 \sqrt{F_r - 25} \quad (4.3)$$

բանաձևով:

3. Որոշվում են անրացված հոսանքի ելքերը նշված կտրվածքներում

$$Q = Q_2(1 + \beta) \quad (4.4)$$

բանաձևով:

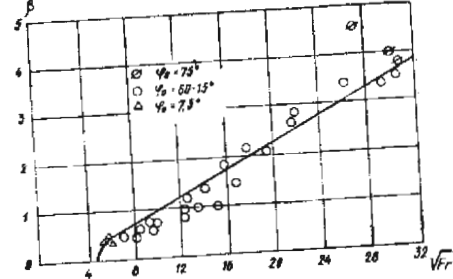
4. Որոշվում են հոսանքի խտությունները հետևյալ բանաձևով՝

$$\rho = \frac{\rho_2 Q_2 + \rho_{\text{ո}} Q_{\text{ո}}}{Q} = \frac{Q_2 (\rho_2 + \rho_{\text{ո}} \beta)}{Q}, \quad (4.5)$$

Գործնական հաշվարկներում  $\rho_{\text{ո}} \beta$  անդամը  $\rho_2$ -ի նկատմամբ կարելի է արհամարհել և (4.5) բանաձևը կստանա հետևյալ պարզ տեսքը՝

$$\rho = \frac{\rho_2}{1 + \beta} \quad (4.6)$$

5. Որոշվում է  $dQ/dl$  ածանցյալի արժեքը վերջավոր աճերի միջոցով



Նկ. 4.1. Օդահագեցվածության կապը Ֆրուդի թվից բաց հոսանքների համար (ըստ Շտրաուբայի և Անդերսոնի փորձերի):

ցով: Մասնավոր դեպքում, երբ մաքուր ջրի ելքը հաստատուն է,  $dQ/dl$  ածանցյալը կարելի է որոշել նաև

$$\frac{dQ}{dl} = \frac{dQ_{\text{ա}}}{dl} = Q_2 \frac{d\beta}{\Delta l} = Q_2 \frac{\Delta\beta}{\Delta l} \quad (4.7)$$

բանաձևի միջոցով:

6.  $d\rho/dl$  ածանցյալները ներկայացվում են վերջավոր աճերի միջոցով.

$$\frac{d\rho}{dl} = \frac{\Delta\rho}{\Delta l} \quad (4.8)$$

7. Որոշվում է այն սկզբնական կտրվածքը, որտեղից սկսվում է աերացիան: Ըստ (4.2) բանաձևի այն կլինի, երբ  $F_r = 45 \left(1 - 10 \frac{\Delta}{R}\right)$

խսկ ըստ (4.3) բանաձևի՝ երբ  $F_r = 25$ : Այդ կտրվածքին համապատասխանող մաքուր ջրի խորութունը կլինի աերացված հոսանքի համար սկզբնական խորութունը ( $h_1$ ): Ըստ շարժման ուղղութիւն նշված կտրվածքից վերև հոսանքը աերացված չի լինի և հոսանքի խորութունները կլինեն մաքուր ջրի համար որոշված խորութունները:

8. Սկզբնական  $h_1$  խորութիւնն և նրանից անմիջապէս հետո եղած հաջորդ խորութիւնների համար, որը նույնպէս վերցվում է մաքուր ջրի հաշվարկից, որոշվում են  $A$ ,  $R$ ,  $C$ ,  $\beta$ ,  $Q$ ,  $\rho$  մեծութիւնները և ապա  $dQ/dl$  և  $d\rho/dl$  ածանցյալները:

9. Որոշվում են (4.1) հավասարման մեջ մտնող մեծութիւնների ( $Q$ ,  $A$ ,  $C$ ,  $R$ ,  $\rho$ ) միջին արժեքները և դրանք տեղադրելով (4.1) հավասարման մեջ, որոշվում է  $dh/dl$  ածանցյալը:

Նշենք, որ եթե հաշվարկը կատարվում է փոքր քայլերով, (4.1) հավասարման մեջ միջին արժեքների փոխարեն կարելի է տեղադրել նախորդ կտրվածքների նշված մեծութիւնները, որը խիստ հեշտացնում է հաշվարկը:

10. Աերացված հոսանքի համար  $h_{1w}$  և  $h_{2w}$  խորութիւնները կլինեն

$$h_{1w} = h_1, \quad h_{2w} = h_1 + \frac{dh}{dl} \Delta l \quad (4.9)$$

11. Ըստ մաքուր ջրի հաշվարկի խորութիւն, նշված բանաձևերով որոշվում են  $\beta$ ,  $Q$ ,  $\rho$  անդամները և  $dQ/dl$  ու  $d\rho/dl$  ածանցյալները, իսկ ըստ  $h_{2w}$  խորութիւն՝  $A$ ,  $R$ ,  $C$  մեծութիւնները, ապա  $\Delta h$ -ը և  $h_{3w}$ -ն և այլն:

Հաշվարկը հարմար է կատարել էշՄ-ով հետևյալ աղյուսակի ձևով:  
Աղյուսակ 4.1

Աերացված հոսանքի խորութիւնների հաշվարկի հաջորդականությունը

| 1                  | 2       | 3           | 4                       | 5                          | 6                          | 7                                | 8                    | 9             | 10       | 11                        | 12              | 13       |
|--------------------|---------|-------------|-------------------------|----------------------------|----------------------------|----------------------------------|----------------------|---------------|----------|---------------------------|-----------------|----------|
| $l$ , մ            | $h$ , մ | $\beta$     | $Q$ , մ <sup>3</sup> /վ | $\rho$ , կգ/մ <sup>3</sup> | $\frac{dQ}{dl}$            | $\frac{d\rho}{dl}$               | $A$ , մ <sup>2</sup> | $\gamma$ , մ  | $R$ , մ  | $C$ , մ <sup>0.5</sup> /վ | $\frac{dh}{dl}$ | $h_w$    |
| 1                  | 2       | 3           | 4                       | 5                          | 6                          | 7                                | 8                    | 9             | 10       | 11                        | 12              | 13       |
| $l_1$              | $h_1$   | $\beta_1=0$ | $Q_1=Q_2$               | $\rho_1=\rho_2$            |                            |                                  | $A_1$                |               |          |                           |                 | $h_1$    |
| $l_2=l_1+\Delta l$ | $h_2$   | $\beta_2$   | $Q_2$                   | $\rho_2$                   | $\frac{Q_2-Q_1}{\Delta l}$ | $\frac{\rho_2-\rho_1}{\Delta l}$ | $A_{2w}$             | $\gamma_{2w}$ | $R_{2w}$ | $C_{2w}$                  |                 | $h_{2w}$ |
| $l_3=l_2+\Delta l$ | $h_3$   | $\beta_3$   | $Q_3$                   | $\rho_3$                   | $\frac{Q_3-Q_2}{\Delta l}$ | $\frac{\rho_3-\rho_2}{\Delta l}$ | $A_{3w}$             | $\gamma_{3w}$ | $R_{3w}$ | $C_{3w}$                  |                 | $h_{3w}$ |

Այժմ քննարկենք աերացված հոսանքի խորութիւնների հաշվարկի մոտավոր, պարզ մեթոդը:

Աերացված հոսանքի համար մոտավոր խորութիւնները կարելի է որոշել, ընդունելով, որ օդի և ջրի խառնուրդի ծավալի հարաբերութիւնը ջրի ծավալին մոտավորապէս հավասար է նրանց խորութիւնների հարաբերութիւնը:

$$(1+\beta) = \frac{W_2 + W_{\text{ա}}}{W_1} = \frac{h_w}{h} \quad (4.10)$$

որտեղից՝

$$h_w = h(1+\beta) \quad (4.11)$$

Այս մեթոդով աերացված հոսանքի խորութիւնների որոշումը դառնում է շափազանց պարզ:

**Օրինակ 4.1:** Որոշել աերացված հոսանքի խորութիւնները ուղղանկյուն կտրվածք ունեցող պրիզմաձև արագահոսում հետևյալ տվյալների դեպքում.

$$Q_2 = 46,8 \text{ մ}^3/\text{վ}, \quad b = 6,0 \text{ մ}, \quad i_{01} = 0,004, \quad i_{02} = 0,49, \quad \alpha = 1,0,$$

$$L = 100 \text{ մ}, \quad n = 0,017:$$

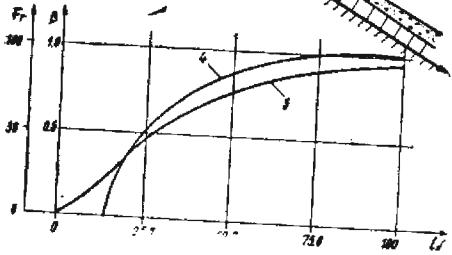
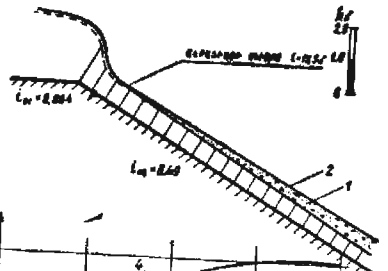
Լուծում: Հաշվարկը կատարենք մոտավոր, պարզ եղանակով:

1. Ըստ օրինակի տվյալների էշՄ-ի օգնութիւնով մաքուր ջրի համար որոշում են ազատ մակերևութի կորի կոորդինատները:

2. Ըստ այս խորութիւնների որոշում են Ֆրուդի թվի արժեքները:

3. Ըստ (4.3) բանաձևի որոշում են օդահաղեցվածութիւն  $\beta$  գործակցի արժեքները

$$\beta = 0,12 \sqrt{F_r - 25} = 0,12 \sqrt{\frac{6,201}{h} - 25}$$



Նկ. 4.2. Օրինակ 4.1-ի  $h$ ,  $h_0$ ,  $F_r$  և  $\beta$  մեծությունների կորերը.  
 1. մաքուր ջրի ազատ մակերևույթի կորը, 2. աերացված հոսանքի ազատ մակերևույթի կորը, 3. Ֆրուդի թվի փոփոխման կորը, 4. օրահագնացվածության գործակցի փոփոխման կորը:

4. Հստ (4.11) բանաձևի որոշում են աերացված հոսանքի խորությունները

$$h_0 = (1 + \beta)h$$

4.1 օրինակի հաշվարկի արդյունքները բերված են 4.2-աղյուսակում, իսկ նկ. 4.2-ում՝ մաքուր ջրի և աերացված հոսանքի համար ազատ մակերևույթի կորերը, ինչպես նաև  $F_r$  և  $\beta$  մեծությունների փոփոխման կորերը: Ինչպես երևում է 4.2 աղյուսակից, աերացիան սկսվում է  $l = 13,5$  մ կտրվածքից, իսկ մոտ  $l = 50$  մ-ից աերացված հոսանքը դառնում է հավասարաչափ:

Աղյուսակ 4.2

4.1. օրինակի հաշվարկի արդյունքները

| $l$  | $h$ մ | $F_r$ | $\beta$ | $h_0$ |
|------|-------|-------|---------|-------|
| 1    | 2     | 3     | 4       | 5     |
| 0.0  | 1,83  | 1,0   | 0       | 1,83  |
| 5.0  | 0,87  | 9,43  | 0       | 0,87  |
| 10.0 | 0,70  | 18,40 | 0       | 0,70  |
| 13,5 | 0,68  | 25,0  | 0       | 0,68  |
| 15,0 | 0,61  | 27,0  | 0,199   | 0,73  |
| 20.0 | 0,55  | 36,96 | 0,415   | 0,78  |
| 25.0 | 0,51  | 45,65 | 0,545   | 0,79  |
| 30   | 0,49  | 53,62 | 0,642   | 0,80  |
| 35   | 0,47  | 60,76 | 0,718   | 0,80  |
| 40   | 0,45  | 67,06 | 0,778   | 0,80  |
| 45   | 0,44  | 72,53 | 0,827   | 0,80  |
| 50   | 0,43  | 77,23 | 0,867   | 0,81  |
| 55   | 0,42  | 81,23 | 0,900   | 0,81  |
| 60   | 0,42  | 84,62 | 0,926   | 0,81  |
| 80   | 0,40  | 93,47 | 0,993   | 0,81  |
| 100  | 0,40  | 97,66 | 1,02    | 0,81  |

Գերբուռն հոսանքներ և գլորվող ալիքների առաջացումը արագահոսներում: Ինչպես ցույց են տվել հետազոտությունները, ջրանցքներում ջրի շարժման հանդարտ և բուռն ռեժիմներից բացի կանակ մի երրորդը: Պարզվում է, որ որոշակի պայմաններում արագահոսներում առաջանում է ջրի շարժման, այսպես կոչված, գերբուռն ռեժիմ, երբ հոսող ջրի մակերեսին առաջացած փոքր գրգռները հոսանքն ի վար աճում են, ի վերջո հանգեցնելով հաստատված շարժման խանգարմանը:

Նման ռեժիմով շարժվող հոսանքում ջրանցքի որոշակի երկարության դեպքում առաջանում են լայնակի ալիքներ, որոնք գրականության մեջ ստացել են «թափառող», «հարվածող», «լայնակի» և այլ անվանումներ, սակայն ամենատարածվածը և գործածականը «գլորվող ալիքներ» անվանումն է, որը և ընդունված է մեր կողմից:

Փոքր թեքություններ ջրանցքից կամ ջրամբարից դեպի արագահոս ուղղվող հոսանքը հենց սկզբից սկսում է շարժվել բուռն ռեժիմով՝  $h < h_{cr}^I$  և նույնիսկ գերբուռն ռեժիմով՝  $h < h_{cr}^{II}$ : Այստեղ  $h_{cr}^I$ -ը առաջին կրիտիկական խորությունն է  $F_r = 1,0$  դեպքում, իսկ  $h_{cr}^{II}$ -ը՝ երկրորդ կրիտիկական խորությունը, որի մասին կխոսվի առաջիկայում:

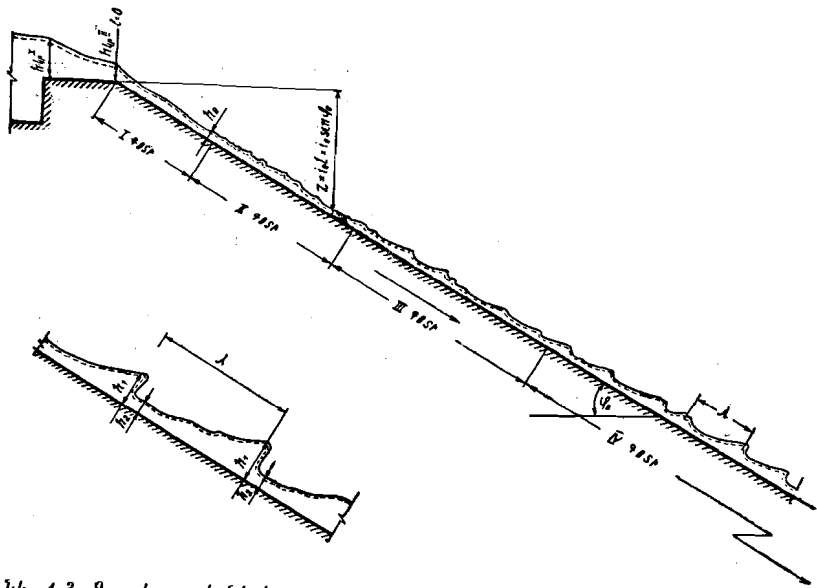
Հետագայում հոսանքի խորությունը արագորեն մոտենում է հավասարաչափ շարժման խորությանը՝  $h \approx h_0$ : Այստեղ էլ հենց հոսանքում սկսում են առաջանալ գլորվող ալիքների «սաղմեր», որոնք, շարժվելով հոսանքն ի վար և միմյանց գումարվելով, վեր են ածվում գլորվող ալիքների (նկ. 4.3):

Գերբուռն հոսանքը ըստ շարժման ուղղության կարելի է բաժանել հետևյալ մասերի՝

1. հանդարտ հոսանքի անցումը բուռն և գերբուռն ռեժիմների,
2. անկման կոր (I գոտի),
3. գլորվող ալիքների սաղմնավորման տեղամաս (II գոտի), ուր հոսանքի խորությունն տատանումները կազմում են  $\pm 0,1 h_0$ ,
4. գլորվող ալիքների բուռն պարզացման տեղամաս (III գոտի),
5. գլորվող ալիքների ալիքային ցուցանիշների միջին արժեքների հաստատման տեղամաս (IV գոտի):

Գերբուռն հոսանքները և գլորվող ալիքները հետազոտողների ուշադրություն են գրավել դեռևս XX դարի սկզբներին, սակայն նրանց լուրջ և մեթոդիկ ուսումնասիրությունները տարվել են 1940—1960-ական թվականներին:

Ինչպես և ամեն մի նոր երևույթի հետազոտման ժամանակ, գերբուռն հոսանքների և գլորվող ալիքների ուսումնասիրությունը անխուսափելիորեն պիտի հանգեցնի հետևյալ հարցերի պարզաբանմանը՝



Նկ. 4.3. Գլորվող ալիքների առաջացումը արագահոսում:

1. հոսանքի՝ գերբուռն վիճակի փոխարկվելու պայմանները,
2. գերբուռն հոսանքում գլորվող ալիքների ծագման պայմանները,
3. գլորվող ալիքների ձևավորման և զարգացման օրինաչափությունները,

4. գերբուռն հոսանքների և գլորվող ալիքների քանակական բնութագրերը և հիդրավլիկական հաշվարկի մեթոդիկան:

Այս խնդիրներից առաջինի պարզաբանման համար անհրաժեշտ է ի հայտ բերել նախօրոք տրված հաստատված շարժման կայունության կամ վերջինիս խախտման շահանիշները (կրիտերիաները):

Այս հարցի տեսական ուսումնասիրությամբ զբաղվել են Շ. Ջեֆրիսը, Մ. Մասսեն, Շ. Քոմսոնը, Ռ. Գեսլերը, Ա. Կրայայան, Ն. Ա. Քարթվելաշվիլին, Ի. Իվասան, Ք. Գ. Վոյնիշ-Սյանոժենցկին և ուրիշները:

Նման հետազոտությունների էությունը հետևյալում է: Համատեղ քննարկելով շարժման և անխզելիության հավասարումները, գրված հիմնականում Սեն-Վենանյան ձևով, հաստատված հավասարաչափ հոսանքի մակերեսին ավելացվում են փոքր գրգիռներ՝ հոսանքի խորությանը գումարվող փոքր փոփոխության ձևով, այնուհետև քննարկվում է այդ գրգիռների շարժման պատկերը հոսանքն ի վար: Եթե նշված գրգիռները աստիճանաբար մարվում կամ հարթվում են ըստ ջրանցքի երկարության, դա նշանակում է, որ նախօրոք գոյություն ունեցող հաստատված հոսանքը (հանդարտ կամ բուռն) կայուն է: Նման հոսանք-

քում գլորվող ալիքների ծագումը բացատրվում է: Իսկ եթե վերոհիշյալ գրգիռները հոսանքն ի վար աճում են, ապա տվյալ հոսանքը գերբուռն է, և նրանում առաջացած փոքր գրգիռները հանգեցնում են գլորվող ալիքների առաջացման:

Հիրավի տվյալ խնդրի հիմնադիր հետազոտությունները կատարված են Վ. Վ. Վեդերնիկովի կողմից 1940-ական թվականներին, տեսական ճանապարհով վերլուծելով նման հոսանքներին վերաբերող տարբեր տեսանկյուններ և համեմատելով սրանք փորձնական հետազոտությունների արդյունքների հետ: Նա էլ հենց առաջին անգամ առաջարկեց «գերբուռն հոսանքներ» անվանումը և «երկրորդ կրիտիկական» խորություն տերմինը: Որպես ելակետային Վ. Վ. Վեդերնիկովը ընդունել է Սեն-Վենանի հավասարումները՝

$$-\frac{1}{B} \frac{\partial A}{\partial t} = \frac{v^2}{C^2 R} - i_0 + \frac{\alpha}{g} v \frac{\partial v}{\partial l} + \frac{\alpha}{g} \frac{\partial v}{\partial t}, \quad (4.12)$$

$$\frac{\partial Q}{\partial l} + \frac{\partial A}{\partial t} = 0, \quad (4.13)$$

որտեղ դիմադրությունը հաշվի է առնված Շեզիի բանաձևով:

Վ. Վ. Վեդերնիկովը տեսականորեն մշակել է հավասարաչափ հաստատված շարժման կայունության շահանիշը, որը կոչվում է Վեդերնիկովի թիվ և ունի հետևյալ տեսքը՝

$$V_{eo} = \frac{M_0 v_0 (1 + \beta)}{\rho \sqrt{g A_0 B_0}} \quad (4.14)$$

որտեղ «0» ինդեքսը վերաբերում է հավասարաչափ շարժմանը,  $M_0$ -ն կոչվում է լայնակի կտրվածքի գործակից և որոշվում է

$$M_0 = 1 - R \frac{dX}{dA} \quad (4.15)$$

քանաձևով:

$\beta$  և  $\rho$  ցուցիչները հիդրավլիկական թեքությունը որոշող

$$i = \frac{n^2 v^p}{R^3} \quad (4.16)$$

Շեզիի բանաձևի մեջ մտնող  $v$ -ի և  $R$ -ի ցուցիչներն են (քառակուսիական շրջանում  $p=2$ ,  $\beta=1+2\gamma$ ):

Վեդերնիկովի կրիտիկական թիվը հավասար է 1-ի:

Երբ  $V_{eo} < 1$ , հավասարաչափ շարժումը կայուն է, և հոսանքում առաջացող փոքր գրգիռները մարում են:

Երբ  $V_{e0} > 1$ , հավասարաչափ շարժումը անկայուն է, և հոսանքում առաջացած փոքր գրգռումները չեն մարում, այլ աճում են: Նման հոսանքը գերբուռն է, և ջրանցքի բավարար երկարության դեպքում այնտեղ կառաջանան գլորվող ալիքներ:

Գերբուռն հոսանքներում գլորվող ալիքների ծագման, զարգացման պայմանների, ինչպես և նրանց պարամետրերի քանակական բնութագրերի ուսումնասիրման և հիդրավիլիկական հաշվարկի մեթոդիկայի մշակման հարցերին նվիրված են բազմաթիվ գիտական հետազոտություններ ինչպես արտասահմանում, այնպես և մեր երկրում: Այդ հետազոտություններից հիշատակման արժանի են Հ. Թոմասի և Ռ. Դրեսլերի տեսական ուսումնասիրությունները, որոնց նպատակն էր շարժման հավասարումների օգնությամբ ստանալ գլորվող ալիքների ազատ մակերևույթը նկարագրող ֆունկցիոնալ կապակցություններ: Սակայն նրանց այդ փորձը հաջողությամբ չպսակվեց, քանի որ գերբուռն հոսանքները և գլորվող ալիքների շարժումը պատկանում են պատահական (ստոխաստիկ) երևույթների դասին և բնականաբար ենթարկվում են դրանց զարգացման օրինաչափություններին:

Գերբուռն հոսանքների բնօրինակային մեծածավալ հետազոտություններ են անցկացվել Ե. Պ. Ֆյոդորովի և Կ. Ի. Արսենիշվիլու կողմից 1930-ական և 1950-ական թվականներին, իսկ վերջինիս կողմից տարվել են նաև մոդելային հետազոտություններ:

Արտասահմանյան հետազոտողներից կարելի է նշել Գ. Իսիհարայի, Վ. Հոլմսի, Պ. Մեյերի բնօրինակային և մոդելային հետազոտությունները: Հատկապես արժեքավոր արդյունքներ է ստացել Ռ. Բրոկը, որը օգտագործելով Հ. Ղամբարյանի ու Ն. Մայիլյանի կողմից մշակված ու կիրառված մաթեմատիկական վիճակագրության վրա հիմնված փորձարարական մեթոդիկան, շարունակել է նրանց հետազոտությունները ավելի փոքր թեթևության ջրանցքներում ( $i_0 = 0,05 - 0,08$ ): Նույն մեթոդիկան կիրառված է նաև սովետական հետազոտող Ռ. Ի. Վագապովի կողմից:

1950-ական թվականներին Հ. Հ. Ղամբարյանի և Ն. Մ. Մայիլյանի կողմից անցկացվեցին գերբուռն հոսանքների և գլորվող ալիքների մեծածավալ մոդելային հետազոտություններ, որոնք զուգակցվում էին Գյունմուշի, Մադինայի հիդրոէլեկտրակայանների արագահոսներում նման հոսանքների բնօրինակային հետազոտությունների հետ: Օգտագործվեցին նաև Վրացական ՍՍՀ-ում (Ֆյոդորով, Արսենիշվիլի և այլն), ինչպես նաև արտասահմանում կատարված բազմաթիվ հետազոտությունների հարուստ նյութերը:

Ինչպես ցույց տրվեց Հ. Ղամբարյանի և Ն. Մայիլյանի կողմից, գլորվող ալիքների հիդրավիլիկական պարամետրերը (խորությունը ալի-

քի ճակատամասում՝  $h_1$ , ալիքի երկարությունը՝  $\lambda$ , պարբերությունը՝  $T$ , տարածման արագությունը՝  $c$ , և ուրիշները) փոփոխվում են բավականին լայն սահմաններում ինչպես ըստ ժամանակի, նույնպես և ըստ ջրանցքի և երկարության, և նրանց առանձին արժեքները հանդիսանում են պատահական մեծություններ, չենթարկվելով որոշակի օրինաչափությունների: Ինչ վերաբերվում է ալիքային պարամետրերի միջին մեծություններին՝ միջին թվաբանական, միջին քառակուսային շեղում և այլն, ապա դրանք բավականին սերտ համահարաբերակցական (կորելյացիոն) կապի մեջ են հոսանքի և ջրանցքի երկրաչափական ու հիդրավիլիկական այնպիսի բնութագրերի հետ, ինչպիսիք են ջրի ելքը՝  $Q$ , հոսանքի խորությունը՝  $h$  ( $h_0$  կամ  $h_{up}$ ), խորդուբորդության գործակիցը՝  $n$ , ջրանցքի երկարությունը՝  $L$  և թեթևությունը՝  $i_0 = \sin \varphi_0$  (կամ  $i_0 = \tan \varphi_0$ ):

Կիրառելով նմանության տեսության ու շափումների վերլուծության մեթոդը ալիքային պարամետրերի միջին մեծությունների նկատմամբ, Հ. Ղամբարյանը ստացել է կապակցություններ այդ պարամետրերի միջին մեծությունների և հոսանքը բնորոշող շափազուրկ համալիրների միջև:

Մասնավորապես ալիքի երկարության միջին շափազուրկ մեծության համար առաջարկվում է հետևյալ էմպիրիկ բանաձևը՝

$$\bar{a}_\lambda / F_{r0} = 0,074 (\bar{l} / 4,2 F_{r0}^{2/3} - 1), \quad (4.17)$$

որտեղ  $\bar{a}_\lambda = a_{\lambda 1} / h_{1r}$ ,  $\bar{l} = l_1 / h_{1r}$ , իսկ  $a$ -ն ցույց է տալիս տվյալ ալիքային պարամետրերի միջին թվաբանական արժեքը:

Ալիքի պարբերության միջին շափազուրկ մեծության համար՝

$$\bar{a}_T = 1,9 (\bar{l} / 4,2 F_{r0}^{2/3} - 1) \quad (4.18)$$

որտեղ  $\bar{a}_T = a_T (g/q)^{1/3}$ ,  $q = Q/b$  ջրի տեսակարար ելքն է:

Ալիքի տարածման արագության միջին շափազուրկ մեծության համար՝

$$\bar{a}_c = 2,2 V_{e0}^{2/3} \quad (4.19)$$

որտեղ

$$\bar{a}_c = a_c (gq)^{-1/3}$$

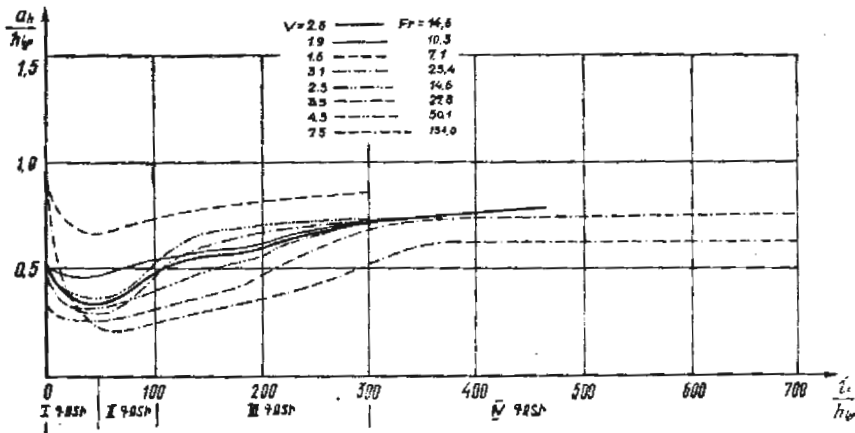
Ալիքի ճակատային մասում խորության միջին շափազուրկ մեծության համար նման պարզ էմպիրիկ կապակցություն չի ստացվում: Այդ կապակցությունը տրված է գրաֆիկորեն, որտեղ այն բերված է

$$\bar{a}_h = \frac{a_h}{h_{gr}} = f(L, Fr_{r0}) \quad (4.20)$$

ձևով (նկ. 4.4):

Գերբուռն հոսանքներում գործող ալիքի առաջացման և զարգացման խնդրի քննարկման ընթացքում հանգուցային հարցերից մեկն է հանդիսանում ըստ ջրանցքի երկարության այն տեղի որոշելը, որտեղ սաղմնավորվում են այդ ալիքները:

Բազմաթիվ փորձնական տվյալների հիման վրա Ն. Ղամբարյանի կողմից ստացված է նման կապ: Որպես ալիքների սաղմնավորման տեղի շահանիշ ընդունված է ջրանցքի երկարության այն գոտին, որտեղ հոսանքի ազատ մակերևույթի տատանումները կազմում են հավասարաչափ շարժման խորության մոտ 10 %-ը:



Նկ. 4.4. Ձև շահագործի մեծության կապը շահագործի երկարությունից և Ֆրուդի թվից:

Արագահոսի սկզբից մինչև այդ գոտին եղած հեռավորությունը, որը պայմանականորեն կոչվում է «ալիքների ծագման տեղ», ջրանցքի և հոսանքի հիդրավիկական ու երկրաչափական բնութագրերի հետ կապված է հետևյալ փորձնական (էմպիրիկ) կապակցությամբ (նկ. 4.5):

$$\bar{l}_{w1} = \frac{l_{w1} B_0}{A_0} = 4.6 Fr_{r0} \quad (4.21)$$

որտեղ  $A_0$ -ն և  $B_0$ -ն հավասարաչափ շարժման ժամանակ ջրանցքի կենդանի կտրվածքը և վերևի լայնությունն են:

Տեղագրելով (4.21) բանաձևի մեջ Ֆրուդի թվի արտահայտությունը՝

$$Fr_{r0} = \frac{\alpha Q^2 B_0}{g A_0^3} \text{ կատանանք՝}$$

$$l_{w1} = 4.6 \frac{\alpha}{g} C_0^2 R_0 \quad (4.22)$$

որտեղ  $R_0$ -ն հավասարաչափ շարժման ժամանակ հիդրավիկական շառավիղն է,  $C_0$ -ն՝ Շեզիի գործակիցը:

Արտահայտելով Շեզիի գործակիցն ըստ Մանինգի, ինչպես նաև ընդունելով  $\alpha = 1.1$ ,  $g = 9.81$  մ/վ<sup>2</sup>, կատանանք՝

$$l_{w1} = 5.06 K^{4/3} / g n^2,$$

կամ՝

$$l_{w1} \approx 0.52 \frac{R_0^{4/3}}{n^2} \quad (4.23)$$

Իսկ եթե արտահայտենք Շեզիի գործակիցը  $C = \sqrt{\frac{8g}{\lambda}}$  տեսքով,

կատանանք՝

$$l_{w1} = 40.5 R_0^{1/2} / C, \quad (4.24)$$

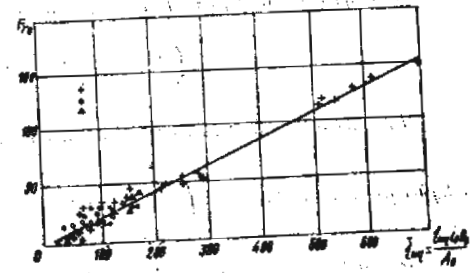
կամ՝

$$\frac{l_{w1}}{R_0} \approx 40 / \lambda C, \quad (4.25)$$

Ն. Ղամբարյանի փորձնական տվյալները ցույց են տալիս, որ բավականաչափ երկարությամբ ջրանցքներում դիտվում է շարժման հետևյալ պատկերը (տես նկ. 4.3 և 4.4):

I գոտի՝ անկման տեղամաս ( $0 \leq \frac{l_0}{h_{gr}} \leq 30$ ),

II գոտի՝ հավասարաչափ շարժման և ալիքների սաղմնավորման տեղամաս ( $30 < \frac{l_0}{h_{gr}} \leq 120$ ),



Նկ. 4.5. Ալիքների ծագման տեղի որոշման էմպիրիկ կորը:

1. ըստ Ն. Ղամբարյանի, 2. ըստ Ռ. Ռ. Բելտի, 3. ըստ Կ. Ի. Արսենիշվիլու:

III գոտի՝ ալիքների բուն զարգացման տեղամաս

$$\left(120 \leq \frac{l_{i0}}{h_{4r}} \leq 300\right),$$

IV գոտի՝ ալիքների պարամետրերի միջին վիճակագրական ար-

$$\left(\frac{l_{i0}}{h_{4r}} \geq 300\right),$$

Այսպիսով, հոսանքների գերբուն ռեժիմի առաջացման անհրաժեշտ պայման են վ. վ. վեդերնիկովի և մյուս հետազոտողների կողմից ստացված (4.14) տեսքի շափանիշները: Գերբուն հոսանքներում ալիքների ծագման շափանիշ կարող է ծառայել

$$l > l_{-1} \quad (4.26)$$

պայմանը, որտեղ  $l_{-1}$ -ը որոշվում է (4.22) կամ (4.24) բանաձևերով, իսկ արդեն տեսանելի ալիքներ կարող են առաջանալ ջրանցքի այնպիսի երկարության դեպքում, երբ

$$l >> (3 \div 4) l_{-1}$$

Դրովորդ ալիքները անցանկալի երևույթ են հիդրոտեխնիկական կառուցվածքների նորմալ աշխատանքի տեսակետից, քանի որ նրանք խախտում են հաշվարկային ռեժիմը, առաջ են բերում ջրծեծ հորերում ջրի պարբերական դուրս նետումներ, լրացուցիչ դինամիկ ծանրաբեռնվածություններ, ինչպես նաև ներքին բյեֆում ողողումների լրացուցիչ աճ:

### 4.3. ԽՐԱՄՈՒՎԱՅԻՆ ԶՐԶԵՌԻ ՀԱՇՎԱՐԿ

Խրամուղային ջրհեռի հիդրավիկական հաշվարկի վերաբերյալ առաջին աշխատությունների հեղինակներից է Հինգսը, որը, օգտվելով շարժման բանաձևերի փոփոխման թեորեմից, ստանում է հեղուկի շարժման դիֆերենցիալ հավասարումը.

$$\frac{dz}{dt} = \frac{v}{g} \cdot \frac{dv}{dt} + \frac{q}{g} \cdot \frac{v^2}{Q} \quad (4.27)$$

և ինտեգրում է այն, ընդունելով ըստ երկարության կտրվածքի միջին արագության փոփոխման  $v = bl^2$  առնչությունը՝

$$z = \frac{\eta + 1}{\eta} \frac{b^2 l^{2\eta}}{2g} = \frac{\eta + 1}{\eta} \frac{v^2}{2g} \quad (4.28)$$

Այստեղ ինտեգրման հաստատունը հավասար է զրոյի, որը նշանա-

կում է, որ  $Z$  օրդինատի առանցքը ուղղված է ուղղաձիգ դեպի ներքև և զրոյական օրդինատը գտնվում է ջրհեռի սկզբնական կտրվածքի ազատ մակերևույթի վրա (նկ. 4.6):

(4.27) դիֆերենցիալ հավասարումը դուրս է բերված ճնշման հիդրոստատիկ բաշխման օրենքով, իդեալական հեղուկի համար, հաշվարկային խորությունները ընդունելով ըստ ուղղաձիգի:

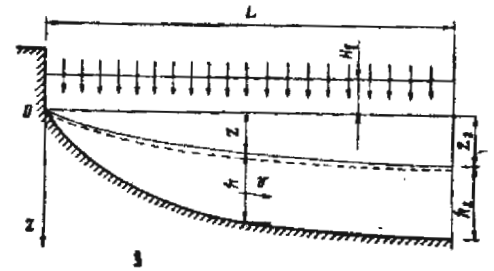
Հինգսի առաջարկած բանաձևում շիման ուժերը հետագայում հաշվի են առնվում Ֆավրի կողմից, որը ազատ մակերևույթի կորի կառուցումը առաջարկում է կատարել ըստ տեղամասերի մոտավոր ինտեգրման եղանակով՝

$$\Delta z = \frac{\bar{v}^2}{n^2 R^3} \Delta l + (1-a) \frac{Q_1^2 - Q_2^2}{2gA^2} + \frac{v_2^2 - v_1^2}{2g}, \quad (4.29)$$

որտեղ  $v$ -ն,  $R$ -ը,  $A$ -ն տվյալ  $\Delta l$  տեղամասի համար միջինացված մեծություններն են:

Խրամուղային ջրհեռի հիդրավիկական հաշվարկի մեթոդներ են առաջարկել նաև Ս. Ս. Ռուզնևը, Թ. Գ. Վոյնիշ-Սյանոժենցկին, Ա. Մ. Կուրգանովը, Խ. Ա. Նավոյանը և ուրիշներ: Սույն գրքում այդ մեթոդների վերլուծությունը չի կատարվում: Հաշվարկի այդ մեթոդների հիմնական թերությունն այն է, որ հեղուկի շարժման դիֆերենցիալ հավասարումը ինտեգրելու համար կատարվում են գործնականում ոչ լիովին պատճառաբանված ընդունելություններ: Օրինակ, Թ. Գ. Վոյնիշ-Սյանոժենցկին ընդունում է, որ բացակայում են շիման ուժերը: Զրո է ընդունվում նաև զանգվածների փոփոխման  $a$  գործակիցը, որը ճիշտ է միայն ուղղանկյուն կտրվածքով պրիզմատիկ ջրհեռներում: Ա. Մ. Կուրգանովը շարժման դիֆերենցիալ հավասարման ինտեգրումը կատարում է ուղղանկյուն կտրվածքով պրիզմատիկ ջրհեռներում, ընդունելով  $i_0 = i$ : Նման բնույթի ընդունելություններ հանդիպում են նաև մյուս հետազոտողների աշխատանքներում:

ԷՉՄ-ի կիրառումը մեզ հնարավորություն է տալիս խուսափելու նշված ընդունելություններից և կատարելու խրամուղային ջրհեռների հիդրավիկական հաշվարկները ինչպես ուղիղ, այնպես էլ հակադարձ խընդիրների համար:



Նկ. 4.6. Խրամուղային ջրհեռի հաշվարկային սխեման ըստ երկարությունների ստացված փոփոխման օրենքի դեպքում:

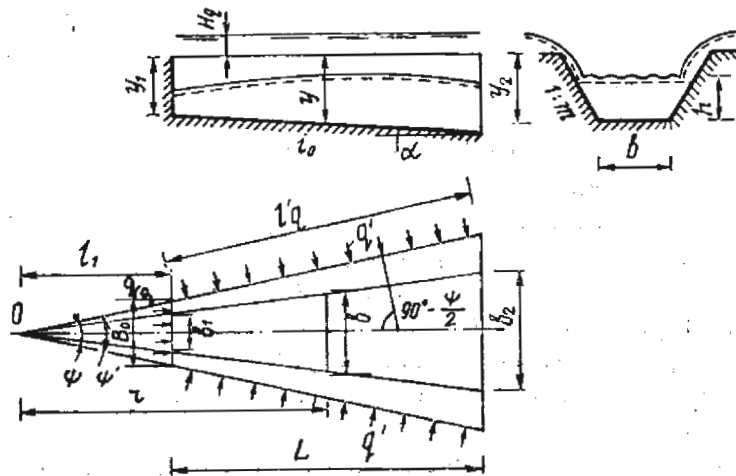
Այնուամենայնիվ, խուսափելով նշված ոչ լիովին պատահառաքանված ընդունելություններից, մեր կողմից առաջարկվող հաշվարկի մեթոդը դեռ բավականին հեռու է կատարյալ լինելուց: Պատճառն այն է, որ խրամուղային ջրհեռներում շարժումը խիստ եռաչափ է և միաչափ շարժման հավասարումները, որոնցից օգտվում ենք, չեն կարող լիովին և ճիշտ նկարագրել շարժման պատկերը: Ս. Մ. Սլիսկին օգտվելով որոշ հետազոտողների փորձնական տվյալներից, գտնում է, որ ջրի միակողմանի ընդունման դեպքում լայնակի կտրվածքում շրջապատյունները քիչ են ազդում ջրհեռում հեղուկի միջին խորություն վրա և գործնականորեն կարելի է օգտագործել միաչափ շարժման հավասարումները:

Քանի որ խրամուղային ջրհեռների հատակի թեքությունը գործնականում արվում է հաստատուն, ապա (3.8) դիֆերենցիալ հավասարումը ընդունում է հետևյալ տեսքը:

$$\frac{dh}{dl} = \frac{\sin\varphi_0 - \frac{Q^2}{A^2 C^2 R} + \frac{\alpha Q^2}{g A^3} \frac{\partial A}{\partial l} - \frac{\alpha(2-\alpha)Q}{g A^2} \frac{dQ}{dl}}{\cos\varphi_0 - \frac{\alpha Q^2}{A g^3} \frac{\partial \lambda}{\partial h}}, \quad (4.3)$$

Հիմնականում խրամուղային ջրհեռների հունը նախագծում են գծային օրենքով լայնացող, սեղանաձև կտրվածքի:

Ջրաթափի շեմքը երկայնական կտրվածքում ընդունվում է հորիզոնական (նկ. 4.7):



Նկ. 4.7. Հաստատուն թեքության խրամուղային ջրհեռի հաշվարկային սխեման:

խրամուղային ջրհեռին մոտեցող հեղուկի շիթերը հիմնական հոսքի շարժման ուղղության հետ կազմում են  $\frac{\pi - \psi'}{2}$  անկյուն:

Ջրաթափի ելքը հեղուկի եռակողմանի ընդունման դեպքում, եթե հեղուկի ընդունման պայմանները ջրհեռի երկայնական ուղղությունով միանման են, կարտահայտվի՝

$$Q = Q_0 + 2q'l'_2 \quad (4.31)$$

որտեղ ջրաթափի ճակատի  $l'_2$  երկարությունը մեկ երկայնական կողմից որոշվում է՝

$$l'_2 = \frac{Q'}{\epsilon \sigma m_1 \sqrt{2gH_2^{3/2}}}, \quad (4.32)$$

որտեղ  $Q'$ -ը մեկ երկայնական կողմից հեղուկի ելքն է: Լայնական կողմի ջրաթափի ելքը՝  $Q_0$ -ն որոշվում է՝

$$Q_0 = q_0 B_0 \quad (4.33)$$

բանաձևով, որտեղ  $q_0$ -ն լայնական կողմից ընդունվող հեղուկի սեսակարար ելքն է, իսկ  $B_0$ -ն ջրաթափի ճակատի երկարությունն է (նկ. 4.7):

Մեկ երկայնական կողմից ընդունվող հեղուկի սեսակարար ելքը որոշվում է՝

$$q' = m' \sqrt{\bar{O}_z} H_2^{2/3} \quad (4.34)$$

բանաձևով, որտեղ  $m' = \sigma \epsilon m_2$ :

Ջրհեռի երկայնական առանցքի երկարությունը կորոշվի՝

$$l = \gamma \cos^2 \psi' / 2: \quad (4.35)$$

Տեսակարար ելքը երկու երկայնական կողմից, ջրհեռի առանցքի ուղղությամբ, կորոշվի՝

$$q_l = 2 \frac{m' \sqrt{2g} H_2^{3/2}}{\cos^2 \psi' / 2}, \quad (4.36)$$

Կամայական կտրվածքում ելքը որոշվում է՝

$$Q_l = Q_0 + q_l(l - l_1), \quad (4.37)$$

որտեղ  $l$ -ը «0» բևեռից մինչև տվյալ կտրվածքը եղած հեռավորությունն է ջրհեռի առանցքի ուղղությամբ: «0» բևեռից մինչև ջրհեռի սկզբի կտրվածքը եղած հեռավորությունը որոշվում է՝

բանաձևով, որտեղ  $\beta$ -ն որոշվում է (3.21) բանաձևով:

$\psi'$  անկյան մեծությունը կարելի է որոշել

$$\operatorname{tg} \psi' / 2 = \frac{b_2 - b_1}{2L} + \operatorname{mtg} \varphi, \quad (4.38)$$

կամ

$$\sin \psi' / 2 = \frac{b_2 - b_1}{2l_2} + \operatorname{mtg} \varphi \cos \psi' / 2 \quad (4.39)$$

հավասարումներից:

Կամայական կտրվածքում հունի հատակում լայնությունը որոշվում է՝  $b = \beta l$  բանաձևով:

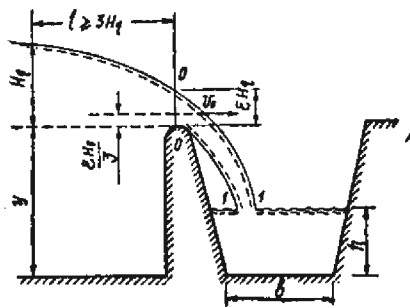
Ստանանք զանգվածների փոփոխման գործակցի ֆունկցիոնալ կապը կախված ճանապարհից:

Անվերջ մեծ ջրամբարից անշատվող շիթի արագությունը ջրաթափի շեմքի վրա (մոտեցման արագությունը անտեսվում է) կարելի է որոշել հետևյալ դիտողություններից:  $\epsilon'$ -ով նշանակենք ջրաթափի շեմքի վրա հեղուկի խորության և շեմքից  $l \geq 3H_2$  հեռավորության վրա  $H_2$  խորության հարաբերությունը (նկ. 4.8):  $\theta = 0$  կտրվածքով անցնող  $Q'$  ելքը (ջրհեռի մեկ երկայնական կողմից) որոշվում է (4.31) բանաձևով

$$Q' = \epsilon \sigma m_1 \sqrt{2g} H_2^{3/2} l_1'$$

Բաժանելով այն  $\theta = 0$  կտրվածքի մակերեսի վրա ( $A = l_1' \epsilon' H_2$ ) կստանանք ջրաթափի շեմքի վրա հոսանքի միջին արագությունը

$$v_0 = \frac{m'}{\epsilon'} (2gH_2)^{1/2}, \quad (4.40)$$



Նկ. 4.8. Խրամուղային ջրհեռի լայնակի կտրվածքի սխեման:

Ընդունելով, որ արագությունների էպյուրի տեսքը եռանկյունաձև է, (միջին արագության ղեկաորր գտնվում է բարձրության մեկ երրորդում), իսկ շիթի շարժումը մինչ հիմնական հոսանքին հանդիպելը կատարվում է սզատ անկումով, կստանանք շիթի միջին արագության շափր 1—1 կտրվածքում՝

$$v = \left( 2g \left( H_2 \left( \frac{m'}{\epsilon'} \right)^2 + y + \frac{\epsilon' H_2}{3} - h \right) \right)^{1/2}, \quad (4.41)$$

որտեղ  $y$ -ը ջրհեռի շեմքի բարձրությունն է (նկ. 4.8), որը որոշվում է

$$y = y_1 + (l - l_1) \operatorname{tg} \varphi, \quad (4.42)$$

կամ

$$y = y_2 - (L + l_1 - l) \operatorname{tg} \varphi, \quad (4.43)$$

բանաձևի օգնությամբ:

Ստացված արագության պրոյեկցիան հիմնական հոսանքի շարժման առանցքի ուղղությամբ կլինի

$$v_s = \left( 2g \left( H_2 \left( \frac{m'}{\epsilon'} \right)^2 + y + \frac{\epsilon' H_2}{3} - h \right) \right)^{1/2} \sin \psi' / 2, \quad (4.44)$$

Ջանգվածների փոփոխման գործակիցը հեղուկի երկկողմանի ընդունման դեպքում կլինի

$$a = \frac{2A \sin \psi' / 2}{Q} \left( 2g \left( H_2 \left( \frac{m'}{\epsilon'} \right)^2 + y + \frac{\epsilon' H_2}{3} - h \right) \right)^{1/2}, \quad (4.45)$$

իսկ միակողմանի ընդունման դեպքում՝ 2 գործակիցը կզատանա 1:

Պրիզմատիկ հուններում (4.30) դիֆերենցիալ հավասարումը ընդունում է հետևյալ տեսքը՝

$$\frac{dh}{dl} = \frac{\sin \varphi - \frac{Q^2}{A^3 C^2 R} - \frac{\alpha(2-a)Q}{gA^2} \frac{dQ}{dl}}{\cos \varphi - \frac{\alpha Q^2}{gA^3} \frac{dA}{dh}}, \quad (4.46)$$

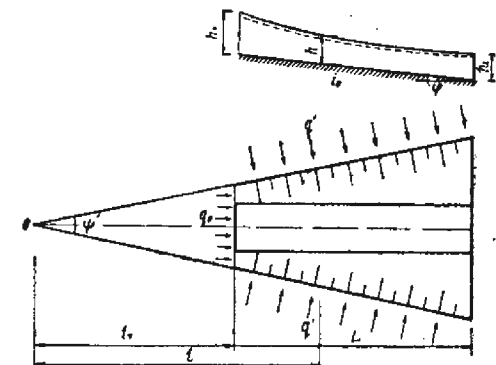
եթե ջրհեռի լայնակի կտրվածքը սեղանաձև է (նկ. 4.9) ապա՝

$$l_1 = \frac{b + 2my_1}{2l \psi' / 2}, \quad (4.47)$$

որտեղ

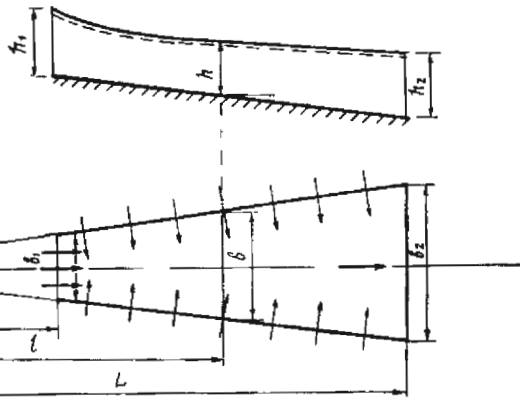
$$\operatorname{tg} \psi' / 2 = \operatorname{mtg} \varphi \quad (4.48)$$

Արտածված մյուս բանաձևերը այդ դեպքի համար նույնն են, ինչ որ պրիզմատիկ սեղանաձև կտրվածքով ջրանցքների համար:



Նկ. 4.9. Սեղանաձև կտրվածքով պրիզմատիկ խրամուղային ջրհեռի հավաք կային սխեման:

4.4. ԿՈՂԱՅԻՆ ՋՐՀԵՌՆԵՐԻ ՀԱՇՎԱՐԿԸ



Նկ. 4.10. Ուղղանկյուն կտրվածքով ոչ պրիզմատիկ խրամուղային ջրհեռի սխեման:

Ոչ պրիզմատիկ ուղղանկյուն կտրվածքով խրամուղային ջրհեռներում (նկ. 4.10)  $\psi'$  անկյունը բացակայում է և հաշվարկային բանաձևերը ստանում են հետևյալ տեսքը:

$$L = l_1 \cos \psi / 2, \quad (4.49)$$

$$q_l = \frac{2m' \sqrt{2g} H_1^{3/2}}{\cos \psi / 2}, \quad (4.50)$$

$$a = \frac{2A \sin \psi / 2}{Q} \left( 2.1 \left( H_1 \left( \frac{m'}{\epsilon'} \right)^2 + y + \frac{\epsilon' H_1}{3} - h \right) \right)^{1/2}, \quad (4.51)$$

Պրիզմատիկ ուղղանկյուն կտրվածքով խրամուղային ջրհեռներում (նկ. 4.11):

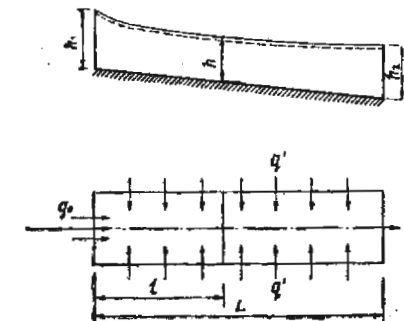
$$L = l_1, \quad (4.52)$$

$$q_l = 2m' \sqrt{2g} H_1^{3/2}, \quad (4.53)$$

$$y = y_1 + tg \varphi, \quad (4.54)$$

$$a = 0, \quad (4.55)$$

Ուղղանկյուն կտրվածքով ոչ պրիզմատիկ և պրիզմատիկ խրամուղային ջրհեռների հաշվարկը կատարվում է համապատասխանաբար (4.30) և (4.46) դիֆերենցիալ հավասարումների օգնությամբ:



Նկ. 4.11. Ուղղանկյուն կտրվածքով պրիզմատիկ խրամուղային ջրհեռի հաշվարկային սխեման:

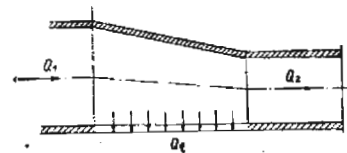
Կողային ջրհեռ մի կառուցվածք է, որը ծառայում է տվյալ ջրանցից կողային ջրաթափի միջոցով ջուրը տեղափոխելու մի այլ լծորդած ջրանցք:

Կողային ջրաթափերը կառուցում են ջրանցքի ինչպես պրիզմատիկ, յնպես և ոչ պրիզմատիկ հատվածներում:

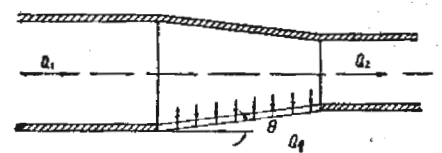
Կողային ջրաթափի ճակատը հիմնականում կառուցում են զուգանո ջրանցքի առանցքի ուղղությամբ, որը կոչվում է ուղիղ կողային ջրաթափ (նկ. 4.12):

Որոշ դեպքերում ջրհեռի ելքը մեծացնելու նպատակով կողային ջրաթափի ճակատը կառուցում են ջրանցքի առանցքի նկատմամբ 15—20° անկյան տակ թեքված, որը կոչվում է շեղ կողային ջրաթափ (նկ. 4.13):

Կողային ջրաթափի հիդրավլիկական հաշվարկի վերաբերյալ կա-



Նկ. 4.12. Ուղիղ կողային ջրաթափի հատակագիծը:



Նկ. 4.13. Շեղ կողային ջրաթափի հատակագիծը:

տարված են բավականին շատ հետազոտություններ, սակայն ստացված արդյունքները ոչ միայն սպառիչ պատասխան չեն տալիս շատ հարցերի, այլ նաև հաճախ հակասում են միմյանց: Կողային ջրաթափի վերաբերյալ առաջին փորձնական հետազոտությունները կատարվել են դեռևս 1916 թ. Գրեզդենում, էնգելսի կողմից, որտեղ արձանագրվեց, որ ջրաթափի վրա հեղուկի հորիզոնը ըստ շարժման ուղղության աճում է: Քոլեմանի և Սմիթի փորձնական հետազոտությունները, կատարված Մանչեստրի տեխնոլոգիական ինստիտուտում, տվեցին հակասական արդյունք՝ հեղուկի հորիզոնը ըստ շարժման ուղղության նվազում է:

Պարզվում է, որ հեղուկի հորիզոնի բարձրացումը տեղի է ունենում հանդարտ, իջեցումը՝ բուռն շարժման դեպքերում: Այս երևույթը առաջինը տեսականորեն մեկնաբանել է Դե-Մարկին:

Կողային ջրաթափի հաշվարկը կատարելու համար Դե-Մարկին առաջարկել է կանխադրույթ, որ կենդանի կտտրվածքի տեսակարար էներգիան ըստ ջրաթափի ճակատի երկարության մնում է հաստատուն: Դա կարող է տեղի ունենալ միայն այն դեպքում, երբ զանգվածների փոփոխման գործակիցը՝  $a \geq 1$ :

Գ. Ա. Պետրովը գտնում է, որ այդ կանխադրույթը սխալ է: Կողային ջրաթափում  $a \ll 1$ , և առաջարկում է հաշվարկներում ընդունել  $a=0$ :

Ինչպես ցույց է տվել շատ հետազոտողների փորձնական արդյունքների մշակումը,  $a=0$  դեպքում շեղումը շատ ավելի մեծ է, քան  $a=1,0$  դեպքում:

Ըստ Խ. Ա. Նավոյանի հետազոտությունների  $a=1,0$  դեպքում փորձնական և տեսական արժեքների շեղումը կազմում է մոտ 5%, իսկ  $a=0$  դեպքում՝ 45—50%:

Էնգելսի, Ա. Մ. Կուրգանովի և Վ. Լ. Թոքմաջյանի փորձնական հետազոտությունների արդյունքների մշակումը ցույց է տվել, որ փորձնական և տեսական արդյունքները լավ են համընկնում, երբ  $a=0,9-1,2$ , իսկ  $a=0$  դեպքում շեղումները անհամեմատ մեծ են:

Իհարկե, գիտության արդի ժամանակաշրջանում օգտվել Կե-Մարկիի առաջարկած կանխադրույթից խորհուրդ չի տրվում, քանի որ այն ոչ լիովին է արտացոլում շարժումը բնութագրող մեծությունները: Սակայն որակապես այն ավելի ճիշտ է արտացոլում շարժումը, քան համախօս օգտագործվող էմպիրիկ բանաձևերի: Այդ ենթադրությանն են հանգել էլ—Կասարը, Սմիթը և Ս. Ս. Ռուզնևը վերլուծելով իրենց փորձնական հետազոտությունները:

Կողային ջրաթափի հիդրավիկական հաշվարկը նպատակահարմար է կատարել էՉՄ-ների օգնությամբ, ինտեգրելով հեղուկի անհավասարաչափ շարժման և թափվող ելքի դիֆերենցիալ հավասարումների համակարգը:

Քանի որ կողային ջրաթափները նպատակահարմար է կառուցել ջրանցքի ուղիղ թեքությունում, ապա օգտվենք հեղուկի շարժման (4.1) դիֆերենցիալ հավասարումից և ջրաթափի բանաձևից:

$$\frac{dh}{dl} = \frac{\sin \varphi_0 \left( \frac{Q^2}{A^2 C R} + \frac{a Q^2}{g A^3} \frac{\partial A}{\partial l} - \frac{(2-a) a Q}{g A^2} \frac{dQ}{dl} \right)}{\cos \varphi_0 - \frac{a Q^2}{g A^3} \frac{\partial A}{\partial h}},$$

$$\frac{dQ}{dl} = -m_4 \sqrt{2g(h-p)^{3/2}} \quad (4.56)$$

որտեղ  $m_4$ -ն կողային ջրաթափի ելքի գործակիցն է,  $p$ -ն շեմքի բարձրությունն է:

Տվյալ միաչափ հաշվարկային սխեմայում հաշվարկները կատարված են հետևյալ պայմանների համար.

ա) շարժումը կայունացած է,

բ) զանգվածների փոփոխման գործակիցը ընդունվում է հաստատուն, քանի որ ընդհանուր դեպքում հնարավոր չէ որոշել մասնիկների արագությունների վեկտորների ուղղությունը: Գործնական հաշվարկներին համար այն նպատակահարմար է ընդունել  $a=1,0-1,2$  միջակայքում,

գ) արհամարհվում են ազատ մակերևույթի կորացման պատճառով առաջացող կենտրոնախույս ուժերը, որի հետևանքով հաշվարկային սխեմայում շեն մասնակցում տեղական այնպիսի երևույթներ, ինչպիսիք են հոսանքի սեղմումը մինչև ջրաթափը և նրանից հետո հոսանքի առջումը դեպի ջրաթափ,

դ) կողային ջրաթափի ելքի  $m_4$  գործակցի տեսականորեն ճիշտ որոշումը հնարավոր չէ:

Ս. Ս. Ռուզնևը, Խ. Ա. Նավոյանը, Կոզեյնը և ուրիշներ գտնում են, որ առանց մեծ սխալի  $m_4$  գործակիցը կարելի է որոշել նաև սովորական ջրաթափերի համար:

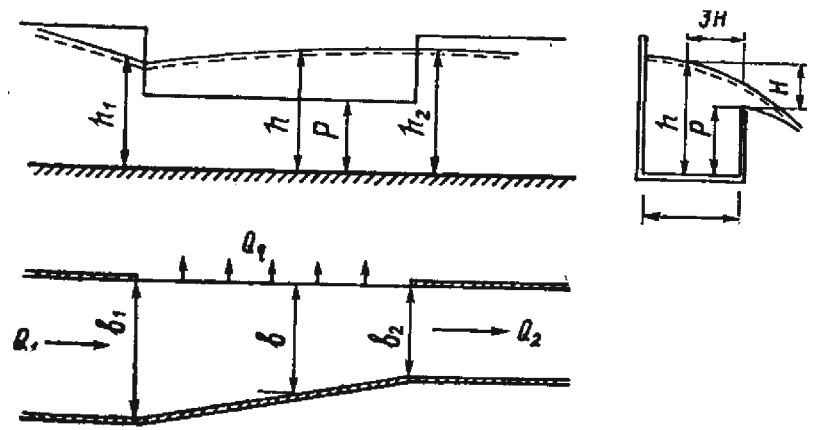
Գոյություն ունեն նաև  $m_4$  գործակցի որոշման մի շարք էմպիրիկ բանաձևեր, որոնցից կարելի է նշել Լ. Ա. Սիմոնյանի բանաձևերը ուղղանկյուն կտրվածքով պրիզմատիկ ջրանցքներում կառուցված շիբոզված սուր շուրթով կողային ջրաթափերի համար՝

$$m_4 = 0,25 + 0,167 \left( \frac{h_1 - p}{h_2 - p} - \sqrt{\frac{Q_2^2}{g h_2^3 b^2}} \right), \quad (4.57)$$

և գործնական պրոֆիլով ջրաթափերի համար՝

$$m_4 = 0,287 + 0,169 \left( \frac{h_1 - p}{h_2 - p} - \sqrt{\frac{Q_2^2}{g h_2^3 b^2}} \right), \quad (4.58)$$

որտեղ  $h_1$ ,  $Q_1$ ,  $h_2$ ,  $Q_2$ -ը համապատասխանաբար հոսանքի խորությունն ու ելքն են ջրաթափից առաջ և հետո (նկ. 4.14):



Նկ. 4.14. Կողային ջրաթափի հաշվարկային սխեման:

Ա. Մ. Կուրգանովը առաջարկում է կողային ջրաթափի էլքի գործակիցը ընդհանուր դեպքում որոշել

$$m'_4 = \varepsilon_4 m_4 \quad (4.59)$$

բանաձևով, որտեղ  $\varepsilon$ -ը կողային սեղմման, իսկ  $\sigma_4$ -ն՝ ճնշումների փոփոխման գործակիցներն են:

Պրիզմատիկ կողային ջրաթափերի համար

$$\varepsilon = 1 - \frac{Q_1^2}{2gA_1^2 L}, \quad (4.60)$$

Ոչ պրիզմատիկ (նեղացող) կողային ջրաթափերի համար

$$\varepsilon = 1 - 0.525 \frac{Q_1^2}{gA_1^2 L}, \quad (4.61)$$

որտեղ  $A_{1-2}$ -ը ջրաթափի սկզբնական լայնակի կտրվածքի մակերեսն է, ընդունելով, որ հոսանքի խորությունը հավասար է ջրաթափի վերջին կտրվածքի խորությանը ( $h_2$ ):

Ճնշումների փոփոխման  $\sigma_4$  գործակիցը պրիզմատիկ կողային ջրաթափերում որոշվում է՝

$$\sigma_4 = 1 - 0.275 \frac{Q_1^2}{gA_2^2 H_2} \quad (4.62)$$

Երբ

$$Q_2/Q_1 \leq 0.63,$$

$$\sigma_4 = 1 - 0.75 \frac{Q_1 Q_2}{hA_2^2 H_2}, \quad (4.63)$$

Երբ

$$Q_2/Q_1 > 0.63,$$

Ոչ պրիզմատիկ նեղացող կողային ջրաթափերում

$$\sigma_4 = 1 - \frac{0.35}{gH_2^2} \left( \frac{Q_1^2}{A_{1-2}^2} - \frac{Q_2^2}{A_2^2} \right),$$

Երբ

$$\frac{1}{H_2^2} \left( \frac{Q_1^2}{A_{1-2}^2} - \frac{Q_2^2}{A_2^2} \right) > 10. \quad (4.64)$$

ապա հաշվարկներում կարելի է ընդունել  $\sigma_4 = 0.65$ :

Եթե կողային ջրաթափը սուզված է, ապա (4.59) բանաձևում ավելանում է  $\sigma_u$  սուզվածության գործակիցը, որը կարելի է որոշել

$$\sigma_u = 0.9 \sqrt{1 - \left( \frac{h_*}{H_2} \right)^2} \quad (4.65)$$

բանաձևով, որտեղ  $h_u$ -ը ջրաթափի սուզման խորությունն է:

Պետք է նշել, որ (4.59)–(4.65) բանաձևերի օգտագործումը կապված է մի շարք բարդությունների հետ, քանի որ նախապես անհայտ են այդ բանաձևերում մասնակցող որոշ մեծությունների արժեքները: (4.59)–(4.65) բանաձևերի օգնությամբ կողային ջրաթափի հաշվարկ կատարելու համար (4.56) համակարգի ինտեգրման մեթոդով նախ պետք է որոշել կողային ջրաթափի սկզբնական և վերջնական կտրվածքներում բոլոր հիդրավլիկական ընթացքող մեծությունները, ընդունելով  $\varepsilon = 1.0$ ,  $\sigma_4 = 1.0$  (սուզված ջրաթափի ժամանակ նաև  $\sigma_u = 1.0$ ), որից հետո հաշվելով  $\varepsilon$ -ը  $\sigma_4$ -ը  $\sigma_u$ -ը հաշվարկը կատարել նորից: Հաշվարկը պետք է կատարել այնքան անգամ, մինչև ստացված արժեքների շեղումները չգերազանցեն թույլատրելի արժեքները (5 %):

Հիմնականում կարող են հանդիպել կողային ջրաթափի հիդրավլիկական հաշվարկի երեք դեպքեր:

**1-ին դեպք:** Տրված են էլքերը ջրաթափի սկզբում և վերջում ( $Q_1$  և  $Q_2$ ), ջրաթափի լայնական կտրվածքի ձևը, ինչպես նաև ջրանցքի երկրաչափական մեծությունները՝ սկզբնական և վերջնական կտրվածքներում հատակի լայնությունները ( $b_1$  և  $b_2$ ), հունի թեքությունը ( $i_0$ ), խորությունը ( $H$ ), գործակիցը ( $\sigma$ ), ջրաթափի շեմքի բարձրությունը ( $p$ ):

Պահանջվում է որոշել ջրաթափի ճակատի երկարությունը ( $L$ ) և կառուցել ազատ մակերևույթի կորը:

ա) Կողային ջրաթափում հեղուկի շարժումը բուռն է:

Ակնհայտ է, որ ջրաթափի էլքը  $Q_2 = Q_1 - Q_2$ :

Բուռն շարժման ժամանակ դիֆերենցիալ հավասարումների (4.56) համակարգի Եզրային պայմաններն են հոսանքի  $Q_1$  էլքը ջրաթափի սկզբում և  $h_1$  խորությունը:

$h_1$  խորությունը բաց տրված էլքի որոշվում է ջրաթափին նախորդող ջրանցքի հատվածի հիդրավլիկական պայմաններից:

Ինտեգրում ենք դիֆերենցիալ հավասարումների (4.56) համակարգը մինչև հոսանքի էլքը հավասարվի  $Q_2$ -ի, որին համապատասխանող երկարությունը կլինի ջրաթափի ճակատի երկարությունը՝  $l = L\varepsilon$ , իսկ  $h = h(l)$  կետերի կոորդինատները կհամապատասխանեն ազատ մակերևույթի կորի կոորդինատներին:

բ) Կողային ջրաթափում հեղուկի շարժումը հանդարտ է:

Հանդարտ շարժման ժամանակ դիֆերենցիալ հավասարումների (4.56) Եզրային պայմանները կլինեն հոսանքի  $Q_2$  էլքը և  $h_2$  խորությունը ջրաթափի վերջում:

Ըստ տրված  $Q_2$  ելքի ջրաթափի հաջորդող ջրանցքի հատվածի հիդրավիկական պայմաններից որոշվում է հոսանքի  $h_2$  խորությունը: Ինտեգրելով դիֆերենցիալ հավասարումների (4.56) համակարգը շարժման հակառակ ուղղությամբ մինչև հոսանքի ելքը հավասարվի  $Q_1$ -ի, որոշում ենք ջրաթափի ճակատի  $L_2$  երկարությունը և կառուցում ազատ մակերևույթի կորը:

**Օրինակ 4.2:** Ուղղանկյուն կտրվածքով կողային ջրաթափում հեղուկի շարժումը հանդարտ է:  $Q_1=30$  մ<sup>3</sup>/վ,  $Q_2=16$  մ<sup>3</sup>/վ,  $b_1=b_2=16,0$  մ,  $i_0=0,0001$ ,  $n=0,013$ ,  $p=1,07$  մ:

Պահանջվում է որոշել ջրաթափի ճակատի  $L_2$  երկարությունը և կառուցել ազատ մակերևույթի կորը:

Այս օրինակը վերցված է Ա. Մ. Կուրգանովի և Վ. Գ. Գուպլյակի գրքից<sup>1</sup>: Այնտեղ լուծումը կատարված է այլ (մոտավոր) եղանակով և ստացված արդյունքները հեռու են իրականին մոտ լինելուց: Հետագայում դա կերևա ստացված արժեքների համեմատության ժամանակ:

Լուծում: Ակնհայտ է, որ ջրաթափի ելքը կլինի՝

$$Q_1=Q_1-Q_2=30-16=14,0 \text{ մ}^3/\text{վ}:$$

Ըստ ջրաթափին հաջորդող ջրանցքի հատվածի հիդրավիկական պայմանների, ջրաթափի վերջում առաջանում է  $Q_2=16,0$  մ<sup>3</sup>/վ ելքին համապատասխանող  $h_2=1,24$  մ խորություն (վերցված է սվայլ օրինակի պայմաններից):

Ստացված արժեքների համեմատություն կատարելու համար  $m_2$ ,  $\sigma_4$  և  $\epsilon$ -ի արժեքները ընդունվում է նույնը, ինչպես նշված գրքում՝  $m_2=0,41$ ,  $\sigma_4=0,62$ ,  $\epsilon=1,0$ :

Պրիզմատիկ կողային ջրաթափերում դիֆերենցիալ հավասարումների (4.56) համակարգը ընդունում է հետևյալ տեսքը.

$$\frac{dh}{dl} = \frac{i_0 - \frac{Q^2}{A^2 C^2 R} - \frac{\alpha(2-a)Q}{gA^2}}{1 - \frac{\alpha Q^2}{g} \frac{B}{A^3}} \cdot \frac{dQ}{dl}, \quad (4.66)$$

$$\frac{dQ}{dl} = -m_2 \sigma_4 \epsilon \sqrt{2g(h-p)^{3/2}},$$

Երկրաչափական և հիդրավիկական ընութագրող մեծությունները

ուղղանկյուն կտրվածքի ջրանցքների համար որոշվում են հետևյալ առնչություններից  $A=bh$ ,  $R=\frac{bh}{b+2h}$ ,  $C=\frac{1}{n}R^{1/6}$  (ըստ Մանինգի)

Հաշվի տոնելով սվայլ առնչությունները և տեղադրելով հայտնի սվայլները դիֆերենցիալ հավասարումների համակարգի մեջ, կատարենք ինտեգրում է  $L_2$ -ի միջոցով (ինտեգրումը կատարված է շարժման հակառակ ուղղությամբ,  $l=0$  համապատասխանում է ջրաթափի վերջին):

Ստացված արդյունքները բերված են աղյուսակ 4.3-ում:

Աղյուսակ 4.3

4.2 օրինակի հաշվարկի արդյունքները

| $L$ մ                 | 0     | 50    | 100   | 150   | 200   | 250   | 284   |
|-----------------------|-------|-------|-------|-------|-------|-------|-------|
| $Q$ մ <sup>3</sup> /վ | 16    | 19,61 | 22,59 | 25,05 | 27,11 | 28,91 | 30,02 |
| $h$ մ                 | 1,240 | 1,220 | 1,201 | 1,186 | 1,175 | 1,166 | 1,163 |

Ջրաթափի սկզբում ստացվում է  $h_1=1,163$  մ խորություն, իսկ ջրաթափի ճակատի երկարությունը՝  $L_2=284$  մ:

Ըստ Ա. Մ. Կուրգանովի ստացված արդյունքների  $h_1=1,16$  մ,  $L_2=175$  մ:

Ինչպես տեսնում ենք, ջրաթափի ճակատի երկարությունը ըստ Ա. Մ. Կուրգանովի ստացվում է ղգալիորեն պակաս (109 մ), քան մեր հաշվարկում:

Կատարենք ստացված տարբերությունը բացատրող որակական վերլուծություն:

Թափվող ջրի ելքը որոշենք ջրաթափի ունիվերսալ բանաձևով ըստ Թափվող ջրի միջին խորության:

$$Q_2 = m_2 L_2 \sqrt{2g(h-p)^{3/2}}$$

$$m_2 = 0,41 \cdot 0,621 \cdot 1 = 0,254,$$

$$H = \frac{\sum_{i=1}^n h_i}{n} = 1,193 \text{ մ},$$

$$L_2 = \frac{Q_2}{m_2 \sqrt{2g(H-p)^{3/2}}} = \frac{14,0}{0,254 \sqrt{2 \cdot 9,81(1,193-1,07)^{3/2}}} = 288,4 \text{ մ}:$$

(ըստ մեր արդյունքների  $L_2=284$  մ):

<sup>1</sup> А. М. Курганов, В. Д. Дупляк — Гидравлический расчет водопропускных сооружений, Киев, 1982, 96 с.

4.8. օրինակի ազատ մակերևույթի կորի կոորդինատները և էլքի մեծությունները

|                                  |       |       |       |       |       |       |       |      |
|----------------------------------|-------|-------|-------|-------|-------|-------|-------|------|
| l, մ                             | 0     | 1     | 2     | 3     | 4     | 5     | 6     | 6.7  |
| h, մ                             | 1,8   | 1,702 | 1,652 | 1,621 | 1,60  | 1,587 | 1,577 | 1,57 |
| Q <sub>2</sub> մ <sup>3</sup> /վ | 24,61 | 23,16 | 21,89 | 20,72 | 19,61 | 18,53 | 17,48 | 16,7 |

$$Q_1 = Q_1 - Q_2 = 24,61 - 16,7 = 7,91 \text{ մ}^3/\text{վրկ}$$

Ստացված արդյունքը ցույց է տալիս Ա. Մ. Կուրգաևովի կողմից բերված մեթոդի խիստ մոտավորությունը:

**2-րդ դեպք:** Հայտնի են կողային ջրաթափի սկզբնական կտրվածքում Q<sub>1</sub> էլքը, ինչպես նաև հունի երկրաչափական բնութագրող մեծությունները: Պահանջվում է որոշել էլքը ջրաթափի վերջում և կառուցել ազատ մակերևույթի կորը:

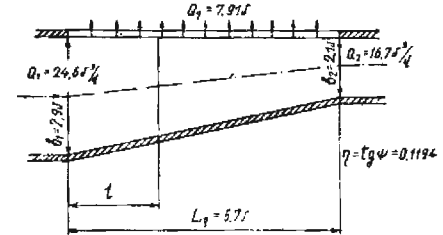
ա) Զրի շարժման վիճակը բուռն է:

Դիֆերենցիալ հավասարումների (4.56) համակարգի եզրային պայմաններն են հոսանքի Q<sub>1</sub> էլքը և h<sub>1</sub> խորությունը ջրաթափի սկզբում: h<sub>1</sub> խորությունը ըստ Q<sub>1</sub> տրված էլքի որոշվում է ջրաթափին նախորդող ջրանցքի հատվածի հիդրավիկական պայմաններից:

Ինտեգրումը կատարում է l=0-ից մինչև l=L<sub>2</sub>, որին համապատասխանող Q<sub>2</sub> էլքը կհամապատասխանի ջրաթափի էլքին վերջին կտրվածքում, իսկ h=h(l) կուրդինատները՝ ազատ մակերևույթի կորի կոորդինատներին:

**Օրինակ 4.3:** Ուղղանկյուն կտրվածքով հատակագծում գծային օրենքով նեղացող ջրաթափում (նկ. 4.15) շարժման վիճակը բուռն է: Տրված են նաև Q<sub>1</sub>=24,61 մ<sup>3</sup>/վ, h<sub>1</sub>=1,8 մ, b<sub>1</sub>=2,9 մ, b<sub>2</sub>=2,1 մ, p=0,9 մ; n=0,02, i<sub>0</sub>=0,012, L<sub>2</sub>=6,7 մ, m<sub>1</sub>=0,42, a=1,0:

Պետք է որոշել էլքը ջրաթափի վերջում և կառուցել ազատ մակերևույթի կորը:



Նկ. 4.15. Օրինակ 4.3-ի հավարկային սխեման:

Լուծում: Դիֆերենցիալ հավասարումների (4.56) համակարգը ձևափոխենք ըստ տրված պայմանների:

Հայնակի կտրվածքի մակերեսը (ուղղանկյուն) կլինի՝  $A = bh = (b_1 - \eta l)h$ , որտեղ

$$\eta = \frac{b_1 - b_2}{l} = 0,1194, \quad C = \frac{1}{n} R^2,$$

Կ-ը որոշում ենք ըստ Ն. Ն. Պավլովսկու կրճատ բանաձևի ( $2y = 0,368$ ):

$$R = \frac{bh}{b + 2h} = \frac{(b_1 - \eta l)h}{b_2 - \eta l + 2h}, \quad \frac{\partial A}{\partial l} = -\eta h, \quad \frac{\partial A}{\partial h} = B = b_1 - \eta h;$$

Ինտեգրելով ստացված դիֆերենցիալ հավասարումների (4.56) համակարգը h<sub>1</sub>=1,8 մ և Q<sub>1</sub>=24,61 մ<sup>3</sup>/վ եզրային պայմանների դեպքում l=0-ից մինչև l=L<sub>2</sub>=6,7 մ ստանում ենք ազատ մակերևույթի կորի կոորդինատները և ջրաթափի էլքը:

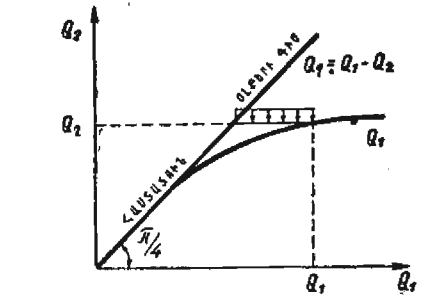
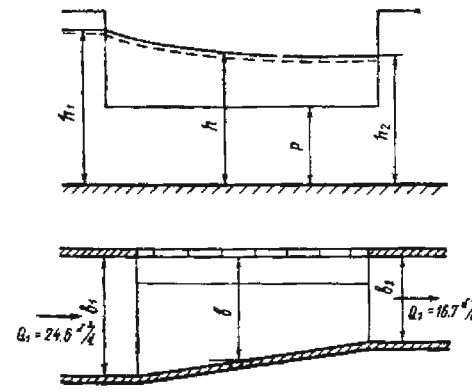
Աղյուսակ 4.4-ում և նկար 4.16-ում բերված են ազատ մակերևույթի կորի տեսքը, կոորդինատները և ջրաթափի Q<sub>2</sub> էլքի արժեքը:

բ) Զրի շարժման վիճակը հանդարտ է:

Դիֆերենցիալ հավասարումների (4.56) համակարգի եզրային պայմաններն են հոսանքի Q<sub>2</sub> էլքը և h<sub>2</sub> խորությունը ջրաթափի վերջում: Խնդիրը լուծվում է բնտրության եղանակով: Q<sub>2</sub> էլքին տալով կամայական արժեքներ, ջրաթափին հաջորդող ջրանցքի հատվածի հիդրավիկական պայմաններից որոշում ենք նրանց համապատասխանող h<sub>2</sub> խորությունները: Ինտեգրելով (4.56) համակարգը, ջրի շարժման հակառակ ուղղությամբ որոշում ենք ջրաթափի սկզբում Q<sub>1</sub> էլքերը, որոնք համապատասխանում են Q<sub>2</sub> կամայական էլքերին: Կառուցում ենք

Q<sub>1</sub>=f(Q<sub>2</sub>) կորը (նկ. 4.17):

Q<sub>1</sub>=f(Q<sub>2</sub>) կորի օգնությամբ որոշում ենք տրված Q<sub>1</sub> էլքին



Նկ. 4.16. Օրինակ 4.3-ի հաշվարկային սխեման և ազատ մակերևույթի կորը: Նկ. 4.17. Կողային ջրաթափի Q<sub>1</sub>=f(Q<sub>2</sub>) կորը:

համապատասխանող Q<sub>2</sub> էլքը: Զրաթափին հաջորդող ջրանցքի հատվածի հիդրավիկական պայմաններից որոշելով Q<sub>2</sub> էլքին համապատասխանող h<sub>2</sub> խորությունը և ինտեգրելով դիֆերենցիալ հավասարումների (4.56) համակարգը, կառուցում ենք ազատ մակերևույթի կորը:

**Օրինակ 4.4:** Որոշել ուղղանկյուն կտրվածքի, գծային օրենքով նեղացող կողային ջրաթափի էլքը ջրի շարժման հանդարտ վիճակի

դեպքում, եթե հայտնի է, որ ջրաթափի վերջում, րստ ջրաթափին հաջորդող ջրանցքի հատվածի հիդրավիկական պայմանների, հաստատվում է նորմալ խորութուն:

Տրված են՝  $Q_1 = 82,5 \text{ մ}^3/\text{վ}$ ,  $b_1 = 11 \text{ մ}$ ,  $b_2 = 7,0 \text{ մ}$ ,  $p = 2,8 \text{ մ}$ ,  $i_0 = 0,00068$ ,  $n = 0,02$ ,  $L_2 = 16,3 \text{ մ}$ :

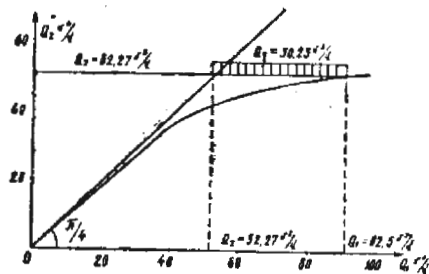
Լուծում: Որպեսզի կառուցենք  $Q_1 = f(Q_2)$  կորը,  $Q_2$  ելքին տանք մի քանի կամայական արժեքներ  $Q_2 = 38; 45,06; 48,64; 55,95 \text{ մ}^3/\text{վ}$ : Ըստ այս ելքերի որոշելով նորմալ խորութունները և ինտեգրելով դիֆերենցիալ հավասարումների (4.56) համակարգը, ստանում ենք նրանց համապատասխանող ելքերը ջրաթափի սկզբում (տես աղյուսակ 4.5)

Աղյուսակ 4.5

4.4 օրինակի  $Q_1 = f(Q_2)$  կորի կորդինատները

|                            |       |       |       |       |
|----------------------------|-------|-------|-------|-------|
| $Q_2 \text{ մ}^3/\text{վ}$ | 38    | 45,06 | 48,64 | 55,95 |
| $Q_1 \text{ մ}^3/\text{վ}$ | 42,03 | 60,42 | 71,08 | 94,60 |

Ըստ աղյուսակ 4.5-ի ամլալների կառուցվում է  $Q_1 = f(Q_2)$  կորը (նկ. 4.18): Ըստ նկ. 4.18-ի  $Q_1 = 82,5 \text{ մ}^3/\text{վ}$  ելքին համապատասխանում է  $Q_2 = 52,27 \text{ մ}^3/\text{վ}$  ելքը:



նկ. 4.18. Օրինակ 4.4-ի  $Q_1 = f(Q_2)$  կորը:

Ջրաթափի ելքը կլինի  $Q_2 = Q_1 - Q_2 = 82,5 - 52,27 = 30,23 \text{ մ}^3/\text{վ}$ :

**Ցող դեպք:** Հայտնի են կողային ջրաթափից հետո  $Q_2$  ելքը և ջրաթափի երկրաչափական պարամետրերը:

Պահանջվում է որոշել ջրաթափի  $Q_2$  ելքը և կառուցել ազատ մակերևույթի կորը:

ա) Շարժման վիճակը բուռն է:

Դիֆերենցիալ հավասարումների (4.56) համակարգի եզրային պայմանները բուռն շարժման դեպքում կլինեն  $Q_1$  ելքը և  $h_1$  խորութունը ջրաթափի սկզբում:

Ըստ կամայական վերջված  $Q_1$  ելքի արժեքների, ջրաթափին նախորդող ջրանցքի հիդրավիկական պայմաններից որոշում ենք նրանց համապատասխանող խորութունները և ինտեգրելով դիֆերենցիալ հավասարումների (4.56) համակարգը, կառուցում ենք  $Q_2 = f(Q_1)$  կորը (նկ. 4.17):

Ըստ տրված  $Q_2$  ելքի արժեքի, որոշվում է  $Q_1$  ելքը և նրան համապատասխանող  $h_1$  խորութունը:

Ջրաթափի ելքը կլինի  $Q_2 = Q_1 - Q_2$ :

Ինտեգրելով դիֆերենցիալ հավասարումների (4.56) համակարգը րստ ստացված եզրային պայմանների, կառուցվում է ազատ մակերևույթի կորը:

բ) Շարժման վիճակը հանդարտ է:

Դիֆերենցիալ հավասարումների (4.56) համակարգի եզրային պայմաններն են  $Q_2$  ելքը և  $h_2$  խորութունը ջրաթափի վերջում:

Ըստ տրված  $Q_2$  ելքի, ջրաթափին հաջորդող ջրանցքի հիդրավիկական պայմաններից որոշվում է  $h_2$  խորութունը և ինտեգրելով դիֆերենցիալ հավասարումների (4.56) համակարգը  $l = L_2$ -ից մինչև  $l = 0$  (հիմնական շարժման հակառակ ուղղությամբ) կառուցվում է ազատ մակերևույթի կորը և որոշվում  $Q_1$  ելքը ջրաթափի սկզբում:

Ջրաթափի ելքը կլինի՝  $Q_2 = Q_1 - Q_2$ :

Շեղ կողային ջրաթափերի (նկ. 4.13) հիդրավիկական հաշվարկի մեթոդները դեռևս քիչ են հետազոտված: Դիֆերենցիալ հավասարումների (4.56) համակարգը այդ դեպքում ունի հետևյալ տեսքը.

$$\frac{dh}{dl} = \frac{\sin\varphi - \frac{Q^2}{A^2 C^2 R} + \frac{\alpha Q^2}{g A^3} \frac{\partial A}{\partial l} - \frac{\alpha(2-a)}{g A^2} Q \frac{dQ}{dl}}{\cos\varphi - \frac{\alpha Q^2}{g A^3} \frac{\partial A}{\partial l}}, \quad (4.67)$$

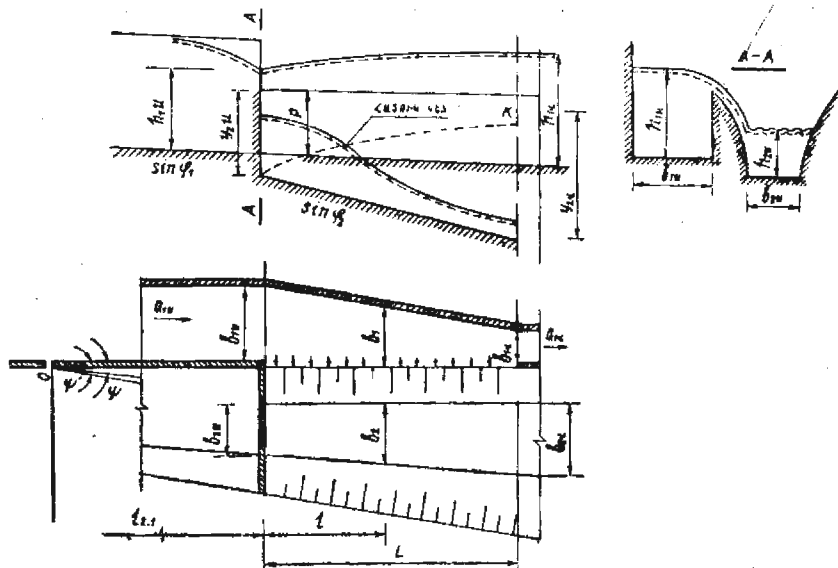
$$\frac{dQ}{dl} = - \frac{m_4 \sqrt{2g} (h-p)^{3/2}}{\cos\vartheta}$$

որտեղ  $\theta$ -ն ջրաթափի ճակատի թեքման անկյունն է ջրանցքի առանցքի նկատմամբ:

Շեղ կողային ջրաթափերում  $a < 1$ :

Կողային ջրաթափին լծորդված ջրանցքների ճիգրավիկական հաշվարկը: Կողային ջրաթափին լծորդված ջրանցքները կարող են ունենալ հունի ինչպես հաստատուն, այնպես էլ փոփոխական թեքություն հատվածներ: Կողային ջրաթափի երկարությունը համապատասխանող լծորդված ջրանցքի թեքությունը նպատակահարմար է անել հաստատուն (այն աշխատում է որպես խրամուղային ջրհեռ): Հետագայում կողային ջրաթափի հիդրավիկական և երկրաչափական պարամետրերը կնշանակենք 1, իսկ լծորդված ջրանցքինը՝ 2 ինդեքսներով (նկ. 4.19):

Լծորդված ջրանցքի հաշվարկային դիֆերենցիալ հավասարումը կունենա հետևյալ տեսքը (խրամուղային ջրհեռի տեղամասի համար)՝



Նկ. 4.19. Ոչ պրիզմատիկ ջրանցքին լծորդված ուղիղ կողային ջրաթափի հաշվարկային սխեման:

$$\frac{dh}{dl} = \frac{\sin \varphi_2 - \frac{Q_2^2}{A_2^2 C_2^2 R_2} + \frac{dQ_2^2}{g A_2^2} \frac{\partial A_2}{\partial l} - \frac{\alpha(2-a_2)}{g A_2^2} Q_2 \frac{dQ_2}{dl}}{\cos \varphi_2 - \frac{\alpha Q_2^2}{g A_2^2} \frac{\partial A_2}{\partial h_2}} \quad (4.68)$$

Հարմարության համար կողային ջրաթափի և լծորդված ջրանցքների ճանապարհի հաշվարկի սկիզբը ընտրված է նույն կտրվածքից: Այդ պատճառով (4.68) հավասարման  $l$ -ը ինդեքս չունի:

Վերլուծելով լծորդված ջրանցքում շարժման դիֆերենցիալ հավասարումը, որոշվում է հատուկ կետի կոորդինատները, որոնք հանդիսանում են ընդհանուր դեպքում (4.68) դիֆերենցիալ հավասարման եզրային պայմանները:

Եթե հատուկ կետերի թիվը երկուսն են, ապա այդ կտրվածքների միջև տեղի կունենա հիդրավիլիկական թռիչք:

Որպեսզի որոշենք թռիչքի տեղը, պետք է հատուկ կետերից միմյանց ընդառաջ կառուցել ազատ մակերևույթի և նրանց համալուծ խորությունների կորերը:

Ազատ մակերևույթների և համալուծ խորությունների հատման կտրվածքում էլ տեղի կունենա հիդրավիլիկական թռիչքը:

Եթե լծորդված ջրանցքի խրամուղային ջրհեռ հատվածից հետո ընկած տեղամասերում հատուկ կետի որոշելը ոչ մի դժվարություն չի

առաջացնում, ապա խրամուղային ջրհեռի հատվածում այն բավականին բարդ է:

Ելքի փոփոխությունը ըստ ճանապարհի որոշվում է կողային ջրաթափի հիդրավիլիկական հաշվարկից:

$$\frac{dh_1}{dl} = \frac{\sin \varphi_1 - \frac{Q_1^2}{A_1^2 C_1^2 R_1} + \frac{\alpha Q_1^2}{g A_1^2} \frac{\partial A_1}{\partial l} - \frac{\alpha(2-a_1)}{g A_1^2} Q_1 \frac{dQ_1}{dl}}{\cos \varphi_1 - \frac{\alpha Q_1^2}{g A_1^2} \frac{\partial A_1}{\partial h_1}} \quad (4.69)$$

$$\frac{dQ_1}{dl} = -m_1 \sqrt{2g(h_1 - p)^{3/2}},$$

խրամուղային ջրհեռի կլոր կամայական կտրվածքում կլինի՝

$$Q_2 = Q_1^* - Q_1 \quad (4.70)$$

որտեղ  $Q_1^*$ -ը հոսանքի ելքն է կողային ջրաթափից առաջ: Ածանցելով կունենանք

$$\frac{dQ_2}{dl} = -\frac{dQ_1}{dl} \quad (4.71)$$

Տեղադրելով (4.71) անչուլությունը (4.68) դիֆերենցիալ հավասարման մեջ, կստանանք

$$\frac{dh_2}{dl} = \frac{\sin \varphi_2 - \frac{Q_2^2}{A_2^2 C_2^2 R_2} + \frac{\alpha Q_2^2}{g A_2^2} \frac{\partial A_2}{\partial l} + \frac{\alpha(2-a_2)}{g A_2^2} Q_2 \frac{dQ_1}{dl}}{\cos \varphi_2 - \frac{\alpha Q_2^2}{g} \cdot \frac{B_2}{A_2^2}} \quad (4.72)$$

Որպեսզի որոշենք հատուկ կետի կոորդինատները խրամուղային ջրհեռում, հավասարեցնենք զրոյի (4.72) դիֆերենցիալ հավասարման համարիչն ու հալարարը, տեղադրելով  $Q_2$ -ի արժեքը (4.70), իսկ  $\frac{dQ_2}{dl}$ -ը՝ (4.71) անչուլություններից

$$\sin \varphi_2 - \frac{(Q_1^* - Q_1)^2}{A_2^2 C_2^2 R_2} + \frac{\alpha(Q_1^* - Q_1)^2}{g A_2^2} \frac{\partial A_2}{\partial l} - \frac{\alpha(2-a_2)}{g A_2^2} (Q_1^* - Q_1)^2 \cdot m_1 \sqrt{2g(h - p)^{3/2}} = 0, \quad (4.73)$$

$$\cos \varphi_2 - \frac{\alpha(Q_1^* - Q_1)^2}{g} \cdot \frac{B_2}{A_2^2} = 0,$$

(4.73) հավասարումների համակարգում կա շորս անհայտ մեծություն՝  $Q_1, h_1, h_2$  և  $l$ :

Լուծելով (4.73) համակարգը համատեղ դիֆերենցիալ հավասարումների (4.69) համակարգի հետ, կստանանք  $h_{2կր}$  և  $l_{կր}$  հատուկ կետի կոորդինատները: Ինտեգրելով դիֆերենցիալ հավասարումների (4.69) համակարգը, որոշում ենք ցանկացած  $l$ -ին համապատասխանող  $h_1$ -ի և  $Q_1$ -ի արժեքները: Տեղադրելով այն (4.73. (2)) հավասարման մեջ, որոշում ենք նրանց համապատասխանող  $h_2$ -ը: Եթե այն կրիտիկական խորությունն է, ապա (4.73 (1)) հավասարումը պետք է դառնա նույնություն:

Եթե պարզվում է, որ խրամուղային ջրհեռում հատուկ կետ չկա, ապա (4.72) դիֆերենցիալ հավասարման եզրային պայմանը որոշվում է խրամուղային ջրհեռին հաջորդող հատվածի հիդրավլիկական հաշվարկից:

Փակուղային կողային ջրաթափով ջրհեռի հաշվարկը: Կողային ջրաթափով ջրհեռի սարասեսակներից է հանդիսանում փակուղային կողային ջրաթափով ջրհեռը, որտեղ տրանզիտային ելք չկա և ջրի թափվելը կատարվում է միայն մեկ կամ երկկողմանի կողային ջրաթափով: Այսպիսի կոնստրուկցիաներ հանդիպում են պարզարաններում կամ այլ հիդրոտեխնիկական կառուցվածքների կազմում:

Տրանզիտային ելքի բացակայությունը ոչ միայն փոխում է ջրհեռի կոնստրուկցիան, այլև սկզբունքորեն փոխում է նրա հիդրավլիկական հաշվարկը:

Այս դեպքում նույնպես հաշվարկային դիֆերենցիալ հավասարումները կլինեն (4.56) համակարգի հավասարումները: Յուրյց տանք, որ փակուղային կողային ջրաթափով ջրհեռի ջրանցքում ամբողջովին բուռն շարժում չի կարող լինել. այն կամ պետք է լինի ամբողջովին հանդարտ կամ սկզբում բուռն, որն անպայման կանցնի հանդարտի:

Այս ապացույց են տեսել կերպ՝ ջրհեռի վերջում  $Q \rightarrow 0$ ,  $h_{կր} \rightarrow 0$ , հետևաբար բոլոր խորությունները կլինեն մեծ կրիտիկականից:

Այսպիսով, եթե ջրհեռի սկզբում շարժումը բուռն է, մի որոշ կտրվածքում այն թռիչքով կդառնա հանդարտ, և ապա փոքրացող ելքով և մեծացող խորություններով կպաշտպանվի հանդարտ շարժումը:

Փակուղային կողային ջրաթափով ջրհեռի հաշվարկի առանձնահատկությունն այն է, որ տրանզիտային ելքի բացակայությունը հնարավորություն չի տալիս ջրհեռից հետո եղած պայմաններից որոշել հոսանքի խորությունը վերջում, որը և կհանդիսանար սահմանային պայման (4.56) համակարգի ինտեգրման համար:

Խնդրի սահմանային պայմանները հետևյալն են՝

$$l=l_1, Q=Q_1 \text{ (սկզբնական ելքը),}$$

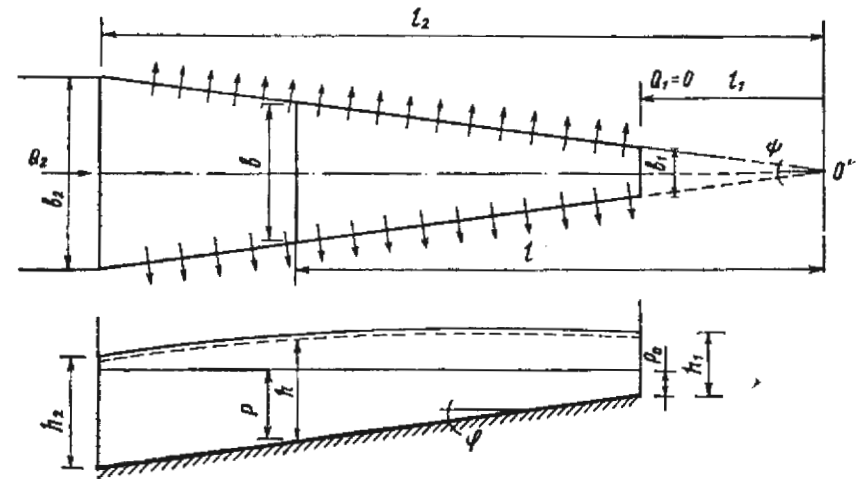
$$l=l_2, Q=Q_2=0 \text{ (փակուղու վերջի ելքը):}$$

Սակայն այս պայմանները բավարար չեն (4.56) համակարգը լուծելու համար՝ այն լուծելու համար պետք է ունենալ  $l=l_1, h=h_1, Q=Q_1$  կամ  $l=l_2, h=h_2, Q=Q_2$ , որը և չունենք:

Խնդիրը լուծվում է փնտրման մեթոդով. ջրաթափային մասի սկզբում ջրի խորությունը տրվում է կամայական  $h_1$  արժեք և (4.56) համակարգը էՉՄ-ի օգնությամբ ինտեգրվում է մինչև ջրաթափային ճակատի վերջը,  $l=l_2$  ստանալով ելքի արժեքը վերջում  $Q=Q_2$ : Փոփոխելով  $h_1$ -ի արժեքը այնքան, մինչև ստացվի  $Q=Q_2=0$ , որը և կլինի խնդրի լուծումը, այսինքն թափվող ելքը կլինի ջրանցքի ելքը:

Այն հանգամանքը, որ փակուղային կողային ջրաթափով ջրհեռում ելքը փոքրանում է մինչև զրո, նպատակահարմար է դարձնում հատակագծում և երկայնական կտրվածքում ջրհեռի ջրանցքի շափերի փոքրացումը:

Եթե կտրվածքի լայնությունը հատակագծում և ջրանցքի խորությունը (ջրթափային շուրթերից մինչև հատակը) փոխվեն գծային օրենքով (նկ. 4.20), ապա հարմար է ինտեգրումը կատարել հեղուկի



շարժման հակառակ ուղղությամբ կոորդինատային սկզբնակետը տեղափոխելով «0» դիրքը: Կոորդինատային այս նոր համակարգի համար ուղղանկյուն կտրվածքի ջրհեռում հիդրավլիկական տարրերը կլինեն՝

$$b=\beta l, \beta=2tg\psi/2, l_1=b_2/\beta,$$

$$A = \beta l h, \quad \lambda = \beta l + 2h, \quad R = 1/(1/h + 2/\beta l),$$

$$C = \frac{1}{n} R^y, \quad y = (1.3 + 1.5) \sqrt{n},$$

$$\frac{\partial A}{\partial l} = \beta h, \quad \frac{\partial A}{\partial h} = l, \quad p = r_0 + (l - l_1) \sin \varphi,$$

որոնք տեղադրելով (4.56)-ի մեջ, կստանանք՝

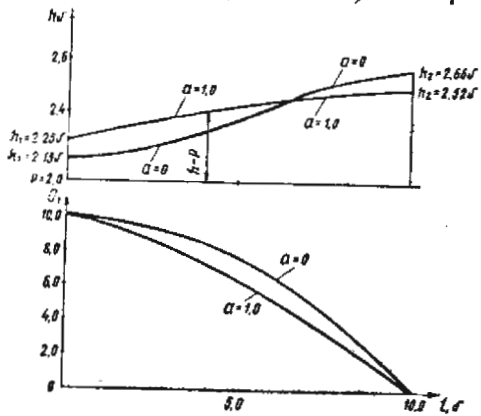
$$\frac{dh}{dl} = \frac{|\sin \varphi| + \frac{Q^2}{\beta^2 l^2} (4h + 2/\beta l)^{+2} + \frac{\alpha Q^2}{R^2 \beta^2 l^3} - \frac{\alpha Q}{R \beta l^2} (2-a) \frac{dQ}{dl}}{\cos \varphi - \frac{\alpha Q^2}{g \beta^2 l^2 h^3}},$$

$$\frac{dQ}{dl} = \frac{m_4 \sqrt{2g}}{\cos^2 \varphi/2} (h - (p + (l - l_1) \sin \varphi))^{3/2},$$

Այս համակարգի լուծումը նույնպես կատարվում է փնտրման մեթոդով մինչև բավարարվեն  $l = l_1$ ,  $Q = Q_1 = 0$  և  $l = l_2$ ,  $Q = Q_2$  պայմանները:

Նշենք, որ  $a$  և  $m$  գործակիցների արժեքների ճիշտ որոշման հարցը շատ կարևոր է, որը պետք է որոշել փորձերի միջոցով:

**Օրինակ 4.5:** Հորիզոնական ուղղանկյուն կտրվածքի ջրանցքն ունի փակուղային կողային բարակ պատով երկկողմանի ջրաթափ ( $m = 0,42$ ).  $L_2 = 10,0$  մ ճակատի երկարությամբ: Ջրանցքը, որի ելքն է  $Q = 10,0$  մ<sup>3</sup>/վ, բնառնից է ( $n = 0,014$ ) և ունի  $b = 2,0$  մ լայնություն: Ջրաթափի պատի բարձրությունը՝  $p = 2,0$  մ (նկ. 4.21):



Պահանջվում է կատարել փակուղային ջրհեռի հիդրավիկական հաշվարկը:

Լուծում: Նախ ստուգենք շարժման ռեժիմը ջրանցքի ջրաթափային մասի սկզբում ամենափոքր  $h = p = 2,0$  մ խորությամբ համար՝

$$F_r = \frac{\alpha Q^2}{g A^3} b = \frac{1,1 \cdot 10^2 \cdot 2}{9,81 \cdot 2^3 \cdot 2^3} = 0,35 < F_{r,kr} = 1,0,$$

Նկ. 4.21. Օրինակ 4.5-ի ազատ մակերևույթի և ելքի փոփոխման կորերը  $a = 0$  և  $a = 1,0$  արժեքների համար:

Փանի որ սկզբում շարժումը հանդարտ է, և քստ ճանապարհի խորությունները կանեն, իսկ ելքը կփոքրանա, ապա ամենուրեք շարժման ռեժիմը կլինի հանդարտ:

Ըստ խնդրի պայմանների ունենք՝

$$A = bh, \quad \lambda = b + 2h, \quad R = 1/(1/h + 2/b), \quad C = \frac{1}{n} R^y,$$

$$2y = 2 \quad 1,3 \sqrt{n} = 2,6 \sqrt{0,014} = 0,3076, \quad \frac{\partial A}{\partial h} = b, \quad \frac{\partial A}{\partial l} = 0$$

$$\sin \varphi = i = 0, \quad \cos \varphi = 1,0,$$

Հետևաբար, (4.56)-ից կստանանք

$$\frac{dh}{dl} = \frac{-\frac{n^2 Q^2}{b^2 h^2} (1/h + 2/b)^{+2y} + \frac{\alpha Q}{g b^2 h^2} (2-a) 2m_4 \sqrt{2g} (h-p)^{3/2}}{1 - \frac{\alpha Q^2}{g b^2 h^3}},$$

$$\frac{dQ}{dl} = -2m_4 \sqrt{2g} (h-p)^{3/2},$$

ինտեգրման սահմանային պայմանները կլինեն՝

$$i = l_1 = 0, \quad Q = Q_1$$

$$l = l_2 = L_2, \quad Q = 0:$$

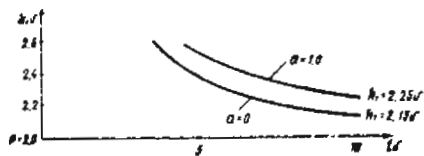
Կամ տեղադրելով թվային արժեքները, կստանանք

$$\frac{dh}{dl} = \frac{-\frac{0,000049 Q^2}{h^2} (1/h + 1)^{1,3076} + \frac{0,1043(2-a)}{h^2} (h-2)^{3/2}}{1 - \frac{0,028 Q^2}{h^3}},$$

$$\frac{dQ}{dl} = -3,72 (h-2)^{3/2},$$

Խնդիրը լուծված է  $a$ -ի երկու արժեքների համար՝  $a = 0$  և  $a = 1,0$ : Ինտեգրումը սկսվում է  $l = l_1 = 0$ ,  $Q = Q_1 = 10$  մ<sup>3</sup>/վ,  $h_1 = 2,0$  մ արժեքից մինչև ստացվի  $l = l_2 = 10,0$  մ,  $Q = Q_2 = 0$ :

Նկ. 4.22-ում տրված է  $h_1 = i(l)$  կորը, որի իմաստը հետևյալն է: Ըստ  $h_1$ -ի արժեքի որոշվում է այն  $l$  հեռավորությունը, որի դեպքում ջրանցքի ելքը կզանա զրո: Այս կորից երևում է, որ  $l = 10,0$  մ հեռա-



Նկ. 4.22. Օրինակ 4.5-ի  $h_1=f(l)$  կորը  $a=0$  և  $a=1,0$  արժեքների համար,  $h_1$ -ը ջրաթափային մասի սկզբում ջրի խորությունն է,  $l$ -ը այն հեռավորությունը, երբ ջրանցքում ելքը դառնում է գրո:

վորության վրա ելքը կդառնա զրո  $h_1=2,13$  մ արժեքի դեպքում, երբ  $a=0$  և  $h_1=2,25$  մ արժեքի դեպքում, երբ  $a=1,0$ :

Աղյ. 4.6-ում տրված են ազատ մակերևույթի կորի օրդինատները և ելքի մեծությունները կախված ճանապարհից:

Նկ. 4.21-ում տրված են ազատ մակերևույթի և ելքի փոփոխման կորերը  $a=0$  և  $a=1,0$  արժեքների համար:

Աղյուսակ 4.5

4.5 օրինակի ազատ մակերևույթի և ելքի փոփոխման կորերի կոորդինատները

| $l$ մ                 | 0    | 1,0  | 2,0  | 3,0  | 4,0  | 5,0  | 6,0  | 7,0  | 8,0  | 9,0  | 10   |
|-----------------------|------|------|------|------|------|------|------|------|------|------|------|
| $a=0$                 |      |      |      |      |      |      |      |      |      |      |      |
| $h$ մ                 | 2,13 | 2,15 | 2,18 | 2,23 | 2,29 | 2,36 | 2,44 | 2,52 | 2,59 | 2,64 | 2,66 |
| $a=1,0$               |      |      |      |      |      |      |      |      |      |      |      |
| $h$ մ                 | 2,25 | 2,28 | 2,31 | 2,35 | 2,38 | 2,42 | 2,46 | 2,48 | 2,50 | 2,51 | 2,51 |
| $a=0$                 |      |      |      |      |      |      |      |      |      |      |      |
| $Q$ մ <sup>3</sup> /վ | 10   | 9,80 | 9,50 | 9,10 | 8,50 | 7,70 | 6,60 | 5,25 | 3,50 | 1,70 | 0    |
| $a=1,0$               |      |      |      |      |      |      |      |      |      |      |      |
| $Q$ մ <sup>3</sup> /վ | 10   | 9,50 | 8,90 | 8,22 | 7,40 | 6,51 | 5,48 | 4,32 | 3,10 | 1,6  | 0    |

#### 4.5. ՍԻՖՈՆԱՅԻՆ ՋՐՀՆՈՆՆԵՐԻ ՀԱՇՎԱՐԿԸ

Սիֆոնային ջրհեռն իրենից ներկայացնում է վերևի և ներքևի բյեֆները միացնող, ուղղաձիգ հարթության մեջ ծոված խողովակ, որի սկզբի մասում վերևի բյեֆի ջրի մակարդակի նկատմամբ կա զգալի բարձրացում:

Սիֆոնային ջրթողը ավտոմատ գործող կառուցվածք է, որը օգտագործում է ոչ միայն ջրի թափվող շերտի խորությանը համապատասխանող էներգիան, այլև վերևի և ներքևի բյեֆների նիշերի տարբերությունը, եթե սիֆոնային ջրթողը ելքի մասում սուզված է: Ծթե սիֆոնային ջրթողի ելքի մասը ազատ է (հոսանքը դուրս է գալիս մթնոլորտ), սակայն օգտագործում է վերևի բյեֆի և ելքի կտրվածքի առանցքի նիշերի տարբերությանը համապատասխանող էներգիան:

Շնորհիվ տեսակարար ելքերի խիստ մեծացման, սիֆոնային ջրհեռների շահավետությունը համեմատած բաց ջրհեռների հետ ավելի բարձր է:

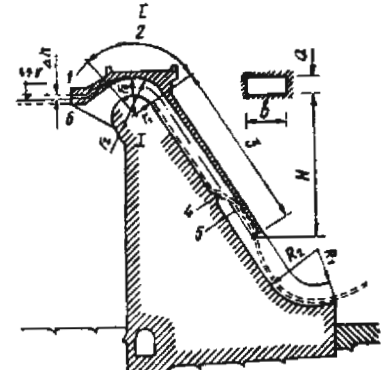
Մեծ ելքեր թողարկելիս սիֆոնային ջրթողի առանձին սեկցիաների շուրթերը սովորաբար դրվում են տարբեր նիշերի վրա, որը հնարավորություն է տալիս, որ ելքի մեծացման հետ առանձին սեկցիաները հերթով մտնեն աշխատանքի մեջ:

Սիֆոնային ջրթողները մեկ մետր լայնության դեպքում թողարկում են 20—25 մ<sup>3</sup>/վ ելք: Թողարկվող ելքը սահմանափակվում է կոնստրուկտիվ սկատառումներով և գազաբլում առաջացող ճնշման նվազագույն թուլատրելի արժեքով, որը որոշվում է հոծության խզման և կավիտացիայի սլայմաններից:

Սիֆոնային ջրթողների էներություններն են՝ կոնստրուկցիայի բարդությունը, սառույցով խցանվելու հնարավորությունը, թրթռումների առկայությունը, ելքի միանգամից մեծացումը և այլն:

Սիֆոնային ջրթողի պարզագույն սխեմաներից մեկը բերված է նկ. 4.23-ում:

- Սիֆոնային ջրթողը կարելի է բաժանել երեք մասի:
1. Մուտքի մաս (1), որը ընդգրկում է մուտքից մինչև կորացման սկիզբը: Վերին բյեֆի կողմից օդի թափանցումը արգելակելու համար մուտքի կտրվածքը նՊՄ-ից ավելի նեղ է դրվում:
  2. Կորացման մաս (2) կամ սիֆոնի կոկորդային մաս (I-I կտրվածք): Կոկորդային մասի շուրթը դրվում է նՊՄ-ի վրա:



Նկ. 4.23. Սիֆոնային ջրհեռի սխեման:

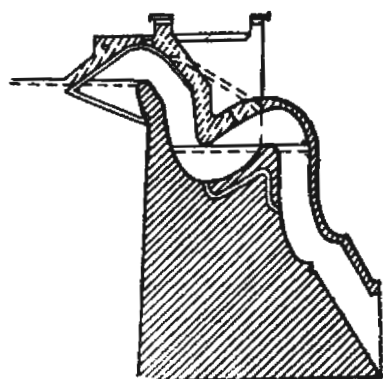
3. Վարընթաց խողովակային մաս (3), որը սկսվում է կորացման մասի վերջից և վերջանում էլքի մասով: Այս մասի հատակը կոչվում է ջրաթափային մաս, իսկ առաստաղը՝ գլխարկ:

Սիֆոնային ջրհեռի աշխատանքի սկզբունքը հետևյալն է: Վերին բյեֆում ջրի հորիզոնի ոչ մեծ բարձրացման դեպքում (20—30 սմ) թափվող ջրի շիթը հոսելով ջրաթափային մասի վրայով, հատուկ քթիկի (4) կամ այլ հարմարության (նկ. 4.24) միջոցով շեղվում է և կաշում գլխարկին, առաջացնելով ջրային վարագույր (5): Խողովակային մասը կտրվում է մթնոլորտից և բացառվում է օդի թափանցման հնարավորությունը ներքին բյեֆի կողմից: Թափվող շիթը շփման շնորհիվ իր հետ տանում է օդը և ստեղծում վակուում:

Ջրի հորիզոնը կոկորդում բարձրանում է, կարճ ժամանակից հետո ամբողջ խողովակը լցվում է ջրով և սիֆոնային ջրհեռը սկսում է թողարկել լրիվ ելքը:

Մուտքի կտրվածքի իջեցումը ՆԴՄ-ից ներքև կարող է առաջ բերել վերին բյեֆում ջրի մակարդակի իջեցում, որը թույլ չտալու համար ՆԴՄ-ի վրա արվում է օդային անցք (6): Երբ ջրի հորիզոնը հասնում է ՆԴՄ-ին, անցքը բացվում է, օդը թափանցում է կոկորդի մեջ և սիֆոնային ջրհեռը դադարում է աշխատելուց (նկ. 4.23):

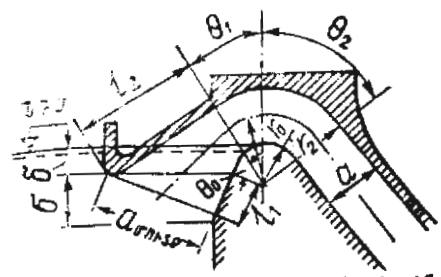
Սիֆոնային ջրհեռները կարող են կիրառվել ցանկացած ճնշման համար: Հաստատուն կտրվածքի դեպքում սահմանային ճնշումը կազմում է 9,0 մ, որից հետո կարող է առաջանալ կավիտացիա: Խողովակային մասը եթե արվի նեղացող կտրվածքի, ապա կարելի է օգտագործել 10 մ-ից մեծ ճնշումներ: Երբեմն հատուկ ստեղծվում են լրացուցիչ դիմադրություններ, մեծացնելով պատերի խորզուբորությունը, մտցնելով տեղական դիմադրություններ և այլն:



Նկ. 4.24. Քթիկի փոխարինող ծունկ ունեցող սիֆոնային ջրհեռ:

Քննարկենք սիֆոնային ջրթողի առանձին մասերի աշխատանքը:

**Մուտքի մաս:** Ուղղանկյուն կտրվածքի սիֆոնային ջրհեռների մուտքի մասը նպատակահարմար է անել ուղղագիծ լայնացող կոնֆուզորի ձևով (նկ. 4.22): Մուտքի մասում կտրվածքի սահուն փոքրացումը հանգեցնում է արագությունների աստիճանական մեծացմանը մուտքի



Նկ. 4.25. Ուղղանկյուն կտրվածքով սիֆոնային ջրհեռի մուտքի մասը:

կտրվածքից մինչև կոկորդի կտրվածքը (նկ. 4.23 1-1 կտրվածք): Այս մակերեսների հարաբերությունը ընդունվում է 2,5—3:

Մուտքի կտրվածքը արվում է ՆԴՄ-ից ծ-ի շափով խորացված (նկ. 4.25), որը պետք է մեծ լինի մուտքի մասի արագության բարձրությունից

$$\delta \geq \frac{av^2}{2g} \quad (4.74)$$

Մուտքի մասի բարձրությունը ( $a_{\text{մուտք}}$ ) որոշվում է՝

$$a_{\text{մուտք}} \geq \frac{q}{\sqrt{2g\tau_1}} \quad (4.75)$$

լայնաձևով:  
Մնացած երկրաչափական շափերը որոշվում են՝

$$l_1 = a_{\text{մուտք}} \operatorname{ctg}(\theta_0 + \theta_1), \quad (4.76)$$

$$l_2 = \tau_2 \operatorname{ctg} \theta_1 - \frac{\tau_1 \cos(\theta_0 + \theta_1)}{\sin \theta_1}, \quad (4.77)$$

$$\sigma = a_{\text{մուտք}} \cos(\theta_0 + \theta_1), \quad (4.78)$$

որտեղ  $\tau_2$  գլխարկի կորության շառավիղն է,  $\theta_0$ ,  $\theta_1$ ,  $\theta_2$  անկյունները վերցվում են կոնսարուկտիվ, սիֆոնային մասի լավ լծորդման պայմանից:

**Կոկորդի մաս:** Այս մասի ճիշտ ընտրությունից են կախված սիֆոնի հուսալի աշխատանքը և կավիտացիա չառաջանալու պայմանները:

Շատ կարևոր է  $\tau_0/a$  հարաբերության ընտրությունը (նկ. 4.25): Շատ կարևոր է  $\tau_0/a \geq 2,25$  հարաբերության դեպքում շիթը չի կտրվում պատերից:

Չնայած հիդրավիկական տեսակետից քառակուսի կտրվածքը հանդիսանում է նախընտրելի, սովորաբար լայնակի կտրվածքը արվում է ուղղանկյուն 1,5—2,0 հարաբերությամբ: Կտրվածքի բարձրությունը ընդունվում է 1,5—2,0 մ:

Սիֆոնի առանցքի կորացման լավագույն շառավիղը ըստ Գ. Վ. Սիմակովի կարելի է որոշել հետևյալ բանաձևով.

$$(r_0)_{\text{արմ}} = \frac{0.753a^{3.5}SR^{4/3}}{2gn^2 \left( S\pi - t_{\text{բ}} \frac{\theta_2}{2} \right)}, \quad (4.79)$$

որտեղ  $a$ -ն լայնակի կտրվածքի բարձրությունն է,  $S = \frac{\theta}{180^\circ}$ ,  $\theta = \theta_1 + \theta_2$  (նկ. 4.25)

**Սիֆոնի վարընթաց խողովակային մաս:** Այս մասը կարող է լինել հաստատուն կամ նեղացող կտրվածքի, բացի այդ պետք է ունենա հատուկ շիթաշեղիչ հարմարություն:

Ուսումնասիրությունները ցույց են տվել, որ սիֆոնային շրթողի ճնշումը կարելի է որոշել հետևյալ բանաձևով.

$$H \leq H_r + (1.5 \div 3.5) d, \quad (4.80)$$

որտեղ  $H_q = \frac{\rho_{\text{max}} - \rho}{\rho g} - \frac{a}{2}$ -ը գործող ճնշումն է,  $\rho$ -ն կոկորդում եղած ամենափոքր հնարավոր ճնշումն է, որը որոշվում է կավիտացիայի պայմանից:

**Սիֆոնային շրթողների հիդրավիկական հաշվարկը:** Սիֆոնային շրթողների հիդրավիկական հաշվարկի մեջ մտնում են հետևյալ հարցերը:

**Սիֆոնի բողոնակուրյան որոշումը:** Հաստատուն լայնություն ունեցող սիֆոնային շրթողի տեսակարար ելքը որոշվում է

$$q = \mu a_{\text{ելք}} \sqrt{2gH}, \quad (4.81)$$

որտեղ  $\mu$ -ն ելքի գործակիցն է,  $a_{\text{ելք}}$ -ը ելքի մասում սիֆոնային խողովակի բարձրությունն է,  $H$ -ը սիֆոնի ճնշումն է:

Ելքի  $\mu$  գործակիցը որոշվում է հետևյալ բանաձևով

$$\mu = \frac{1}{1 + \Sigma \zeta}, \quad (4.82)$$

որտեղ  $\alpha = 1,1$ -ը արագությունների անհավասարաչափ բաշխման գործակիցն է,  $\Sigma \zeta$ -ն սիֆոնի մուտքի կտրվածքից մինչև ելքի կտրվածքը եղած դիմադրության գործակիցների գումարն է: Եթե սիֆոնի բարձրությունը փոքրանում է, ապա բոլոր գործակիցները պետք է վերագրել ելքի կտրվածքին:

Դիմադրության գործակիցների արժեքներն են՝

1. Մուտքի գործակից, կախված մուտքի սահուն փոփոխման ձևից

$$\zeta_{\text{մուտք}} = 0,05 - 0,15;$$

2. Կտրվածքի հանկարծակի նեղացում՝

$$\zeta_{\alpha} = 0,5 \left( 1 - \frac{a_2}{a} \right),$$

որտեղ  $a_1$ -ն սեղմված բարձրությունն է:  
3. Կտրվածքի աստիճանական նեղացում՝

$$\zeta_{\alpha_2} = k_{\alpha_2} \zeta_{\alpha},$$

որտեղ  $k_{\alpha_2}$ -ը աստիճանական նեղացման գործակիցն է և ընտրվում է կախված կոնայնության  $\alpha$  անկյունից

$$k_{\alpha_2} = 0,2 - 0,6;$$

4. Շեղիչ քթիկի դիմադրության գործակիցը ընտրվում է ինչպես հանկարծակի լայնացման համար

$$\zeta_{\text{քթ}} = \zeta_{\alpha_1}$$

5. Կորացման դիմադրության գործակիցը ուղղանկյուն լայնակի կտրվածքի դեպքում որոշվում է հետևյալ բանաձևով

$$\zeta_{\alpha} = \frac{1}{4r_0} \left( 0,124 + 0,274 \left( \frac{a}{20} \right)^{3,5} \right), \quad (4.83)$$

6. Հոսանքի աստիճանական լայնացման համար

$$\zeta_{\alpha_1} = k_{\alpha} \left( \frac{a}{a_2} - 1 \right)^2, \quad (4.84)$$

որտեղ  $k_{\alpha}$ -ն որոշվում է, կախված լայնացման անկյան մեծությունից, ըստ աղյուսակ 4.7-ի:

Աղյուսակ 4.7

$k_{\alpha}$ -գործակցի արժեքները կախված  $\alpha$  անկյունից

| $\alpha$     | 5    | 10   | 15  | 20   | 25  | 30   | 35   | 40  | 45   |
|--------------|------|------|-----|------|-----|------|------|-----|------|
| $k_{\alpha}$ | 0,13 | 0,16 | 0,3 | 0,42 | 0,6 | 0,71 | 0,88 | 0,9 | 0,98 |

7. Շիման դիմադրության գործակիցն ըստ ճանապարհի որոշվում է

$$\zeta_{\text{շիմ}} = \frac{2gl}{C^2 R}, \quad (4.85)$$

բանաձևով, որտեղ  $l$ -ը հատվածի երկարությունն է:

8. Ելքի գործակից (երբ հեղուկը դուրս է գալիս ավազան)

$$\zeta_{\text{էլ}} = 1,0;$$

Հաջորդ հարցը, որ առաջանում է սիֆոնային ջրհեռների նախագծման ժամանակ սահմանային վակուումի ( $p_v / \rho g$ )<sub>ս</sub>-ի որոշումն է:

Ակնհայտ է, որ այս մեծությունները պետք է լինեն այնպիսին, որ կավիտացիայի երևույթը չսկսվի:

Սիֆոնի նորմալ աշխատանքը առանց կավիտացիայի կապահովվի, եթե կոկորդի վերևի կետում (I-I կտրվածք նկ. 4.23) բացարձակ ճնշումը մեծ լինի հազեցած գոլորշիների ճնշումից, հնարավոր մաքսիմում ջերմաստիճանի դեպքում:

Սովորաբար հաշվարկային են ընդունում  $t = 20^\circ \text{C}$ , որին համապատասխանում է հազեցած գոլորշիների  $p_{\text{գո}} / \rho g = 0,24$  մ ջրի սյան ճնշումը: Սիֆոնում կավիտացիա չի լինի, եթե ճնշումը լինի

$$\left(\frac{p}{\rho g}\right)_{\text{min}} > \frac{p_{\text{գո}}}{\rho g} + \left(\frac{\Delta D}{\rho g}\right)_r \quad (4.86)$$

որտեղ  $\left(\frac{\Delta D}{\rho g}\right)_r$ -ն ճնշման բարախման չափի կեսն է:

Գ. Վ. Սիմակովը առաջարկում է ընդունել

$$\left(\frac{D}{\rho g}\right)_{\text{min}} \geq \frac{D_{\text{գո}}}{\rho g} + 1 \left(\frac{D_v}{\rho g}\right)_r \quad (4.87)$$

որտեղ  $\left(\frac{D_v}{\rho g}\right)_r$ -ն սահմանային թուլատրելի վակուումն է, որի մեծությունը կախված է տեղի նիշից և օդերևութաբանական պայմաններից (տատանումը տեղի մթնոլորտային ճնշումից կարող է կազմել 5 %):

Աղյուսակ 4.8-ում տրված են մթնոլորտային ճնշման նորմալ և մինիմում արժեքները, կախված տեղի նիշից:

Աղյուսակ 4.8

$\left(\frac{p_v p_s}{\rho g}\right)_r$  և  $\left(\frac{p_v p_s}{\rho g}\right)_{\text{min}}$  արժեքները կախված տեղի նիշից

| Տեղի նիշը մ  | 0     | 500  | 1000 | 1500 | 2000 | 2500 | 3000 |
|--|-------|------|------|------|------|------|------|
| $\left(\frac{p_v p_s}{\rho g}\right)_r$ մ ջրի սյուն            | 10,33 | 9,74 | 9,18 | 8,64 | 8,14 | 7,80 | 7,37 |
| $\left(\frac{p_v p_s}{\rho g}\right)_{\text{min}}$ մ ջրի սյուն | 9,81  | 9,25 | 8,72 | 8,21 | 7,73 | 7,41 | 7,00 |

Թուլատրելի վակուումի մեծությունը պետք է վերցնել ըստ մթնոլորտային ճնշման մինիմումի արժեքի:

$$\left(\frac{p_v}{\rho g}\right)_r \leq \left(\frac{p_v p_s}{\rho g}\right)_{\text{min}} - 0,24 - 0,1 \left(\frac{p_v}{\rho g}\right)_r \quad (4.88)$$

կամ

$$\left(\frac{p_v}{\rho g}\right)_r \leq 0,91 \left(\frac{p_v p_s}{\rho g}\right)_{\text{min}} - 0,22 \text{ մ.}$$

Այսպես, օրինակ, տեղի նիշի 1000 մ արժեքի դեպքում

$$\left(\frac{p_v}{\rho g}\right)_r = 0,91 \cdot 8,72 - 0,22 = 7,72 \text{ մ.}$$

Կավիտացիայի տեսակետից ամենավտանգավոր կտրվածքը հանդիսանում է կոկորդի I-I կտրվածքը: Սահմանային տեսակարար ելքը, երբ նշված կտրվածքում կավիտացիա չի առաջանա, ըստ Վ. Գ. Սիմակովի որոշվում է հետևյալ բանաձևով

$$Q_c = \varphi \sqrt{2g \left(\frac{p_v}{\rho g}\right)_r} r_1 \ln \frac{r_2}{r_1} \quad (4.89)$$

որտեղ  $r_1$ -ը և  $r_2$ -ը կոկորդի կտրվածքում ջրաթափի և գլխարկի շառավիղներն են (նկ. 4.25),  $\varphi$ -ն արագության գործակիցն է, որտեղ դիմադրության գործակիցները հաշվի են առնված մուտքի կտրվածքից մինչև կոկորդի կտրվածքը:

Շեղիլ քթիկի տեղի բարձրության և ուղղության որոշումը ազդում է սկզբնական ճնշման ( $H_{\text{սկ}}$ ) և սիֆոնի թողարկվող ելքի վրա:

Քթիկի բարձրությունը կարելի է որոշել ըստ հետևյալ բանաձևի՝

$$\delta_{\text{քթ}} = \frac{k Q_{\text{սկ}}}{b \varphi \sqrt{2g(z-y+H_{\text{սկ}})}} \quad (4.90)$$

որտեղ  $k$ -ն գործակից է, որը ընդունվում է հավասար 2-ի,  $Q_{\text{սկ}}$ -ը և  $H_{\text{սկ}}$ -ը սկզբնական ելքը և ճնշումն են, երբ սիֆոնը սկսում է աշխատել ամբողջ կտրվածքով,  $b$ -ն լայնությունն է,  $(z-h)$ -ը քթիկի խորությունն է հաշված ջրաթափի շուրթից:

#### 4.6. ՀՈՐԱՆԱՅԻՆ ԶՐԶԵՈՒ ԶԱՇՎԱՐԿԸ

Հորանային ջրհեռի (կամ ջրաթափերի) հիդրավիկական հաշվարկի բոլորություն ունեցող մեթոդը առաջարկվել է Ա. Ն. Ախուտինի կողմից:

Այս մեթոդի էությունը հետևյալն է: Հորանային ջրաթափի ելքը որոշվում է ջրաթափի ունիվերսալ բանաձևով, հաշվի առնելով ցլիկների

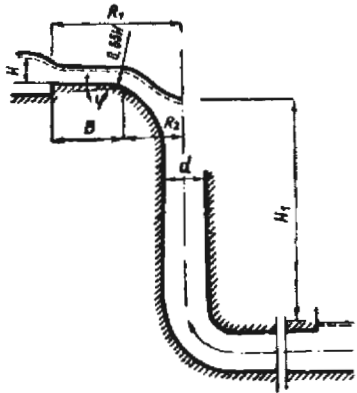
պատճառով ճակատի փոքրացումը և շիթերի սեղմումը հատակագծում:  
 Հորանային ջրաթափի արտաքին շառավիղը կորոշվի՝

$$R_1 = \frac{1}{2\pi} \left( \frac{Q}{\varepsilon m_2 \sqrt{2gH^{3.2}}} + t_s \right) \quad (4.91)$$

բանաձևով, որտեղ  $m_2$ -ը և  $H$ -ը ջրաթափի ելքի գործակիցն ու ճնշումն են,  $t$ -ն և  $S$ -ը՝ ցլիկների քանակը և հաստությունը,  $\varepsilon$ -ը սեղմման գործակիցն է, որի միջին արժեքը ցլիկների առկայության դեպքում ընդունվում է 0,9:

Երբ  $2 < \frac{R_1}{H} < 5$  ջրաթափը արվում է գործնական պրոֆիլով, իսկ

$\frac{R_1}{H} > 7$ ՝ հարթ շևմքով (շուրթով): Շեմքի երկարությունը ընդունվում է  $3,5 H < B < (0,4 \div 0,5) R_1$ : Թեքման  $\varphi_0$  անկյունը արվում է  $6-9^\circ$ :



Նկ. 4.26. Հորանային ջրթողի հաշվարկային սխեման:

Ընդունվում է նաև, որ շեմքի վերջում ջրի խորությունը  $0,65 H$  է (Նկ. 4.26):

Ջրաթափի պրոֆիլը արվում է ոչ վակուումային, հորանի և հեռացող թունելի արամագիծը ընտրվում է այն հաշվով, որ ջրհեռի ամբողջ  $H_1$  ճնշումը ծախսվի համակարգի հիդրավիկական կորուստները հաղթահարելու համար: Եման ձևով է կատարվում նաև գործնական պրոֆիլով հորանային ջրհեռի հիդրավիկական հաշվարկը (ավելի մանրամասն տես<sup>1</sup>):

Այս մեթոդը մեր կարծիքով ունի հետևյալ լուրջ թերությունները:

1. Ջրաթափի ելքի բանաձևը (4.91) կարելի է կիրառել միայն այն դեպքում, երբ ջրաթափի շուրթի թեքությունը մեծ է կրիտիկականից ( $i_0 = \sin \varphi_0 > i_{կր}$ ) և ջրաթափը սուղված չէ:
2. Շեմքի վերջում խորությունը ընդունել  $0,65 H$  խիստ մոտավոր է և չհիմնավորված, այն կախված է ելակետային հիդրավիկական ցուցանիշներից:
3. Ոչ ճնշումային պրոֆիլը ոչ միշտ է ռացիոնալ և անգամ իրագործելի: Մեծ ելքերի և փոքր ճնշումների համար հորանի և թունելի տրամագծերը մեծ են ստացվում: Ազատ շիթերի հատումը առանցքի վրա

ստացվում է մեծ խորություն վրա (անգամ հորանի խորությունից մեծ), որի պատճառով փոքրանում է  $H_1$  ընդհանուր ճնշումը, որը հանգեցնում է հորանի և հեռացող թունելի տրամագծերի մեծացման:

Այդպիսի դեպքերում մեզ թվում է, որ պետք է ջրաթափի պրոֆիլը ընդունել ճնշումային, որը կբերի թափվող շիթերի հատում ավելի բարձր նիշերի վրա, որը և կհանգեցնի թունելի և հորանի տրամագծերի փոքրացմանը և կլինի տնտեսապես ավելի շահավետ:

4. Այն հնարավորություն չի տալիս կատարել հորանային ջրաթափի հիդրավիկական հաշվարկը սուղված ջրաթափի դեպքում և այն դեպքում, երբ հորանի և թունելի տրամագիծը և ելքը տարբերվում են հաշվարկային արժեքներից:

5. Կամայական կտրվածքի լրիվ միջին արագությունը որոշված է սխալ:

$$v = \sqrt{v_1^2 + 2gy + 2v_1 \sin \varphi \sqrt{2gy}} \quad (4.92)$$

բանաձևում երրորդ անդամը արմատի տակ գոյություն չունի, որը հեշտ է ապացուցել էներգիայի հաշվեկշռից՝

$$\frac{mv^2}{2} = \frac{mv_1^2}{2} + mgy, \quad (4.93)$$

որտեղ  $m$ -ը ջրի զանգվածն է,  $v_2$ -ը միջին արագությունն է շեմքի վերջում (ձազարի սկզբնական կտրվածքում),  $y$ -ը կամայական կտրվածքում առանցքի օրդինատն է, հաշված շեմքի սկզբնական կտրվածքից:

6. Ջրի շարժումը ջրաթափի վրա ընդունվում է ինչպես ազատ թափվող շիթ, ճնշումը շիթի բոլոր կետերում ընդունելով մթնոլորտային:

Իրականում թափվող շիթի վրա ազդում են ծանրության, կենտրոնախույս, ճնշման, շփման ուժերը: Բացի այդ հատակագծում հոսանքի նեղացման պատճառով առաջանում են կողային ճնշման ուժեր: Նշված ուժերը ազդում են հոսանքի արագության վրա և փոխում ջրաթափի պրոֆիլի ձևը:

Ա. 2. Ղարանֆիլյանը, հոսանքը ընդունելով միաշափ և օգտագործելով շարժման քանակների թեորեմը, գուրս է բերում շարժման դիֆերենցիալ հավասարումները անշափ մեծություններիով, որոնք կարելի է լուծել միայն թվային մեթոդներով էՄ-ի կիրառումով:

Վերլուծությունը ցույց է տվել, որ այս մեթոդով ջրաթափերի ստացված պրոֆիլները տարբերվում են Ա. Ն. Ախուտինի մեթոդով ստացված պրոֆիլներից հիմնականում կողային սեղմման պատճառով, ձազարի փոփոխական տրամագծի մեծացման ձևով: Սակայն այդ մեծացումը մեծ չէ և կազմում է  $2-5\%$ :

<sup>1</sup> Справочник по гидротехнике, М., Госстройиздат, 1955, 115 с.

Հարորատոր և բնօրինակային հետազոտությունները ցույց են տվել, որ Ա. Ն. Ախուտինի մեթոդով կառուցված պրոֆիլներով ջրաթափերի թողունակությունները միշտ փոքր են հաշվարկայինից: Տրամագծերի մեծացումը 2—5 %-ի չափով հանգեցնում է թողունակության մեծացման մինչև 10 %-ի չափով և հաշվարկային թողունակության ապահովման: Ա. Ն. Ախուտինի մեթոդով հաշվարկ կատարելիս Ա. Հ. Ղարանֆիլյանը առաջարկում է ուղղաձիգ հորանի տրամագիծը որոշել

$$\frac{d_r}{H} = 2.36 - 0.04 \frac{R_1}{H} \quad (4.94)$$

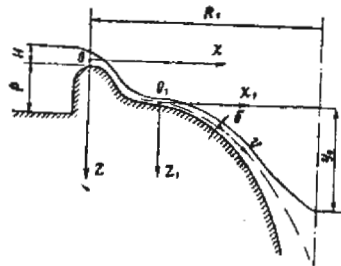
բանաձևով:

Ջրաթափի ելքի գործակիցը բնդհանուր դեպքում կախված է ջրաթափի հարաբերական ճնշումից ( $H/R_1$ ), շեմքի հարաբերական բարձրությունից ( $p/R_1$ ), մտնեցման անկյունից ( $\alpha/2\gamma$ ), հարաբերական խորրդությունից ( $\Delta/H$ ) և ըստ Ղարանֆիլյանի որոշվում է հետևյալ ձևով՝

$$m_z = m k_{p\alpha} k_{\Delta} \quad (4.95)$$

որտեղ  $m = 0.557 - 0.172 H/R_1$ ,  $k_{p\alpha}$  և  $k_{\Delta}$  ուղղորդ գործակիցները որոշվում են ըստ Ա. Հ. Ղարանֆիլյանի կողմից ստացված էմպիրիկ բանաձևերի:

Ա. Ն. Ախուտինի մեթոդի վերաբերյալ 3-րդ կետում նշված թերությունը վերացնելու նպատակով Ա. Հ. Ղարանֆիլյանը առաջարկում է երկաստիճան անկումով հորանային ջրաթափ (նկ. 4.27), որի հիմնական առավելությունները հետևյալներն են՝



Նկ. 4.27. Երկաստիճան անկումով հորանային ջրթողի սխեման (ըստ Ա. Հ. Ղարանֆիլյանի)

1. Ջրաթափային ձագարում համարյա չեն առաջանում ջրապտույտներ, իսկ եթե առաջանում են, ապա նրանք ունեն փոքր հզորություն և կարելի է դրանք հեշտությամբ վերացնել հակաջրապտուտային պատի օգնությամբ:

2. Երկաստիճան հորանային ջրաթափի արտաքին շառավիղը միշտ մեծ է գործնական պրոֆիլով հորանային ջրաթափի շառավիղից, որը հանգեցնում է թափվող շերտի փոքրացմանը, հետևարար և օգտակար ծավալի մեծացմանը և նՊՄ-ի բարձրացմանը: Երկաստիճան հորանային ջրաթափի ճնշումը որոշվում է

$$\frac{H_0}{H_1} \leq \left( \frac{m_{z1}}{m_{z0}} \frac{R_1}{R_0} \right)^{2/3} \quad (4.96)$$

բանաձևով, որտեղ զրո ինդեքսով անդամները վերաբերում են երկաստիճան հորանային ջրաթափին, իսկ մեկ ինդեքսով անդամները գործնական պրոֆիլով կամ լայն շեմքով հորանային ջրաթափին:

Երկաստիճան հորանային ջրաթափի դեպքում ճնշման փոքրացումը կարտահայտվի

$$\frac{\Delta H}{H_1} = 1 - \left( \frac{m_{z1}}{m_{z0}} \frac{R_1}{R_0} \right)^{2/3} \quad (4.97)$$

բանաձևով:

Մեր կողմից առաջարկված է հորանային ջրհեռի հիդրավիկական հաշվարկի նոր մեթոդ. ընդունելով հեղուկի շարժումը հարթ շուրթի և ջրաթափի վրա որպես անհավասարաչափ շարժում հատակագծում շառավղային հոսքի գծերով և ուղղաձիգ հարթության մեջ կորագիծ հատակով: Կենդանի կտրվածքները ընդունված են շարժման ուղղությամբ գլանային մակերևույթներ:

Օգտվելով գլանային կոորդինատներից հաշվարկային սխեման բերվում է հարթ խնդրի, որի համար կարելի է օգտագործել անհավասարաչափ շարժման դիֆերենցիալ հավասարումը:

Տվյալ հաշվարկային սխեմայի համար ջրաթափի շեմքի սահմաններում շարժման (3.20) դիֆերենցիալ հավասարումը կստանա հետևյալ տեսքը՝

$$\frac{dh}{dr} = \frac{-\sin\varphi_0 + \frac{\zeta^2 n^2}{r^2 h^{3+2y}} + \frac{\alpha q^2}{g r^3 h^2}}{\cos\varphi_0 - \frac{\alpha q^2}{g r^2 h^3}} \quad (4.98)$$

որտեղ  $i_0 = \sin\varphi_0$ -ն շեմքի թեքությունն է,  $h$ -ը հոսանքի խորությունն է նորմալի ուղղությամբ,  $r$ -ը կամայական կտրվածքի շառավիղն է,  $q = Q/2\pi$ -ն տեսակարար ելքն է մեկ ուղղանկյան համար:

Սահմանային պայմանները լինում են  $r = R_1$ ,  $h = h_{\text{կո}}$  ( $R_1$ -ը շեմքի մուտքի շառավիղն է,  $h_{\text{կո}}$ -ը՝ կրիտիկական խորությունը մուտքի կտրվածքում): (4.98) դիֆերենցիալ հավասարման վերլուծությունը ցույց է տալիս, որ բուն հոսանքների համար ըստ շարժման ուղղության ( $r$ -ի փոքրացման) երկրաչափական անկումը ( $i_0$ ) փոքրացնում, իսկ հիդրավիկական դիմադրությունները ( $q^2 n^2 / r^2 h^{3+2y}$  անդամը) և հունի նեղացումը ( $\alpha q^2 / g r^3 h^2$  անդամը) մեծացնում են հոսանքի խորությունը: Արդյունքում աղատ մակերևույթի կորերը կարող են լինել տարբեր հնարավոր ձևերի:

էՆՄ-ի միջոցով կատարելով (4.98) հավասարման ինտեգրումը,

շեմքի սահմաններում ստանում ենք ազատ մակերևութների կորի կոորդինատները:

Ձագարի հիդրավիկական հաշվարկը հանդում է հեղուկի շարժման դիֆերենցիալ հավասարման ինտեգրմանը կոր հատակով տրված պրոֆիլի սահմաններում: Ուսուցիկ կոր հատակով հունում հեղուկի շարժման դիֆերենցիալ հավասարումը գլանային կոորդինատներով, հաստատուն էլքի դեպքում ըստ (3.20)-ի կարտահայտվի՝

$$\frac{dh}{dr} = \frac{\left(1 + h \frac{d\varphi}{dl}\right) \sin\varphi - \frac{Q^2}{A^2 C^2 R} + \frac{Q^2}{g A^3} \left(\alpha - k \frac{h}{R_0}\right) \frac{\partial A}{\partial l}}{\cos\varphi - \frac{Q^2}{g A^3} \left(\left(\alpha - k \frac{h}{R_0}\right) \frac{\partial A}{\partial h} + \frac{k A}{2 R_0}\right)}, \quad (4.99)$$

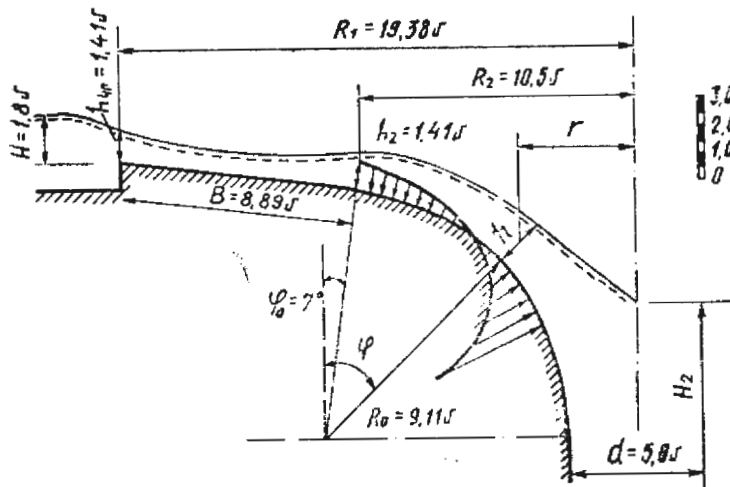
Այն մասնավոր դեպքում, երբ ձագարի պրոֆիլը ներկայացնում է շրջագծի աղեղ, կունենանք  $dl = R_0 d\varphi$  ( $R_0$ -ն հատակի կորուստի շառավիղն է):

Ըստ նորմալի ուղղության կենդանի կարվածքի մակերեսը կլինի  $\Lambda = 2\pi r h$ , որտեղ  $r$ -ը կարվածքի միջին շառավիղն է և որոշվում է

$$r = R_0 - (R_0 + 0.5h) \sin\varphi + R_0 \sin\varphi_0 \quad (4.100)$$

բանաձևով, որտեղ  $R_0$ -ը ձագարի սկզբի շառավիղն է,  $\varphi_0$ -ն սկզբնական կարվածքի թեքման անկյունն է (նկ. 4.28):

Քրջված պարագիծը կլինի  $\chi = 2\pi(r + 0.5h \sin\varphi)$ : Հաշվի առնելով, որ



Նկ. 4.28. Հորանի շուրթի և ձագարի հաշվարկային սխեման և որինակ 4.6-ի ազատ մակերևութի կորը ու ճնշման էությունը:

$$\frac{\partial A}{\partial l} = -2\pi \left(1 + \frac{h}{2R_0}\right) \cos\varphi \quad \frac{\partial A}{\partial h} = 2\pi(r - 0.5h \sin\varphi)$$

և Շեղիի գործակիցը որոշելով Ն. Ն. Պավլովսկու  $C = \frac{1}{n} R^y$  բանաձևով, որոշ ձևափոխություններից հետո կստանանք

$$\frac{dh}{d\varphi} = \frac{X}{y}, \quad (4.101)$$

որտեղ

$$X = (R_0 + h) \sin\varphi - \frac{q^2 R_0^2}{r^2 h^{3+2y}} \left(1 + \frac{h}{2r} \sin\varphi\right)^{1+2y} + \frac{\alpha q^2 R_0}{g r^3 h^2} \left(1 + \frac{h}{2R_0}\right) \cdot \left(1 - k \frac{h}{R_0}\right) \cos\varphi,$$

$$Y = \cos\varphi - \frac{\alpha q^2}{g h^3 r^3} \left(r \left(1 - \frac{kh}{2R_0}\right) - \frac{h \sin\varphi}{2} \left(1 - \frac{kh}{R_0}\right)\right),$$

է ՀՄ-ի օգնությամբ ինտեգրելով (4.101) հավասարումը, ձագարի սահմաններում կառուցում ենք ազատ մակերևութի կորը, որպես սահմանային պայման օգտագործելով հարթ շեմքի վերջում ջրի խորությունը ( $r = R_0$ ,  $h = h_0$ ):

Ճնշումը ձագարի պրոֆիլի վրա մինչև ազատ մակերևութի կորի հատումը առանցքի հետ, հաշվի առնելով ճնշման շեղումը հիդրոստատիկ ճնշումից կենտրոնախույս ուժերի պատճառով, համաձայն (1.67—1.69)-ի, կորոշվի

$$\frac{p}{\rho g} = h \cos\varphi - \frac{Q^2}{2g\pi r h} \ln\left(1 + \frac{h}{R_0}\right) \quad (4.102)$$

բանաձևով:

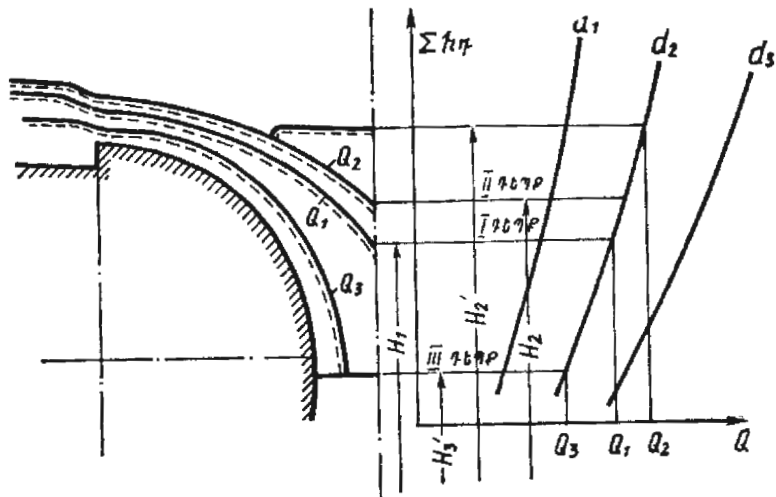
Հորանի և հեռացող թունելի տրամագիծը որոշվում է վերևում նշված սկզբունքով:

Մեր կողմից առաջարկվող մեթոդը հնարավորություն է տալիս կատարելու հորանային ջրհեռի հիդրավիկական հաշվարկը նրա աշխատանքի տարբեր, այդ թվում նաև սուզված ուժերի համար:

Քննարկենք հորանային ջրհեռի աշխատանքի մի քանի դեպքեր (ոեծիմներ):

Առաջին դեպքում (նկ. 4.29) թողարկվող էլքը  $Q_1$ , այնպիսին է, որ ազատ մակերևութների հատումը կատարվում է այնպիսի  $H_1$  բարձրության վրա, որն ապահովում է  $H_1$  ճնշման հավասարվելը Շևո գումարային հիդրավիկական կորուստների հետ:

Երկրորդ դեպքում ազատ մակերևութների հատումը կատարվում է այնպիսի բարձրության վրա, որը չի ապահովում  $Q_2$  էլքի թողարկումը



Նկ. 4.29. Հորանային ջրհեռի աշխատանքի երեք դեպքերը:

հեռացնող թունելով: Այս դեպքում առաջանում է կտր ճիգրավիկական թոփչք և ձագարի վրա հաստատվում է այնպիսի  $H'_2$  խորություն, որն ապահովում է  $H'_2 = \Sigma h_{\eta}$  պայմանը, այսինքն թողարկում է  $Q_2$  ելքը:

Եթե ջրաթափի վրա ստացվի այնպիսի խորություն, որ ջրի հորիզոնը բարձր լինի ջրաթափի սկզբում կրիտիկական խորության հորիզոնից, ապա ջրաթափը կաշխատի սուզված ուժով:

Սուզված ջրաթափի ելքը կորոշվի

$$Q = \epsilon \cdot (2\pi R_1 - ts) h \sqrt{2g(H-h)} \quad (4.103)$$

բանաձևով, որտեղ  $h$ -ը ձագարում ջրի հորիզոնի և ջրաթափի շեմքի հատակի նիշի տարբերությունն է:

Երբուդ դեպքում թողարկվող  $Q_3$  ելքը այնքան փոքր է, որ ազատ մակերևույթի կորը չի հասնում առանցքի հետ: Այդ դեպքում հորանում հաստատվում է այնպիսի հորիզոն, որն ապահովում է սովյալ ելքի թողարկումը, այսինքն  $H'_3 = \Sigma h_{\eta}$ :

Նկ. 4.29-ում տրված թունելի տարրեր տրամագծերին համապատասխանող բնութագրերը հնարավորություն են տալիս վերլուծել հորանային ջրհեռի աշխատանքը հեռացնող թունելի տարրեր տրամագծերի դեպքում:

Նշենք, որ գոյություն ունեն հորանային ջրհեռի հաշվարկի ուղիղ և հակադարձ խնդիրներ:

**Ուղիղ խնդիր:** Տրված են ջրհեռի ելքը ( $Q$ ), թափվող շերտի բարձրությունը ( $H$ ) և վերին ու ներքին ռվեֆների միջև երկրաչափական

անկումը: Պետք է որոշել հորանային ջրհեռի շափերը, որը կապահովի այս ելքի թողարկումը:

**Հակադարձ խնդիր:** Տրված է ջրհեռի շափերը: Պետք է տարբեր ելքերի համար պարզել ճիգրավիկական ուժերները (կառուցել ազատ մակերևույթի կորերը, պարզել ջրաթափի սուզվածության պայմանը և այլ ճիգրավիկական ցուցանիշները):

Ա. Ն. Ախուտինի մեթոդը հնարավորություն է տալիս լուծել միայն ուղիղ խնդիրը, իսկ մեր առաջարկած մեթոդը՝ և մեկը, և մյուսը:

Մեր հետազոտությունները ցույց են տվել, որ ճիգրավիկական դիմադրությունների հաշվի առնելը քիչ է ազդում շեմքի և ձագարի հաշվարկի արդյունքների վրա և գործնական հաշվարկներում այն կարելի է արհամարհել: Նշված պայմանը ոչ միայն հեշտացնում է հաշվարկը, այլև հնարավորություն է տալիս հաշվարկը կատարել ցանկացած բարդ պրոֆիլի համար, օգտվելով Բենուլիի հավասարման անմիջական կիրառման մեթոդից:

**Օրինակ 4.6:** Տրված է ջրհեռի ելքը՝  $Q = 469 \text{ մ}^3/\text{վ}$ , թափվող շերտի հաստությունը՝  $H = 1,8 \text{ մ}$ , թունելի տրամագիծը՝  $d = 5,0 \text{ մ}$ , ձագարի պրոֆիլը շրջանային է  $R_0 = 9,112 \text{ մ}$  շառավղով, խորությունը շրջանային գործակիցը ընդունված է  $\epsilon = 0,012$ : Ջրաթափի ելքի գործակիցը ընդունենք  $\epsilon_{\text{մ}} = 0,36$ : Պահանջվում է կատարել հորանային ջրհեռի ճիգրավիկական հաշվարկը:

Լուծում: Ըստ (4.91) բանաձևի որոշում ենք  $R_1$  շառավղը

$$R_1 = \frac{1}{2\pi} \cdot \frac{469}{0,36 \sqrt{2 \cdot 9,81 \cdot 1,8^3}} = 19,38 \text{ մ}$$

Ընդունում ենք  $\varphi_0 = 7^\circ$ ,  $B = 8,89 \text{ մ}$ : Շեմքի սկզբում առաջանում է կրիտիկական խորություն, որը կլինի՝

$$h_{\text{կր}} = \sqrt[3]{\frac{2Q^2}{(2\pi R_1)^2 g \cos \varphi}} = \sqrt[3]{\frac{1,1 \cdot 469^2}{(2 \cdot \pi \cdot 19,38)^2 \cdot 9,81 \cos 7^\circ}} = 1,19 \text{ մ}$$

(4.98) հավասարման ինտեգրման սկզբնական պայման է հանդիսանում ջրաթափի շեմքի խորությունը՝  $r = R_1 = 19,38 \text{ մ}$ ,  $h_1 = h_{\text{կր}} = 1,19 \text{ մ}$ : էՉՄ-ի օգնությամբ կատարելով թվային ինտեգրում, ստանում ենք ազատ մակերևույթի կորի կոորդինատները մինչև շեմքի վերջը: Այդ կորվածքից ինտեգրումը կատարվում է (4.101) հավասարումով, մինչև ջրի մակերևույթը հատվի հոսանքի առանցքի հետ: Միաժամանակ ըստ (4.102)-ի որոշվում է ճնշման փոփոխությունը ջրաթափի պրոֆիլի վրա:

Նկ. 4.28-ում տրված է ազատ մակերևույթի կորը և ճնշման փոփոխման էպյուրը 4.6 օրինակի համար: Հորանի և հեռացող թունելի տրամագծերի ընտրությունը այս օրինակում չի բերվում:

4.7. «ՄԱՐԳԱՐԻՏԿԱՅԻ» ՀԱՇՎԱՐԿԸ

1951 թ. բարձր պատվարների Ալժիրի կոմիտեի կողմից առաջարկվեց նախագծել հորանային ջրհեռ Սարնո պատվարի մոտ, Մեկկերա գետի հեղեղային ջրերը հեռացնելու համար, որը հասակագծում ուներ մարգարտածաղկի ձևը:

Ինչպես ցույց տվեցին փորձնական հետազոտությունները, «մարգարտակա» տիպի ջրհեռը հասակագծում միևնույն շառավղով շրջանային գծագրություն ունեցող հորանային ջրհեռի նկատմամբ ունի մի շարք առավելություններ: Ենթահիվ ջրաթափային ճակատի մեծացման, զգալիորեն փոքրանում է թափվող շերտի հաստությունը, փոքրանում են շինարարական աշխատանքների ծավալը, արժեքը և լավանում է ջրթողի վրա հիդրավլիկական պատկերը:

Հաշվի առնելով, որ Սարնոյի ջրհեռը նախագծելիս չկար նրա հաշվարկի վերաբերյալ ոչ մի տեսական հետազոտություն, Վ. Գ. Սանոյանը և Մ. Լ. Խուբլարյանը կատարեցին «մարգարտակայի» տեսական և լաբորատոր ուսումնասիրությունները:

Տեսական հետազոտության հիմքում ընկած է այն պայմանը, որ «մարգարտակայի» ճակատի ըղրը կետերում արագության վեկտորը ունենա նորմալի ուղղությունը, որը և կապահովի ջրթողի ամենամեծ թողունակությունը:

Վ. Գ. Սանոյանի և Մ. Լ. Խուբլարյանի լուծումը տարածական չէ, այլ հարթ: «Մարգարտակայի» ամեն մի թերթիկը (թևը) ընդունվում է որպես բացասական աղբյուր՝ կլանիչ: Ընդունենք, որ ունենք  $Q/n$  ելքով  $n$  հատ կլանիչ, որոնք հեռացված են կենտրոնից  $a$  շառավղով: Նշանակելով հարթության ցանկացած կետի կոմպլեքս կոորդինատը կոորդինատային սկզբնակետի նկատմամբ  $z$ -ով, իսկ առանձին կլանիչների նկատմամբ  $z_k (k=1, 2, \dots, n)$ -ով, շարժման կոմպլեքս պոտենցիալը կլինի՝

$$W = \frac{Q}{2\pi n} \sum_{k=1}^n \ln z_k, \quad (4.104)$$

հաշվի առնելով, որ

$$z_k = e^{i\theta} - ae^{-i\frac{2\pi k}{n}}, \quad (4.105)$$

Արագության պոտենցիալի և հոսանքի ֆունկցիայի արժեքները կստացվեն հետևյալ տեսքով

$$\varphi = \frac{Q}{4\pi n} \ln(\rho^{2n} + a^{2n} - 2\rho^n a^n \cos n\theta), \quad (4.106)$$

$$\psi = \frac{Q}{2\pi k} \sum_{k=0}^{n-1} \arctg \left( \frac{\rho \cos \theta - a \sin \frac{2\pi k}{n}}{\rho \cos \theta - a \cos \frac{2\pi k}{n}} \right), \quad (4.107)$$

Հավասարեցնելով արագության պոտենցիալը հաստատունի ( $\varphi = \text{const}$ ), կստանանք հաստատուն պոտենցիալների գծերի ընտանիք, որը և կլինի «մարգարտակայի» գծագրությունը հասակագծում, քանի որ այս գծերից յուրաքանչյուրի վրա արագությունը ունի նորմալի ուղղությունը:

«Մարգարտակայի» հավասարումը  $\rho$  և  $\theta$  բևեռային կոորդինատներով կունենա հետևյալ տեսքը՝

$$\rho^{2n} - a^{2n} - 2\rho^n a^n \cos n\theta = \text{const}, \quad (4.108)$$

լուծելով  $\cos n\theta$ -ի նկատմամբ, կստանանք՝

$$\cos n\theta = \frac{(\rho/a)^{2n} - C}{2(\rho/a)^n}, \quad (4.109)$$

Այստեղ  $C$ -ն հաստատուն է, որի արժեքը որոշվում է ըստ խնդրի տվյալների:

Պետք է նշել, որ հոսքի ֆունկցիան ըստ (4.107)-ի կառուցելը բարդ է և հարմար է այն կառուցել արագության պոտենցիալի միջոցով, քանի որ այս երկու գծերի ընտանիքները կազմում են օրթոգոնալ ցանց՝

$$\frac{\partial \varphi}{\partial a} = \frac{1}{a} \frac{\partial \psi}{\partial \theta} \quad \text{և} \quad \frac{1}{a} \frac{\partial \varphi}{\partial \theta} = - \frac{\partial \psi}{\partial a}, \quad (4.110)$$

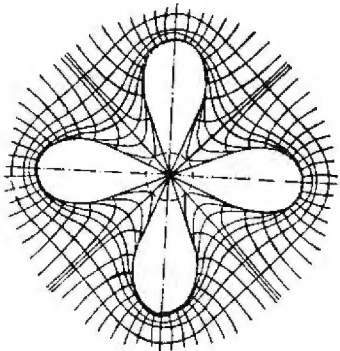
$$\varphi = \int_0^\theta a \frac{\partial \varphi}{\partial a} d\theta, \quad (4.111)$$

Ըստ (4.106) և (4.107) բանաձևերի և  $\varphi = \text{const}$  պայմանի կստանանք հոսքի գծերի հետևյալ հավասարումը՝

$$a = \left( \frac{\lg \left( \frac{n^j - C}{2} \right) \mp \lg \left( \frac{n\theta}{2} \right)}{\lg \left( \frac{n^b - C}{2} \right) \pm \lg \left( \frac{n^j}{2} \right)} \right), \quad (4.112)$$

Վերևի նշանը համապատասխանում է  $a < 1$ , իսկ ներքևինը՝  $a > 1$ :

«Մարգարտակայի» հավասարումը ունի երեք պարամետր՝  $n$ ,  $a$ ,  $C$ , որոնք որոշվում են ամենամոտ կետերի  $r$  շառավղի և  $R$  ամենահեռացված կետերի շառավղի միջոցով:



Նկ. 4.30. «Մարգարիտկայի» գծագրությունը, հաստատուն հոսքի գծերը և էկվիպոտենցիալ գծերը:

զոտությունները չորս և վեց թևանի «մարգարիտկաների» վրա ցույց տվեցին, որ հոսքի գծերը գործնականորեն ունեն ճակատի նորմալի ուղղությունը: Բարակ պատով «մարգարիտկայի» էլքի գործակիցը կարելի է ընդունել  $m_2 = 0,495$ :

Նկ. 4.31-ում տրված է Տաթևի ՀէԿ-ի «մարգարիտկա» ջրհեռի գործող կառուցվածքի տեսքը:



Նկ. 4.31. Տաթևի ՀէԿ-ի «մարգարիտկան»:

Նկ. 4.30-ում ցույց է տրված «մարգարիտկայի» գծագրությունը, երբ  $n=4$ , կառուցված ըստ (4.109) բանաձևի, ինչպես և էկվիպոտենցիալ գծերը: Այս կորերից յուրաքանչյուրը կարող է հանդիսանալ ջրաթափի մասի ուղղագիծը: Ըստ կորերի ընտանիքի որոշվում է այն կորը, որը համապատասխանում է  $r$  և  $R$  շառավիղներին և առվակի  $b$  լայնությունը:

ՀՍՍՀ ջրային տնտեսության մինիստրության ջրային պրոբլեմների ԳՀԻ-ի լաբորատորիայում Տաթևի ՀէԿ-ի և Կեչուտի հիդրոհանգույցի մոդելային էքսպերիմենտալ հետազոտությունները

Քննարկենք «մարգարիտկայի» հաշվարկի մեթոդիկան:

**1-ին դեպք:** Տրված են  $r$  և  $R$  շառավիղները (կամ նրանցից մեկը և  $\lambda = R/r$  հարաբերությունը): Այս դեպքում հաշվարկը կատարվում է հետևյալ ձևով: Որոշվում են  $a$  և  $C$  պարամետրերն ըստ հետևյալ բանաձևերի

$$a = r \sqrt[n]{\frac{\lambda - 1}{2}}, \quad (4.113)$$

$$C = \frac{4\lambda^n}{(\lambda^n - 1)^2}, \quad (4.114)$$

երբ  $n \geq 3$ , ապա այս բանաձևերը պարզեցվում են

$$a = \frac{\rho}{2^{1/n}}, \quad (4.115)$$

$$C = \frac{4}{\lambda^n}, \quad (4.116)$$

Ջրաթափի թափվող ճակատի երկարությունը մինչև 5 %-ի ճշտությամբ կարելի է որոշել ըստ հետևյալ բանաձևի՝

$$l_2 = \frac{2n}{\cos \alpha/2} \left( R - r \left( 1 - \sin \alpha \cos \frac{\alpha}{2} \right) \right), \quad (4.117)$$

որտեղ  $\alpha = \pi/n$ :  $l_2$ -ը ավելի ճիշտ կարելի է որոշել միայն ըստ (4.109)-ի, այն գրաֆիկորեն կառուցելուց հետո շփելով կորի պարագծի երկարությունը:

Հատակագծում «մարգարիտկայի» ուղղագիծը կառուցելու համար հարմար է օգտվել

$$\cos n\theta = \frac{1}{2} \left( \bar{\rho}^n - \frac{C}{\bar{\rho}^n} \right), \quad (4.118)$$

տեսքից, որտեղ  $\rho = \rho/a$  անչափ շառավիղն է:

Տալով  $\bar{\rho}$ -ին  $\bar{\rho}_{\min} = r/a$ -ից մինչև  $\bar{\rho}_{\max} = R/a$  արժեքներ, որոշվում են  $\cos n\theta$ -ն և

$$\theta = \frac{\arccos n\theta}{n}, \quad (4.119)$$

Ամեն մի  $\rho$  և  $\theta$  զույգի համար որոշվում են անչափ դեկարտյան կոորդինատները

$$\bar{x} = \bar{\rho} \cos \theta, \quad \bar{y} = \bar{\rho} \sin \theta, \quad (4.120)$$

և շափալի կոորդինատները

$$x = a\bar{x}, \quad y = a\bar{y}; \quad (4.121)$$

Տեղադրելով որևէ հորիզոնական առանցքի վրա  $x$ -ի և նրան ուղղահայաց երկու կողմից  $y$ -ների արժեքները, գրաֆիկորեն կառուցվում է մեկ թևը: Մնացած թևերի գրաֆիկական կառուցումը կատարվում է նույն ձևով միայն նոր առանցքի շուրջը, որը պտտված է  $\frac{2\pi}{n}$  անկյան տակ:

**2-րդ դեպք:** Տրված է ջրհեռի ելքը ( $Q$ ), ամենամոտ կետերի շառավիղը ( $r$ ) և թափվող շերտի հաստությունը ( $H$ ):

Այս դեպքում նախ որոշվում է ջրաթափալի ճակատի երկարությունը ըստ ջրաթափի համապիտանի (ունիվերսալ) բանաձևի (արհամարհելով մոտեցման արագությունները).

$$L_2 = \frac{Q}{m_1 \sqrt{2gH^{3/2}}}, \quad (4.122)$$

$L_2$ ,  $r$  և  $a$  մեծությունները իրար հետ կապված են հետևյալ բանաձևով

$$\frac{L_2}{2an(1+r^n)} = \bar{l} = \bar{\rho}_0 + \frac{\bar{\rho}_0^{2n+1}}{8(2n+1)} - \frac{\bar{\rho}_0^{2n}(2+r^n)}{4} - r \left( 1 - \frac{\bar{l}^n}{4(2+r^n)} - \frac{(2+r^n)^2}{8(2n-1)} \right), \quad (4.123)$$

որտեղ  $r = \frac{r}{a}$ ,  $\bar{\rho}_0$ -ն և  $\bar{l}$ -ը կախված են միայն  $n$ -ից և 3...8 արժեքների

համար տրված են աղյուսակ 4.9-ում:

Աղյուսակ 4.9

| $n$ | $\bar{\rho}_0$ | $\bar{l}$ | $n$ | $\bar{\rho}_0$ | $\bar{l}$ |
|-----|----------------|-----------|-----|----------------|-----------|
| 3   | 0,975          | 0,543     | 6   | 0,955          | 0,293     |
| 4   | 0,965          | 0,419     | 7   | 0,955          | 0,256     |
| 5   | 0,960          | 0,344     | 8   | 0,955          | 0,228     |

Երբ  $n > 8$ , ապա  $\bar{\rho}_0 = 0,955$ , իսկ  $\bar{l}$ -ը որոշվում է մոտավոր բանաձևով

$$\bar{l} = 1.57 \left( 2^{1/n} - 0.955 \cos \frac{90^\circ}{n} \right), \quad (4.124)$$

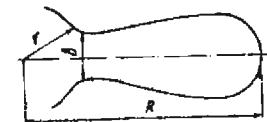
(4.123) հավասարման ձախ և այ մասերը կախված են միայն  $a$ -ից, որի մեծությունը որոշվում է փնտրման միջոցով:  $a$ -ին տրվում են կամայական արժեքներ այնքան մասնակ, մինչև (4.123) հավասարման այ և ձախ մասերը հավասարվեն:

Հարմար է  $a$ -ի որոշումը կատարել գրաֆիկորեն:  $a$ -ի արժեքները տեղադրվում են հորիզոնական առանցքի վրա, իսկ (4.123) հավասարման ձախ և այ մասերը ներկայացնող ֆունկցիաների արժեքները՝ ուղղաձիգ առանցքի վրա և կառուցվում են այդ ֆունկցիաների կորերը մինչև նրանց հասնելը, որը և կորոշի  $a$ -ի փնտրվող արժեքը:

Մոտավորապես 10 %-ից ոչ մեծ սխալով  $a$ -ի արժեքը որոշվում է հետևյալ բանաձևով

$$a = \frac{r \left( 1 - \sin \alpha \cos \frac{\alpha}{2} \right) + \frac{L_2}{2n} \cos \frac{\alpha}{2}}{2^{1/n}}, \quad (4.125)$$

$$\text{որտեղ } \alpha = \frac{180^\circ}{n}$$



Նկ. 4.32. «Մարգարիտկայի» մի թևի գծագրությունը:

Մեկ թերթի հակադիր պատերի միջև եղած ամենափոքր  $b$  հեռավորությունը (նկ. 4.32) կախված է թերթերի թվից: Այն պետք է ապահովի ջրի ազատ անցումը այդ մասով և ջրի զեղումը ջրաթափի շուրթի վրայով: Տված  $n$  թերթերի համար այդ պայմանը ստուգվում է հիդրավլիկայի հայտնի բանաձևերով:

**Օրինակ 4.7:** Տրված է  $r = 2,85$  մ,  $R = 11,6$  մ,  $n = 6$ :

(Այս տվյալները համապատասխանում են շՍՍՀ-ում կառուցված Տաթևի ՀԷԿ-ի և Կեչուտի հիդրոհանգույցի «մարգարիտկաներին»):

Պահանջվում է կառուցել ջրհեռի ուղղափոք հատակագծում:

Լ ու ռ ու մ: Տվյալ զեպքում ունենք

$$\lambda = \frac{R}{r} = \frac{11,6}{2,85} = 4,07:$$

Ըստ (4.115) և (4.116)-ի որոշում ենք  $a$ -ն և  $C$ -ն

$$a = \frac{R}{2^{1/n}} = \frac{11,6}{2^{1,6}} = 10,35 \text{ մ},$$

$$C = \frac{4}{\lambda^n} = \frac{4}{4,07^6} = 0,00088,$$

(4.118) բանաձևը ընդունում է հետևյալ տեսքը՝

$$\cos 6\theta = \frac{1}{2} \left( \bar{\rho}^6 - \frac{0,00088}{\bar{\rho}^6} \right),$$

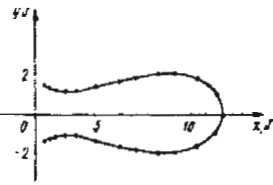
$$\bar{\rho}_{\min} = \frac{r}{a} = \frac{2,85}{10,35} = 0,275,$$

4.7 օրինակի հաշվարկի արդյունքները

| N  | $\bar{\rho}$ | $\bar{\rho}^6$           | $\frac{0,88 \cdot 10^{-3}}{\bar{\rho}^6}$ | $\frac{1}{2} \left( \frac{\cos 6\theta - 0,88 \cdot 10^{-3}}{\bar{\rho}^6} \right)$ | $\theta$ | $\theta^0$ | $\sin \theta$ | $\cos \theta$ | $\bar{x} = \bar{\rho} \cos \theta$ | $\bar{y} = \bar{\rho} \sin \theta$ | $\bar{x} = ax$ | $\bar{y} = ay$ |
|----|--------------|--------------------------|---|---|----------|------------|---------------|---------------|------------------------------------|------------------------------------|----------------|----------------|
| 1  | 0,275        | 0,423 · 10 <sup>-3</sup> | 2,000                                     | -1,00   | 150,0    | 30         | 0,5000        | 0,8660        | 0,2380                             | 0,1370                             | 2,47           | 1,42           |
| 2  | 0,28         | 0,482 · 10 <sup>-3</sup> | 1,826                                     | -0,913  | 155,90   | 23,98      | 0,4380        | 0,8990        | 0,2520                             | 0,1230                             | 2,60           | 1,31           |
| 3  | 0,30         | 0,7 · 10 <sup>-3</sup>   | 1,207                                     | -0,603  | 127,09   | 21,18      | 0,3610        | 0,9324        | 0,2797                             | 0,1084                             | 2,69           | 1,12           |
| 4  | 0,35         | 1,838 · 10 <sup>-3</sup> | 0,479                                     | -0,238  | 103,78   | 17,29      | 0,2973        | 0,9548        | 0,3342                             | 0,1030                             | 3,46           | 1,08           |
| 5  | 0,40         | 4,096 · 10 <sup>-3</sup> | 0,215                                     | -0,106  | 96,08    | 16,01      | 0,2759        | 0,9612        | 0,3845                             | 0,1100                             | 3,98           | 1,14           |
| 6  | 0,50         | 1,562 · 10 <sup>-2</sup> | 0,056                                     | -0,020  | 91,15    | 15,19      | 0,2620        | 0,9651        | 0,4325                             | 0,1310                             | 4,99           | 1,36           |
| 7  | 0,60         | 4,666 · 10 <sup>-2</sup> | 0,019                                     | 0,014   | 89,20    | 14,87      | 0,2566        | 0,9665        | 0,3799                             | 0,1539                             | 6,18           | 1,59           |
| 8  | 0,70         | 1,176 · 10 <sup>-1</sup> | 0,007                                     | 0,055   | 82,85    | 14,47      | 0,2499        | 0,9683        | 0,6778                             | 0,1750                             | 7,01           | 1,81           |
| 9  | 0,80         | 2,621 · 10 <sup>-1</sup> | 0,003                                     | 0,129   | 82,59    | 13,76      | 0,2379        | 0,9713        | 0,7770                             | 0,1903                             | 8,27           | 1,97           |
| 10 | 0,90         | 0,531                    | 0,002                                     | 0,264   | 74,69    | 12,45      | 0,2156        | 0,9765        | 0,8788                             | 0,1940                             | 9,10           | 2,07           |
| 11 | 1,00         | 1,000                    | 0,001                                     | 0,499   | 60,07    | 10,01      | 0,1738        | 0,9848        | 0,8848                             | 0,1738                             | 10,19          | 1,80           |
| 12 | 1,10         | 1,772                    | 0,000                                     | 0,886   | 27,62    | 4,60       | 0,0803        | 0,9978        | 1,0964                             | 0,0883                             | 11,35          | 0,91           |
| 13 | 1,122        | 2,000                    | 0,000                                     | 1,0   | 0        | 0          | 0             | 1,0           | 1,122                              | 0                                  | 11,60          | 0,00           |

$$\rho_{\max} = \frac{R}{a} = \frac{11,6}{10,35} = 0,121;$$

Տալով  $\bar{\rho}$ -ին արժեքներ  $0,275 \leq \bar{\rho} \leq 1,122$ , հաշորդաբար որոշվում են  $\cos 6\theta$ ,  $\cos \theta$ -ն,  $\sin \theta$ -ն,  $\bar{x}$ -ը,  $\bar{y}$ -ը,  $x$ -ը,  $y$ -ը:



Նկ. 4.33. Օրինակ 4.7-ի «մարգարիտակալի» մի թևի ուղվագիծը:

4.8. ՀԵՂՈՒԿԻ ԿՂՈՐ ՇԻԹԻ ՏԱՐԱԾՈՒՄԸ ԿՈՆԱԿԱՆ ՄԱԿԵՐԵՎՈՒՅԹԻ ՎՐԱ

Քննարկենք հեղուկի ուղղաձիգ կլոր շիթի տարածումը կոնական մակերևույթի վրա: Ընդունենք, որ կոնական մակերևույթի առանցքը համընկնում է շիթի առանցքի հետ (նկ. 4.34):

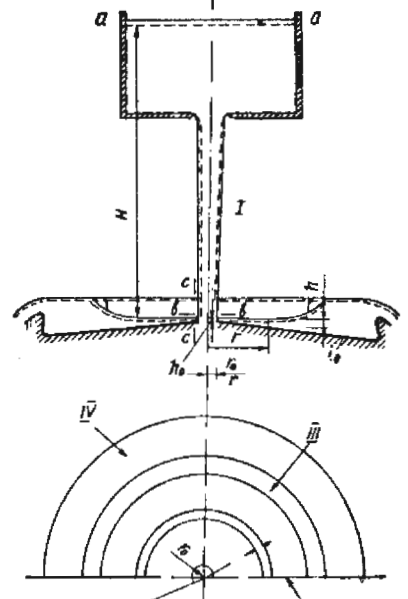
Ճնշումային համակարգերից ավելորդ ջրերի հեռացումը հաճախ կատարվում է հորանային մարիշների միջոցով: Հեղուկի կլոր շիթը մեծ արագությամբ հարվածելով մարիշի հորի հատակին, տարածվում է նրա մակերևույթի վրա, առաջացնելով կլոր հիդրավիկական թռիչք, որը, էներգիայի մարելու պայմանից պետք է լինի խեղդված:

Հանդիպելով կոնական մակերևույթին, շիթը շրջվում է նրա շառավղի ուղղությամբ և շրջահոսում մակերևույթը:

Ուղղաձիգ առանցքի դեպքում շարժման սիմետրիկության հետևանքով շարժումը կատարվում է միայն Դ-ի և Շ-ի ուղղությամբ և շարժման պատկերը դառնում է առանցքասիմետրիկ:

առանցքի շուրջը, որը շեղված է  $\frac{2\pi}{n} = \frac{360^\circ}{6} = 60^\circ$  անկյան տակ:

Նկ. 4.33-ում տրված է օրինակ 4.7-ի «մարգարիտակալի» մեկ թերթիկի ուղվագիծը:



Նկ. 4.34. Կլոր շիթի տարածումը կոնական մակերևույթի վրա (հաշվարկային սխեման):

Կոնական մակերևույթի վրա հեղուկի շարժման ուսումնասիրության համար հարմար է օղավել  $r, \theta, z$  գլանական կոորդինատներից, որոնց դեպքում տարածական խնդիրը դառնում է հարթ խնդիր:

Կոնական մակերևույթի փոքր թեքությունը և  $\theta$ -ի ուղղությամբ շարժման բացակայության պատճառով շառավղային արագությունը կարելի է դիտել որպես հաշվարկային, իսկ կենդանի կտրվածքը՝ գլանական,  $A = 2\pi r h$  մակերեսով:

Նշենք, որ անհրաժեշտության դեպքում, երբ կոնական մակերևույթի թեքությունը մեծ է, հեշտությամբ կարելի է հրաժարվել այդ հաշվարկային սխեմայից, արագությունը ընդունելով կոնական մակերևույթին զուգահեռ, իսկ կենդանի կտրվածքը՝ հատակի նորմալի ուղղությամբ գլանական մակերևույթ:

Հեղուկի շարժումը կոնական մակերևույթի վրա կարելի է բաժանել չորս տեղամասերի:

I-ազատ շիթի և կոնական մակերևույթից շիթի շրջման տեղամաս:

II-կոնական մակերևույթի վրա հեղուկի անհավասարաչափ շարժման տեղամաս:

III-կլոր հիդրավիկական թափի տեղամաս:

IV-կլոր հիդրավիկական թափից հետո հեղուկի անհավասարաչափ շարժման տեղամաս, մինչև մակերևույթի վերջը կամ անսահմանություն:

Որոշ դեպքերում խնդրի պայմաններից հլնելով III և IV տեղամասերը կարող են բացակայել:

Քննարկենք առանձին տեղամասերի հիդրավիկական հաշվարկները:

**Ազատ շիթի տեղամաս:** Հեղուկի ազատ կոմպակտ շիթը ըստ ճանապարհի բարակելով, հանդիպում է կոնական մակերևույթին և ուղղաձիգ դիրքից շրջվում կոնական մակերևույթին զուգահեռ ուղղությամբ: Որոշենք անհավասարաչափ շարժման սկզբի  $h_0$  սկզբնական խորությունը և  $r_0$  սկզբնական շառավղի: Գրենք Բեռնուլիի հավասարումը  $a-a$  և  $c-c$  կտրվածքի նկատմամբ և հաշվի առնելով, որ  $p_a = p_c = p_{atm}$ ,  $z_c = 0$  (նկ. 4.34), կստանանք՝

$$H = \frac{Q^2}{8g\varphi^2 r_0^2 h_0^2} \quad (4.126)$$

որտեղ  $\varphi$ -ն հաշվի է առնում անցքից արտահոսման, օդի դիմադրության և շրջման հիդրավիկական կորուստները, այն շատ մոտ է մեկին:

Այժմ գրենք Բեռնուլիի հավասարումը  $b-b$  և  $c-c$  կտրվածքների նկատմամբ.

$$\frac{v_b^2}{2g} = \frac{v_c^2}{2g\varphi^2} \quad (4.127)$$

որտեղ  $\varphi_1$ -ը հաշվի է առնում էներգիայի կորուստները  $b-b$ -ից  $c-c$  կտրվածքը (հիմնականում շիթի շրջման կորուստներն են):

$v_b$  և  $v_c$  արագությունները արտահայտելով  $h$ -ի միջոցով, կստանանք

$$\frac{Q^2}{2g\pi^2 r_0^4} = \frac{Q^2}{8g\varphi^2 \pi^2 h_0^2} \quad (4.128)$$

կամ, ընդունելով  $\varphi_1 = 1,0$ , կստանանք

$$h_0 = \frac{r_0}{2} \quad (4.129)$$

**Հեղուկի անհավասարաչափ շարժման տեղամաս:** Կենտրոնից կամայական հեռավորության վրա գտնվող կտրվածքում հոսանքի լրիվ տեսակարար էներգիան կլինի՝

$$\Theta = h + \frac{\alpha q^2}{2gr^2 h^2} \quad (4.130)$$

Կամայական  $r$  հեռավորության վրա այս էներգիայի միներմումի պայմանը կլինի՝

$$\frac{d\Theta}{dh} = 1 - \frac{\alpha q^2}{gr^2 h^3} = 0 \quad (4.131)$$

Այստեղից կրիտիկական խորությունը կլինի՝

$$h_{ic} = \sqrt[3]{\frac{\alpha q^2}{gr^2}} \quad (4.132)$$

Բանաձևից երևում է, որ կրիտիկական խորությունը հաստատուն մեծություն է: Երբ  $0 \leq r \leq \infty$ , ապա  $\infty \geq h_{ic} \geq 0$ : Ֆրոնտի թիվը կլինի՝

$$F_r = \frac{\alpha q^2}{gr^2 h^3} \quad (4.133)$$

երբ  $h = h_{ic}$ ,  $F_r = 1$ :

Կամայական կտրվածքի լրիվ էջը կլինի

$$H = z + h + \frac{\alpha Q^2}{2gA^2} \quad (4.134)$$

որտեղ  $z$ -ը հատակի օրդինատն է:

(4.134) հավասարումը ածանցելով ըստ  $r$ -ի, կստանանք՝

$$\frac{dH}{dr} = \frac{dz}{dr} + \frac{dh}{dr} + \frac{\alpha Q^2}{gA^3} \left( \frac{\partial A}{\partial r} + \frac{\partial A}{\partial h} \frac{dh}{dr} \right).$$

կամ, հաշվի առնելով, որ

$$\frac{dH}{dl} = -i = -\frac{Q^2}{A^2 C^2 R}, \quad \frac{dz}{dr} = -i_0$$

կստանանք՝

$$\frac{dh}{dr} = \frac{i_0 - \frac{Q^2}{A^2 C^2 R} + \frac{\alpha Q^2}{gA^3} \cdot \frac{\partial A}{\partial r}}{1 - \frac{\alpha Q^2}{gA^3} \frac{\partial A}{\partial h}}, \quad (4.135)$$

Հաշվի առնելով, որ մեր դեպքում  $A = 2\pi r h$ ,  $\chi = 2\pi r$ ,  $R = h$ ,

$$\frac{\partial A}{\partial r} = 2\pi h, \quad \frac{\partial A}{\partial h} = 2\pi r, \quad q = \frac{Q}{2\pi}$$

կստանանք՝

$$\frac{dh}{dr} = \frac{i_0 - \frac{q^2}{r^2 h^3 C^2} + \frac{\alpha q^2}{g r^2 h^2}}{1 - \frac{\alpha q^2}{g r^2 h^2}}, \quad (4.136)$$

կամ, հաշվի առնելով (4.128)-ը կստանանք՝

$$\frac{dh}{dr} = \frac{i_0 - \left(\frac{h_{kr}}{h}\right)^3 \left(\frac{g}{\alpha C^2} - \frac{h}{r}\right)}{1 - \left(\frac{h_{kr}}{h}\right)^3}$$

Մեզի գործակիցը ընդունելով ըստ Ն. Ն. Պավլովսկու  $C = \frac{1}{B} R^y$  բանաձևի կստանանք՝

$$\frac{dh}{dr} = \frac{i_0 - \frac{q^2 n^2}{r^2 h^{3+2y}} + \frac{\alpha q^2}{g r^2 h^2}}{1 - \frac{\alpha q^2}{g r^2 h^2}}, \quad (4.137)$$

Չնայած (4.137)-ի պարզությունը, անալիտիկորեն ինտեգրել այս դիֆերենցիալ հավասարումը հնարավոր չէ, բանի որ  $h$  և  $r$  փոփոխականները չեն անջատվում:

Շատ հեշտ է ստացվում (4.137) դիֆերենցիալ հավասարման ինտեգրումը էՄ-ի կիրառումով, անգամ եթե օգտվենք ցուցիչի համար Ն. Ն. Պավլովսկու լրիվ բանաձևից:

Աղատ մակերևույթի կորերի հնարավոր ձևերը նույնն են, ինչ որ ոչ պրիզմատիկ հուններում, և նրանց ձևը պարզելիս կարելի է օգտվել 3.8-ում բերված կանոններից:

Այժմ քննարկենք ազատ թափվող շիթի կինևտիկ էներգիայի մարման հարցը հայելու մեծ մակերես ունեցող ավազանում: Նշենք, որ նման խնդիր առաջանում է ոչ միայն հորանային մարիչներում, այլև հիդրոտեխնիկական կառուցվածքներում ազատ շիթի էներգիայի մարման դեպքում:

էներգիայի մարումը ջրային ավազանում կարելի է դիտել որպես խեղդված կտր հիդրավիկական թռիչք:

Ինդիվիդուալ կտրվածքի լրիվ տեսակարար էներգիան (նկ. 4.34) արտահայտված էլքի միջոցով կլինի՝

$$\Theta_* = h_* + \frac{Q^2}{8g\pi^2 r_*^2 h_*^2 \varphi_*^2}, \quad (4.138)$$

Արհամարհելով  $h_u$ -ը որպես գումարելի և տեղադրելով  $h_u = \frac{r_u}{2}$  կստանանք՝

$$h_* = \sqrt{\frac{Q^2}{32g\pi^2 \varphi_*^2 \Theta_*}}, \quad (4.139)$$

Օգտագործելով շարժման քանակի թևորեմը Քուլեսուսը և Ահմեդը, ընդունելով հիդրավիկական թռիչքը սեղանաձև, ստանում են հիդրավիկական թռիչքի հետևյալ հավասարումը՝

$$1 - \frac{r_1}{r_2} \left(\frac{h_2}{h_1}\right)^2 + \frac{1}{2} \left(\frac{r_2}{r_1} - 1\right) \left(1 + \frac{h_2^2}{h_1^2} + \frac{h_2}{h_1}\right) = 2 \frac{v_1^2}{g h_1} \left(\frac{r_1 h_1}{r_2 h_2} - 1\right) \quad (4.140)$$

որտեղ  $r_1$ -ը,  $h_1$ -ը,  $r_2$ -ը,  $h_2$ -ը թռիչքի սկզբում և վերջում շառավիղներն են և ջրի խորությունները,  $v_1$ -ը թռիչքի սկզբի կտրվածքում միջին արագությունն է:

Բաց հունների օրինակով այստեղ ընդունենք ուղղաձիգ թռիչքի վարկածը: Այդ դեպքում (4.140) հավասարման մեջ ընդունելով  $r_1 = r_u = r_2$ ,  $h_1 = h_u$  կստանանք՝

$$h_2 = \frac{h_u}{2} \left( \sqrt{1 + \frac{2Q^2}{g\pi^2 r_u^2 h_u^2}} - 1 \right), \quad (4.141)$$

վերլուծությունը ցույց է տալիս, որ սեղմված կտրվածքում կինևտիկ

էնէրգիան համեմատած պոտենցիալ էնէրգիայի հետ շատ մեծ է և (4.141) հավասարման մեջ մտնող երկու մեկերն էլ կարելի է արհամարհել:

$$Այդ դեպքում, հաշվի առնելով  $h_u = \frac{r_u}{2}$  (4.135) և (4.137)-ից$$

կստանանք՝

$$h_s = 2^{3/8} g^{-1/8} \pi^{-1/4} \varphi^{3/4} Q^{1/3} \Theta_z^{3/8}, \quad (4.142)$$

Նշանակենք մարիչի գործակիցը  $\lambda = \varphi^{3/4}$  և  $x_0 = 2^{3/8} g^{-1/8} \pi^{-1/4}$ ,  $\lambda$ -ն տեսականորեն ճիշտ որոշել հնարավոր չէ և պետք է որոշել փորձերի միջոցով:

Այսպիսով, (4.142)-ում հավասարումը կստանա հետևյալ տեսքը՝

$$h_s = \lambda x_0 Q^{1/4} \Theta_z^{3/4},$$

Մարիչում ջրի խորութունը ընդունվում է 5 %-ով ավելի համալուծ խորութունից՝

$$h_s = 1.05 \lambda x_0 Q^{1/4} \Theta_z^{3/4}, \quad (4.143)$$

Մարիչի էնէրգիայի մարման գործակիցը կլինի՝

$$k = \frac{h_s}{\Theta_z} = 1.05 \lambda x_0 Q^{1/4} \Theta_z^{-1/4}, \quad (4.144)$$

Եթե մարիչից ջրի հեռացումը իրականացվում է օդակաձև ջրաթափի միջոցով (նկ. 4.34), ապա պատի Ծ բարձրությունը կլինի՝

$$p = h_s - H_2, \quad (4.145)$$

որտեղ  $H_2$ -ն օդակային ջրաթափի ճնշումն է և որոշվում է ջրաթափի բանաձևից

$$H_2 = \left( \frac{Q}{m_1 \pi D \sqrt{2g}} \right)^{2/3}, \quad (4.146)$$

որտեղ  $m_2$ -ը օդակային ջրաթափի ելքի գործակիցն է:

## Հ Ի Ա Գ Ե Ր Ո Ր Դ Գ Լ Ո Ւ Խ

### ՀԵՂՈՒԿԻ ԵՐԿՉԱՓ ԲՈՒՌՆ ՇԱՐԺՈՒՄԸ

#### 5.1. ՀԵՂՈՒԿԻ ԵՐԿՉԱՓ ՇԱՐԺՄԱՆ ՀԱՎԱՍԱՐՈՒՄՆԵՐԸ

Հեղուկի երկշափ շարժման հավասարումները ստանալու համար օգտվենք Լ. էյլերի հավասարումներից, ավելացնելով այնտեղ շփման ուժերը՝ ( $T_x$ ,  $T_y$ ,  $T_z$ ), վերագրված հեղուկի միավոր զանգվածին.

$$\begin{aligned} X - \frac{1}{\rho} \frac{\partial p}{\partial x} - T_x &= \frac{du_x}{dt}, \\ Y - \frac{1}{\rho} \frac{\partial p}{\partial y} - T_y &= \frac{du_y}{dt}, \\ Z - \frac{1}{\rho} \frac{\partial p}{\partial z} - T_z &= \frac{du_z}{dt}, \end{aligned} \quad (5.1)$$

որտեղ  $X$ ,  $Y$ ,  $Z$ -ը ծավալային ուժերի բաղադրիչներն են:

Անսեղմելի հեղուկի ստացիոնար շարժման ժամանակ (5.1) հավասարումների համակարգը կարելի է ներկայացնել հետևյալ տեսքով՝

$$\begin{aligned} X - \frac{1}{\rho} \frac{\partial p}{\partial x} - T_x &= u_x \frac{\partial u_x}{\partial x} + u_y \frac{\partial u_x}{\partial y} + u_z \frac{\partial u_x}{\partial z}, \\ Y - \frac{1}{\rho} \frac{\partial p}{\partial y} - T_y &= u_x \frac{\partial u_y}{\partial x} + u_y \frac{\partial u_y}{\partial y} + u_z \frac{\partial u_y}{\partial z}, \\ Z - \frac{1}{\rho} \frac{\partial p}{\partial z} - T_z &= u_x \frac{\partial u_z}{\partial x} + u_y \frac{\partial u_z}{\partial y} + u_z \frac{\partial u_z}{\partial z}, \end{aligned} \quad (5.2)$$

Եթե շարժումը տեղի է ունենում ծանրության ուժի ազդեցության տակ (այլ ծավալային ուժերը բացակայում են), ապա  $Z$ -ի առանցքը ընդունելով ուղղաձիգ դեպի վեր, կստանանք (5.2) հավասարումների համակարգի մասնավոր տեսքը, որտեղ  $X = Y = 0$ ,  $Z = -g$ :

$$\begin{aligned} - \frac{1}{\rho} \frac{\partial p}{\partial x} - T_x &= u_x \frac{\partial u_x}{\partial x} + u_y \frac{\partial u_x}{\partial y} + u_z \frac{\partial u_x}{\partial z}, \\ - \frac{1}{\rho} \frac{\partial p}{\partial y} - T_y &= u_x \frac{\partial u_y}{\partial x} + u_y \frac{\partial u_y}{\partial y} + u_z \frac{\partial u_y}{\partial z}, \\ -g - \frac{1}{\rho} \frac{\partial p}{\partial z} - T_z &= u_x \frac{\partial u_z}{\partial x} + u_y \frac{\partial u_z}{\partial y} + u_z \frac{\partial u_z}{\partial z}, \end{aligned} \quad (5.3)$$

Քանի որ ըստ ուղղաձիգի արագությունները փոքր են, ապա կարելի է ընդունել, որ  $u_z = 0$  և  $\frac{\partial u_z}{\partial x} = \frac{\partial u_z}{\partial y} = \frac{\partial u_z}{\partial z} = 0$ :

Շփման ուժերի  $T_z$  բաղադրիչը, որը ֆունկցիոնալ կապի մեջ է  $u_z$ -ից, նույնպես կարելի է արհամարհել: Այդ դեպքում (5.3) համակարգի վերջին հավասարումը կստանա հետևյալ տեսքը՝

$$\frac{\partial p}{\partial z} = -\rho g, \quad (5.4)$$

Հաշվի առնելով, որ ազատ մակերևույթի վրա  $z = z_0 + h$  ( $z_0$ -ն հունի հատակի օրդինատն է) ճնշումը մթնոլորտային է ( $p = p_{\text{մթ}}$ ), ապա (5.4) հավասարման ինտեգրումից կստանանք՝

$$p = \rho g z + \rho g (z_0 + h - z) \quad (5.5)$$

Որոշենք  $\partial p / \partial x$  և  $\partial p / \partial y$  մասնավոր ածանցյալները: Հաշվի առնելով, որ  $\partial z / \partial x = \partial z / \partial y = 0$  (քանի որ  $x$ ,  $y$ ,  $z$ -ը անկախ փոփոխականներ են), կստանանք

$$\frac{\partial p}{\partial x} = -\rho g \frac{\partial}{\partial x} (z_0 + h), \quad (5.6)$$

$$\frac{\partial p}{\partial y} = -\rho g \frac{\partial}{\partial y} (z_0 + h), \quad (5.7)$$

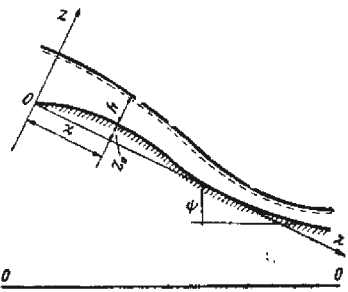
Հետևաբար, երկչափ հեղուկի հավասարումները կստանան հետևյալ տեսքը՝

$$u_x \frac{\partial u_x}{\partial x} + u_y \frac{\partial u_x}{\partial y} = -g \frac{\partial}{\partial x} (z_0 + h) - T_x, \quad (5.8)$$

$$u_x \frac{\partial u_y}{\partial x} + u_y \frac{\partial u_y}{\partial y} = -g \frac{\partial}{\partial y} (z_0 + h) - T_y,$$

որտեղ  $u_x$  և  $u_y$  մեծությունները պետք է ընդունել ըստ  $z$  առանցքի ուղղության միջինացված:

Այդպիսի մոտեցումը հնարավորություն է տալիս խուսափելու հունի հատակի սահմանային պայմանների օգտագործումից՝ օգտվել միայն շարժման հատակագծի եզրագծի սահմանային պայմաններից: Այս ենթադրությունները ճիշտ են հունի ինչպես ըստ երկարության, այնպես և ըստ լայնության փոքր թեքությունների համար՝



Նկ. 5.1. Մեծ թեքության երկչափ հոսանքների հաշվարկային սխեման:

$$\frac{\partial z_0}{\partial x} \ll 1, \quad \frac{\partial z}{\partial y} \ll 1,$$

Երբ հունի թեքությունը  $i_0 < 0,3$ , ապա խորությունների և արագությունների արժեքների շեղումը, որոշված ըստ (5.8) հավասարումների, չի գերազանցում 5 %-ից:

Երբ ըստ երկարության հունի թեքությունը մեծ է, հաշվարկային սխեման ընտրվում է ըստ նկ. 5.1-ի և (5.8) հավասարումների փոխարեն կունենանք՝

$$u_x \frac{\partial u_x}{\partial x} + u_y \frac{\partial u_x}{\partial y} = g \sin \varphi - g \cos \varphi \left( \frac{\partial z_0}{\partial x} + \frac{\partial h}{\partial x} \right) - T_x,$$

$$u_x \frac{\partial u_y}{\partial x} + u_y \frac{\partial u_y}{\partial y} = -g \cos \varphi \left( \frac{\partial z_0}{\partial y} + \frac{\partial h}{\partial y} \right) - T_y \quad (5.9)$$

հավասարումները:

Անխաղելիության հավասարումը երկչափ շարժման համար ունի

$$\frac{\partial}{\partial x} (h u_x) + \frac{\partial}{\partial y} (h u_y) = 0 \quad (5.10)$$

տեսքը: Միայն պետք է հաշվի առնել, որ տվյալ հաշվարկային սխեմայի համար  $h$  խորությունը ուղղահայաց է  $xOy$  հարթությանը:

Ստացված հավասարումներում  $T_x$  և  $T_y$  դիմադրության ուժերը կարելի է ներկայացնել  $u_x$ ,  $u_y$ ,  $h$  փոփոխականների միջոցով: Հետևաբար, եթե հունի հատակի հավասարումը՝  $z_0 = z_0(x, y)$ , հայտնի է, ապա անհայտները կլինեն երեքը՝  $u_x(x, y)$ ,  $u_y(x, y)$ ,  $h(x, y)$ , և հավասարումների (5.9) (5.10) համակարգը կլինի փակ:

Երկչափ շարժման խնդիրները բաժանվում են երկու հիմնական խմբի՝

1) Ուղիղ խնդիրներ, որտեղ հատակի կոորդինատներից բացի հատակագծում տրվում են նաև հունի պատերի եզրագծերը:

Երկչափ շարժման հավասարումների լուծումը ուղիղ խնդիրներում տալիս են ազատ մակերևույթի տեսքը և արագությունների բաշխման օրենքները հատակագծում:

2) Հակադարձ խնդիրներ, որտեղ տրվում են հիդրավիկական որոշ պարամետրերի փոփոխման օրենքները:

Լուծելով երկչափ շարժման հավասարումները, ստանում ենք անհայտ հիդրավիկական պարամետրերի փոփոխման օրենքները և հունի երկրաչափական ընդամենը:

$T_x$  և  $T_y$  դիմադրության ուժերը կարելի է ներկայացնել

$$T_x = \lambda \frac{u_x u}{2h}, \quad (5.11)$$

$$T_y = \lambda \frac{u_y u}{2h} \quad (5.12)$$

տեսքով, որտեղ  $u = \sqrt{u_x^2 + u_y^2}$ ,  $\lambda = \frac{2g}{C}$  ( $C$ -ն Շեզիի գործակիցն է):

Երկչափ շարժման հավասարումների ինտեգրման մեթոդները բազմազան են և բարդ: Այդ հարցի քննարկումը դուրս է մնում սույն գրքի

սահմաններից, և ընթերցողը այդ բնադավառում իր գիտելիքները կարող է լրացնել, ուսումնասիրելով Բ. Տ. Նմյեկի մեխանիկայի վերջին հրատարակած գրքը՝

### 5.2. Շեղ շիբրավիկական թուփեր

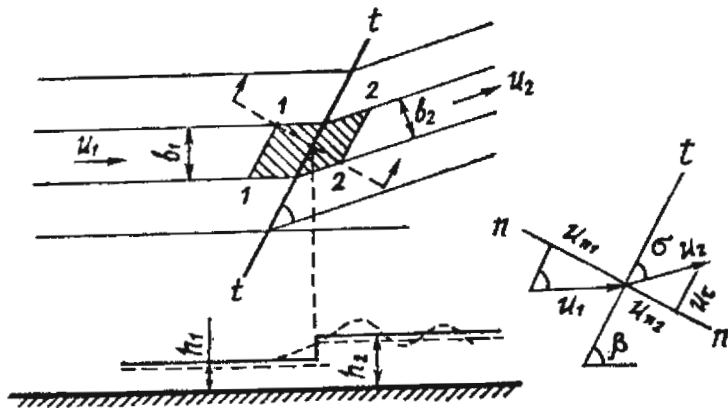
Շեղ հիդրավիկական թուփը առաջանում է բուն շարժման ժամանակ հունի լայնության նեղացման հետևանքով, երբ հոսքի գծերը նկատելիորեն թեքվում են դեպի հունի առանցքը։ Քանի որ շեղ հիդրավիկական թուփի դեպքում ըստ ուղղաձիգի արագության և արագացման բաղադրիչները արհամարհելի չի կարելի, ապա ստացված երկչափ շարժման հավասարումները չեն կարող նկարագրել սվայլ երևույթը։ Այդ հավասարումներն օգտագործվում են շեղ հիդրավիկական թուփին նախորդող և հաջորդող տեղամասերի հաշվարկների համար։

Ստանանք հաշվարկային առնչություններ շեղ հիդրավիկական թուփի տեղամասի համար։

Դիտարկենք հավասարաչափ հոսանքում երկու հոսքի գծերը (մինչև թուփը և թուփից հետո), որոնց հեռավորությունը միմյանցից հավասար է  $b$ -ի (նկ. 5.2)։  $1-1$  և  $2-2$  կտրվածքների համար գրենք շարժման քանակի փոփոխման թեորեմը, պրոյեկտված թուփի ճակատի նորմալ և զուգահեռ ուղղությունների վրա։

$$\frac{g}{2}(h_1^2 - h_2^2) = h_2 u_{n2}^2 - h_1 u_{n1}^2, \quad (5.13)$$

$$h u_{n1} u_{\tau 1} = h_2 u_{n2} u_{\tau 2}, \quad (5.14)$$



Նկ. 5.2. Շեղ հիդրավիկական թուփի հաշվարկային սխեման։

Ըստ (5.13) հավասարման  $\frac{1}{2} \rho g h_1^2 - \frac{1}{2} \rho g h_2^2$  ուժը ազդելով

հիդրոկի տիրույթի վրա,  $\rho u_1 h_1 = \rho u_2 h_2$  զանգվածի արագությունը փոփոխում է  $u_1$ -ից  $u_2$ ։ ((5.13) հավասարման մեջ  $\rho$  խտությունը կրճատված է)։

(5.14) հավասարումը ցույց է տալիս, որ թուփի ճակատի ուղղությամբ շարժման քանակի փոփոխություն տեղի չի ունենում։ Անխաղելիության հավասարումը ունի հետևյալ տեսքը՝

$$h_1 u_{n1} = h_2 u_{n2}, \quad (5.15)$$

Հաշվի առնելով (5.14) և (5.15) հավասարումները, կստանանք՝

$$u_{\tau 1} = u_{\tau 2}, \quad (5.16)$$

Պարզ մաթեմատիկական ձևափոխությունից հետո (5.13) հավասարումը կընդունի հետևյալ տեսքը՝

$$\frac{h_2}{h_1} \left( \frac{h_2}{h_1} + 1 \right) = 2 \frac{u_{n1}^2}{g h_1}, \quad (5.17)$$

Նշանակելով  $\frac{h_2}{h_1} = \eta$  (թուփի հարաբերական բարձրություն), կստանանք՝

$$\eta(\eta + 1) = 2 \frac{u_{n1}^2}{g h_1}, \quad (5.18)$$

Քանի որ  $\eta = \frac{h_2}{h_1} > 1$ , ապա  $\frac{u_{n1}}{\sqrt{g h_1}} > 1$ , այսինքն արագության նորմալ բաղադրիչը թուփից առաջ միշտ մեծ է ալիքային արագությունից։ Քանի որ (ըստ նկ. 5.2)  $u_{n1} = u_1 \sin \beta$ , ապա (5.18) հավասարումը կստանա հետևյալ տեսքը՝

$$\eta(\eta + 1) = 2 \frac{u_1^2}{g h_1} \sin^2 \beta, \quad (5.19)$$

Լուծելով (5.19) քառակուսի հավասարումը, ստանում ենք Ա. Իպենի հավասարումը՝

$$\eta = \frac{1}{2} \left( \sqrt{1 + 8 \frac{u_1^2}{g h_1} \sin^2 \beta} - 1 \right), \quad (5.20)$$

երբ  $\beta = 90^\circ$  ստանում ենք ուղիղ թուփի հավասարումը՝

$$\eta = \frac{1}{2} \left( \sqrt{1 + 8 \frac{u_1^2}{g h_1}} - 1 \right), \quad (5.21)$$

Թուփի հարաբերական բարձրությունը իր առավելագույն արժեքը

<sup>1</sup> Емцев Б. Т., Двухмерные бурные потоки, М, Энергия, 1967, 212 с.

ընդունում է ուղիղ թռիչքի ժամանակ ( $\beta=90^\circ$ ), որը կարելի է ընդունել որպես շեղ թռիչքի սահմանային դեպք:

Շեղ թռիչքի մյուս սահմանային դեպքին համապատասխանում է  $\eta=1,0$  արժեքը, որի դեպքում թռիչքի հետևանքով ազատ մակերևույթի բարձրացում չի կատարվում: Այդ դեպքում

$$\beta = \arcsin \frac{\sqrt{gh_1}}{u_1} \quad (5.22)$$

և թռիչքը փոխարինվում է ազատ մակերևույթի գրգռմամբ:

Վերը ասվածից հետևում է, որ թռիչքի ճակատի  $\beta$  անկյունը կարող է փոփոխվել

$$\arcsin \frac{\sqrt{gh_1}}{u_1} \leq \beta \leq \frac{\pi}{2} \quad (5.23)$$

միջակայքում:

Այժմ ստանանք առնչություններ թռիչքի  $\eta$ ,  $b$  և  $\delta$  (արագության վեկտորի թեքման անկյունը) պարամետրերի միջև:

Թռիչքի ճակատի և  $u_2$  արագության վեկտորի կազմած անկյունը նշանակենք  $\sigma$ : Ակնհայտ է, որ

$$\frac{u_{n1}}{u_\tau} = \operatorname{tg} \beta, \quad \frac{u_{n0}}{u_\tau} = \operatorname{tg} \sigma,$$

Հաշվի առնելով (5.14) հավասարումը, կունենանք՝

$$\frac{u_{2n}}{u_{n1}} = \frac{\operatorname{tg} \sigma}{\operatorname{tg} \beta} = \frac{h_1}{h_2} = \frac{1}{\tau_1} \quad (5.24)$$

Տեղադրելով (5.24)-ը  $b$  պենի (5.20) հավասարման մեջ ստանում ենք

$$\operatorname{tg} \sigma = \frac{2 \operatorname{tg} \beta}{\sqrt{1 + 8 \frac{u_1^2}{gh_1} \sin^2 \beta} - 1} \quad (5.25)$$

Կատարելով (5.24) առնչության որոշ ձևափոխություններ և հաշվի առնելով, որ  $\sigma = \beta - \delta$ , (5.25) հավասարումը կարելի է բերել Ա. Իպենի կողմից ստացված տեսքի.

$$\operatorname{tg} \delta = \frac{\operatorname{tg} \beta \left( \sqrt{1 + 8 \frac{u_1^2}{gh_1} \sin^2 \beta} - 3 \right)}{\sqrt{1 + 8 \frac{u_1^2}{gh_1} \sin^2 \beta} - 1 + 2 \operatorname{tg}^2 \beta} \quad (5.26)$$

Քանի որ (ըստ նկ. 5.2-ի)

$$\frac{u_2}{u_1} = \frac{\cos \beta}{\cos \sigma},$$

այլա

$$\frac{h_1 u_2^2}{h_2 u_1^2} = \frac{1}{\eta} \frac{\cos^2 \beta}{\cos^2 \sigma} = \frac{1}{\eta} \cdot \frac{1 + \operatorname{tg}^2 \sigma}{1 + \operatorname{tg}^2 \beta} \quad (5.27)$$

Հաշվի առնելով (5.24)-ը, (5.27) հավասարումը կընդունի հետևյալ տեսքը՝

$$\frac{h_1}{h_2} \frac{u_2^2}{u_1^2} = \frac{\eta^2 + \operatorname{tg}^2 \beta}{\eta^2 (1 + \operatorname{tg}^2 \beta)} \quad (5.28)$$

Եթե (5.28) բանաձևի մեջ տեղադրենք  $\eta$ -ի արժեքը ըստ (5.20)-ի, կստանանք

$$\frac{h_1}{h_2} \frac{u_2}{u_1} = 2 \frac{\left( \sqrt{1 - 8 \frac{u_1^2}{gh_1} \sin^2 \beta} - 1 \right)^2 + \operatorname{tg}^2 \beta}{\left( \sqrt{1 + 8 \frac{u_1^2}{gh_1} \sin^2 \beta} - 1 \right)^3 (1 + \operatorname{tg}^2 \beta)} \quad (5.29)$$

Տեղադրելով (5.28) բանաձևի մեջ  $\beta$ -ի արժեքը ըստ (5.20)-ի, կստանանք

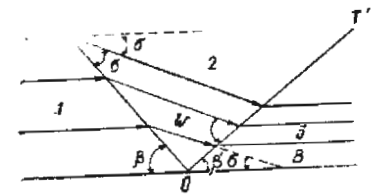
$$\frac{h_1 u_2^2}{h_2 u_1^2} = \frac{1}{\tau_1} + \left( \frac{1}{\tau_1^2} - 1 \right) \frac{(\eta + 1)}{2 u_1^2} gh_1 \quad (5.30)$$

Ջրանցքների լայնություն սահմանափակ լինելու պատճառով թռիչքի ճակատը, հասնելով հակադարձ պատին, հարվածում է նրան և տեղի է ունենում շեղ թռիչքի անդրադարձում:

Թող TO-ն (նկ. 5.3) լինի շեղ թռիչքի ճակատը, որը O կետում հանդիպում է AB պատի հետ: Ինչպես հայտնի է, անցնելով թռիչքի ճակատի միջով, հոսանքի գծերը թեքվում են  $\delta$  անկյունով:

Հանդիպելով AB պատին, տեղի է ունենում նոր թռիչք, որի ճակատը թեքված է AB պատից  $\beta'$  անկյան տակ:

Հոսանքի պարամետրերը նշանակված են՝ TOA տիրույթում 1, TOT տիրույթում 2 և TOB տիրույթում 3 ինդեքսներով:



Նկ. 5.3. Շեղ թռիչքի բեկումը պատից:

$$\text{Նշանակենք նաև } \eta_1 = \frac{h_2}{h_1}, \eta_2 = \frac{h_3}{h_2},$$

Արտաքսելով (5.13) և (5.14) հավասարումներից  $u_{n1}$ -ի արժեքը, փոխարինելով այն  $\sigma$ -ով, կստանանք

$$\frac{1}{\eta} = \frac{1}{2} \left( \sqrt{1 + 8 \frac{u_1^2}{gh_2} \sin^2 \sigma} - 1 \right), \quad (5.31)$$

Հաշվի առնելով, որ ըստ նկ. 5.3-ի  $\sigma = \beta - \delta$ , կստանանք

$$\frac{1}{\eta_1} \left( \frac{1}{\eta_1} + 1 \right) = 2 \frac{u_1^2}{gh_2} \frac{\text{tg}^2(\beta - \delta)}{1 + \text{tg}^2(\beta - \delta)}, \quad (5.32)$$

Տեղադրելով (5.24) հավասարումից  $\frac{1}{\eta_1} = \frac{\text{tg} \sigma}{\text{tg} \beta}$  արժեքը, կստանանք՝

$$2 \frac{u_1^2}{gh_2} = \left( 1 + \frac{\text{tg}(\beta - \delta)}{\text{tg} \beta} \right) \frac{1 + \text{tg}^2(\beta - \delta)}{\text{tg} \beta + \text{tg}(\beta - \delta)}, \quad (5.33)$$

Հարմարության համար նշանակելով  $\text{tg} \beta = x$ ,  $\text{tg} \delta = t$  և կատարելով որոշ ձևափոխություններ (5.33), հավասարումը կարելի է ներկայացնել հետևյալ տեսքով՝

$$2 \frac{u_1^2}{gh_2} = \frac{(1+t^2)(1+x^2)(t(x^2-1)+2x)}{x^2(x-t)(1+xt)^2}, \quad (5.34)$$

Անդրադարձած թռիչքի ճակատի կազմած անկյունը TOT տիրույթում հոսանքի գծերի հետ նշանակենք  $\omega$ -ով (նկ. 5.3), և (5.19) բանաձևը գրենք հետևյալ տեսքով՝

$$\gamma_{12}(\gamma_2 + 1) = 2 \frac{u_1^2}{gh_2} \sin^2 \omega, \quad (5.35)$$

Տեղադրելով  $\omega = \beta' + \delta$  և հաշվի առնելով (5.24) առնչությունը, (5.35) հավասարումը բերվում է հետևյալ տեսքի՝

$$\frac{\text{tg}(\beta' + \delta)}{\text{tg} \beta'} \left( \frac{\text{tg}(\beta' + \delta)}{\text{tg} \beta'} + 1 \right) = 2 \frac{u_1^2}{gh_2} \cdot \frac{\text{tg}^2(\beta' + \delta)}{1 + \text{tg}^2(\beta' + \delta)}, \quad (5.36)$$

Նշանակելով  $\text{tg} \beta' = y$  (5.36) հավասարումը կրեքվի հետևյալ տեսքի՝

$$2 \frac{u_1^2}{gh_2} = \frac{(1+y^2)(1+t^2)(t(1-y^2)+2y)}{y^2(t+y)(1-yt)^2}, \quad (5.37)$$

Հավասարեցնելով (5.34) և (5.37) հավասարումների աջ մասերը, կստանանք

$$\frac{(1+x^2)(t(x^2-1)+2x)}{x^2(x-t)(1+xt)^2} = \frac{(1+y^2)(t(1-y^2)+2y)}{y^2(t+y)(1-yt)^2}, \quad (5.38)$$

Ստացված (5.38) հավասարումը  $y = y(x,t)$  ֆունկցիոնալ կապ է հաստատում  $\beta$  և  $\beta'$  անկյունների միջև ( $\delta$  անկյունը որոշվում է TOA տիրույթից): Հանրահաշվական (5.38) հավասարումը հինգերորդ կարգի է:

Վերլուծությունը ցույց է տալիս, որ թռիչքի վերջավոր բարձրության դեպքում  $\beta' > \beta$  (քանի որ TOA տիրույթում կինեմատիկությունն ավելի մեծ է, քան TOT տիրույթում):

Հաշվարկների ժամանակ երբեմն պետք է լինում օգտագործել  $\delta$  անկյունը որոշող արտահայտությունը, որը կարելի է ստանալ (5.19) և (5.26) արտահայտությունների ձևափոխումով՝

$$\text{tg} \delta = \frac{(\eta - 1) \sqrt{\eta(\eta + 1) \left( 2 \frac{u_1^2}{gh_1} - \eta(\eta + 1) \right)}}{\eta \left( 2 \frac{u_1^2}{gh_1} - \eta + 1 \right)}, \quad (5.39)$$

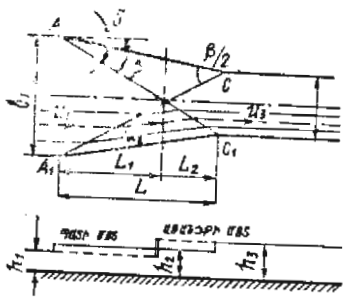
Արագահոսներում հաճախ հարկ է լինում լայնից անցնել ավելի նեղ կտրվածքների, որը կարող է պայմանավորված լինել ինչպես տեղական, երկրաբանական, այնպես և հիդրավլիկական պատճառներով:

Փոքր խորությամբ արագահոսներում Ֆրուդի թվի մեծ արժեքների դեպքում առաջանում է շարժման ալիքային վիճակ, որը խիստ անցանկալի է կառուցվածքի շահագործման համար: Լայնության նեղացումը բուն շարժման ժամանակ առաջացնում է արագության փոքրացում և խորության աճ:

Ալիքային շարժման վերացումը կամ խիստ փոքրացումը արագահոսների հաշվարկի առաջնակարգ հարցն է:

Բուն շարժումներն ունեն նաև այն վատ առանձնահատկությունը, որ որևէ կտրվածքում առաջացող գրգիռը տարածվում է ըստ շարժման ուղղության բավականին երկար տարածություններ, իսկ որոշ դեպքերում կարող է նաև ուժեղանալ:

Մասնավոր դեպքում կարելի է նախագծել այնպիսի անցումային տեղամասեր, որոնցից հոսանքը դուրս կգա արհամարհելի փոքր ալիքային գրգիռներով, առանց շեղ թռիչքի, և հաշվարկը կարելի է շարունակել միաշափ շարժման հավասարումներով: Այդ տիպի տեղամասի



Հաշվարկի սխեման բերված է նկ. 5.4-ում:

$$L = L_1 + L_2 = \frac{h_2}{2 \operatorname{tg} \beta_1} + \frac{h_3}{2 \operatorname{tg}(\beta_2 - \delta)}, \quad (5.40)$$

$$L = \frac{b_1}{2 \operatorname{tg} \delta} \frac{b}{h_2}, \quad (5.41)$$

Անխզելիություն հավասարումն ունի հետևյալ տեսքը՝

$$\frac{h_1}{b_1} = \frac{u_3 h_3}{u_1 h_1} = \left( \frac{h_3}{h_1} \right)^{1.5} \sqrt{\frac{F_3}{F_1}} \quad (5.42)$$

նկ. 5.4. Ջրանցքի նեղացման հաշվարկային սխեման:

$u_1, h_1, b_1$  և  $b_3$  արժեքները տրված են, իսկ մյուս պարամետրերը որոշվում են փնտրման եղանակով: Տրվում է  $\delta$ -ին կամայական արժեք, ըստ (5.39) բանաձևի որոշվում է հարաբերական խորություն  $\eta = \frac{h_2}{h_1}$  ար-

ժեքը և ըստ (5.30) հավասարման՝  $\frac{u_2^2}{g h_2}$  արժեքը: Ընդունելով այն որպես

թռիչքից առաջ հոսանքի պարամետր, ստանում ենք  $\frac{u_3^2}{g h_3}$  արժեքը և ստացածով ստուգում (5.42) հավասարումը, որը ճիշտ վերցված  $\delta$ -ի համար պետք է դառնա նույնություն:

## Վ ե ց եր ո ր դ գ լ ո խ

### ՀԻԳՐԱՎԼԻԿԱԿԱՆ ՄՈԳԵԼԱՎՈՐՈՒՄ

#### 6.1. ԸՆԴՀԱՆՈՒՐ ՏԵՂԵԿՈՒԹՅՈՒՆՆԵՐ ՀԻԳՐԱՎԼԻԿԱԿԱՆ ՄՈԳԵԼԱՎՈՐՄԱՆ ՎԵՐԱԲԵՐՅԱԼ

Հիդրավիկական մոդելավորումը հարյուրամյակների պատմություն ունի: Այդ գաղափարը առաջացել է դեռ Լեոնարդո դա Վինչիի ժամանակներում և մինչև այժմ էլ շարունակում է զարգանալ:

Մոդելավորումը երևույթների ճանաչողության կարևոր ձևերից մեկն է: Մոդելավորման ժամանակ տվյալ օբյեկտը՝ բնօրինակը, ուսումնասիրվում է նրա մոդելի ուսումնասիրման միջոցով:

Գոյություն ունեն երևույթի ֆիզիկական և մաթեմատիկական մոդելներ: Ֆիզիկական մոդելը նյութական օբյեկտ է, որի բնութագրերը համապատասխանում են բնօրինակին, իսկ մաթեմատիկական մոդելը

նշանների, սիմվոլների հավաքածու է, որը տրվում է մաթեմատիկական տրամաբանության լեզվով: Մաթեմատիկական մոդելին են պատկանում հեղուկի շարժման, անխզելիության, էներգիայի պահպանման հավասարումները և այլն: Մաթեմատիկական մոդելավորումը, հրե օգտագործվում է հաշվիչ տեխնիկա, կոշվում է թվային: Այստեղ հիմնական դերը պատկանում է էլեկտրոնային հաշվիչ մեքենաներին (էՀՄ):

էՀՄ-երի կիրառումը զգալիորեն լայնացրեց այն շրջանակները, հրե հիդրավիկային վերաբերվող խնդիրները կարող են լուծվել տեսակետներին, առանց լաբորատոր փորձարկումների: Սակայն մաթեմատիկական մոդելավորման զարգացումը չհանգեցրեց ֆիզիկական մոդելավորման նշանակության փոքրացմանը: Բոլոր դեպքերում մաթեմատիկական մոդելը կատարյալ չէ և հաճախ նրա ոչ կատարյալ լինելը կարող է հանգեցնել զգալի սխալների:

Մոդելավորման մյուս եղանակը հնարավորություն է տալիս միանգամից արտապատկերել և ստանալ այն խնդիրների լուծումները, որոնք մտնում են տվյալ հարցի մեջ: Այսպիսի մոդելավորումը կոշվում է համանմանային, և նրա ճշտությունը կախված է այն բանից, թե ինչքան ճիշտ է երևույթի մաթեմատիկական մոդելը:

Ֆիզիկական մոդելավորման ժամանակ բնօրինակի և մոդելի վրա ուսումնասիրում են տվյալ երևույթը բնորոշող մեծությունները (ճնշումը, արագությունը, արագացումը, էլքը և այլն): Համանմանային մոդելավորման ժամանակ այդ մեծությունները բնօրինակի և մոդելի վրա տարբեր են:

Ժամանակակից հիդրավիկայում թվային մոդելավորման ոլորտին են պատկանում միաշափ և երկշափ խնդիրները համեմատաբար պարզ սահմանային պայմանների դեպքում, հրե նրանց երկարությունը բավականին մեծ է: Հիդրավիկական մոդելավորմանն են վերաբերում բիշ ուսումնասիրված բարդ խնդիրները, տեղական երևույթների ուսումնասիրությունը և առանձնապես տարածական երևույթները: Երբեմն օգտագործվում է մոդելավորում, որը այդ երկուսի միացությունն է:

Մոդելավորումը հնարավոր է միայն այն դեպքում, հրե գոյություն ունի մոդելի և բնօրինակի բնութագրերի համապատասխանություն:

Հիդրավիկական մոդելավորման ժամանակ, եթե գոյություն ունի բնօրինակի և մոդելի բնորոշ մեծությունների ղծային կապ,  $x_p = \alpha x_d$ , ապա այն կոշվում է նմանությամբ:

Գոյություն ունի երեք տեսակ նմանություն:

1. Երկրաչափական նմանություն: Այս դեպքում բնօրինակի և մոդելի բոլոր համապատասխան ղծային շափերը համեմատական են, իսկ երկրաչափական անկյունները՝ հավասար: Այս դեպքում ունենք մեկ ընդհանուր ղծային մասշտաբ: Որոշ երևույթներ մոդելավորելիս

հարմար է ունենալ մի քանի գծային մասշտաբներ՝ երկարության, բարձրության, տրամագծի և այլն: Այսպիսի մոդելավորումը կոչվում է աղավաղված մասշտաբներով մոդելավորում (օրինակ՝ տես 6.3):

2. Կիևմատիկական նմանություն: Այս դեպքում բացի երկրաչափական նմանությունից պետք է տեղի ունենա համապատասխան կետերում կիևմատիկական մեծությունների նմանություն, այսինքն արագությունները և արագացումները լինեն համեմատական, իսկ կիևմատիկական մեծությունների միջև կազմված անկյունները՝ հավասար:

3. Իիևմատիկական նմանություն: Այս դեպքում բացի երկրաչափական և կիևմատիկական նմանությունից պետք է տեղի ունենա դինամիկական մեծությունների (ուժերի) համեմատություն:

Անհրաժեշտ է նշել, որ անգամ աղավաղված մասշտաբներով մոդելավորման դեպքում հնարավոր չէ ապահովել բոլոր բնույթի ուժերի համեմատականությունը, որի պատճառով կատարվում է մոտավոր մոդելավորում, այսինքն ապահովվում է միայն մի բնույթի (ծավալային, մածուցիկություն, իներցիոն և այլն) ուժերի համեմատականությունը:

Համեմատության գործակիցը կոչվում է տվյալ բնորոշ մեծության մասշտաբ:

Մոդելավորման մասշտաբների միջև գոյություն ունի կապ, որը արտահայտվում է տվյալ երևույթի մաթեմատիկական մոդելի միջոցով, որը ընդհանուր է մոդելի և բնօրինակի համար, այսինքն նրանք երկուսն էլ պետք է բավարարեն միևնույն դիֆերենցիալ հավասարումներին: Ֆիզիկական մոդելավորում կատարելու համար անհրաժեշտ է ունենալ երևույթը նկարագրող հավասարում: Որպեսզի այդ հավասարումը լուծվի, անպայման պետք է ունենալ նրա տեսքը, որը և ընկնում է մոդելավորման շահանիշների և մասշտաբների ընտրման հիմքում:

Որոշ դեպքերում քննարկվող երևույթի բարդության, նրա վատ ուսումնասիրվածության և այլ պատճառներով երևույթի մաթեմատիկական մոդելը կարող է լինել խիստ թերի կամ լրիվ բացակայել: Այսպիսի դեպքերում մոդելավորում արդյոք հնարավոր է: Այո, երբեմն հնարավոր է: Ելնելով շահողականությունների տեսությունից կարելի է ստեղծել երևույթի մաթեմատիկական մոդելը:

Ընդհանուր դեպքում անկախ կամ հիմնական մեծությունների թիվը թող լինի  $k$ : Մեխանիկայում այն երեքն է՝ 1 երկարությունը, 2 ժամանակը և 3 զանգվածը: Մնացած բոլոր մեծությունները կարելի է արտահայտել այս երեքի միջոցով:

Կապը շահում ունեցող  $N$  մեծությունների միջև, որոնցից  $k$ -ն հիմնական շահում ունեցող մեծությունն է (մեր դեպքում  $k=3$ ),

կարելի է փոխարինել  $N-k$  անչափ համալիր մեծությունների կապերով՝

$$\varphi(\pi_1 + \dots + \pi_{N-k}) = 0,$$

որը շահողականության տեսության մեջ կոչվում է  $\pi$  թեորեմ:

$\pi$  թեորեմը հնարավորություն է տալիս անհայտ ֆունկցիաները քչացնել մինչև  $N-k$  համայնությունների:

Եթե խնդրի տեսական լուծումը ստանալու համար շահողականության տեսությունը բավարար չէ, քանի որ այն կապ է հաստատում հաստատուն գործակցի ճշտությամբ, որի մեծությունը պետք է որոշել փորձի միջոցով, ապա մոդելավորման ժամանակ կարելի է հենվել այդ կապերի վրա, որը կհաստատի մոդելավորման շահանիշը և մասշտաբները:

Այժմ քննարկենք հիդրավիկական մոդելավորման շահանիշների որոշումը, եթե առկա է երևույթի լրիվ մաթեմատիկական մոդելը:

Ենթադրենք հեղուկի շարժման մաթեմատիկական մոդելը հանդիսանում են մածուցիկ հեղուկի շարժման Նավե-Ստոքսի հավասարումները և անխզելիության դիֆերենցիալ հավասարումը, որոնք եռաչափ շարժման դեպքում ունեն հետևյալ տեսքը՝

$$\begin{aligned} \frac{\partial u_x}{\partial t} + u_x \frac{\partial u_x}{\partial x} + u_y \frac{\partial u_x}{\partial y} + u_z \frac{\partial u_x}{\partial z} &= X - \frac{1}{\rho} \frac{\partial p}{\partial x} + \nu \Delta u_x, \\ \frac{\partial u_y}{\partial t} + u_x \frac{\partial u_y}{\partial x} + u_y \frac{\partial u_y}{\partial y} + u_z \frac{\partial u_y}{\partial z} &= Y - \frac{1}{\rho} \frac{\partial p}{\partial y} + \nu \Delta u_y, \\ \frac{\partial u_z}{\partial t} + u_x \frac{\partial u_z}{\partial x} + u_y \frac{\partial u_z}{\partial y} + u_z \frac{\partial u_z}{\partial z} &= Z - \frac{1}{\rho} \frac{\partial p}{\partial z} + \nu \Delta u_z, \\ \frac{\partial u_x}{\partial x} + \frac{\partial u_y}{\partial y} + \frac{\partial u_z}{\partial z} &= 0. \end{aligned} \quad (6.1)$$

Յնհրաժեշտ է, որ երևույթի մաթեմատիկական մոդելը ապահովի լուծման միարժեքությունը, դրա համար ֆիզիկական երևույթը արտահայտող հավասարումները պետք է լինեն փակ և կորեկտ: Բացի այդ նույնը պետք է լինեն եզրային պայմանները, որը ապահովվում է երկրաչափական նմանությամբ:

Ինչ վերաբերում է սկզբնական պայմաններին, ապա դրանք ապահովվում են բնօրինակի և մոդելի վրա երևույթների սկզբի կամ բնորոշ պահերի համապատասխանությամբ:

Եթե (6.1) հավասարումների համակարգը վերաբերում է բնօրինակին և գոյություն ունի բնօրինակի և մոդելի դինամիկական նմանություն, ապա մոդելի վրա երևույթները կարտահայտվեն համանման դիֆերենցիալ հավասարումներով, որոնք կտարբերվեն միայն մեծությունների մասշտաբներով:

ուձի վիճակը և վիճակվածը մտնում են հարաբերակցության մեջ  
նույն անունի վիճակը և (6.9) հարաբերակցության մեջ նույն անունի  
հարաբերակցության մեջ

$$R_c = \frac{v}{u^2} = \frac{v_r}{u_r^2} = \frac{v_\lambda}{u_\lambda^2} \tag{6.9}$$

Ստացվում է հարաբերակցության մեջ նույն անունի  
հարաբերակցության մեջ

և (6.8) հարաբերակցության մեջ նույն անունի  
հարաբերակցության մեջ

$$E_u = \frac{\Delta p}{\rho u^2} = \frac{\Delta p_r}{\rho_r u_r^2} = \frac{\Delta p_\lambda}{\rho_\lambda u_\lambda^2} \tag{6.9}$$

Ստացվում է հարաբերակցության մեջ նույն անունի  
հարաբերակցության մեջ

և (6.9) հարաբերակցության մեջ նույն անունի  
հարաբերակցության մեջ

և (6.9) հարաբերակցության մեջ նույն անունի  
հարաբերակցության մեջ

և (6.9) հարաբերակցության մեջ նույն անունի  
հարաբերակցության մեջ

$$F_r = \frac{\delta l}{u^2} = \frac{\delta l_r}{u_r^2} = \frac{\delta l_\lambda}{u_\lambda^2} \tag{6.7}$$

Ստացվում է հարաբերակցության մեջ նույն անունի  
հարաբերակցության մեջ

և (6.6) հարաբերակցության մեջ նույն անունի  
հարաբերակցության մեջ

$$\frac{X}{u^2} = \frac{X_r}{u_r^2} = \frac{X_\lambda}{u_\lambda^2} \tag{6.9}$$

Ստացվում է հարաբերակցության մեջ նույն անունի  
հարաբերակցության մեջ

և (6.9) հարաբերակցության մեջ նույն անունի  
հարաբերակցության մեջ

և (6.9) հարաբերակցության մեջ նույն անունի  
հարաբերակցության մեջ

$$\frac{l}{u^2} = \frac{l_r}{u_r^2} = \frac{l_\lambda}{u_\lambda^2} \tag{6.5}$$

Ստացվում է հարաբերակցության մեջ նույն անունի  
հարաբերակցության մեջ

և (6.4) հարաբերակցության մեջ նույն անունի  
հարաբերակցության մեջ

$$\frac{\rho u^2}{\rho_r u_r^2} = \frac{\rho_\lambda u_\lambda^2}{\rho_\lambda u_\lambda^2} = 1, \tag{6.4}$$

և (6.9) հարաբերակցության մեջ նույն անունի  
հարաբերակցության մեջ

$$\frac{\rho u^2}{\rho_r u_r^2} = \frac{\rho_\lambda u_\lambda^2}{\rho_\lambda u_\lambda^2} = 1, \tag{6.3}$$

և (6.2) հարաբերակցության մեջ նույն անունի  
հարաբերակցության մեջ

$$\frac{\rho u^2}{\rho_r u_r^2} = \frac{\rho_\lambda u_\lambda^2}{\rho_\lambda u_\lambda^2} = 1, \tag{6.2}$$

և (6.9) հարաբերակցության մեջ նույն անունի  
հարաբերակցության մեջ

$$\frac{\rho u^2}{\rho_r u_r^2} = \frac{\rho_\lambda u_\lambda^2}{\rho_\lambda u_\lambda^2} = 1, \tag{6.2}$$

և (6.9) հարաբերակցության մեջ նույն անունի  
հարաբերակցության մեջ

լրիվ դինամիկական նմանության դեպքում (6.4)-ի մեջ մտնող չորս հավասարումները միաժամանակ պետք է բավարարվեն:

Կարելի է ապացուցել, որ Ստրուխալի, Ֆրուզի և Ռեյնոլդսի շափանիչների հավասարության դեպքում նույնաբար բավարարվում է էյլերի շափանիչի հավասարությունը: Սրա իմաստն այն է, որ ճնշման ուժերը առաջանում են ծանրության ուժից և վերջինիս համեմատականությունը հանգեցնում է նախորդի համեմատականությանը:

Եթե շարժումը կայունացած է  $\left( \frac{\partial u_x}{\partial t} = \frac{\partial u_y}{\partial t} = \frac{\partial u_z}{\partial t} = 0 \right)$ , ապա Ստրուխալի շափանիչը վերանում է, բանի որ այս շափանիչը ստացվում է ոչ ստացիոնարությունը արտահայտող  $\frac{\partial u_x}{\partial t}$ ,  $\frac{\partial u_y}{\partial t}$ ,  $\frac{\partial u_z}{\partial t}$  անդամներից: Մնում է միայն Ֆրուզի և Ռեյնոլդսի շափանիչների հավասարությունը:

Եթե մոդելավորումը կատարվում է միևնույն ց-ի համար (երկրի պայմաններում) և նույն մածուցիկության հեղուկով, ապա միաժամանակ բավարարել Ֆրուզի և Ռեյնոլդսի շափանիչները հնարավոր չէ:

Փոխելով հեղուկի մածուցիկությունը, կարելի է բավարարել Ֆրուզի և Ռեյնոլդսի շափանիչները միաժամանակ: Այս դեպքում (եթե  $\alpha_v = 1$ )  $\alpha_v$ -ն կորոշվի  $\alpha_v = \alpha_l^3$  բանաձևով:

Հիդրոտեխնիկական կառուցվածքների մոդելավորման ժամանակ սովորաբար ունենք  $\alpha_v = 1$  և  $\alpha_v = 1$  (բնօրինակը և մոդելը գտնվում են միևնույն ուժային դաշտում և նույն մածուցիկության հեղուկ է օգտագործվում):

Ըստ Ֆրուզի շափանիչի մոդելավորում կատարվում է այն դեպքում, երբ ծանրության ուժերը (և նրանցից առաջացող ճնշման ուժերը) համեմատած շափման մածուցիկության ուժերի հետ հիմնական են: Այսպիսի խնդիրներ են հանդիսանում տեղական երևույթները, ոչ մեծ երկարության տարածական երևույթները և այլն:

Ըստ Ֆրուզի շափանիչի մոդելավորման ժամանակ, որպեսզի բավարարվի նաև էներգիայի կորուստների համեմատականությունը, պետք է բնօրինակը և մոդելը գտնվեն դիմադրության միևնույն գոտում և բավարարվի Շեզլի գործակիցների, իսկ ճնշումային համակարգերի համար՝ Գարսիի գործակիցների հավասարությունը ( $C_p = C_s$  կամ  $\lambda_p = \lambda_s$ ): Այս հավասարեցումը կարելի է ապահովել մոդելի խորզուրորդության գործակցի ընտրումով:

Եթե Շեզլի գործակցի որոշման համար հիմք ընդունենք Ն. Ն. Պավլովսկու  $C = \frac{1}{n} R^y$  ցուցիչային բանաձևը, ապա ըստ  $C_p = C_s$  պայմանի մոդելավորման գծային մասշտաբը կորոշվի

$$\alpha_l = \sigma_r \frac{y_r}{y_p} - 1 \left( \frac{n_p}{n_r} \right)^{1/y_r} \quad (6.10)$$

բանաձևով:

Եթե  $y$  ցուցիչը որոշվի Ն. Ն. Պավլովսկու լրիվ բանաձևով՝

$$y = 2.5\sqrt{n} - 0.13 - 0.75\sqrt{R}(\sqrt{n} - 1), \quad (6.11)$$

գծային մասշտաբը կորոշվի (6.10) և (6.11) հավասարումներից ստացվող տրանսցենդենտ հավասարումից փնտրման միջոցով:

Ինժեներական հաշվարկների համար կարելի է օգտվել Ն. Ն. Պավլովսկու կրճատ բանաձևից՝

$$y = a\sqrt{n}, \quad a = \begin{cases} 1.5, & \text{երբ } 0.1 \text{ մ} < R < 1.0 \text{ մ}, \\ 1.3, & \text{երբ } 1.0 \text{ մ} < R < 3.0 \text{ մ} \end{cases}$$

Այս դեպքում  $\alpha_l$ -ը անմիջապես կորոշվի (6.10)-ից, իսկ  $y = y_p = y_s$  պայմանի դեպքում  $\alpha_l$ -ը կլինի

$$\alpha_l = \left( \frac{n_p}{n_r} \right)^{1/y}, \quad (6.12)$$

որտեղ  $y = \frac{1}{6} \div \frac{1}{4}$  կախված հունի ձևից:

Այսպիսով,  $\alpha_l$  մասշտաբը որոշակի է դառնում և մոդելավորումը պետք է կատարել ըստ նրա ստացված արժեքի:

Սակայն հիդրավիկական մոդելավորման ժամանակ  $\alpha_l$ -ը ընտրվում է կախված լաբորատորիայի հնարավորությունից, տնտեսական նպատակահարմարությունից, շափումների ճշտությունից և այլն: Հետևաբար, այն կարող է զղայիորեն տարբերվել (6.10) կամ (6.12)-ից ստացված մասշտաբից:

Հաճախ բնօրինակը և մոդելը պատրաստված են լինում միևնույն նյութից ( $n_p = n_s$ ), որը և հանգեցնում է  $C_p = C_s$  պայմանի չբավարարելուն:

Եթե հիդրավիկական մոդելավորման ժամանակ էներգիայի կորուստների որոշումը կարևոր դեր է խաղում, ապա պետք է հասնել  $C_p = C_s$  պայմանի բավարարմանը:

Քննարկենք այն հարցը, թե ինչքանով կփոխվեն մոդելավորման արդյունքները, եթե նշված պատճառներով  $C_p = C_s$  պայմանը չի բավարարվում: Այս դեպքում արդյունքներում պետք է մտցնել ուղղում:

Եթե ունենք ըրի շարժումը բաց հունիում, այս դեպքում էներգիայի կորուստները կարելի է որոշել մոտավորությամբ:  $C_p = C_s$  պայմանի

չբավարարվելուց առաջացած մոդելավորման սխալը կարելի է ուղղել հետևյալ կերպ:

Բնօրինակի սվայնեթով, օգտվելով 3-րդ գլխում նշված մեթոդներից, և բնօրինակի խորդուբորդության գործակցի  $\Pi$  արժեքով, կառուցվում է ազատ մակերևույթի կորը: Հաշվարկը կրկնվում է  $\Pi^1$  գործակցի համար, որը որոշվում է (6.10) կամ (6.12)-ից ընդունված  $\alpha_1$ -ի համար: Համապատասխան խորուքայինների հարաբերությունները կտան այն ուղղումները, որ պետք է մտցնել մոդելավորման արդյունքների մեջ: Քանի որ այդ ուղղումները ըստ ճանապարհի փոխվում են, ինժեներական հաշվարկներում ամբողջ հոսանքի համար կարելի է մտցնել մեկ ընդհանուր միջինացրած ուղղում:

## 6.2. ՄՈՒԵԼԱՎՈՐՄԱՆ ՄԱՍԵՏԱՔՆՆԵՐԻ ՈՐՈՇՈՒՄԸ ԸՍՏ ՖՐՈՒԻԻ ԵՎ ՌԵՅՆՈՒՄԻ ՉԱՓԱՆԻՇՆԵՐԻ

1. Ինչպես նշվեց վերևում, ըստ Ֆրուդի շափանիշի մոդելավորում կատարվում է այն դեպքերում, երբ գլխավոր, թելադրող ուժը ծանրության ուժն է:

Որպես կանոն բոլոր հիդրոտեխնիկական կառուցվածքներում հեղուկի շարժումը տուրբուլենտ է և գտնվում է դիմադրության քառակուսիական գոտում, հետևաբար ըստ Ֆրուդի մոդելավորման ժամանակ ընտրելով մոդելի խորդուբորդության գործակիցը ( $\Pi$ ) կարելի է հասնել նաև հիդրավիկական կորուստների ճիշտ կամ մոտավոր մոդելավորման: Սովորաբար ելակետային է մոդելի գծային մասշտաբը ( $\alpha_l$ ), որը ընտրվում է, հաշվի առնելով (6.10) կամ (6.12) առնչությունը, ինչպես նաև նշված մի շարք պայմանները (լարորատորիայի հնարավորությունը, տնտեսական նպատակահարմարությունը, շափման ճշտությունը և այլն): Ունենալով գծային մասշտաբը,  $F_{rF} = F_{rD}$  պայմանը և ընդունելով  $\alpha_g = 1$  և  $\alpha_v = 1$  (բնօրինակը և մոդելը գտնվում են երկրի վրա և մոդելավորումը կատարվում է նույն հեղուկով), կստանանք մոդելավորման մասշտաբները որոշող հետևյալ կապերը՝

$$\begin{aligned} \text{արագություն} & \alpha_v = \alpha_l^{1/2}, \\ \text{եկթի} & \alpha_G = \alpha_l^{5/2}, \\ \text{ճնշման} & \alpha_p = \alpha_l, \\ \text{ժամանակի} & \alpha_t = \alpha_l^{1/2}, \\ \text{ուժի} & \alpha_F = \alpha_l^3 \end{aligned} \quad (6.13)$$

Եթե մոդելավորումը կատարվում է  $\alpha_g = 1$  և  $\alpha_v = 1$  պայմաններում, ապա միաժամանակ չեն կարող բավարարվել Ֆրուդի և Ռեյնոլդսի շափանիշները:

2. Ըստ Ռեյնոլդսի շափանիշի մոդելավորման ժամանակ ծավալային ուժերը համեմատած մածուցիկության ուժերի հետ կարևոր դեր չեն կատարում:

Ըստ Ռեյնոլդսի շափանիշի մոդելավորման օրինակներ են մածուցիկ հեղուկների շարժման մոդելավորումը լամինար, դիմադրության ոչ քառակուսիական գոտիներում և այլն:

Այս դեպքում կախված գծային մասշտաբի մեծությունից որոշվում են մնացած մեծությունների մասշտաբները:

$$\begin{aligned} \text{արագություն} & \alpha_v = \alpha_l^{-1}, \\ \text{եկթի} & \alpha_G = \sigma_l, \\ \text{ճնշման} & \alpha_p = \alpha_l^{-2}, \\ \text{ժամանակի} & \alpha_t = \alpha_l^2, \\ \text{ուժի} & \alpha_F = \alpha_l^{-2} \end{aligned} \quad (6.14)$$

Այս մասշտաբների մեծությունների որոշումը հնարավորություն է տալիս ոչ միայն որոշել մոդելի շափերը, նրա եկթը, ճնշումները և մյուս մեծությունները, այլև մոդելի վրա կատարված շափումների արդյունքները վերահաշվել բնօրինակի համար:

## 6.3. ԱՂԱՎԱՂՎԱԾ ԵՐԿՐԱԶԱՓԱԿԱՆ ՄԱՍԵՏԱՔՆՆԵՐՈՎ ՄՈՒԵԼԱՎՈՐՈՒՄ

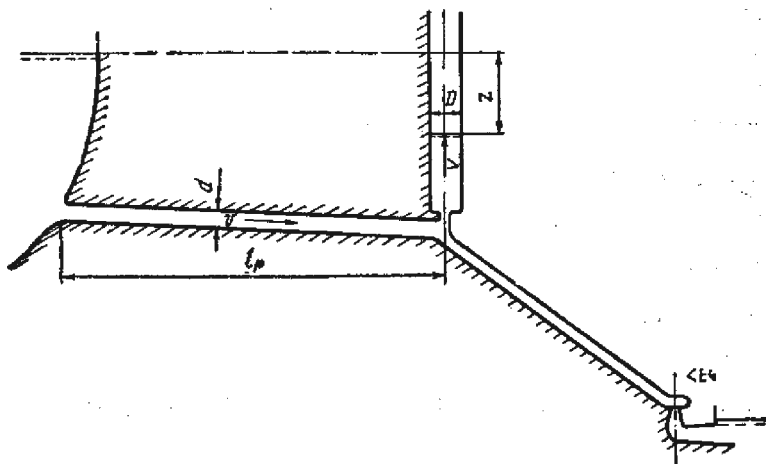
Որոշ կառուցվածքներ և երևույթներ մոդելավորելիս նպատակահարմար չէ ամբողջ կառուցվածքի համար ունենալ մեկ ընդհանուր գծային մասշտաբ, քանի որ այն կրեքեր մոդելի շափերի խիստ մեծացում կամ չափվող մեծությունների ճշտության փոքրացում:

Այսպիսի դեպքերում մոդելավորումը կատարվում է երկու կամ ավելի գծային մասշտաբներով, որը կոչվում է երկրաշափական աղավաղված մասշտաբներով մոդելավորում: Վերջինիս ամենապարզ օրինակ կարող է հանդիսանալ ալիքային երևույթների մոդելավորումը բաց հուններում, որտեղ հորիզոնական և ուղղաձիգ մասշտաբները տարբեր են: Այս ձևով հասնում ենք այն բանին, որ ալիքի բարձրությունը շափվում է ավելի մեծ ճշտությամբ, քան մեկ ընդհանուր գծային մասշտաբի դեպքում:

Գծային մասշտաբների քանակը և նրանց միջև կապը ստացվում է շարժման մաթեմատիկական մոդելի միջոցով: Եթե գծային մասշտաբ-

ները կապող հավասարումները փակ շեն, նրանք փակվում են նպատակահարմարության և այլ պայմաններից ելնելով:

Որոշ խնդիրներում մոդելավորման գծային մասշտաբները կարող են լինել բավականին շատ: Որպես օրինակ քննարկենք ջրի ոչ ստացիոնար շարժման մոդելավորումը ճնշման թունել-հավասարակշռող աշտարակ համակարգում (նկ. 6.1):



նկ. 6.1. Ճնշման թունել-հավասարակշռող աշտարակի հաշվարկային սխեման:

Քանի որ ճնշման թունել-հավասարակշռող աշտարակ համակարգում հիմնական շարժիչ ուժը հանդիսանում է ծանրության ուժը, ապա բնականաբար մոդելավորումը պետք է կատարվի Ֆրուդի շափանիշով: Մակայն, ինչպես նշվեց 6.1-ում, հիդրավլիկական դիմադրությունների մոդելավորման համար պետք է ապահովվի դիմադրության գործակիցների նույնությունը բնօրինակի և մոդելի վրա ( $\lambda_p = \lambda_d$ ):

Այս պայմանի բավարարումը գործնականում հնարավոր չէ, քանի որ պողպատյա խողովակների (որոնցով իմիտացվում է թունելը) դիմադրության  $\lambda_d$  գործակիցները զգալիորեն մեծ են թունելի  $\lambda_p$ -ից: Այս հանգամանքը ստիպում է դիմել աղավաղված երկրաչափական մասշտաբներով մոդելավորմանը:

Ճնշման թունել-հավասարակշռող աշտարակ համակարգի մաթեմատիկական մոդելը ճնշումային համակարգերում ոչ ստացիոնար շարժման և անխզելիության հավասարումներն են.

$$\frac{1}{g} \frac{dv}{dt} + \left(1 + \lambda \frac{l}{d}\right) \frac{v^2}{2g} + z = 0$$

$$\frac{\pi d^2}{4} v - \frac{\pi D^2}{4} V = Q, \quad (6.15)$$

որտեղ  $v$ -ն և  $V$ -ն ջրի արագություններն են թունելում և հորանում,  $d$ -ն,  $D$ -ն նրանց տրամագծերն են,  $l$ -ը թունելի երկարությունն է,  $\lambda$ -ն թունելի դիմադրության գործակիցն է հաշվի առած տեղական դիմադրությունները,  $\zeta$ -ն հորանի տեղական կորստի գործակիցն է,  $z$ -ը հորանում ջրի հորիզոնի բարձրությունն է հաշված ստատիկ հորիզոնից (նկ. 6.1): Ա. Մարուտան պարզեցման համար բնորոշում է

$$\left(1 + \lambda \frac{l}{d}\right) \frac{v^2}{2g} = \lambda_r \frac{l}{d} \frac{v^2}{2g}$$

որտեղ  $\lambda_r = \frac{d}{l} + \lambda$  դիմադրության բերված գործակիցն է, հարմարության համար հետագայում բեր ինդեքսը չի դրվում: Բացի այդ ունենք  $V = \frac{dz}{dt}$ ,

(6.15) համակարգից դժվար չէ ստանալ մասշտաբների կապերը արտահայտող հավասարումները:

$$\frac{\alpha_1 a_v}{\alpha_l} = \frac{\alpha_1 \alpha_\lambda a_v^2}{\alpha_d} = \alpha_\lambda a_v^2 = \alpha_z, \quad (6.16)$$

$$\alpha_\lambda^2 a_v = \sigma_D^2 a_v,$$

$$\alpha_v = \frac{dz}{dt},$$

կամ

$$1) \frac{\alpha_1 a_v}{\alpha_l a_v^2} = 1,$$

$$3) \frac{\alpha_z}{\alpha_v^2} = 1,$$

$$2) \frac{\alpha_\lambda \alpha_l a_v^2}{\alpha_d a_v^2} = 1,$$

$$4) \frac{\alpha_d^2 a_v}{\alpha_D a_v} = 1,$$

$$5) \frac{\alpha_z}{\alpha_l a_v} = 1,$$

(6.17)

որտեղ

$$\alpha_\lambda = \frac{\lambda_r b_{r, p}}{\lambda_r b_{r, d}} = \frac{\frac{d_r}{l_r} + \lambda_r}{\frac{d_s}{l_s} + \lambda_s}$$

(6.17)-ում ունենք 5 հավասարում 9 անհայտով ( $\alpha_1, \alpha_V, \alpha_N, \alpha_1, \alpha_\lambda, \alpha_d, \alpha_D, \alpha_2, \alpha_2$ ): Հավասարումների համակարգը փակելու համար Ա. Մարուտյան առաջարկում է, ելնելով երկրաչափական նմանությունից, ընդունել  $\alpha = 1$  և մեկ ընդհանուր գծային մասշտաբ հավասարակշռող աշտարակի համար՝  $\alpha_D = \alpha_2$  և որպես ելակետային ընդունել  $\alpha_\lambda$ -ն և այլ պայմաններից որոշել  $\alpha_d$  մասշտաբը: Հեղինակի ուսումնասիրությունները ցույց տվեցին, որ նպասակահարմար է ընդունել  $\alpha_d = \alpha_D$ , որն ապահովում է մոդելի թունելի փոքր երկարություն, համեմատաբար մեծ ելք և արագությունների նույն մասշտաբ  $\alpha_V = \alpha_N$ :

Մոդելավորման ժամանակ որպես կանոն օգտագործվում են սովորական սաանդարտ պողպատյա անկար խողովակներ, որոնց դիմադրության գործակիցը նախապես հայտնի է ( $\lambda_D$ ): Ճնշման թունելի համար  $\alpha_d$  մասշտաբը ընտրվում է, ելնելով լարորատորիայի հնարավորությունից, մոդելի ելքի մեծությունից, չափման ճշտությունից, ինչպես նաև տնտեսապես նպատակահարմարության պայմանից:

Այսպիսով, որպես ելակետային ունենք  $\alpha_d$  և  $\alpha_\lambda$  մասշտաբները և կատարելով ընդունելություն ըստ Ա. Մարուտյանի  $\alpha_d = \alpha_2$ , կամ ըստ մեր կողմից առաջարկված  $\alpha_d = \alpha_D$ , որոշում ենք մնացած մասշտաբները (6.17) համակարգից: Ըստ այս մասշտաբների կատարվում է ազավազված երկրաչափական մասշտաբներով մոդելավորում: Նշենք, որ եթե ընդունենք  $\alpha_\lambda = 1$ , ապա երկու դեպքում էլ մոդելավորումը դառնում է ըստ Ֆրուդի:

Մեր կողմից քննարկված է նաև այն հարցը, թե ինչպես մտցնել ուղղորդ գործակիցներ հավասարակշռող ավազանի վերին և ներքին խցերի ծավալները որոշելիս, եթե մոդելավորման ժամանակ կորոզիայի պատճառով մոդելի  $\lambda$ -ն հաշվարկայինի նկատմամբ փոխվել է:

**Շրիճակ 6.1:** Շամբի հիդրոէլեկտրակայանի ճնշման թունել-հավասարակշռող աշտարակ համալիրը մոդելավորման ժամանակ նշված պայմանից նպասակահարմար է ընդունել մոդելի տրամագիծը  $d_d = 0,096$  մ,

իսկ թունելի արամագիծը՝  $d_p = 4,6$  մ ( $\alpha_d = \frac{4,6}{0,096} = 47,813$ ),

Ըստ հիդրավլիկական հաշվարկի բնօրինակի համար ունենք  $\lambda_{\min} = 0,0129$  (վերին խցի աշխատանքի պայմանից  $\lambda$ -ի հնարավոր ամենափոքր արժեքը) և  $\lambda_{\max} = 0,0167$  (ներքին խցի աշխատանքի պայմանից  $\lambda$ -ի հնարավոր ամենամեծ արժեքը):

Այս հանգամանքը բարդացնում է մոդելավորումը, քանի որ փոխելով  $\lambda$ -ն, փոխվում են բոլոր մասշտաբները և մոդելի չափերը, բացի մոդելում թունելի արամագիծից:

Մոդելի համար  $\lambda$ -ն որոշվում է փորձնական եղանակով, աստիճա-

նական մոտեցումով: Տալով  $\lambda$ -ին մոտավոր արժեք, որոշվում է մոդելի թունելի մոտավոր երկարությունը, որի կառուցման և փորձարկման միջոցով ճշտվել է  $\lambda$ -ն և ապա նրա երկարությունը:

Ճշտված արժեքը մեզ մոտ ստացվել է  $\lambda_0 = 0,025$ : Մոդելում թունելի երկարությունը և  $\alpha_\lambda$  մասշտաբը որոշվում են աստիճանական մոտեցումով, վերին և ներքին խցերի համար առանձին ըստ  $\lambda$ -ի նվազագույն և առավելագույն արժեքների:

1. Ըստ  $\alpha_D = \alpha_2$  ընդունելության կունենանք

$$\lambda_p = 0,0129; \alpha_d = 47,813; l_p = 6888,4 \text{ մ}; d_p = 4,6 \text{ մ}; \lambda_D = 0,025:$$

Առաջին մոտեցում որոշում ենք  $\alpha_\lambda$ -ի մոտավոր արժեքը ընդունելով  $\lambda_0 = 0,025$ :

$$\alpha_\lambda = \frac{\frac{d_p}{l_p} + \lambda_p}{\lambda_D} = \frac{\frac{4,6}{6888,4} + 0,0129}{0,025} = 0,542(0,694):$$

Մոդելում թունելի երկարության մասշտաբը ըստ (6.15)-ի կլինի՝

$$\alpha_l = \alpha_d \alpha_\lambda^{1/3} = 47,813 \cdot 0,542^{1/3} = 39,1(42,4):$$

Մոդելի վրա թունելի երկարությունը կլինի՝

$$l_p = \frac{6888,4}{39,1} = 176,2 \text{ մ}(162,0 \text{ մ}):$$

Երկրորդ մոտեցում. ճշտում ենք  $\alpha_\lambda$ -ն

$$\alpha_\lambda = \frac{\frac{4,6}{6888,4} + 0,0129}{\frac{0,096}{176,2} + 0,025} = 0,529(0,676):$$

Ըստ որի՝

$$\alpha_l = 47,813 \cdot 0,529^{1/3} = 38,66(42,0); \quad l_p = \frac{6888,4}{39,66} = 177,05 \text{ մ}(163,5 \text{ մ})$$

Ըստ (6.17)-ի որոշում ենք մյուս մասշտաբները.

$$\alpha_2 = \frac{\alpha_d}{\alpha_\lambda^{1/3}} = \frac{47,813}{0,529^{1/3}} = 59,1(54,43),$$

$$\alpha_V = \frac{\alpha_d}{\alpha_\lambda^{1/6}} = \alpha_2^{1/2} = 59,1^{1/2} = 7,68(7,38),$$

$$\alpha_I = \frac{\alpha_d}{\alpha_\lambda^{1/6}} = \alpha_z^{1/2} = \alpha_V = 7,68(7,38),$$

$$\alpha_V = \frac{\alpha_d^{1/2}}{\alpha_\lambda^{5/6}} = \frac{\alpha_V}{\alpha_\lambda^{2/3}} = \frac{7,68}{0,599^{2/3}} = 11,72(9,58) \quad (6.18)$$

Մազմալի մասշտաբը կլինի՝

$$\alpha_W = \alpha_d^3 \alpha_\lambda^{-1} = 47,813^3 \cdot 0,529^{-1} = 206625(161693);$$

Սլքի մասշտաբը կլինի՝

$$\alpha_Q = \frac{\alpha_d^{5/2}}{\alpha_\lambda^{5/6}} = \alpha_z^{5/2} = \alpha_d^2 \alpha_V = \alpha_z^2 \alpha_V = 59,1^2 \cdot 7,68 = 26800(21900);$$

Նույն ձևով կատարված է մասշտաբների ընտրությունը և որոշված են մոդելի չափերը ներքին խցի դատարկման պայմանից ըստ  $\lambda_p$ -ի առավելագույն արժեքի՝  $\lambda_p = 0,0167$  (արդյունքները տրված են փակագծերի մեջ): Մեր կողմից կատարված փորձնական ուսումնասիրությունները հնարավորություն տվեցին, օգտագործելով ազավաղված երկրաչափական մասշտաբները, կատարել Շամբի հիդրոէլեկտրակայանի հավասարակշռող աշտարակի աշխատանքային պայմանների և ընտրող մեծությունների ուսումնասիրություն և նախագծային ավյալների ճշտում:

**Օրինակ 6.2:** Շրի Լանկա հանրապետությունում կառուցվող Սամանուլա-Վեվա հիդրոէլեկտրակայանի նախագծման ժամանակ հիդրավիկական մոդելավորման ենթարկվեց ճնշման թունել-հավասարակշռող ավազան համալիրը: Մոդելավորման ժամանակ (5.17) համալիրը փակելու համար բացի  $\alpha_\lambda$ -ի,  $\alpha_d$ -ի,  $\alpha_z = 1$  մասշտաբների ընտրումից լրացուցիչ ընդունվեց  $\alpha_D = \alpha_d$  պայմանը:

Այս դեպքում ըստ (6.17)-ից կստանանք.

$$\alpha_I = \alpha_z = \frac{\alpha_d \alpha_\lambda^{-1}}{\alpha_\lambda}$$

$$\alpha_I = \alpha_V = \alpha_V = \alpha_I^{1/2} = \alpha_d^{1/2} \cdot \alpha_\lambda^{-1/2}, \quad (6.19)$$

Մոդելի վրա թունելի արամագիծը որոշվեց անել  $d_d = 0,096$  մ, իսկ բնօրինակում այն հավասար է՝  $d_p = 3,8$  մ: Հետևաբար,  $\alpha_d = \frac{d_p}{d_d} = \frac{3,8}{0,096} = 40$ : Առաջին օրինակի ձևով աստիճանական մոտեցումով

որոշվեց  $\lambda_s = 0,029$ :

Հաշվարկի միջոցով որոշվեցին  $\alpha_\lambda$ -ի արժեքները՝  $\alpha_\lambda = 0,503$  վերին խցի համար և  $\alpha_\lambda = 0,661$  ներքին խցի համար:

Ապա ելնելով (5.19)-ից, որոշվեցին մյուս մասշտաբները.

$$\alpha_z = \alpha_I = \alpha_d \alpha_\lambda^{-1} = 40 \cdot 0,503^{-1} = 80(60,6),$$

$$\alpha_I = \alpha_V = \alpha^{1/2} = 80^{1/2} = 8,95(7,78),$$

$$\alpha_Q = \alpha_d^2 \alpha_V = 40^2 \cdot 8,95 = 14300(12450),$$

$$\alpha_W = \alpha_d^2 \alpha_z = 40^2 \cdot 80 = 128000(97000);$$

ՕՂՏԱԴՈՐԾՎԱԾ ԳՐԱԿԱՆՈՒԹՅԱՆ ՑԱՆԿ

1. Богомолов А. И. и др. — Высокоскоростные потоки со свободной поверхностью. — М.: Стройиздат, 1979, 344 с.
2. Дульнев В. Б. — Установившееся неравномерное движение жидкости в открытых непрямоугольных руслах заданной формы. ДАН СССР, т. 96, № 4, 1954, 5 с.
3. Емцев Б. Т. — Двухмерные бурные потоки. — М., Энергия, 1967, 212 с.
4. Курганов А. М., Дупляк В. Д. — Гидравлический расчет водопропускных сооружений. — Киев. Будивильник, 1982, 96 с.
5. Շախմատիան Չ. Մ. — Հիդրավիդրա, «Լույս», 1973, 480 էջ:
6. Овсеян В. М. — Возможные формы кривых свободной поверхности в непрямоугольных руслах. сб. трудов ЕрПИ 6—9, серия «строительство» 1955, 81—97 с.
7. Овнянц Р. А. — Распределение воздуха по глубине аэрированного потока. Изв. АН Арм. ССР, серия ТН, XXIII, № 4, 1970, 54—57 с.
8. Слесский С. М. — Гидравлические расчеты высоконапорных гидротехнических сооружений. — М.: Энергия, 1979, 336 с.
9. Навоян Х. А. — Примеры гидравлических расчетов водопропускных сооружений. — Киев: Будивильник, 1975, 148 с.
10. Токмаджян В. О. — О гидравлическом расчете каналов с криволинейным дном. Изв. АН Арм. ССР, серия ТН, т. XXXI, № 3, 1978, 29—33 с.
11. Токмаджян В. О. — Расчет нецилиндрической нижней камеры уравнительного резервуара ГЭС, сб. н. тр. «Вопросы гидравлики». — М.: Гидромел. ин-т, вып. 4, 1971, 231—239 с.
12. Токмаджян В. О., Карапетян Г. И. — К гидравлическому расчету шахтного водослива. Изв. АН Арм. ССР, серия ТН, т. XXX, № 5, 1978, 33—39 с.
13. Токмаджян В. О., Мартиросян Р. Г. — Влияние коэффициента сопротивления на масштаб гидравлического моделирования. Изв. АН Арм. ССР. СТН XXXVII, № 3, 1984, 32—35 с.
14. Токмаджян В. О. — К построению кривых свободной поверхности в непрямоугольных руслах. — Изв. АН Арм. ССР, серия ТН, т. XXV, № 3, 1973, 33—38 с.
15. Токмаджян О. В. — Дифференциальное уравнение неравномерного движения жидкости с переменными параметрами по длине — Изв. высш. уч. заведений, Энергетика, 1983, № 9, 122—124 с.
16. Токмаджян О. В., Хачатрян Л. Г. — Гидравлический расчет водосбросного тракта Гетикского водохранилища на р. Чичхан. — Гидротехническое строит. 1985, № 9.
17. Токмаджян О. В. — Гидравлический расчет бокового водослива в непрямоугольном русле. — Изв. АН Арм. ССР, серия ТН, т. 36, № 3, 1983, 38—41 с.
18. Токмаджян О. В. — Расчет неравномерного движения жидкости в открытых руслах с заданной свободной поверхностью. — Изв. АН Арм. ССР, серия ТН, том XXXV, № 2, 1982, 40—45 с.
19. Токмаджян О. В. — Неравномерное движение жидкости в безнапорных трубах круглого сечения. — Изв. АН Арм. ССР, серия ТН, том XXXV, № 6, 1982, 36—40 с.
20. Токмаджян О. В., Хачатрян Э. А., Адилханян А. Г. — Гидравлический расчет траншейного водосброса с постоянным уклоном дна. — Изв. выс. учеб. заведений, Энергетика, № 7, 1984, Минск, 102—105 с.
21. Саноян В. Г., Хубларян М. Г. — Теоретическое исследование шахтного водосброса типа «Маргаритка». — Изв. АН Арм. ССР, серия Ф—М наук, XIII, № 6, 1960.
22. Симаков Г. В. — Сифонные водосбросы. — Л.: 1974, ЛПИ.
23. Руднев С. С. — Боковые водосбросы. — М. — Л.: Госэнергоиздат, 1941, 120 с.
24. Чоу В. Т. — Гидравлика открытых каналов. — М.: Стройиздат, 1969, 464 с.
25. Քոնստանտինով Չ. Ն., Տառապեան Ի. Ե. — Հիդրավիդրաի խնդիրները «Լույս», 1982, 184 էջ:
26. Ղազարյան Ս. Մ., Բաղդ Տոնեբերի Հիդրավիդրաի խնդիրները: «Լույս», 1982 թ., 260 էջ:
27. Лятхер В. М., Прудовский А. М. — Гидравлическое моделирование. — М.: Энергоиздат, 1984, 392 с.
28. Chambarjan H. H. On waves in inclined open channels XI congress international association for hydraulic reserch 1965, 14.
29. Koloseus H. I., Ahmed D. Circular Hydraulic Jump. Journal of the Hydraulics Division. ASCA. vol 95, N HVI, proc. Paper. 6367. January, 1969.
30. Maruta AI. Asupra discutiei ecuatiilor de mogelere ale oscilatiilor in castelele de echilibru. "Hidrotehnica", Vol. 5, N12, 1960, 413-418. Bucuresti.

**Հեղուկի անհավասարաչափ կայունացած շարժումը ըստ երկարության փոփոխական բնութագրող մեծություններ ունեցող բաց ջրանցքներում**

3.1. Հեղուկի շարժման հիմնական դիֆերենցիալ հավասարումը և նրա վերլուծությունը . . . . . 61

3.2. էՆՄ-ի կիրառումով հեղուկի շարժման դիֆերենցիալ հավասարման ինտեգրման մի քանի հարցերի մասին . . . . . 65

3.3. Պրիզմատիկ ջրանցքներում տզատ մակերևույթի կորերի կառուցումը հաստատուն ելքի և թեքության դեպքում . . . . . 68

3.4. Ոչ պրիզմատիկ ջրանցքներում ազատ մակերևույթի կորերի կառուցումը հաստատուն ելքի և թեքության դեպքում . . . . . 77

3.5. Պրոֆիլում կոր հատակով և հաստատուն ելքով ջրանցքների հաշվարկը . . . . . 84

3.6. Հեղուկի անհավասարաչափ շարժումը ոչ ճնշումային խողովակներում . . . . . 91

3.7. Ջրանցքների հաշվարկը ըստ տրված ազատ մակերևույթի կորի . . . . . 95

3.8. Ազատ մակերևույթի կորերի հնարավոր ձևերը ոչ պրիզմատիկ հուններում . . . . . 98

3.9. Հատակագծում կորագիծ հատվածներ ունեցող ջրանցքների (վիրածների) հաշվարկը . . . . . 100

**ԲՈՎԱՆԴԱԿՈՒԹՅՈՒՆ**

Ներածություն . . . . . 3

Հիմնական նշանակումներ . . . . . 7

**Ա Ո Ա Ջ Ի Ն Գ Լ Ե Խ**

**Հիդրոտեխնիկական կառուցվածքների հիդրավիկական հաշվարկների հատուկ հարցերը**

1.1. Ջրանցքի կտրվածքի հիդրավիկական բնութագրող մեծությունները . . . . . 10

1.2. Էներգիայի կորուստների որոշումը . . . . . 16

1.3. Ճնշման բաշխումը ջրանցքի կենդանի կտրվածքում . . . . . 21

1.4. Ճնշման բաշխումը շրջանային պրոֆիլով ջրանցքներում . . . . . 24

1.5. Կտրվածքի տեսակարար էներգիան . . . . . 28

1.6. Կավիտացիայի երևույթը . . . . . 33

1.7. Աերացիայի երևույթը . . . . . 42

**Ն Բ Բ Բ Բ Գ Գ Լ Ե Խ**

**Հեղուկի հավասարաչափ շարժումը ջրանցքներում**

2.1. Ընդհանուր տեղեկություններ ջրանցքների վերաբերյալ . . . . . 48

2.2. Ջրի հավասարաչափ շարժումը բաց հուններում . . . . . 51

2.3. Արագությունների բաշխումը կենդանի կտրվածքում . . . . . 53

2.4. Ջրանցքների հաշվարկի հիմնական դեպքերը . . . . . 54

2.5. Հիդրավիկական նպատակահարմար կտրվածք . . . . . 56

2.6. Թուլատարելի արագությունները ջրանցքներում . . . . . 58

2.7. Խոտակալված ջրանցքների հիդրավիկական հաշվարկը . . . . . 60

**Չ Բ Բ Բ Բ Գ Գ Լ Ե Խ**

**Ջրհեռ կառուցվածքների հիդրավիկական հաշվարկները**

4.1. Ընդհանուր տեղեկություններ ջրհեռ կառուցվածքների վերաբերյալ . . . . . 110

4.2. Արագահոսների հաշվարկը . . . . . 112

4.3. Խրամուղային ջրհեռի հաշվարկը . . . . . 124

4.4. Կողային ջրհեռների հաշվարկը . . . . . 131

4.5. Սիֆոնային ջրհեռների հաշվարկը . . . . . 148

4.6. Հորանային ջրհեռի հաշվարկը . . . . . 155

4.7. «Մարգարիտայի» հաշվարկը . . . . . 164

4.8. Հեղուկի կլոր շիթի տարածումը կոնական մակերևույթի վրա . . . . . 171

**Հեղուկի երկչափ բուռն շարժումը**

**ԶՐԱՆՑՔՆԵՐԻ ԵՎ ԶՐՀԵՆԻ ԿԱՌՈՒՑՎԱԾՔՆԵՐԻ  
ՀԻՂՐԱՎՈՒԿԱԿԱՆ ՀԱՇՎԱՐԿՆԵՐ**

|  |       |     |
|--|-------|-----|
| 5.1. Հեղուկի երկչափ շարժման հավասարումները | . . . | 176 |
| 5.2. Շեղ հիդրավիկական թռիչք                | . . . | 180 |

Ձեռնարկ պոլիտեխնիկական ինստիտուտի «Հիդրոտեխնիկական շինարարություն» մասնագիտության ուսանողների համար

**Հիդրավիկական մոդելավորում**

Մասն. խմբագիր՝ Կ. Գ. Ազատյան  
Խմբագիր՝ Ս. Պ. Հակոբջանյան  
Նկարիչ՝ Ա. Ռ. Օհանյան  
Գեղ. խմբագիր՝ Վ. Ա. Զբաղաջպանյան  
Տեխն. խմբագիր՝ Ա. Կ. Տոնոյան  
Վերստուգող սրբագրիչ՝ Վ. Ա. Թովմասյան

|   |       |     |
|---|-------|-----|
| 6.1. Ընդհանուր աեղեկություններ հիդրավիկական մոդելավորման վերաբերյալ       | . . . | 185 |
| 6.2. Մոդելավորման մասշտաբների որոշումը ըստ Ֆրուդի և Ռեյնոլդսի շափանիշների | . . . | 194 |
| 6.3. Աղավաղված երկրաչափական մասշտաբներով մոդելավորում                     | . . . | 195 |
| Օգտագործված գրականության ցանկ   | . . . | 202 |
| Բովանդակություն   | . . . | 204 |

ИБ № 2537

Հանձնված է շարվածքի՝ 5. 03. 88 թ.: Ստորագրված է ապագրության՝ 15. 12. 1988 թ.:  
ՎՖ № 01970

Չափեր՝ 60×90<sup>1/16</sup>: Քուղի՝ տպ. № 2: Տառատեսակը՝ գրքի սովորական: Տպագրությունը՝  
բարձր: Պայմ. 13,0 մամ., տպ. 13,0 գուն. թ. օտ., հրատ 11,81 մամ.: Տպաքանակը՝ 1000:  
Պատվեր՝ 472: Գինը՝ 80 կոպ.:

«Լույս» հրատարակչություն, Երևան-9, Կիրովի 19 ա.:

Издательство «Луйс», Ереван-9, ул. Кирова 19а

ՀՍՍՀ հրատարակչությունների, պոլիգրաֆիայի և գրքի արտադրության պետական  
կոմիտեի № 1 տպարան, Երևան-10, Ալավերդյան 65:

Типография № 1 Госкомитета Арм. ССР по делам издательства, полиграфии  
и книжной торговли. Ереван-10, ул. Алавердяна, 65.